

## MASTER

Analyse van de spanningsverdeling in een met vloeistof gevulde cirkel-cilindrische koker met vrije uiteinden, door twee zadels ondersteund

Brekelmans, W.A.M.

*Award date:*  
1968

[Link to publication](#)

### Disclaimer

This document contains a student thesis (bachelor's or master's), as authored by a student at Eindhoven University of Technology. Student theses are made available in the TU/e repository upon obtaining the required degree. The grade received is not published on the document as presented in the repository. The required complexity or quality of research of student theses may vary by program, and the required minimum study period may vary in duration.

### General rights

Copyright and moral rights for the publications made accessible in the public portal are retained by the authors and/or other copyright owners and it is a condition of accessing publications that users recognise and abide by the legal requirements associated with these rights.

- Users may download and print one copy of any publication from the public portal for the purpose of private study or research.
- You may not further distribute the material or use it for any profit-making activity or commercial gain

AFSTUDEEROPDRACHT

ANALYSE VAN DE SPANNINGSVERDELING  
IN EEN MET VLOEISTOF GEVULDE  
CIRKEL - CILINDRISCHE KOKER MET  
VRYE UITEINDEN, DOOR TWEE  
ZADELS ONDERSTEUND.

W.A.M. BREKELMANS.

EINDHOVEN, JUNI 1968.

Bijlage I bij

Analyse van de spanningsverdeling in  
een met vloeistofgevulde cirkel-ci-  
lindrische koker met vrije uiteinden,  
door twee zadels ondersteund.

Computerprogramma 05062438

W.A.M. Brekelmans

WE 68/20

AFSTUDEEROPDRACHT

ANALYSE VAN DE SPANNINGSVERDELING  
IN EEN MET VLOEISTOF GEVULDE  
CIRKELCILINDRISCHE KOKER MET  
VRYE UITEINDEN, DOOR TWEE  
ZADELS ONDERSTELIND.

W.A.M. BREKELMANS

WE 68/20

EINDHOVEN, JUNI 1968.



1. Inhoudsopgave.

1. Inhoudsopgave.	2.
2. Afstudeeropdracht.	4.
3. Literatuurlijst.	5.
4. Inleiding.	6.
5. De algemene theorie voor cirkel-cilindrische schalen.	15.
5.1. De evenwichtsvergelijkingen.	17.
5.2. De deformaties.	18.
5.3. Spanningen en medegrootheden.	24.
5.4. Het homogene gedeelte der differentiaalvergelijkingen.	28.
5.5. De particuliere oplossing.	33.
5.6. Het vereenvoudigde systeem.	38.
5.7. De homogene oplossing.	40.
5.8. De particuliere oplossing.	53.
5.9. De randvoorwaarden.	58.
5.10. Bepaling van de constanten.	62.
5.11. Opmerking.	73.
6. De modelregels.	74.
7. Het gekozen proefstuk en het te behandelen probleem.	79.
8. De eigenschappen van „perspex“.	81.
9. Enige numerieke gegevens van de proefopstelling.	84.
10. Toepassing van de gewone baltheorie.	85.

11. Toepassing van een meer uitgebreide  
ballentheorie. 93.
12. De algemene schalen theorie, toegepast op  
het onderhavige probleem 108.
13. Het experiment en de waarnemingen 138.
14. Vergelijking van de theoretische en  
experimentele resultaten 148.
15. Conclusies en slotopmerking. 187.

2. Afstudeeropdracht.

Gevraagd wordt om een studie te maken van berekeningsmethoden die gebruikt kunnen worden bij het ontwerp van een vloeistoftank - chassis combinatie voor wegvervoer.

Een belangrijk aspect is: minimum gewicht bij veilig bedrijf.

Na een oriënteringsperiode, waarbij gebruik moet worden gemaakt van contact met fabrikanten, kan de opgave begrensd worden tot een detail-probleem naar keuze uit het onderhavige gebied. Het detailprobleem moet dan zo mogelijk theoretisch en experimenteel worden geanalyseerd.

22 januari 1968,

w.g. Prof. ir. W. L. Esmeyer.

3. Literatuurlijst

1. Stresses in shells, Wilhelm Flügge.  
Springer-Verlag, Berlin, 1960.
2. Collegedijktaat: „Wiskunde III a“  
Technische Hogeschool, Eindhoven, 1964.
3. über die durch Unebenheiten der Fahrbahn  
hervorgebrachte Verdrehung von Strassenfahrzeugen,  
Dr.-Ing. Karl Ewe, Ulm/Donau.  
Automobiltchnische Zeitschrift, 1957.
4. Tankwagens voor wegvervoer.  
Ned. Ver. „De rijwielen- en Automobielen-industrie“  
Amsterdam, 1959.
5. Stresses in large horizontal cylindrical pressure  
vessels on two saddle supports, L. P. Hick.  
Welding Research Supplement, September 1951.
6. „Perspex“ Acrylic Materials Properties.  
Imperial Chemical Industries Limited, Plastics  
Division, Welwyn Garden City, Herts, England.
7. Computerprogramma 05061627:  
Het verwerken van roestmetingen met  
automaat, J. D. Janssen, oktober 1967.
8. An improvement on Donnell's approximation for  
thin-walled circular cylinders, L. S. D. Morley.  
Quarterly Journal of Mechanics and Applied  
Mathematics, volume XII, 1959.
9. The accuracy of Donnell's Equations, N. Y. Hoff.  
Journal of Applied Mechanics, September 1955.

#### 4. Inleiding.

Bij het ontwerp van een vloeistoftank-chassis combinatie moet rekening worden gehouden met allerlei eisen, die aan deze combinatie worden gesteld.

Daar de combinatie voor wegvervoer bestemd is, moet hij voldoen aan een aantal wettelijke voorschriften, veelal veiligheidsvoorzorgmaatregelen, die vaak afhankelijk zijn van de vloeistof, welke met deze combinatie moet worden vervoerd. Wat dat betreft zijn er bepalingen omtrent de uitwendige afmetingen, de as- en wieldruk, de wanddikte van de tank voor verschillende materiaalsoorten, het al dan niet noodzakelijk zijn van turrenschotten of slingerschotten loodrecht op de rijrichting, de compartimentsinhoud, etc.

Behalve dit stelt de gebruiker eisen aan het uiterlijk van de combinatie, aan de doelmatigheid ervan, zoals de toegankelijkheid in de tank zelf, de mogelijkheid om de tank geheel te ledigen, etc, en eisen van economische aard, betreffende de totale kostprijs, de levensduur en het totale gewicht versus de maximale inhoud.

Rekening houdend met al deze eisen moet de ontwerper een zo gunstig mogelijke keuze doen uit diverse materialen en allerlei wijzen van vormgeving.

Wat de materiaalkeuze betreft worden eisen gesteld aan de kostprijs, het soortelijk gewicht versus de sterkte, de bewerkbaarheid, de lasbaarheid, de corrosieweerstand, etc.

Terwijl in het verleden steeds normaal constructiestaal werd toegepast, gaat men steeds meer over op het gebruik van lichtmetalen. Vooral de Al-Zn-Mg-legeringen hebben bekendheid verworven, daar hun goede eigenschappen ook na het lassen bewaard blijven. Na vele experimenten schijnen "Unidur" (Zwitserland) en "Constructal" (Duitsland) wel de beste eigenschappen te hebben.

Wat de vormgeving betreft moet allereerst een keuze worden gemaakt tussen:

- a) de niet-zelfdragende constructie, waarbij de tank op een dragend chassis is bevestigd, dat een gedeelte van de belasting opneemt.
- b) de zelfdragende constructie, waarbij het chassis wordt gevormd door de tank zelf en waarbij dus de tank zelf de totale belasting op moet nemen.

Bij de zelfdragende constructie worden hogere eisen gesteld aan de sterkte-eigenschappen van de tank, maar het voordeel is, dat in het algemeen het totale gewicht bij eenzelfde inhoud kleiner zal zijn.

Vervolgens moet een keuze worden gemaakt voor de vorm van de tankdoornede, loodrecht op de lengteas, die nog verschillend kan zijn van plaats tot plaats, voor de vorm van een eventueel chassis, voor de vorm en plaats van alle andere constructieonderdelen en voor de wanddikte, die eveneens kan variëren.

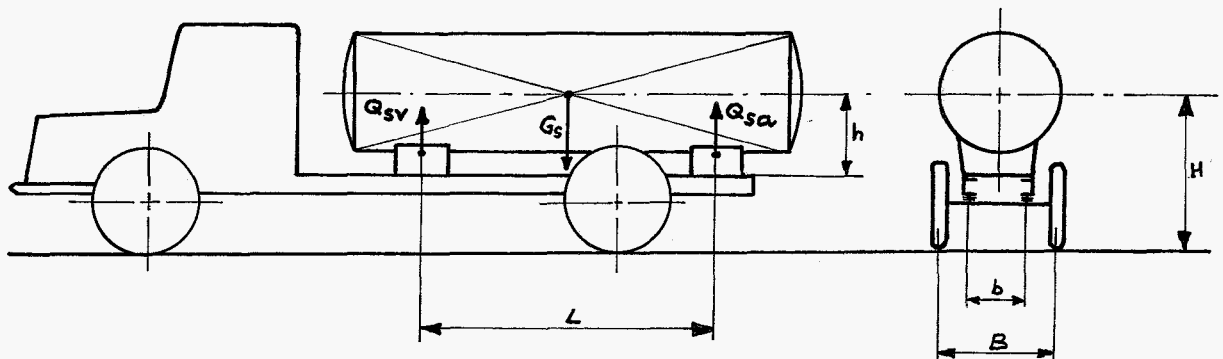
Hierbij zal veelvuldig gebruik gemaakt moeten worden van sterkteberekeningen, omdat de in de constructie optredende ideale spanning, vermenigvuldigd met een veiligheidsfactor, de maximaal, voor het gebruikte materiaal toegelaten spanning, niet mag overschrijden.

Voor deze sterkteberekeningen is een analyse van de belasting noodzakelijk.

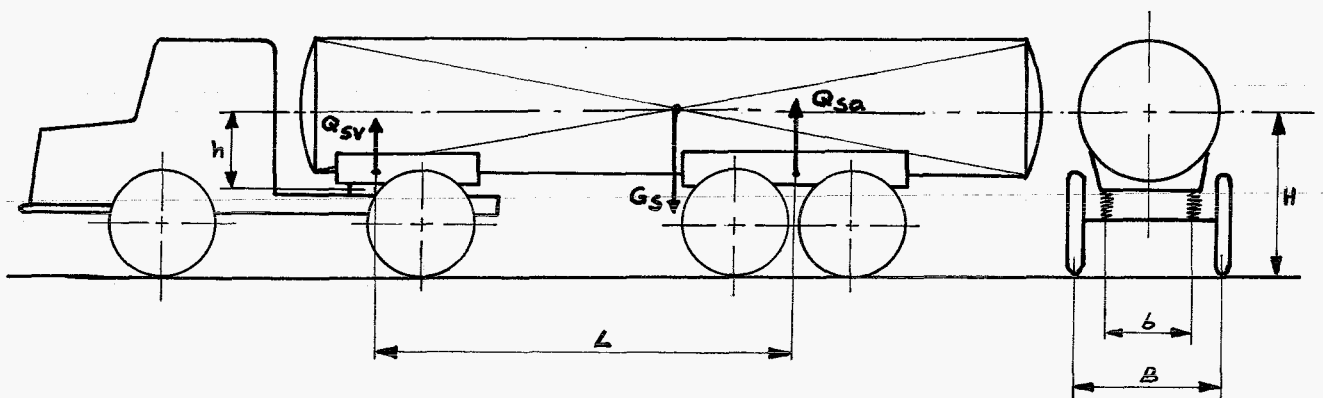
De op de tank-chassis combinatie werkende belasting is een combinatie van een aantal afzonderlijk te beschouwen belastinggevallen, die elk hun eigen oorzaken hebben.

Voordat we deze belastinggevallen gaan beschouwen, is eerst een vereenvoudigd model noodzakelijk van het voertuig.

a) Niet zelfdragende constructiewijze.



b) Zelfdragende constructiewijze.



$G_s$ : totaal gewicht van de tank plus inhoud.

$Q_{sv}$ : statische oplegreactie ten gevolge van  $G_s$ , ten plaatse van de voorondersteuning.

$Q_{sa}$ : statische oplegreactie ten gevolge van  $G_s$ , ten plaatse van de achterondersteuning.

$H$ : hoogte van de hartlijn van de tank boven de grond.

$h$ : hoogte van de hartlijn van de tank boven het chassis bij op een dragend chassis bevestigde tank of boven de koppeling bij zelfdragende tankopleggers.

$L$ : afstand tussen voor- en achtersteunpunt van de tank.

$$m = L/H.$$

$$n = L/h.$$

B: spoorbreedte, hart op hart wielen.

b: veerafstand, hart op hart veren.

d: diameter van de koppelingshotel.

De te beschouwen belastinggevallen:

1. Het tweevoud van de statische belasting gevormd door het maximale gewicht van de tank plus de inhoud, opwel een verticale kracht van  $2 G_s$ .

De oplegreacties bij de voor- en achterondersteuning zullen hierbij respectievelijk bedragen:  $2 Q_{sv}$  en  $2 Q_{sa}$ .

Dit betekent dat rekening is gehouden met een „stootfactor” in verticale richting ter grootte van 2, opwel met een verticale versnelling gelijk aan de zwaartebrachtsversnelling.

2. De belasting, die wordt veroorzaakt door vertragings (rem)-krachten.

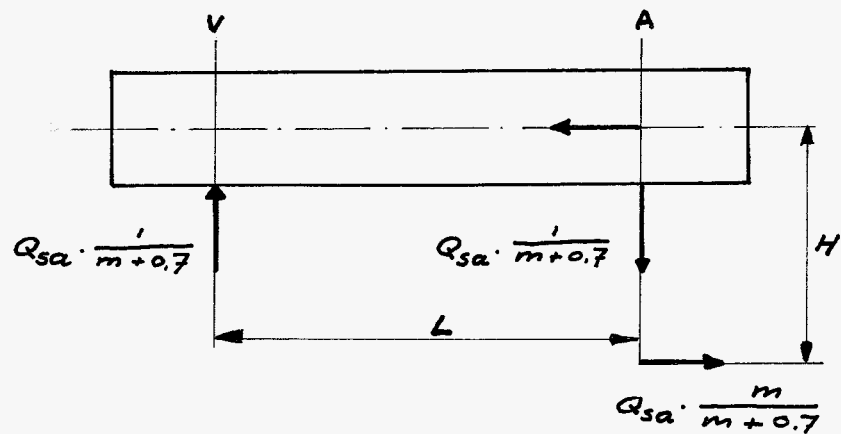
Deze vertragingskracht is gebaseerd op een adhesie-coëfficiënt van maximaal 0,7 en tevens wordt een horizontale stootfactor ter grootte van 1,43 in rekening gebracht.

- a) Bij niet-helfdragende constructies resulteert dit in een horizontale, achterwaarts-gerichte kracht van  $0,7 \cdot 1,43 \cdot G_s = G_s$ , die, indien de tank aan de voorzijde zowel als aan de achterzijde zodanig met het chassis is verbonden, dat langs-krachten kunnen worden overgebracht, in de verhandeling van de oplegreacties  $Q_{sv}$  en  $Q_{sa}$  over beide steunpunten wordt verdeeld.



- b) Bij zelfdragende tankwaertuigen moet rekening worden gehouden met het feit dat eventueel de vertragingkracht of alleen op het achtersteunpunt (alleen achterwielren geremd) of alleen op het voorsteunpunt (alleen de trekken wordt geremd) aangrijpt.

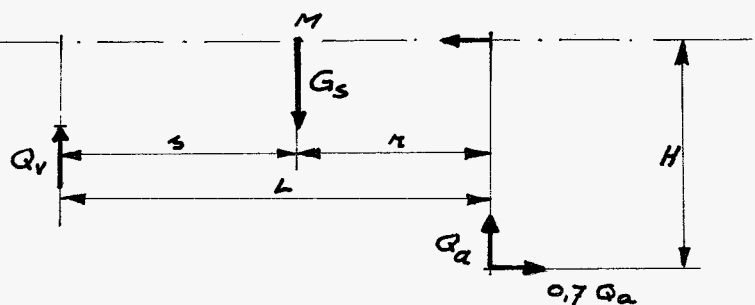
Wanneer alleen achter wordt geremd krijgen we de volgende situatie:



Bij de bepaling van deze reacties is aangenomen dat de resultante van de, tengevolge van de vertragingkracht optredende massa-reactie, op de hartlijn van de tank ligt.

Deze reacties worden als volgt berekend:

Met de factor 1,43 wordt voorlopig geen rekening gehouden.



Verticaal evenwicht:  $Q_a + Q_v = G_s$

Momentenevenwicht om M:  $Q_v \cdot s - Q_a \cdot r - 0,7 Q_a \cdot H = 0$

$$(0,7 \cdot H + L) Q_a = G_s \cdot s = Q_{sa} \cdot L$$

$$\rightarrow Q_a = Q_{sa} \cdot \frac{m}{0,7 + m}$$

De extra kracht die gevolgde van de reactieverschuiving in het voorste steunpunt aangrijpt is dus:

$$Q_V - Q_{SV} = G_S - Q_{SA} \cdot \frac{m}{0,7+m} - G_S + Q_{SA} = Q_{SA} \cdot \frac{0,7}{0,7+m} \quad (\text{naar boven gericht})$$

Deze extra kracht in het achterste steunpunt is:

$$Q_A - Q_{SA} = Q_{SA} \cdot \frac{-0,7}{0,7+m} \quad (\text{naar boven gericht})$$

De wrijvingskracht is:

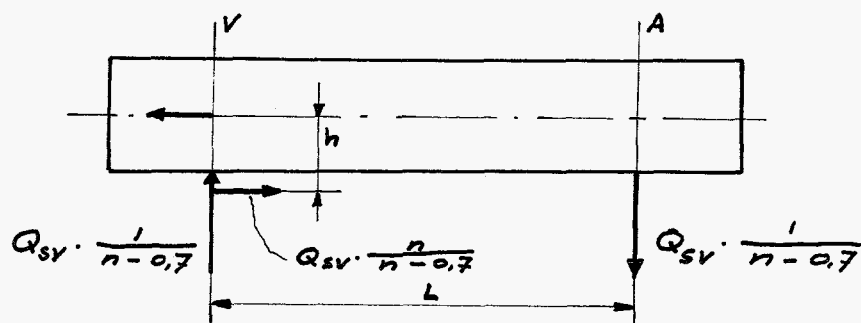
$$0,7 \cdot Q_A = 0,7 \cdot Q_{SA} \cdot \frac{m}{0,7+m}$$

Wanneer we nu nog rekening houden met de aangenomen stootfactor van 1,43 worden deze krachten respectievelijk:

$$Q_{SA} \cdot \frac{1}{m+0,7}, \quad Q_{SA} \cdot \frac{-1}{m+0,7}, \quad Q_{SA} \cdot \frac{m}{m+0,7},$$

zoals reeds was medegedeeld.

Wanneer alleen de trekker remt kunnen we door een analoge berekening afleiden, dat de volgende situatie ontstaat:



Deze belastingtoestanden zijn i.b.a. voor de tank ongunstiger dan een vertrapingskracht, die over beide steunpunten is verdeeld, dus bij remming op alle wielen.

Voor beide toestanden is aangenomen dat de trekker door eigen beremming zijn eigen gewicht in de nodige mate vertraagde.

3. De tijdelijke belasting, die bestaat uit de draagheidskrachten bij het beschrijven van bochten (centrifugaalkrachten) en bij eventuele tijdelijke stoten tegen de wielen t.g.v. oneffenheden van de weg, in combinatie met de statische belasting door  $G_s$ .

In concreto bestaat deze tijdelijke belasting uit een horizontaal in tijdelijke richting en ter hoogte van de hartlijn van de tank aangrijpende belasting ter grootte van:

$$0.5 \cdot \frac{B}{H} \cdot G_s \text{ met een maximum van } 0.7 \cdot G_s.$$

Dit maximum ontstaat bij tijdelijke slippen, waarbij dus weer is aangenomen, dat de wrijvingscoëfficiënt gelijk is aan 0,7. In de meeste gevallen zal dit maximum echter nooit bereikt worden omdat een kleinere tijdelijke belasting reeds aanleiding tot kantelen geeft.

4. Een wringend moment, dat over de lengte tussen het voor- en achtersteunpunt, op de tank werkt en dat veroorzaakt wordt door oneffenheden van de weg.

Dit wringend moment wordt, onder toepassing van een stoofactor 2 gebaseerd op de veronderstelling dat één der voorveren bij een niet zelf-dragende tankwagen of een der achterveren van de trekker in het geval van een oplegger, geheel is ontlast.

Dit wringend moment heeft een grootte van:

$1,75 \cdot Q_{sv} \cdot d$  in het geval van zelfdragende tankoplegger met een maximum van  $Q_{sv} \cdot b$ , wanneer de tankoplegger niet is voorzien van een koppeling welke een beweging om de langas van tenminste  $8^\circ$  naar beide zijden toelaat.

Wanneer de koppeling niet in staat is om een moment over te brengen tengevolge van voldoende beweegbaarheid om de langas, dan behoeft geen rekening te worden gehouden met het optreden van een wringend moment.

De wringspanningen, welke door de dynamische traagheidsinvloed, in de wand van een cilindrische, met vloeistof of korrelige stof gevulde tank kunnen optreden, zijn in het algemeen van te verwaarlozen grootte.

Voor op een dragend chassis bevestigde tanks is moeilijk vast te stellen van welke grootte orde het wringend moment in de tank zal zijn, daar dit geheel afhankelijk is van de verhouding van de torsiestijfheden van het chassis enerzijds en de tank anderzijds.

Voor de berekening van de torsiestijfheid van het chassis, die uiteraard afhankelijk is van de vorm en van de gebruikte profielen, wordt verwezen naar een artikel van K. Erx, dat is genoemd in hoofdstuk 3.

Het lijkt echter een veilige veronderstelling dat het wringend moment in de tank niet groter zal zijn dan de voor zelfdragende tanks aangenomen waarde.

Bij de berekening van de maximaal. optredende spanningen moet worden verondersteld dat verschillende der in het voorgaande omschreven belastingsgevallen hun invloed gelijktijdig zullen doen gelden. In dit verband kunnen de navolgende gecombineerde belastings toestanden ten slotte aan de sterkteberekening ten grondslag worden gelegd:

- 1+4 : verticale gewichtsbelasting met inbegrip van de stootfactor 2, gecombineerd met wringing.
- 1+2 : verticale gewichtsbelasting met inbegrip van de stootfactor 2, gecombineerd met de invloed van de (rem) vertraging.
- 3 : zijdelingse belasting, gecombineerd met de statische verticale gewichtsbelasting.

Voor elk van deze combinaties moet dus een volledige sterkteberekening worden uitgevoerd.

De wijze waarop een sterkteberekening in de praktische plaats vindt, is vaak van uiterst eenvoudige aard, waarbij met allerlei facetten open rekening wordt gehouden.

Dit kan ook moeilijk anders omdat de wijze van ondersteuning van de tank, de vele toevoegingen als verstevigingen, mangaten, tussen-schotten, etc. en de vorm van de dwarsdoormede (wanddikte variaties) een min of meer exacte berekeningmethode onmogelijk maken.

De sterkte-berekening bestaat dan ook meestal uit een toepassing van gewone balkentheorie, eventueel met enige specifieke uitbreidingen.

Ondanks de vereenvoudigingen waarvan dan wordt uitgegaan, blijkt deze berekeningwijze in het algemeen toch te voldoen

Na een gesprek met de Dr. Smulders van "van Doorne's Aanhangwagenfabriek N.V. (DAF)" werd duidelijk dat zich soms nog wel moeilijkheden voordeden met betrekking op

- a) optredende instabiliteiten, in concreto het plooiën van de tankwand.
- b) spanningsconcentraties in de buurt van de ondersteuning van de tank, afhankelijk van de vorm van de ondersteuning.

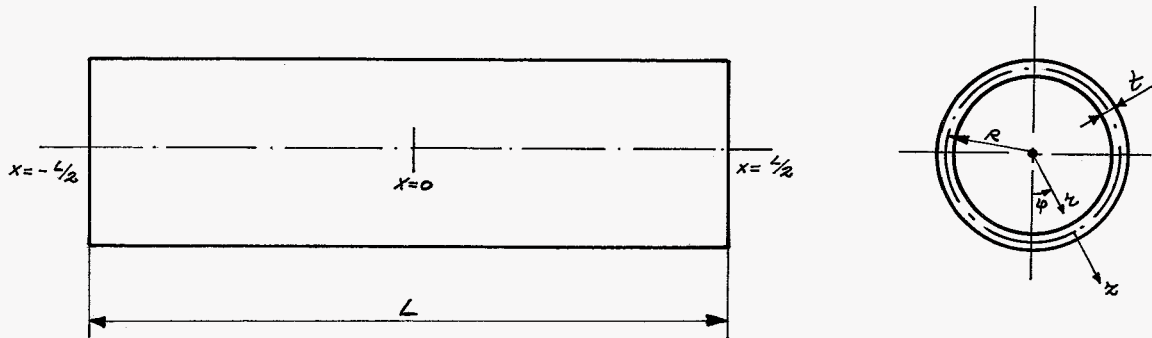
Als onderwerp van deze afstudeeropdracht is dan ook gekozen: een spanninganalyse van een met vloeistof gevulde tank, die door twee radels wordt ondersteund.

Hierbij wordt afgezien van alle constructie-onderdelen, die in of op de tank zijn bevestigd, die de berekening gecompliceerder maken, of van de genoemde belastingmogelijkheden.

Allereerst is hiervoor een behandeling en uitwerking van de schalentheorie noodzakelijk, waarbij we ons reeds hebben beperkt tot een cirkelvormige doornede met constante wanddikte en waarbij we ons nog meer beperkingen zullen opleggen, om de berekening uitvoerbaar te maken.

5. De algemene theorie voor cirkel-cilindrische schalen

We voeren cilinder-coördinaten in, zoals in de onderstaande figuur is aangegeven.



De cilindrische buis wordt in het algemeen blootgesteld aan een verdeelde belasting, waarvan de componenten zijn:

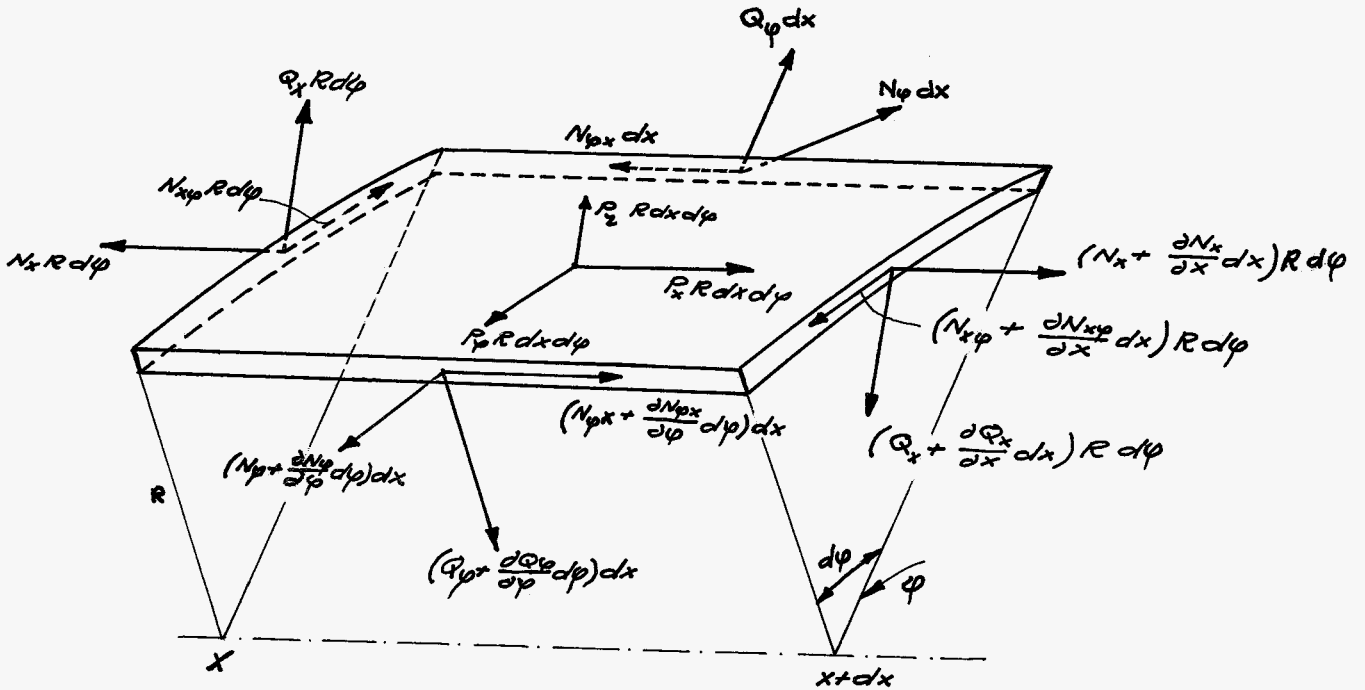
- $p_x$ : kracht per oppervlakte-eenheid in axiale richting, positief in positieve x-richting.
- $p_\phi$ : kracht per oppervlakte-eenheid in tangentiële richting, positief in positieve  $\phi$ -richting.
- $p_r$ : kracht per oppervlakte-eenheid in radiale richting, positief naar buiten toe.

We beschouwen een infinitesimaal klein stukje uit de buis begrensd door de coördinaten:  $x$ ,  $x + dx$ ,  $\phi$ ,  $\phi + d\phi$  en met dikte  $t$  (wanddikte).

Op de volgende bladzijde is dit stukje getekend en tevens de krachten en momenten, die op dit stukje werken.

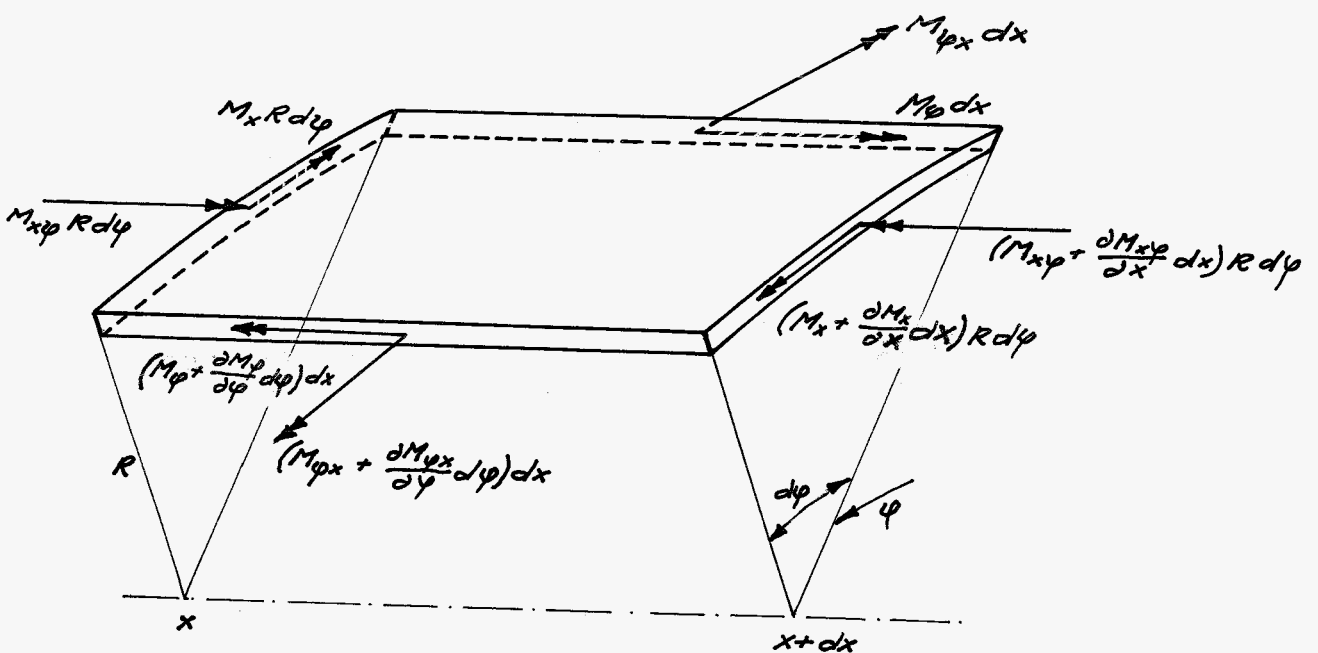
De buigende momenten per lengte-eenheid:  $M_{xx}$  en  $M_{\phi x}$  worden verwaarloosd, omdat deze klein zijn ten opzichte van de andere momenten. Daaraan zijn ze ook niet aangegeven in de volgende figuur.

Krachten:



$N_x, N_p, Q_x, Q_p, N_{xp}, N_{px}$  zijn krachten die op een doorsnede werken, per eenheid van lengte van die doorsnede.

Momenten:



$M_x, M_p, M_{xp}, M_{px}$  zijn momenten die op een doorsnede werken, per lengte-eenheid van die doorsnede.

5.1. De evenwichtsvergelijkingen.

De krachten en momenten, die op het elementaire werkelement moeten voldoen aan de zes evenwichtsvergelijkingen.

1)  $\Sigma$  krachten in x-richting = 0

$$-N_x R d\varphi - N_{\varphi x} dx + (N_{\varphi x} + \frac{\partial N_{\varphi x}}{\partial \varphi} d\varphi) dx + (N_x + \frac{\partial N_x}{\partial x} dx) R d\varphi + P_x R dx d\varphi = 0$$

$$\rightarrow R \frac{\partial N_x}{\partial x} + \frac{\partial N_{\varphi x}}{\partial \varphi} + R \cdot P_x = 0 \quad (I)$$

2)  $\Sigma$  krachten in  $\varphi$ -richting = 0

$$-N_{\varphi} dx - N_{x\varphi} R d\varphi + (N_{x\varphi} + \frac{\partial N_{x\varphi}}{\partial x} dx) R d\varphi + (N_{\varphi} + \frac{\partial N_{\varphi}}{\partial \varphi} d\varphi) dx - Q_{\varphi} dx d\varphi + P_{\varphi} R dx d\varphi = 0$$

$$\rightarrow \frac{\partial N_{\varphi}}{\partial \varphi} + R \frac{\partial N_{x\varphi}}{\partial x} - Q_{\varphi} + R \cdot P_{\varphi} = 0 \quad (II)$$

3)  $\Sigma$  krachten in  $x$ -richting = 0

$$Q_x R d\varphi + Q_{\varphi} dx - (Q_{\varphi} + \frac{\partial Q_{\varphi}}{\partial \varphi} d\varphi) dx - (Q_x + \frac{\partial Q_x}{\partial x} dx) R d\varphi - N_{\varphi} dx d\varphi + P_x R dx d\varphi = 0$$

$$\rightarrow R \frac{\partial Q_x}{\partial x} + \frac{\partial Q_{\varphi}}{\partial \varphi} + N_{\varphi} - R \cdot P_x = 0 \quad (III)$$

4)  $\Sigma$  momenten met vector in x-richting = 0

$$M_{x\varphi} R d\varphi - (M_{x\varphi} + \frac{\partial M_{x\varphi}}{\partial x} dx) R d\varphi + M_{\varphi} dx - (M_{\varphi} + \frac{\partial M_{\varphi}}{\partial \varphi} d\varphi) dx + Q_{\varphi} dx \cdot R d\varphi = 0$$

$$\rightarrow \frac{\partial M_{\varphi}}{\partial \varphi} + R \frac{\partial M_{x\varphi}}{\partial x} - R Q_{\varphi} = 0 \quad (IV)$$

5)  $\Sigma$  momenten met vector in  $\varphi$ -richting = 0

$$-M_x R d\varphi + (M_x + \frac{\partial M_x}{\partial x} dx) R d\varphi - M_{\varphi x} dx + (M_{\varphi x} + \frac{\partial M_{\varphi x}}{\partial \varphi} d\varphi) dx - Q_x R d\varphi dx = 0$$

$$\rightarrow R \frac{\partial M_x}{\partial x} + \frac{\partial M_{\varphi x}}{\partial \varphi} - R Q_x = 0 \quad (V)$$

6)  $\Sigma$  momenten met vector in  $x$ -richting = 0

$$-M_{\varphi x} dx d\varphi - N_{x\varphi} R d\varphi dx + N_{\varphi x} dx R d\varphi = 0$$

$$\rightarrow M_{\varphi x} - N_{\varphi x} \cdot R + N_{x\varphi} \cdot R = 0 \quad (VI)$$



Uit de gevonden evenwichtvergelijkingen kunnen we gemakkelijker  $Q_x$  en  $Q_\varphi$  elimineren met behulp van vergelijking (II) en (I). Daarna houden we de vier nu volgende vergelijkingen over:

$$R \frac{\partial N_x}{\partial x} + \frac{\partial N_{\varphi x}}{\partial \varphi} + R \cdot P_x = 0 \quad (\text{VII})$$

$$R \frac{\partial N_\varphi}{\partial \varphi} + R^2 \frac{\partial N_{x\varphi}}{\partial x} - \frac{\partial M_\varphi}{\partial \varphi} - R \frac{\partial M_{x\varphi}}{\partial x} + R^2 P_\varphi = 0 \quad (\text{VIII})$$

$$R N_\varphi + R^2 \frac{\partial^2 M_x}{\partial x^2} + \frac{\partial^2 M_\varphi}{\partial \varphi^2} + R \frac{\partial^2 M_{x\varphi}}{\partial x \partial \varphi} + R \frac{\partial^2 M_{\varphi x}}{\partial x \partial \varphi} - R^2 P_r = 0 \quad (\text{IX})$$

$$R N_{\varphi\varphi} - R N_{\varphi x} + M_{\varphi x} = 0 \quad (\text{X})$$

Omdat dit een stel is van 4 vergelijkingen met 8 onbekenden is het probleem niet statisch bepaald en het is dus noodzakelijk om de deformaties te gaan bekijken.

## 5.2. De deformaties.

De deformatie van de loker kan worden beschreven door de drie verplaatsingscomponenten  $u_A, v_A, w_A$  van een willekeurig punt A met coördinaten:  $x, \varphi, z$ , waarin  $z$  de afstand is tot het middenvlak.

$u_A$ : axiale verplaatsing, positief in positieve  $x$ -richting

$v_A$ : tangentiële verplaatsing over de cirkel met straal  $R+z$ , positief bij toenemende  $\varphi$

$w_A$ : radiale verplaatsing, naar buiten toe positief.

De bepaling van  $u_A, v_A$  en  $w_A$  als functie van de coördinaten  $x, \varphi$  en  $z$  is een probleem met een drie-dimensionale spanningstoestand. Het wordt een vraagstuk uit de schalentheorie, wanneer we eendoandige kinematische relaties leggen tussen  $u_A, v_A, w_A$  en  $u, v, w$ , die de overeenkomstige verplaatsingen aangeven van een punt van het middenvlak met dezelfde coördinaten  $x$  en  $\varphi$ . Dergelijke relaties kunnen worden gevonden door o.a. gebruik te maken van het feit dat de wanddikte,  $t$ , klein is ten opzichte van de straal  $R$ .

We gaan uit van de volgende aannamen:

- 1) vlakken die voor deformatie loodrecht staan op het middenvlak ( $x=R$ ), blijven na deformatie vlak en loodrecht op het middenvlak.  
(stebelheidsprincipe van Bernoulli)
- 2) voor alle beschouwingen van de vervormingen is er geen verandering van de afstand  $x$  van een punt  $A$  tot het middenvlak bij deformatie van de buis; voor alle beschouwingen van de spanningen wordt de radiale spanning,  $\sigma_x$ , verwaarloosd ten opzichte van de spanningen  $\sigma_\varphi$  en  $\sigma_z$
- 3) alle verplaatsingen zijn te verwaarlozen ten opzichte van de straal van het middenvlak van de buis,  $R$ , en de eerste afgeleiden van deze verplaatsingen zijn te verwaarlozen ten opzichte van 1.

Opmerkingen bij deze aannamen.

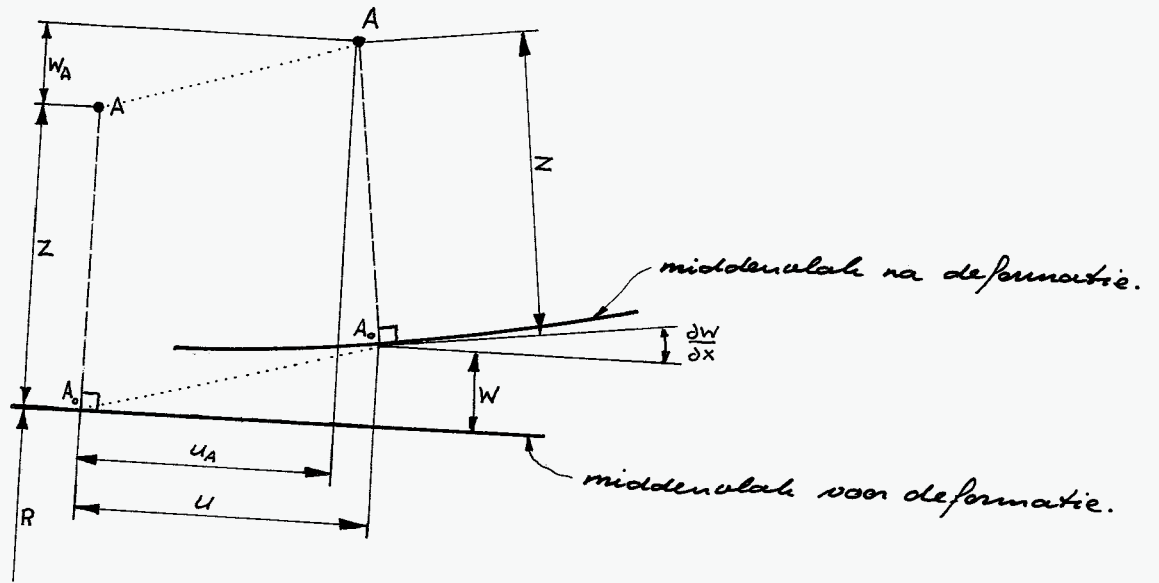
Aanname 1 houdt in dat we de deformatie (afschuiving) ten gevolge van de dwarskrachten  $Q_x$  en  $Q_\varphi$  verwaarlozen. Dit is toegestaan wanneer geldt dat  $t \ll R$ .

Aanname 2 kan, behalve als  $\nu=0$ , niet juist zijn, hetgeen duidelijk blijkt na toepassing van de wet van Hooke. Wanneer de wanddikte klein is ten opzichte van de straal  $R$ , is zowel spanning als rek in  $x$  richting zonder veel betrekking en ondanks het feit, dat de aanname in principe niet juist is, kan men hem toch toepassen.

Aanname 3 is noodzakelijk om de  $x$  te bepalen differentiaalvergelijningen lineair te houden.

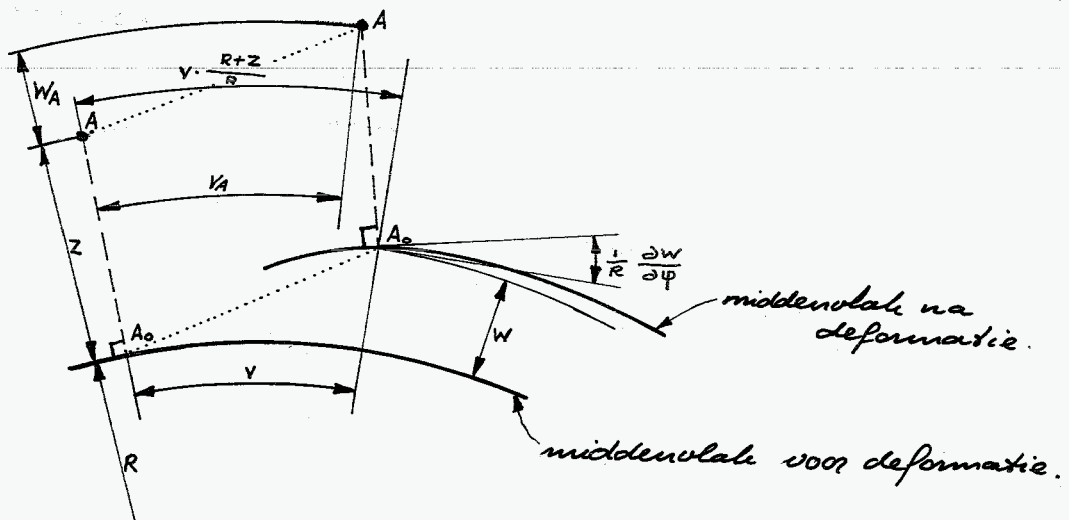
Met behulp van deze aannamen kunnen we nu de verplaatsingen van een punt  $A$ , op afstand  $x$  van het middenvlak, uitdrukken in de verplaatsingen van het punt  $A_0$  van het middenvlak ( $x=0$ ), dat dezelfde  $x$ - en  $\varphi$ -coördinaten heeft als  $A$ .

We beschouwen een doorsnede:  $y = \text{constant}$  van de schaalwand:



$$U_A = U - z \cdot \sin \frac{dW}{dx} = U - z \frac{dW}{dx}$$

We beschouwen een doorsnede:  $x = \text{constant}$  van de schaalwand:



$$V_A = \frac{R+z}{R} \cdot V - \frac{z}{R} \cdot \frac{dW}{d\phi}$$

Het verschil tussen  $W$  en  $W_A$  wordt alleen veroorzaakt door de hoekverdraaiingen:  $\frac{dW}{dx}$  en  $\frac{1}{R} \frac{dW}{d\phi}$  en is evenredig met  $(1 - \cos)$  van deze hoeken. Omdat dit te verwaarlozen is geldt:

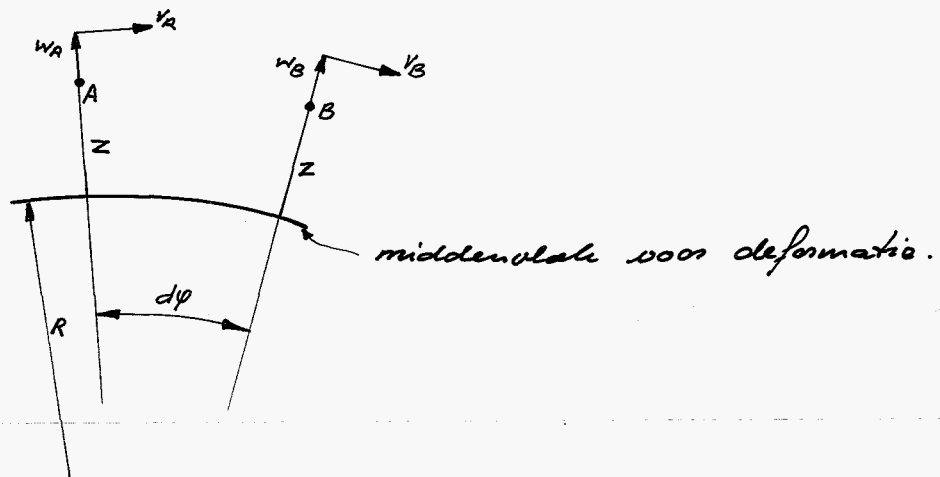
$$W_A = W$$

We gaan nu de rekken en de afschuiving in het punt A uitdrukken in de verplaatsingen  $u$ ,  $v$  en  $w$  van het punt  $A_0$  van het middenvlak.

$\epsilon_{xA}$  geeft de rek weer van een rechtlijnig stukje  $dx$ , die wordt veroorzaakt door het verschil tussen de verplaatsingen  $u$  en  $u + \frac{\partial u}{\partial x} dx$  van de uiteinden.

$$\rightarrow \epsilon_{xA} = \frac{\partial u_A}{\partial x} = \frac{\partial u}{\partial x} - z \frac{\partial^2 w}{\partial x^2}$$

$\epsilon_{\varphi A}$  is de rek van een kronlijng stukje  $(R+z)d\varphi$  in ontlenrichting.



Onsmerklijke lengte van het kronlijng stukje AB:  $(R+z)d\varphi$

Wanneer we aannemen dat  $w_A = w_B$  ( $d\varphi$  klein) geldt voor de lengte van AB na deformatie:

$$(R+z+w_A)d\varphi + v_B - v_A$$

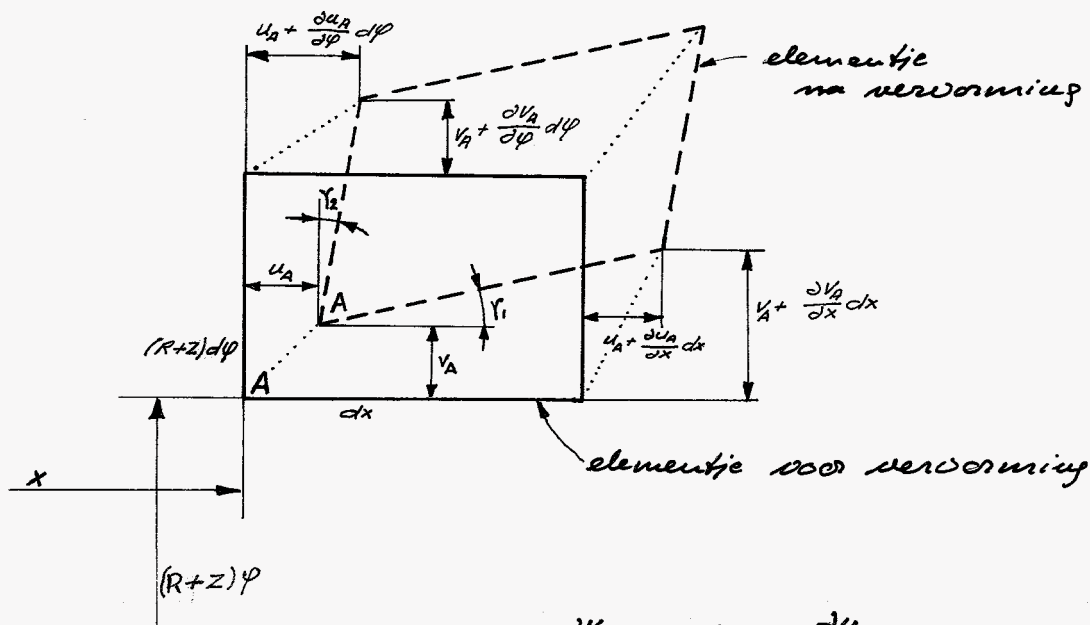
$$\epsilon_{\varphi A} = \frac{(R+z+w_A)d\varphi + v_B - v_A - (R+z)d\varphi}{(R+z)d\varphi} =$$

$$= \frac{w_A}{R+z} + \frac{v_B - v_A}{d\varphi} \cdot \frac{1}{R+z} = \frac{w_A}{R+z} + \frac{1}{R+z} \frac{\partial v}{\partial \varphi}$$

$$\rightarrow \epsilon_{\varphi A} = \frac{1}{R} \frac{\partial v}{\partial \varphi} + \frac{w}{R+z} - \frac{z}{R(R+z)} \frac{\partial^2 w}{\partial \varphi^2}$$

$\gamma_{x\varphi_A}$  geeft de afschuiving weer van een elementje begrensd door de coördinaten  $x, x+dx, \varphi, \varphi+d\varphi$  op afstand  $x$  van het middelpunt.

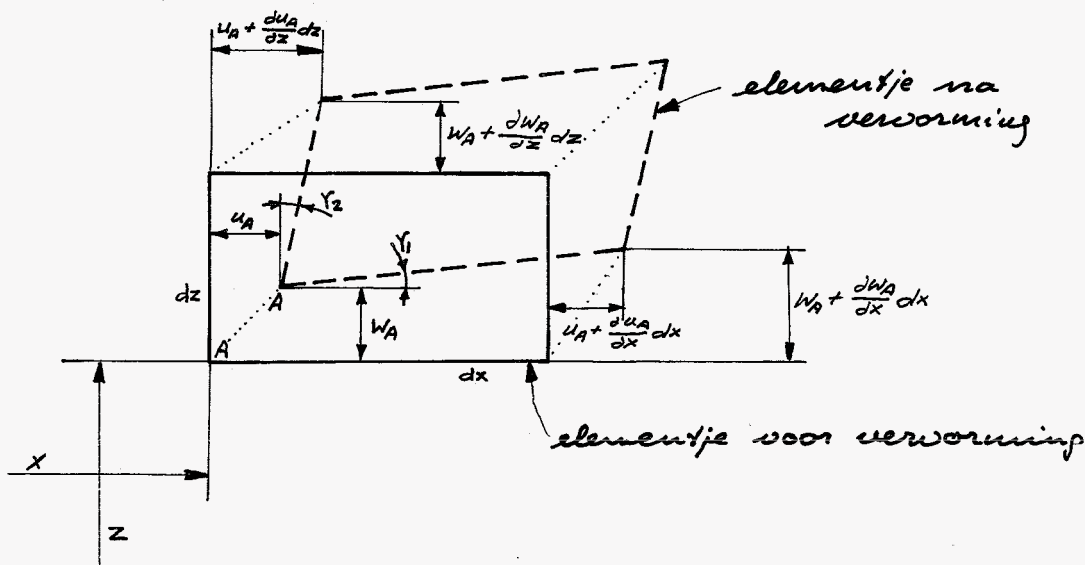
Dit gebogen elementje wordt terwille van de eenvoud hieronder vlak weergegeven:



$$\gamma_{x\varphi_A} = \gamma_1 + \gamma_2 = \frac{\partial v_A}{\partial x} + \frac{1}{R+z} \cdot \frac{\partial u_A}{\partial \varphi}$$

$$\rightarrow \gamma_{x\varphi_A} = \frac{1}{R+z} \frac{\partial u}{\partial \varphi} + \frac{R+z}{R} \frac{\partial v}{\partial x} - \frac{2Rx+z^2}{R(R+z)} \cdot \frac{\partial^2 W}{\partial x \partial \varphi}$$

$\gamma_{xz_A}$  geeft de afschuiving weer van een elementje begrensd door de coördinaten  $x, x+dx, z, z+dz$  bij constante  $\varphi$  coördinaat

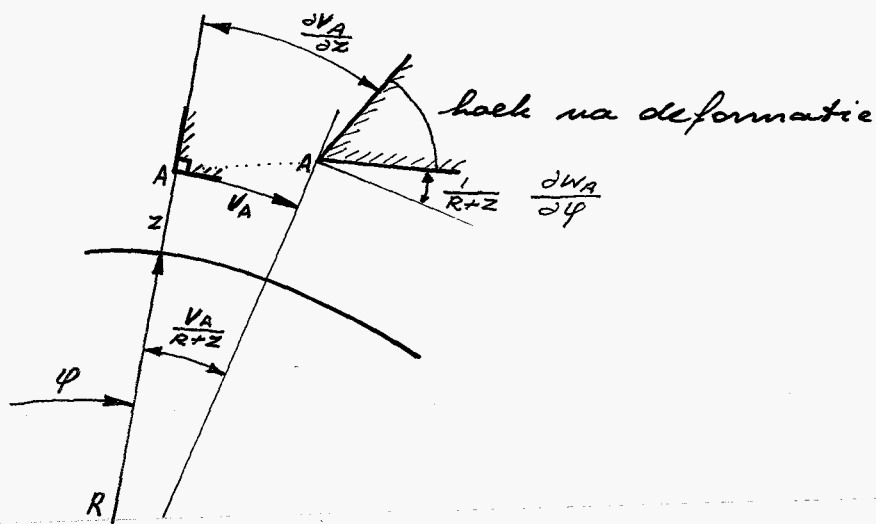


$$\gamma_{xz_A} = \gamma_1 + \gamma_2 = \frac{\partial w_A}{\partial x} + \frac{\partial u_A}{\partial z}$$

$$\rightarrow \gamma_{xz_A} = \frac{\partial w}{\partial x} - \frac{\partial w}{\partial x} = 0$$

$\gamma_{\varphi z_A}$  geeft de afschuiving van een elementje begrensd door de coördinaten  $\varphi, \varphi + d\varphi, z, z + dz$  bij constante  $x$ -coördinaat.

Hiertoe behiijken een oorspronkelijke rechte hoek, zoals onderstaande tekening aangeeft.



$$\gamma_{\varphi z_A} = \frac{1}{R+z} \cdot \frac{\partial w_A}{\partial \varphi} + \frac{\partial v_A}{\partial z} - \frac{v_A}{R+z}$$

$$\rightarrow \gamma_{\varphi z_A} = \frac{1}{R+z} \frac{\partial w}{\partial \varphi} + \frac{v}{R} - \frac{1}{R} \frac{\partial w}{\partial \varphi} - \frac{v}{R} + \frac{z}{(R+z)R} \frac{\partial w}{\partial \varphi}$$

$$= \left\{ \frac{1}{R+z} - \frac{1}{R} + \frac{z}{R(R+z)} \right\} \frac{\partial w}{\partial \varphi} = 0$$

$\epsilon_{z_A}$  is de rek in radiale richting van een rechtlijnig stukje  $dz$ .

Bij de aannamen is over  $\epsilon_{z_A}$  reeds een en ander medegedeeld, zodat herhaling ervan nu onnodig is.

5.3. Spanningen en medegrootheden.

De wet van Hooke levert een verband tussen de rekken en de spanningen, waardoor de spanningen uitgedrukt kunnen worden in de verplaatsingen,  $u$ ,  $v$  en  $w$  van het middenvlak.

$$\sigma_x = \frac{E}{1-\nu^2} (\epsilon_x + \nu \epsilon_\varphi)$$

$$\sigma_\varphi = \frac{E}{1-\nu^2} (\epsilon_\varphi + \nu \epsilon_x)$$

$$\tau_{x\varphi} = \frac{E}{2(1+\nu)} \gamma_{x\varphi}$$

$$\rightarrow \sigma_{xA} = \frac{E}{1-\nu^2} \left\{ \frac{\partial u}{\partial x} - z \frac{\partial^2 w}{\partial x^2} + \nu \left( \frac{1}{R} \frac{\partial v}{\partial \varphi} + \frac{w}{R+z} - \frac{z}{R(R+z)} \frac{\partial^2 w}{\partial \varphi^2} \right) \right\} \quad (XI)$$

$$\sigma_{\varphi A} = \frac{E}{1-\nu^2} \left\{ \frac{1}{R} \frac{\partial v}{\partial \varphi} + \frac{w}{R+z} - \frac{z}{R(R+z)} \frac{\partial^2 w}{\partial \varphi^2} + \nu \left( \frac{\partial u}{\partial x} - z \frac{\partial^2 w}{\partial x^2} \right) \right\} \quad (XII)$$

$$\tau_{x\varphi A} = \frac{E}{2(1+\nu)} \left\{ \frac{1}{R+z} \frac{\partial u}{\partial \varphi} + \frac{R+z}{R} \frac{\partial v}{\partial x} - \frac{2Rz+z^2}{R(R+z)} \frac{\partial^2 w}{\partial x \partial \varphi} \right\} \quad (XIII)$$

De medegrootheden kunnen worden uitgedrukt in de spanningen als volgt:

$$N_x = \int_{-t/2}^{t/2} \sigma_{xA} \left(1 + \frac{z}{R}\right) dz$$

$$N_\varphi = \int_{-t/2}^{t/2} \sigma_{\varphi A} dz$$

$$N_{x\varphi} = \int_{-t/2}^{t/2} \tau_{x\varphi A} \left(1 + \frac{z}{R}\right) dz$$

$$N_{\varphi x} = \int_{-t/2}^{t/2} \tau_{\varphi x A} dz$$

$$M_x = - \int_{-t/2}^{t/2} \sigma_{xA} \left(1 + \frac{z}{R}\right) z dz$$

$$M_\varphi = - \int_{-t/2}^{t/2} \sigma_{\varphi A} z dz$$

$$M_{x\varphi} = - \int_{-t/2}^{t/2} \tau_{x\varphi A} \left(1 + \frac{z}{R}\right) z dz$$

$$M_{\varphi x} = - \int_{-t/2}^{t/2} \tau_{\varphi x A} z dz$$

In deze vergelijkingen gaan we (XI), (XII) en (XIII) substitueren en we vinden dan de medegrootheden uitgedrukt in de verplaatsingen van het middenvlak.

$$N_x = \frac{E}{1-\nu^2} \int_{-1/2}^{1/2} \left\{ \frac{\partial u}{\partial x} - \nu \frac{\partial^2 W}{\partial x^2} + \nu \left( \frac{1}{R} \frac{\partial V}{\partial \varphi} + \frac{W}{R+x} - \frac{z}{R(R+z)} \cdot \frac{\partial^2 W}{\partial \varphi^2} \right) \right\} \left( 1 + \frac{z}{R} \right) dz =$$

$$= \frac{E}{1-\nu^2} \left[ \frac{\partial u}{\partial x} \cdot t - \frac{1}{12} \frac{t^3}{R} \cdot \frac{\partial^2 W}{\partial x^2} + \frac{\nu t}{R} \frac{\partial V}{\partial \varphi} + \frac{\nu t}{R} W \right]$$

We definiëren:  $D = \frac{E t}{1-\nu^2}$  en  $K = \frac{E t^3}{12(1-\nu^2)}$

$$N_x = D \left( \frac{\partial u}{\partial x} + \frac{\nu}{R} \frac{\partial V}{\partial \varphi} + \frac{\nu}{R} W \right) + K \left( -\frac{1}{R} \frac{\partial^2 W}{\partial x^2} \right) \quad (\text{XIV})$$

$$N_\varphi = \frac{E}{1-\nu^2} \int_{-1/2}^{1/2} \left\{ \frac{1}{R} \frac{\partial V}{\partial \varphi} + \frac{W}{R+z} - \frac{z}{R(R+z)} \cdot \frac{\partial^2 W}{\partial \varphi^2} + \nu \left( \frac{\partial u}{\partial x} - \nu \frac{\partial^2 W}{\partial x^2} \right) \right\} dz =$$

$$= \frac{E}{1-\nu^2} \left[ \frac{t}{R} \frac{\partial V}{\partial \varphi} + W \ln \frac{R+1/2}{R-1/2} + \left( -\frac{t}{R} + \ln \frac{R+1/2}{R-1/2} \right) \frac{\partial^2 W}{\partial \varphi^2} + \nu t \frac{\partial u}{\partial x} \right]$$

De uitdrukking:  $\ln \frac{R+1/2}{R-1/2}$  kunnen we vereenvoudigen door te bedenken dat:  $t \ll R$

$$\ln \frac{R+1/2}{R-1/2} = \ln \frac{1+1/2R}{1-1/2R} = \ln(1+1/2R) - \ln(1-1/2R)$$

$$\ln(1+1/2R) = 1/2R - 1/2(1/2R)^2 + 1/3(1/2R)^3 - \dots$$

$$\ln(1-1/2R) = -1/2R - 1/2(1/2R)^2 - 1/3(1/2R)^3 - \dots$$

$$\ln \frac{R+1/2}{R-1/2} = 2(1/2R) + 2/3(1/2R)^3 - \dots$$

$$= 1/R + \frac{1}{12} \frac{t^3}{R^3}$$

$$N_\varphi = D \left( \nu \frac{\partial u}{\partial x} + \frac{1}{R} \frac{\partial V}{\partial \varphi} + \frac{W}{R} \right) + K \left( \frac{W}{R^3} + \frac{1}{R^3} \frac{\partial^2 W}{\partial \varphi^2} \right) \quad (\text{XV})$$



Het feit dat machten van  $\frac{1}{R}$  met een exponent groter of gelijk aan 5 worden verwaarloosd betekent alleen dat de factor  $K$ , die op verschillende plaatsen verschijnt, niet steeds dezelfde waarde heeft, maar enigszins fluctueert. Deze fluctuaties zijn echter zo klein, dat we er geen rekening mee behoeven te houden.

Op analoge wijze kunnen de overige mede-grootheden worden verkregen:

$$N_{x\varphi} = D \cdot \frac{1-\nu}{2} \left( \frac{1}{R} \frac{\partial u}{\partial \varphi} + \frac{\partial v}{\partial x} \right) + K \cdot \frac{1-\nu}{2} \left( \frac{1}{R^2} \frac{\partial v}{\partial x} - \frac{1}{R^2} \frac{\partial^2 w}{\partial x \partial \varphi} \right) \quad (\text{XVI})$$

$$N_{\varphi x} = D \cdot \frac{1-\nu}{2} \left( \frac{1}{R} \frac{\partial u}{\partial \varphi} + \frac{\partial v}{\partial x} \right) + K \cdot \frac{1-\nu}{2} \left( \frac{1}{R^2} \frac{\partial u}{\partial \varphi} + \frac{1}{R^2} \frac{\partial^2 w}{\partial x \partial \varphi} \right) \quad (\text{XVII})$$

$$M_x = K \left( -\frac{1}{R} \frac{\partial u}{\partial x} - \frac{\nu}{R^2} \frac{\partial v}{\partial \varphi} + \frac{\partial^2 w}{\partial x^2} + \frac{\nu}{R^2} \frac{\partial^2 w}{\partial \varphi^2} \right) \quad (\text{XVIII})$$

$$M_{\varphi} = K \left( \frac{w}{R^2} + \nu \frac{\partial^2 w}{\partial x^2} + \frac{1}{R^2} \frac{\partial^2 w}{\partial \varphi^2} \right) \quad (\text{XIX})$$

$$M_{x\varphi} = K(1-\nu) \left( -\frac{1}{R} \frac{\partial v}{\partial x} + \frac{1}{R} \frac{\partial^2 w}{\partial x \partial \varphi} \right) \quad (\text{XX})$$

$$M_{\varphi x} = K(1-\nu) \left( \frac{1}{2R^2} \frac{\partial u}{\partial \varphi} - \frac{1}{2R} \frac{\partial v}{\partial x} + \frac{1}{R} \frac{\partial^2 w}{\partial x \partial \varphi} \right) \quad (\text{XXI})$$

Met behulp van (IV) en (V) drukken we ook  $Q_x$  en  $Q_{\varphi}$  uit in de verplaatsingen van het middenvlak.

$$Q_x = K \left\{ -\frac{1}{R} \frac{\partial^2 u}{\partial x^2} + \frac{1-\nu}{2R^3} \frac{\partial^2 u}{\partial \varphi^2} - \frac{1+\nu}{2R^2} \frac{\partial^2 v}{\partial x \partial \varphi} + \frac{\partial^2 w}{\partial x^3} + \frac{1}{R^2} \frac{\partial^3 w}{\partial x \partial \varphi^2} \right\} \quad (\text{XXII})$$

$$Q_{\varphi} = K \left\{ -\frac{1-\nu}{R} \frac{\partial^2 v}{\partial x^2} + \frac{1}{R^3} \frac{\partial w}{\partial \varphi} + \frac{1}{R} \frac{\partial^3 w}{\partial x^2 \partial \varphi} + \frac{1}{R^3} \frac{\partial^3 w}{\partial \varphi^3} \right\} \quad (\text{XXIII})$$

We gaan nu vergelijking (XIV) tm (XXI) met onbekenden  $u, v$ , en  $w$  substitueren in vergelijking (VII) tm (X).

We krijgen dan vier vergelijkingen in de drie onbekenden  $u, v, w$ . Het schijnt dus, dat we een vergelijking te veel hebben en dat het probleem overbepaald is. We hoeven ons echter geen zorgen te maken.

Vergelijking (I) levert een identiteit op voor ieder willekeurig verplaatsingsveld.

We houden dus drie vergelijkingen over voor de drie onbekenden  $u, v$  en  $w$ .

Vergelijking (VII) levert:

$$D \left( R \frac{\partial^2 u}{\partial x^2} + \frac{1-\nu}{2R} \frac{\partial^2 u}{\partial \varphi^2} + \frac{1+\nu}{2} \frac{\partial^2 v}{\partial x \partial \varphi} + \nu \frac{\partial w}{\partial x} \right) + K \left( \frac{1-\nu}{2R^3} \frac{\partial^2 u}{\partial \varphi^2} - \frac{\partial^3 w}{\partial x^3} + \frac{1-\nu}{2R^2} \frac{\partial^3 w}{\partial x \partial \varphi^2} \right) + R P_x = 0$$

Deze vergelijking gaan we dimensioneel maken met behulp van de volgende transformatie:

$$\bar{u} = \frac{u}{R} \quad \bar{v} = \frac{v}{R} \quad \bar{w} = \frac{w}{R}$$

$$\bar{x} = \frac{x}{R} \quad \bar{\varphi} = \varphi \quad \bar{P}_x = \frac{R P_x}{D} = \frac{R(1-\nu^2)}{E \cdot t} P_x$$

$$k = \frac{K}{DR^2} = \frac{t^2}{12R^2}$$

$$\begin{aligned} \rightarrow \frac{\partial^2 \bar{u}}{\partial \bar{x}^2} + \frac{1-\nu}{2} \frac{\partial^2 \bar{u}}{\partial \bar{\varphi}^2} + \frac{1+\nu}{2} \frac{\partial^2 \bar{v}}{\partial \bar{x} \partial \bar{\varphi}} + \nu \frac{\partial \bar{w}}{\partial \bar{x}} + \\ + k \left( \frac{1-\nu}{2} \frac{\partial^2 \bar{u}}{\partial \bar{\varphi}^2} - \frac{\partial^3 \bar{w}}{\partial \bar{x}^3} + \frac{1-\nu}{2} \frac{\partial^3 \bar{w}}{\partial \bar{x} \partial \bar{\varphi}^2} \right) + \bar{P}_x = 0 \end{aligned} \quad (\text{XXIV})$$

Vergelijking (VIII) levert op deze manier:

$$\begin{aligned} \frac{1+\nu}{2} \frac{\partial^2 \bar{u}}{\partial \bar{x} \partial \bar{\varphi}} + \frac{\partial^2 \bar{v}}{\partial \bar{\varphi}^2} + \frac{1-\nu}{2} \frac{\partial^2 \bar{v}}{\partial \bar{x}^2} + \frac{\partial \bar{w}}{\partial \bar{\varphi}} + \\ + k \left( \frac{3}{2}(1-\nu) \frac{\partial^2 \bar{v}}{\partial \bar{x}^2} - \frac{3-\nu}{2} \frac{\partial^3 \bar{w}}{\partial \bar{x}^2 \partial \bar{\varphi}} \right) + \bar{P}_\varphi = 0 \end{aligned} \quad (\text{XXV})$$

$$\text{met } \bar{P}_\varphi = \frac{R(1-\nu^2)}{E \cdot t} P_\varphi$$

Vergelijking (IX) levert:

$$\gamma \frac{\partial \bar{u}}{\partial \bar{x}} + \frac{\partial \bar{v}}{\partial \bar{\varphi}} + \bar{w} + k \left( \frac{1-\nu}{2} \frac{\partial^2 \bar{u}}{\partial \bar{x} \partial \bar{\varphi}^2} - \frac{\partial^2 \bar{u}}{\partial \bar{x}^2} - \frac{3-\nu}{2} \frac{\partial^2 \bar{v}}{\partial \bar{x}^2 \partial \bar{\varphi}} + \frac{\partial^4 \bar{w}}{\partial \bar{x}^4} + 2 \frac{\partial^4 \bar{w}}{\partial \bar{x}^2 \partial \bar{\varphi}^2} + \frac{\partial^4 \bar{w}}{\partial \bar{\varphi}^4} + 2 \frac{\partial \bar{w}}{\partial \bar{\varphi}^2} + \bar{w} \right) - \bar{F}_r = 0 \quad (\text{XXVI})$$

met  $\bar{F}_r = \frac{R(1-\nu^2)}{E \cdot t} P_r$

Het stelsel vergelijkingen: (XXIV), (XXV) en (XXVI) is een stelsel van drie differentiaalvergelijkingen in drie onbekenden:  $\bar{u}$ ,  $\bar{v}$  en  $\bar{w}$ .

Wanneer  $\bar{P}_x$ ,  $\bar{P}_\varphi$  en  $\bar{P}_r$  als functie van  $\bar{x}$  en  $\bar{\varphi}$  bekend zijn kunnen  $\bar{u}$ ,  $\bar{v}$ , en  $\bar{w}$  in principe als functie van  $\bar{x}$  en  $\bar{\varphi}$  bepaald worden met behulp van de randvoorwaarden.

In het algemeen bestaan  $\bar{u}(\bar{x}, \bar{\varphi})$ ,  $\bar{v}(\bar{x}, \bar{\varphi})$  en  $\bar{w}(\bar{x}, \bar{\varphi})$  uit een combinatie van de oplossing van het homogene deel der differentiaalvergelijkingen en een particuliere oplossing.

De oplossing van het homogene deel geven we aan met index H, de particuliere oplossing met index P.

$$\begin{aligned} \bar{u} &= \bar{u}_H + \bar{u}_P \\ \bar{v} &= \bar{v}_H + \bar{v}_P \\ \bar{w} &= \bar{w}_H + \bar{w}_P \end{aligned}$$

#### 5.4. Het homogene gedeelte der differentiaalvergelijkingen.

De differentiaalvergelijkingen zijn lineair, want ze hebben constante coëfficiënten.

Twee verschillende oplossingen kunnen we dan ook superponeren.

Wanneer we rekening houden met de symmetrie ten opzichte van het vlak  $\bar{\varphi} = 0$  kunnen we schrijven:

$$\bar{u}_H = \bar{u}_{0H} + \sum_{m=1}^{\infty} \bar{u}_{mH} \cos m\bar{\varphi} \quad \begin{aligned} \bar{u}_{0H} &= \bar{u}_{0H}(\bar{x}) \\ \bar{u}_{mH} &= \bar{u}_{mH}(\bar{x}) \end{aligned}$$

$$\bar{v}_H = \sum_{m=1}^{\infty} \bar{v}_{mH} \sin m\bar{\varphi} \quad \bar{v}_{mH} = \bar{v}_{mH}(\bar{x})$$

$$\bar{w}_H = \bar{w}_{0H} + \sum_{m=1}^{\infty} \bar{w}_{mH} \cos m\bar{\varphi} \quad \begin{aligned} \bar{w}_{0H} &= \bar{w}_{0H}(\bar{x}) \\ \bar{w}_{mH} &= \bar{w}_{mH}(\bar{x}) \end{aligned}$$

We bekijken eerst het gedeelte van deze oplossing dat onafhankelijk is  $\bar{\varphi}$ :

$$\begin{aligned}\bar{u} &= \bar{u}_{0H}(\bar{x}) \\ \bar{v} &= 0 \\ \bar{w} &= \bar{w}_{0H}(\bar{x})\end{aligned}$$

We substitueren deze waarden in (XXIV), (XXV) en (XXVI) met  $\bar{F}_x = \bar{F}_p = \bar{F}_r = 0$

$$(XXIV) \text{ geeft: } \frac{d^2 \bar{u}_{0H}}{d\bar{x}^2} + \nu \frac{d\bar{w}_{0H}}{d\bar{x}} + k \left( -\frac{d^3 \bar{w}_{0H}}{d\bar{x}^3} \right) = 0$$

$$(XXV) \text{ geeft een identiteit: } 0 = 0$$

$$(XXVI) \text{ geeft: } \nu \frac{d\bar{u}_{0H}}{d\bar{x}} + \bar{w}_{0H} + k \left( -\frac{d^3 \bar{u}_{0H}}{d\bar{x}^3} + \frac{d^4 \bar{w}_{0H}}{d\bar{x}^4} + \bar{w}_{0H} \right) = 0$$

De twee verkregen differentiaalvergelijkingen in  $\bar{u}_{0H}$  en  $\bar{w}_{0H}$  zijn lineair en kunnen worden opgelost door de volgende exponentiële functies:

$$\bar{u}_{0H} = A_0 e^{\lambda_0 \bar{x}} \quad A_0 : \text{constante}$$

$$\bar{w}_{0H} = C_0 e^{\lambda_0 \bar{x}} \quad C_0 : \text{constante}$$

Substitutie van deze functies in de twee differentiaalvergelijkingen geeft twee homogene vergelijkingen voor de constanten  $A_0$  en  $C_0$ :

$$[\lambda_0^2] A_0 + [\nu \lambda_0 - k \lambda_0^3] C_0 = 0$$

$$[\nu \lambda_0 - k \lambda_0^3] A_0 + [1 + k(\lambda_0^4 + 1)] C_0 = 0$$

Voor  $A_0$  en  $C_0$  beiden ongelijk aan nul is het nodig dat de determinant van de coëfficiënten gelijk is aan nul:

$$\begin{vmatrix} \lambda_0^2 & \nu \lambda_0 - k \lambda_0^3 \\ \nu \lambda_0 - k \lambda_0^3 & 1 + k(\lambda_0^4 + 1) \end{vmatrix} = 0$$

$$\rightarrow \lambda_0^2 [(k - k^2) \lambda_0^4 + 2k\nu \lambda_0^2 + (1 + k - \nu^2)] = 0$$

Deze vergelijking is vander meer op te lossen:

$$\lambda_{01} = 0$$

$$\lambda_{03} = \lambda_{07}$$

$$\lambda_{02} = 0$$

$$\lambda_{04} = \lambda_{04}$$

$$\lambda_{05} = \lambda_{05}$$

$$\lambda_{06} = \lambda_{06}$$

$$\rightarrow \bar{u}_{0H} = A_{01} + A_{02} \bar{x} + A_{03} e^{\lambda_{03} \bar{x}} + A_{04} e^{\lambda_{04} \bar{x}} + A_{05} e^{\lambda_{05} \bar{x}} + A_{06} e^{\lambda_{06} \bar{x}}$$

$$\rightarrow \bar{w}_{0H} = C_{01} + C_{02} \bar{x} + C_{03} e^{\lambda_{03} \bar{x}} + C_{04} e^{\lambda_{04} \bar{x}} + C_{05} e^{\lambda_{05} \bar{x}} + C_{06} e^{\lambda_{06} \bar{x}}$$

Er bestaat een eenvoudig verband tussen  $C_{0i}$  en  $A_{0i}$  en  $A_{01}$  en  $A_{06}$

$$C_{01} = \frac{-\nu}{1+k} A_{02}$$

$$C_{02} = 0$$

$$C_{0i} = \frac{-\lambda_{0i}^2}{\nu \lambda_{0i} - k \lambda_{0i}^3} A_{0i} \quad \text{met } i=3 \text{ en } 6$$

Op de constanten  $A_{01}$  en  $A_{06}$  na is nu dit gedeelte van de homogene oplossing bepaald.

We beschouwen nu de algemene term uit het gedeelte van de homogene oplossing dat wel afhankelijk is van  $\bar{\varphi}$ :

$$\left. \begin{aligned} \bar{u} &= \bar{u}_{mH}(\bar{x}) \cos m\bar{\varphi} \\ \bar{v} &= \bar{v}_{mH}(\bar{x}) \sin m\bar{\varphi} \\ \bar{w} &= \bar{w}_{mH}(\bar{x}) \cos m\bar{\varphi} \end{aligned} \right\} m = 1 \dots \dots \infty$$

Voor elke waarde van  $m$  moeten we nu  $\bar{u}_{mH}$ ,  $\bar{v}_{mH}$  en  $\bar{w}_{mH}$  als functies van  $\bar{x}$ , zodanig dat aan de differentiaalvergelijkingen is voldaan.

Bovenstaande formules gaan we daartoe substitueren in de vergelijkingen (XXIV), (XXV) en (XXVI) met  $\bar{P}_x = \bar{P}_y = \bar{P}_r = 0$ .

(XXIV) geeft:

$$\frac{d^2 \bar{u}_{mH}}{d\bar{x}^2} - \frac{1-\nu}{2} m^2 \bar{u}_{mH} + \frac{1+\nu}{2} m \frac{d\bar{v}_{mH}}{d\bar{x}} + \nu \frac{d\bar{w}_{mH}}{d\bar{x}} + k \left( -\frac{1-\nu}{2} m^2 \bar{u}_{mH} - \frac{d^2 \bar{w}_{mH}}{d\bar{x}^2} - \frac{1-\nu}{2} m^2 \frac{d\bar{w}_{mH}}{d\bar{x}} \right) = 0$$

(XXV) geeft:

$$-\frac{1+\nu}{2} m \frac{d\bar{u}_{mH}}{d\bar{x}} - m^2 \bar{v}_{mH} + \frac{1-\nu}{2} \frac{d^2 \bar{v}_{mH}}{d\bar{x}^2} - m \bar{w}_{mH} + k \left( \frac{3}{2}(1-\nu) \frac{d^2 \bar{v}_{mH}}{d\bar{x}^2} + \frac{3-\nu}{2} m \frac{d^2 \bar{w}_{mH}}{d\bar{x}^2} \right) = 0$$

(XXVI) geeft:

$$\gamma \frac{d\bar{u}_{mH}}{d\bar{x}} + m\bar{v}_{mH} + \bar{w}_{mH} + k \left( -\frac{1-\gamma}{2} m^2 \frac{d\bar{u}_{mH}}{d\bar{x}} - \frac{d^2\bar{u}_{mH}}{d\bar{x}^2} - \frac{3-\gamma}{2} m \frac{d\bar{v}_{mH}}{d\bar{x}} + \frac{d^4\bar{w}_{mH}}{d\bar{x}^4} - 2m^2 \frac{d^2\bar{w}_{mH}}{d\bar{x}^2} + m^4 \bar{w}_{mH} - 2m^2 \bar{w}_{mH} + \bar{w}_{mH} \right) = 0$$

De drie verkregen lineaire differentiaalvergelijkingen kunnen worden opgelost door de volgende exponentiële functies:

$$\bar{u}_{mH} = A_m e^{\lambda_m \bar{x}} \quad A_m: \text{constante}$$

$$\bar{v}_{mH} = B_m e^{\lambda_m \bar{x}} \quad B_m: \text{constante}$$

$$\bar{w}_{mH} = C_m e^{\lambda_m \bar{x}} \quad C_m: \text{constante}$$

Substitutie van deze formules in de vergelijkingen geeft drie homogene vergelijkingen voor de constanten  $A_m$ ,  $B_m$  en  $C_m$ :

$$\left[ \lambda_m^2 - \frac{1-\gamma}{2} m^2 (1+k) \right] A_m + \left[ \frac{1+\gamma}{2} \lambda_m m \right] B_m + \left[ \gamma \lambda_m - k (\lambda_m^3 + \frac{1-\gamma}{2} \lambda_m m^2) \right] C_m = 0$$

$$\left[ \frac{1+\gamma}{2} \lambda_m m \right] A_m + \left[ -\frac{1-\gamma}{2} \lambda_m^2 + m^2 - \frac{3}{2}(1-\gamma)k \lambda_m^2 \right] B_m + \left[ m - \frac{3-\gamma}{2} k \lambda_m^2 m \right] C_m = 0$$

$$\left[ \gamma \lambda_m - k (\lambda_m^3 + \frac{1-\gamma}{2} \lambda_m m^2) \right] A_m + \left[ m - \frac{3-\gamma}{2} k \lambda_m^2 m \right] B_m + \left[ +k (\lambda_m^4 - 2\lambda_m^2 m^2 + m^4 - 2m^2 + 1) \right] C_m = 0$$

Voor waarden van  $A_m$ ,  $B_m$  en  $C_m$  ongelijk aan nul, is het nodig dat de determinant van de coëfficiënten van deze vergelijkingen gelijk is aan nul.

Dit geeft dan een vergelijking voor  $\lambda_m$  van de achtste graad.

Helaas is deze vergelijking niet zonder meer op te lossen.

Met behulp van numerieke methoden zijn echter de acht wortels van deze vergelijking te bepalen.

Bij een bepaalde wortel  $\lambda_{mi}$  ( $i = 1$  tot  $8$ ) kunnen we  $B_{mi}$  en  $C_{mi}$  als functie van  $A_{mi}$  bepalen. Het verband is van de volgende vorm:

$$B_{mi} = \eta_{mi} A_{mi} \quad \text{en} \quad C_{mi} = \zeta_{mi} A_{mi}$$

$\eta_{mi}$  en  $\zeta_{mi}$  zijn te bepalen uit de drie vergelijkingen voor  $A_m$ ,  $B_m$  en  $C_m$  door substitutie van  $\lambda_{mi}$

Voor  $\bar{u}_{mH}$ ,  $\bar{v}_{mH}$  en  $\bar{w}_{mH}$  vinden we dan:

$$\bar{u}_{mH} = \sum_{i=1}^8 A_{mi} e^{\lambda_{mi} \bar{x}}$$

$$\bar{v}_{mH} = \sum_{i=0}^8 \eta_{mi} A_{mi} e^{\lambda_{mi} \bar{x}}$$

$$\bar{w}_{mH} = \sum_{i=0}^8 \xi_{mi} A_{mi} e^{\lambda_{mi} \bar{x}}$$

Door sommatie van deze formules over  $m$  en door combinatie met het gedeelte van de homogene oplossing, dat onafhankelijk was van  $\bar{\varphi}$ , vinden we de totale homogene oplossing:

$$\bar{u}_H = A_{01} + A_{02} \bar{x} + \sum_{j=3}^6 A_{0j} e^{\lambda_{0j} \bar{x}} + \sum_{m=1}^{\infty} \left\{ \sum_{i=1}^8 A_{mi} e^{\lambda_{mi} \bar{x}} \right\} \cos m \bar{\varphi}$$

$$\bar{v}_H = \sum_{m=1}^{\infty} \left\{ \sum_{i=0}^8 \eta_{mi} A_{mi} e^{\lambda_{mi} \bar{x}} \right\} \sin m \bar{\varphi}$$

$$\bar{w}_H = \frac{-\nu}{1+k} A_{02} + \sum_{j=3}^6 \frac{-\lambda_{0j}^2 A_{0j}}{\nu \lambda_{0j} - k \lambda_{0j}^3} e^{\lambda_{0j} \bar{x}} + \sum_{m=1}^{\infty} \left\{ \sum_{i=1}^8 \xi_{mi} A_{mi} e^{\lambda_{mi} \bar{x}} \right\} \cos m \bar{\varphi}$$

In deze vergelijkingen komen de nog onbekende:  $A_{0j}$  met  $j = 1$  t/m  $6$  en  $A_{mi}$  met  $i = 1$  t/m  $8$ ,  $m = 1$  t/m  $\infty$  voor. Deze constanten zullen bepaald moeten worden met behulp van de randvoorwaarden.

Voordat we dit kunnen doen is het nodig dat we de particuliere oplossing eveneens kennen, omdat uiteraard de totale oplossing:  $\bar{u}_H + \bar{u}_P$ ,  $\bar{v}_H + \bar{v}_P$ ,  $\bar{w}_H + \bar{w}_P$  aan de randvoorwaarden moet voldoen.

We gaan nu dus de particuliere oplossing beschouwen.

5.5. De particuliere oplossing

Het is eenvoudig een particuliere oplossing te vinden wanneer we de gegeven oppervlakte belasting:  $\bar{P}_x$ ,  $\bar{P}_y$  en  $\bar{P}_r$  ontwikkelen in een Fourrierreeks.

Gebruik makend van de symmetrie ten opzichte van het vlak  $\bar{y}=0$  en het vlak  $\bar{x}=0$  kunnen we schrijven:

$$\bar{P}_x = \sum_{n=1}^{\infty} \bar{P}_{x0n} \sin \frac{2\pi R}{L} n\bar{x} + \sum_{m=1}^{\infty} \sum_{n=1}^{\infty} \bar{P}_{xmn} \cos m\bar{y} \sin \frac{2\pi R}{L} n\bar{x}$$

$$\bar{P}_y = \sum_{m=1}^{\infty} \sum_{n=0}^{\infty} \bar{P}_{ymn} \sin m\bar{y} \cos \frac{2\pi R}{L} n\bar{x}$$

$$\bar{P}_r = \sum_{n=0}^{\infty} \bar{P}_{r0n} \cos \frac{2\pi R}{L} n\bar{x} + \sum_{m=1}^{\infty} \sum_{n=0}^{\infty} \bar{P}_{r mn} \cos m\bar{y} \cos \frac{2\pi R}{L} n\bar{x}$$

met  $\bar{P}_{x0n}$ ,  $\bar{P}_{r0n}$ ,  $\bar{P}_{xmn}$ ,  $\bar{P}_{ymn}$ ,  $\bar{P}_{r mn}$  bekende constanten

Als oplossing voor  $\bar{u}_p$ ,  $\bar{v}_p$  en  $\bar{w}_p$  proberen we:

$$\bar{u}_p = \sum_{n=1}^{\infty} \bar{u}_{onp} \sin \frac{2\pi R}{L} n\bar{x} + \sum_{m=1}^{\infty} \sum_{n=1}^{\infty} \bar{u}_{mnp} \cos m\bar{y} \sin \frac{2\pi R}{L} n\bar{x}$$

$$\bar{v}_p = \sum_{m=1}^{\infty} \sum_{n=0}^{\infty} \bar{v}_{mnp} \sin m\bar{y} \cos \frac{2\pi R}{L} n\bar{x}$$

$$\bar{w}_p = \sum_{n=0}^{\infty} \bar{w}_{onp} \cos \frac{2\pi R}{L} n\bar{x} + \sum_{m=1}^{\infty} \sum_{n=0}^{\infty} \bar{w}_{mnp} \cos m\bar{y} \cos \frac{2\pi R}{L} n\bar{x}$$

We beschouwen eerst het gedeelte van de particuliere oplossing, onafhankelijk van  $\bar{y}$  met  $n=0$

$$\rightarrow \bar{P}_x = 0$$

$$\bar{u}_p = 0$$

$$\bar{P}_y = 0$$

met

$$\bar{v}_p = 0$$

$$\bar{P}_r = \bar{P}_{r00}$$

$$\bar{w}_p = \bar{w}_{00p}$$

Substitutie hiervan in (XXIV), (XXV) en (XXVI) geeft respectievelijk:

$$0 = 0$$

$$0 = 0$$

$$\bar{P}_{r00} = [1+k] \bar{w}_{00p} \rightarrow \bar{w}_{00p} = \frac{\bar{P}_{r00}}{1+k}$$



We beschouwen nu hetzelfde gedeelte voor alle andere waarden van  $n$ .

Daaruit nemen we de algemene term.

$$\bar{P}_x = \bar{P}_{xon} \sin \frac{2\pi R}{L} n \bar{x} \quad \text{voor } n = 1, \dots, \infty$$

$$\bar{P}_y = 0$$

$$\bar{P}_r = \bar{P}_{ron} \cos \frac{2\pi R}{L} n \bar{x} \quad \text{voor } n = 1, \dots, \infty$$

Als oplossing heeft daarbij:  $\bar{u} = \bar{u}_{onp} \sin \frac{2\pi R}{L} n \bar{x}$

$$\bar{v} = 0$$

$$\bar{w} = \bar{w}_{onp} \cos \frac{2\pi R}{L} n \bar{x}$$

Substitutie geeft respectievelijk:

$$\bar{P}_{xon} = \left[ \left( \frac{2\pi R}{L} \right)^2 n^2 \right] \bar{u}_{onp} + \left[ \gamma \left( \frac{2\pi R}{L} \right) n + k \left( \frac{2\pi R}{L} \right)^3 n^3 \right] \bar{w}_{onp}$$

$$0 = 0$$

$$\bar{P}_{ron} = \left[ \gamma \left( \frac{2\pi R}{L} \right) n + k \left( \frac{2\pi R}{L} \right)^3 n^3 \right] \bar{u}_{onp} + \left[ 1 + k \left( \frac{2\pi R}{L} \right)^4 n^4 + k \right] \bar{w}_{onp}$$

Hiervan zijn  $\bar{w}_{onp}$  en  $\bar{u}_{onp}$  op te lossen, voor  $n = 1, \dots, \infty$ .

We bekijken nu het gedeelte van de particuliere oplossing dat wel afhankelijk is van  $\bar{\varphi}$  met  $n=0$ .

Daaruit nemen we weer de algemene term:

$$\bar{P}_x = 0$$

$$\bar{P}_y = \bar{P}_{ymo} \sin m \bar{\varphi} \quad m = 1, \dots, \infty$$

$$\bar{P}_r = \bar{P}_{rmo} \cos m \bar{\varphi} \quad m = 1, \dots, \infty$$

De hierbij behorende oplossing is:

$$\bar{u} = 0$$

$$\bar{v} = \bar{v}_{mop} \sin m \bar{\varphi}$$

$$\bar{w} = \bar{w}_{mop} \cos m \bar{\varphi}$$

Substitutie in de differentiaalvergelijningen geeft respectievelijk:

$$0 = 0$$

$$\bar{P}_{\varphi m_0} = [m^2] \bar{V}_{m_0 p} + [m] \bar{W}_{m_0 p}$$

$$\bar{P}_{r m_0} = [m] \bar{V}_{m_0 p} + [1 + km^4 - 2km^2 + k] \bar{W}_{m_0 p}$$

Voor  $m = 1, \dots, \infty$  zijn hieruit eenvoudig  $\bar{W}_{m_0 p}$  en  $\bar{V}_{m_0 p}$  op te lossen.

Tenslotte belijven we het reële gedeelte van de particuliere oplossing voor alle andere waarden van  $n$ , die zijn toegelaten:

De algemene term is:

$$\bar{P}_x = \bar{P}_{xmn} \cos m\bar{\varphi} \sin \frac{2\pi R}{L} n\bar{x} \quad \begin{matrix} m = 1, \dots, \infty \\ n = 1, \dots, \infty \end{matrix}$$

$$\bar{P}_y = \bar{P}_{ymn} \sin m\bar{\varphi} \cos \frac{2\pi R}{L} n\bar{x} \quad \begin{matrix} m = 1, \dots, \infty \\ n = 1, \dots, \infty \end{matrix}$$

$$\bar{P}_z = \bar{P}_{zmn} \cos m\bar{\varphi} \cos \frac{2\pi R}{L} n\bar{x} \quad \begin{matrix} m = 1, \dots, \infty \\ n = 1, \dots, \infty \end{matrix}$$

Het hierbij horend gedeelte van de oplossing is:

$$\bar{u} = \bar{u}_{mnp} \cos m\bar{\varphi} \sin \frac{2\pi R}{L} n\bar{x}$$

$$\bar{v} = \bar{v}_{mnp} \sin m\bar{\varphi} \cos \frac{2\pi R}{L} n\bar{x}$$

$$\bar{w} = \bar{w}_{mnp} \cos m\bar{\varphi} \cos \frac{2\pi R}{L} n\bar{x}$$

Dit gaan we weer substitueren in de differentiaalvergelijningen: (XXIV), (XXV) en (XXVI).

(XXIV) geeft:

$$\bar{P}_{xmn} = \left[ \left( \frac{2\pi R}{L} \right)^2 n^2 + \frac{1-\nu}{2} m^2 (1+k) \right] \bar{u}_{mnp} + \left[ \frac{1+\nu}{2} \left( \frac{2\pi R}{L} \right) mn \right] \bar{v}_{mnp} +$$

$$\left[ \nu \left( \frac{2\pi R}{L} \right) n + k \left( \frac{2\pi R}{L} \right)^3 n^3 - k \cdot \frac{1-\nu}{2} \left( \frac{2\pi R}{L} \right) nm^2 \right] \bar{w}_{mnp}$$

(XXV) geeft:

$$\bar{P}_{\varphi mn} = \left[ \frac{1-\nu}{2} \left( \frac{2\pi R}{L} \right) nm \right] \bar{U}_{mnp} + \left[ m^2 + \frac{1-\nu}{2} \left( \frac{2\pi R}{L} \right)^2 n^2 (1+3k) \right] \bar{V}_{mnp} + \left[ m + \frac{3-\nu}{2} k \left( \frac{2\pi R}{L} \right)^2 n^2 m \right] \bar{W}_{mnp}$$

(XXVI) geeft:

$$\begin{aligned} \bar{P}_{r mn} = & \left[ \nu \left( \frac{2\pi R}{L} \right) n - k \frac{1-\nu}{2} \left( \frac{2\pi R}{L} \right) nm^2 + k \left( \frac{2\pi R}{L} \right)^3 n^3 \right] \bar{U}_{mnp} + \left[ m + k \frac{3-\nu}{2} \left( \frac{2\pi R}{L} \right)^2 n^2 m \right] \bar{V}_{mnp} + \\ & + \left[ 1 + k \left( \frac{2\pi R}{L} \right)^4 n^4 + 2k \left( \frac{2\pi R}{L} \right)^2 n^2 m^2 + km^4 - 2km^2 + k \right] \bar{W}_{mnp} \end{aligned}$$

Mit deze drie vergelijkingen zijn  $\bar{U}_{mnp}$ ,  $\bar{V}_{mnp}$  en  $\bar{W}_{mnp}$  op te lossen voor elke toegelaten waarde van  $m$  en  $n$ .

De totale particuliere oplossing is hiermede dus bekend.

We schrijven deze iets anders:

$$\bar{U}_p = \sum_{n=1}^{\infty} \bar{U}_{0np} \sin \frac{2\pi R}{L} n\bar{x} + \sum_{m=1}^{\infty} \sum_{n=1}^{\infty} \bar{U}_{mnp} \cos m\bar{\varphi} \sin \frac{2\pi R}{L} n\bar{x}$$

$$\bar{V}_p = \sum_{m=1}^{\infty} \sum_{n=0}^{\infty} \bar{V}_{mnp} \sin m\bar{\varphi} \cos \frac{2\pi R}{L} n\bar{x}$$

$$\bar{W}_p = \sum_{n=0}^{\infty} \bar{W}_{0np} \cos \frac{2\pi R}{L} n\bar{x} + \sum_{m=1}^{\infty} \sum_{n=0}^{\infty} \bar{W}_{mnp} \cos m\bar{\varphi} \cos \frac{2\pi R}{L} n\bar{x}$$

ofwel:

$$\bar{u}_p = \bar{u}_{0p} + \sum_{m=1}^{\infty} \bar{u}_{mp} \cos m\bar{\varphi}$$

$$\text{met } \bar{u}_{0p} = \sum_{n=1}^{\infty} \bar{U}_{0np} \sin \frac{2\pi R}{L} n\bar{x} \text{ en } \bar{u}_{mp} = \sum_{n=1}^{\infty} \bar{U}_{mnp} \sin \frac{2\pi R}{L} n\bar{x}$$

$$\bar{v}_p = \sum_{m=1}^{\infty} \bar{v}_{mp} \sin m\bar{\varphi} \quad \text{met } \bar{v}_{mp} = \sum_{n=0}^{\infty} \bar{V}_{mnp} \cos \frac{2\pi R}{L} n\bar{x}$$

$$\bar{w}_p = \bar{w}_{0p} + \sum_{m=1}^{\infty} \bar{w}_{mp} \cos m\bar{\varphi}$$

$$\text{met } \bar{w}_{0p} = \sum_{n=0}^{\infty} \bar{W}_{0np} \cos \frac{2\pi R}{L} n\bar{x} \text{ en } \bar{w}_{mp} = \sum_{n=0}^{\infty} \bar{W}_{mnp} \cos \frac{2\pi R}{L} n\bar{x}$$

Ook de homogene oplossing schrijven we in een dergelijke vorm: de oorspronkelijke vorm:

$$\bar{u}_H = \bar{u}_{0H} + \sum_{m=1}^{\infty} \bar{u}_{mH} \cos m\varphi$$

$$\text{met } \bar{u}_{0H} = A_{01} + A_{02} \bar{x} + \sum_{j=3}^6 A_{0j} e^{\lambda_{0j} \bar{x}}$$

$$\text{en } \bar{u}_{mH} = \sum_{i=1}^8 A_{mi} e^{\lambda_{mi} \bar{x}}$$

$$\bar{v}_H = \sum_{m=1}^{\infty} \bar{v}_{mH} \sin m\varphi$$

$$\text{met } \bar{v}_{mH} = \sum_{i=1}^8 \gamma_{mi} A_{mi} e^{\lambda_{mi} \bar{x}}$$

$$\bar{w}_H = \bar{w}_{0H} + \sum_{m=1}^{\infty} \bar{w}_{mH} \cos m\varphi$$

$$\text{met } \bar{w}_{0H} = \frac{-\nu}{1+k} A_{02} + \sum_{j=3}^6 \frac{-\lambda_{0j}^2 A_{0j}}{\nu \lambda_{0j} - k \lambda_{0j}^3} e^{\lambda_{0j} \bar{x}}$$

$$\bar{w}_{mH} = \sum_{i=1}^8 \delta_{mi} A_{mi} e^{\lambda_{mi} \bar{x}}$$

Als totale oplossing vinden we dan:

$$\bar{u} = \bar{u}_H + \bar{u}_P = (\bar{u}_{0H} + \bar{u}_{0P}) + \sum_{m=1}^{\infty} (\bar{u}_{mH} + \bar{u}_{mP}) \cos m\varphi$$

$$\bar{v} = \bar{v}_H + \bar{v}_P = \sum_{m=1}^{\infty} (\bar{v}_{mH} + \bar{v}_{mP}) \sin m\varphi$$

$$\bar{w} = \bar{w}_H + \bar{w}_P = (\bar{w}_{0H} + \bar{w}_{0P}) + \sum_{m=1}^{\infty} (\bar{w}_{mH} + \bar{w}_{mP}) \cos m\varphi$$

Deze totale oplossing moet voldoen aan de randvoorwaarden. Aan beide zijden van de latten, m.a.w. voor  $x = \pm 1/2$  kunnen we eisen stellen, of aan de verplaatsingen, of aan de momentegrootheden, of aan een combinatie van beiden.

Doordat we de randvoorwaarden gaan beschouwen zullen we eerst een vereenvoudigd systeem construeren, door het doen van enige verwaarlozingen, die de berekeningen aanzienlijk zullen vereenvoudigen.

### 5.6. Het vereenvoudigde systeem.

We kunnen een vereenvoudigd systeem verkrijgen door gebruik te maken van het feit dat de wanddikte  $\delta$  van de buis te verwaarlozen is ten opzichte van de straal  $R$ , ofwel  $\delta/R \ll 1$ .

We voeren dit in de formules (XI), (XII) en (XIII) en bij de substitutie van deze formules ter verkrijging van de medegrootheden.

We krijgen dan:

$$N_x = D \left( \frac{\partial u}{\partial x} + \frac{\nu}{R} \frac{\partial v}{\partial \varphi} + \frac{\nu}{R} w \right)$$

$$N_\varphi = D \left( \nu \frac{\partial u}{\partial x} + \frac{1}{R} \frac{\partial v}{\partial \varphi} + \frac{w}{R} \right)$$

$$N_{x\varphi} = N_{\varphi x} = D \frac{1-\nu}{2} \left( \frac{1}{R} \frac{\partial u}{\partial \varphi} + \frac{\partial v}{\partial x} \right)$$

$$M_x = K \left( \frac{\partial^2 w}{\partial x^2} + \frac{\nu}{R^2} \frac{\partial^2 w}{\partial \varphi^2} \right)$$

$$M_\varphi = K \left( \nu \frac{\partial^2 w}{\partial x^2} + \frac{1}{R^2} \frac{\partial^2 w}{\partial \varphi^2} \right)$$

$$M_{x\varphi} = M_{\varphi x} = K(1-\nu) \left( \frac{1}{R} \frac{\partial^2 w}{\partial x \partial \varphi} \right)$$

Met behulp van (IV) en (V) bepalen we  $Q_x$  en  $Q_\varphi$

$$Q_x = K \left( \frac{\partial^3 w}{\partial x^3} + \frac{1}{R^2} \frac{\partial^3 w}{\partial x \partial \varphi^2} \right)$$

$$Q_\varphi = K \left( \frac{1}{R} \frac{\partial^3 w}{\partial x^2 \partial \varphi} + \frac{1}{R^3} \frac{\partial^3 w}{\partial \varphi^3} \right)$$

Het is jammer dat door het invoeren van deze vereenvoudigingen niet meer is voldaan aan de derde evenwichtsvergelijking (VI) omdat er geen verschil meer is tussen  $N_{x\varphi}$  en  $N_{\varphi x}$ . We mogen in het algemeen tenminste niet aannemen dat  $M_{\varphi x}$  gelijk is aan nul.

In het algemeen zullen kleine veranderingen van  $N_{x\varphi}$  en  $N_{\varphi x}$  voldoende zijn om het evenwicht te handhaven.

Ondanks dit nadeel zullen we gewoon verder gaan met de vereenvoudigde theorie zonder dieper in te gaan op eventuele consequenties.

De drie differentiaalvergelijkingen in  $u$ ,  $v$  en  $w$  krijgen we nu door substitutie van bovenstaande formules in (VII), (VIII) en (IX).

(VII) levert wanneer we de formules dimensieloos maken:

$$\frac{\partial^2 \bar{u}}{\partial \bar{x}^2} + \frac{1-\nu}{2} \frac{\partial^2 \bar{u}}{\partial \bar{\varphi}^2} + \frac{1+\nu}{2} \frac{\partial^2 \bar{v}}{\partial \bar{x} \partial \bar{\varphi}} + \nu \frac{\partial \bar{w}}{\partial \bar{x}} + \bar{p}_x = 0$$

(VIII) levert op dezelfde wijze:

$$\frac{1+\nu}{2} \frac{\partial^2 \bar{u}}{\partial \bar{x} \partial \bar{\varphi}} + \frac{\partial^2 \bar{v}}{\partial \bar{\varphi}^2} + \frac{1-\nu}{2} \frac{\partial^2 \bar{v}}{\partial \bar{x}^2} + \frac{\partial \bar{w}}{\partial \bar{\varphi}} - k \left( \frac{\partial^3 \bar{w}}{\partial \bar{x}^2 \partial \bar{\varphi}} + \frac{\partial^3 \bar{w}}{\partial \bar{\varphi}^3} \right) + \bar{p}_\varphi = 0$$

(IX) geeft zo:

$$\nu \frac{\partial \bar{u}}{\partial \bar{x}} + \frac{\partial \bar{v}}{\partial \bar{\varphi}} + \bar{w} + k \left( \frac{\partial^4 \bar{w}}{\partial \bar{x}^4} + 2 \frac{\partial^4 \bar{w}}{\partial \bar{x}^2 \partial \bar{\varphi}^2} + \frac{\partial^4 \bar{w}}{\partial \bar{\varphi}^4} \right) - \bar{p}_r = 0$$

Wanneer we de tweede vergelijking vergelijken met de erbij behorende exacte vergelijking, zien we dat de buigingssterm (met  $k$ ) aansienlijk is gewijzigd. Deze buigingssterm kan daarom niet belangrijk zijn en we zullen hem dan ook in deze vergelijking verwaarlozen.

De uiteindelijke vorm voor de drie differentiaalvergelijkingen in  $u, v$  en  $w$  wordt dan:

$$\frac{\partial^2 \bar{u}}{\partial \bar{x}^2} + \frac{1-\nu}{2} \frac{\partial^2 \bar{u}}{\partial \bar{\varphi}^2} + \frac{1+\nu}{2} \frac{\partial^2 \bar{v}}{\partial \bar{x} \partial \bar{\varphi}} + \nu \frac{\partial \bar{w}}{\partial \bar{x}} + \bar{p}_x = 0 \quad (\text{XXVII})$$

$$\frac{1+\nu}{2} \frac{\partial^2 \bar{u}}{\partial \bar{x} \partial \bar{\varphi}} + \frac{\partial^2 \bar{v}}{\partial \bar{\varphi}^2} + \frac{1-\nu}{2} \frac{\partial^2 \bar{v}}{\partial \bar{x}^2} + \frac{\partial \bar{w}}{\partial \bar{\varphi}} + \bar{p}_\varphi = 0 \quad (\text{XXVIII})$$

$$\nu \frac{\partial \bar{u}}{\partial \bar{x}} + \frac{\partial \bar{v}}{\partial \bar{\varphi}} + \bar{w} + k \left( \frac{\partial^4 \bar{w}}{\partial \bar{x}^4} + 2 \frac{\partial^4 \bar{w}}{\partial \bar{x}^2 \partial \bar{\varphi}^2} + \frac{\partial^4 \bar{w}}{\partial \bar{\varphi}^4} \right) - \bar{p}_r = 0 \quad (\text{XXIX})$$

We gaan nu op dezelfde wijze ½ werk als bij het niet vereenvoudigde systeem, met andere woorden: we bepalen respectievelijk de homogene en de particuliere oplossing.

De totale oplossing wordt dan:

$$\bar{u} = \bar{u}_H + \bar{u}_P$$

$$\bar{v} = \bar{v}_H + \bar{v}_P$$

$$\bar{w} = \bar{w}_H + \bar{w}_P$$

5.7. De homogene oplossing.

We kunnen weer schrijven als oplossing:

$$\bar{u}_H = \bar{u}_{0H} + \sum_{m=1}^{\infty} \bar{u}_{mH} \cos m\bar{\varphi} \quad \bar{u}_{0H} = \bar{u}_{0H}(\bar{x})$$

$$\bar{u}_{mH} = \bar{u}_{mH}(\bar{x})$$

$$\bar{v}_H = \sum_{m=1}^{\infty} \bar{v}_{mH} \sin m\bar{\varphi}$$

$$\bar{v}_{mH} = \bar{v}_{mH}(\bar{x})$$

$$\bar{w}_H = \bar{w}_{0H} + \sum_{m=1}^{\infty} \bar{w}_{mH} \cos m\bar{\varphi}$$

$$\bar{w}_{0H} = \bar{w}_{0H}(\bar{x})$$

$$\bar{w}_{mH} = \bar{w}_{mH}(\bar{x})$$

Allereerst beschouwen we het gedeelte van deze oplossing dat onafhankelijk is van  $\bar{\varphi}$  en daartoe substitueren we in (XXVII), (XXVIII) en (XXIX) met  $\bar{P}_x = \bar{P}_\varphi = \bar{P}_r = 0$  de volgende functies:

$$\bar{u} = \bar{u}_{0H}$$

$$\bar{v} = 0$$

$$\bar{w} = \bar{w}_{0H}$$

(XXVII) geeft:  $\frac{d^2 \bar{u}_{0H}}{d\bar{x}^2} + \gamma \frac{d \bar{w}_{0H}}{d\bar{x}} = 0$

(XXVIII) geeft een identiteit:  $0 = 0$

(XXIX) geeft:  $\gamma \frac{d \bar{u}_{0H}}{d\bar{x}} + \bar{w}_{0H} + k \frac{d^2 \bar{w}_{0H}}{d\bar{x}^2} = 0$

De twee verleggen differentiaalvergelijkingen in  $\bar{u}_{0H}$  en  $\bar{w}_{0H}$  zijn lineair en kunnen worden opgelost door:

$$\bar{u}_{0H} = A_0 e^{\lambda_0 \bar{x}} \quad A_0: \text{constante.}$$

$$\bar{w}_{0H} = C_0 e^{\lambda_0 \bar{x}} \quad C_0: \text{constante.}$$

Substitutie in de differentiaalvergelijkingen geeft twee homogene vergelijkingen voor  $A_0$  en  $C_0$ , die alleen een niet triviale oplossing hebben als aan de karakteristische vergelijking is voldaan:

$$\begin{vmatrix} \lambda_0^2 & \gamma \lambda_0 \\ \gamma \lambda_0 & 1 + k \lambda_0^4 \end{vmatrix} = 0$$

$$\rightarrow k \lambda_0^6 + (1-\nu^2) \lambda_0^2 = 0$$

$$\lambda_{01} = 0$$

$$\lambda_{02} = 0$$

$\lambda_{03}$  ten  $\lambda_{06}$  zijn te berekenen uit:

$$\lambda_0^4 + \frac{1-\nu^2}{k} = 0 \quad \text{ofwel.}$$

$$\lambda_0^4 + \mu^4 = 0 \quad \text{met } \mu = \sqrt[4]{\frac{1-\nu^2}{k}}$$

$$\rightarrow \lambda_0^4 = \mu^4 \cdot e^{(2l+1)\pi i} \quad l = 0, 1, 2, 3 \dots$$

$$\lambda_0 = \mu e^{\frac{(2l+1)\pi i}{4}} \quad l = 0, 1, 2, 3$$

$$\rightarrow \lambda_{03} = \mu/\sqrt{2} \cdot (1+i)$$

$$\lambda_{04} = \mu/\sqrt{2} \cdot (1-i)$$

$$\lambda_{05} = \mu/\sqrt{2} \cdot (-1+i)$$

$$\lambda_{06} = \mu/\sqrt{2} \cdot (-1-i)$$

$$\begin{aligned} \rightarrow \bar{u}_{0H} = & A_{01} + A_{02} \bar{x} + e^{\frac{\mu}{\sqrt{2}} \bar{x}} \left( A_{03} e^{\frac{i\mu \bar{x}}{\sqrt{2}}} + A_{04} e^{-\frac{i\mu \bar{x}}{\sqrt{2}}} \right) + \\ & + e^{-\frac{\mu}{\sqrt{2}} \bar{x}} \left( A_{05} e^{\frac{i\mu \bar{x}}{\sqrt{2}}} + A_{06} e^{-\frac{i\mu \bar{x}}{\sqrt{2}}} \right) \end{aligned}$$

$$\begin{aligned} \bar{w}_{0H} = & C_{01} + C_{02} \bar{x} + e^{\frac{\mu}{\sqrt{2}} \bar{x}} \left( C_{03} e^{\frac{i\mu \bar{x}}{\sqrt{2}}} + C_{04} e^{-\frac{i\mu \bar{x}}{\sqrt{2}}} \right) + \\ & + e^{-\frac{\mu}{\sqrt{2}} \bar{x}} \left( C_{05} e^{\frac{i\mu \bar{x}}{\sqrt{2}}} + C_{06} e^{-\frac{i\mu \bar{x}}{\sqrt{2}}} \right) \end{aligned}$$

Het verband tussen  $A_{0i}$  en  $C_{0i}$  wordt:

$$C_{01} = -\nu A_{02}$$

$$C_{02} = 0$$

$$C_{0i} = \frac{-\lambda_{0i}}{\nu} A_{0i} \quad \text{voor } i = 3 \text{ ten } 6$$



We bekijken alleen kohers, die volkomen symmetrisch zijn ten opzichte van het vlak  $\bar{x} = 0$ , zowel in vorm, in ondersteuning en in belasting.

$$\rightarrow \bar{u}_{0H}(\bar{x}_1) = -\bar{u}_{0H}(-\bar{x}_1) \text{ voor alle } \bar{x}_1$$

$$\rightarrow A_{01} = 0$$

$$A_{03} = -A_{06} \rightarrow C_{03} = C_{06}$$

$$A_{04} = -A_{05} \rightarrow C_{04} = C_{05}$$

Het onderlinge verband tussen de  $C_{0i}$  blijft ook wanneer we weer de symmetrie beschouwen, nl uit:

$$\bar{w}_{0H}(\bar{x}_1) = \bar{w}_{0H}(-\bar{x}_1) \text{ voor alle } \bar{x}_1$$

Het resultaat van de symmetriebeschouwing is:

$$\begin{aligned} \bar{u}_{0H} = & A_{02} \bar{x} + e^{\frac{\mu}{\sqrt{2}} \bar{x}} \left( A_{03} e^{i \frac{\mu}{\sqrt{2}} \bar{x}} + A_{04} e^{-i \frac{\mu}{\sqrt{2}} \bar{x}} \right) + \\ & - e^{-\frac{\mu}{\sqrt{2}} \bar{x}} \left( A_{04} e^{i \frac{\mu}{\sqrt{2}} \bar{x}} + A_{03} e^{-i \frac{\mu}{\sqrt{2}} \bar{x}} \right) \end{aligned}$$

$$\begin{aligned} \bar{w}_{0H} = & -\gamma A_{02} + e^{\frac{\mu}{\sqrt{2}} \bar{x}} \left( \frac{\mu(1+i)A_{03}}{\gamma\sqrt{2}} e^{i \frac{\mu}{\sqrt{2}} \bar{x}} + \frac{-\mu(1-i)A_{04}}{\gamma\sqrt{2}} e^{-i \frac{\mu}{\sqrt{2}} \bar{x}} \right) + \\ & + e^{-\frac{\mu}{\sqrt{2}} \bar{x}} \left( \frac{-\mu(1-i)A_{04}}{\gamma\sqrt{2}} e^{i \frac{\mu}{\sqrt{2}} \bar{x}} + \frac{-\mu(1+i)A_{03}}{\gamma\sqrt{2}} e^{-i \frac{\mu}{\sqrt{2}} \bar{x}} \right) \end{aligned}$$

Wanneer bij de berekeningen eventueel een computer ingeschakeld moet worden kunnen we met deze complexe schrijfwijze niets beginnen.

We definiëren daarom:

$$a_{01} = A_{02}$$

$$a_{02} = A_{03} + A_{04}$$

$$a_{03} = (A_{03} - A_{04}) i$$

hiermede:

$$\bar{u}_{0H} = a_{01} \bar{x} + e^{\frac{\mu}{\sqrt{2}} \bar{x}} \left( a_{02} \cos \frac{\mu}{\sqrt{2}} \bar{x} + a_{03} \sin \frac{\mu}{\sqrt{2}} \bar{x} \right) + e^{-\frac{\mu}{\sqrt{2}} \bar{x}} \left( -a_{02} \cos \frac{\mu}{\sqrt{2}} \bar{x} + a_{03} \sin \frac{\mu}{\sqrt{2}} \bar{x} \right)$$

$$\bar{w}_{0H} = -\nu a_{01} + \frac{\mu}{\nu \sqrt{2}} e^{\frac{\mu}{\sqrt{2}} \bar{x}} \left( (-a_{02} - a_{03}) \cos \frac{\mu}{\sqrt{2}} \bar{x} + (a_{02} - a_{03}) \sin \frac{\mu}{\sqrt{2}} \bar{x} \right) + \frac{\mu}{\nu \sqrt{2}} e^{-\frac{\mu}{\sqrt{2}} \bar{x}} \left( (-a_{02} + a_{03}) \cos \frac{\mu}{\sqrt{2}} \bar{x} + (-a_{02} - a_{03}) \sin \frac{\mu}{\sqrt{2}} \bar{x} \right)$$

Het gedeelte van de homogene oplossing, dat onafhankelijk is van  $\bar{\varphi}$ , hebben we nu in de vorm waarin we hem willen hebben.

Van de rest van de homogene oplossing substitueren we de algemene term in de differentiaalvergelijkingen. We substitueren dus:

$$\left. \begin{aligned} \bar{u} &= \bar{u}_{mH}(\bar{x}) \cos m\bar{\varphi} \\ \bar{v} &= \bar{v}_{mH}(\bar{x}) \sin m\bar{\varphi} \\ \bar{w} &= \bar{w}_{mH}(\bar{x}) \cos m\bar{\varphi} \end{aligned} \right\} m=1, \dots, \infty$$

(XXVII) geeft:  $\frac{d^2 \bar{u}_{mH}}{d\bar{x}^2} - \frac{1-\nu}{2} m^2 \bar{u}_{mH} + \frac{1+\nu}{2} m \frac{d\bar{v}_{mH}}{d\bar{x}} + \nu \frac{d\bar{w}_{mH}}{d\bar{x}} = 0$

(XXVIII) geeft:  $-\frac{1+\nu}{2} m \frac{d\bar{u}_{mH}}{d\bar{x}} - m^2 \bar{v}_{mH} + \frac{1-\nu}{2} \frac{d^2 \bar{v}_{mH}}{d\bar{x}^2} - m \bar{w}_{mH} = 0$

(XXIX) geeft:  $\nu \frac{d\bar{u}_{mH}}{d\bar{x}} + m \bar{v}_{mH} + \bar{w}_{mH} + k \left( \frac{d^4 \bar{w}_{mH}}{d\bar{x}^4} - 2m^2 \frac{d^2 \bar{w}_{mH}}{d\bar{x}^2} + m^4 \bar{w}_{mH} \right) = 0$

De verkregen differentiaalvergelijkingen zijn lineair en kunnen worden opgelost door de volgende exponentiële functies:

$$\begin{aligned} \bar{u}_{mH} &= A_m e^{\lambda_m \bar{x}} & A_m: \text{constante} \\ \bar{v}_{mH} &= B_m e^{\lambda_m \bar{x}} & B_m: \text{constante} \\ \bar{w}_{mH} &= C_m e^{\lambda_m \bar{x}} & C_m: \text{constante} \end{aligned}$$

De karakteristieke vergelijking (8<sup>ste</sup> macht's vergelijking in  $\lambda_m$ ) wordt dan:

$$\begin{vmatrix} (\lambda_m^2 - \frac{1-\nu}{2} m^2) & (\frac{1+\nu}{2} m \lambda_m) & (\nu \lambda_m) \\ (-\frac{1+\nu}{2} \lambda_m m) & (-m^2 + \frac{1-\nu}{2} \lambda_m^2) & (-m) \\ (\nu \lambda_m) & (m) & (1 + k\lambda_m^4 - 2km^2\lambda_m^2 + km^4) \end{vmatrix} = 0$$

Oplevel:

$$\begin{aligned} & \left(\lambda_m^2 - \frac{1-\nu}{2}m^2\right)\left(\frac{1-\nu}{2}\lambda_m^2\right) + \left(\frac{1+\nu}{2}\right)^2\lambda_m^2m^2 - \frac{1+\nu}{2}\nu\lambda_m^2m^2 - \frac{1+\nu}{2}\nu\lambda_m^2m^2 + \\ & - \nu^2\lambda_m^2\left(-m^2 + \frac{1-\nu}{2}\lambda_m^2\right) + k\left(\lambda_m^4 - 2m^2\lambda_m^2 + m^4\right)\left\{\left(\lambda_m^2 - \frac{1-\nu}{2}m^2\right)\left(\frac{1-\nu}{2}\lambda_m^2m^2\right) + \left(\frac{1+\nu}{2}\right)^2\lambda_m^2m^2\right\} = 0 \\ & \rightarrow (1-\nu^2)\lambda_m^4 + k(\lambda_m^2 - m^2)^4 = 0 \end{aligned}$$

Deze vergelijking is goed oplosbaar.

$$\left(\frac{1-\nu^2}{k}\right)\lambda_m^4 = -(\lambda_m^2 - m^2)^4$$

Stel:  $\mu = \sqrt[4]{\frac{1-\nu^2}{k}}$  (positief)  $\rightarrow (\mu\lambda_m)^4 = -(\lambda_m^2 - m^2)^4$

$$\rightarrow \mu\lambda_m = (\lambda_m^2 - m^2) e^{i\frac{(2l+1)\pi}{4}} \quad \text{met } l = 0, 1, 2, 3$$

$$\mu\lambda_m = (\lambda_m^2 - m^2)(\pm \frac{1}{2}\sqrt{2})(1 \pm i)$$

$$\lambda_m^2 - \frac{\mu}{\frac{1}{2}\sqrt{2}(1 \pm i)}\lambda_m - m^2 = 0$$

Wanneer we stellen:

$$\kappa_m = \sqrt{2m^2 + \frac{1}{2}\sqrt{16m^4 + \mu^4}} = \sqrt{2m^2 + \sqrt{4m^4 + \frac{1-\nu^2}{4k}}}$$

gelet:  $\lambda_{m_1} = \frac{1}{4}\mu\sqrt{2} + \frac{1}{2}\kappa_m + i\left(\frac{1}{4}\mu\sqrt{2} + \frac{1}{4}\mu^2/\kappa_m\right)$

$$\lambda_{m_2} = \frac{1}{4}\mu\sqrt{2} + \frac{1}{2}\kappa_m - i\left(\frac{1}{4}\mu\sqrt{2} + \frac{1}{4}\mu^2/\kappa_m\right)$$

$$\lambda_{m_3} = -\frac{1}{4}\mu\sqrt{2} - \frac{1}{2}\kappa_m + i\left(\frac{1}{4}\mu\sqrt{2} + \frac{1}{4}\mu^2/\kappa_m\right)$$

$$\lambda_{m_4} = -\frac{1}{4}\mu\sqrt{2} - \frac{1}{2}\kappa_m - i\left(\frac{1}{4}\mu\sqrt{2} + \frac{1}{4}\mu^2/\kappa_m\right)$$

$$\lambda_{m_5} = \frac{1}{4}\mu\sqrt{2} - \frac{1}{2}\kappa_m + i\left(\frac{1}{4}\mu\sqrt{2} - \frac{1}{4}\mu^2/\kappa_m\right)$$

$$\lambda_{m_6} = \frac{1}{4}\mu\sqrt{2} - \frac{1}{2}\kappa_m - i\left(\frac{1}{4}\mu\sqrt{2} - \frac{1}{4}\mu^2/\kappa_m\right)$$

$$\lambda_{m_7} = -\frac{1}{4}\mu\sqrt{2} + \frac{1}{2}\kappa_m + i\left(\frac{1}{4}\mu\sqrt{2} - \frac{1}{4}\mu^2/\kappa_m\right)$$

$$\lambda_{m_8} = -\frac{1}{4}\mu\sqrt{2} + \frac{1}{2}\kappa_m - i\left(\frac{1}{4}\mu\sqrt{2} - \frac{1}{4}\mu^2/\kappa_m\right)$$

De vorm waarin de  $\lambda_m$ 's nu zijn geschreven ziet er nogal ingewikkeld uit. Door het invoeren van enige constanten zullen we deze vorm vereenvoudigen:

$$\psi_{m_1} = \frac{1}{4} \mu \sqrt{2} + \frac{1}{2} \chi_m = \frac{1}{4} \sqrt[4]{4 \cdot \frac{1-\nu^2}{k}} + \frac{1}{2} \sqrt{2m^2 + \sqrt{4m^4 + \frac{1-\nu^2}{4k}}}$$

$$\psi_{m_2} = \frac{1}{4} \mu \sqrt{2} - \frac{1}{2} \chi_m = \frac{1}{4} \sqrt[4]{4 \cdot \frac{1-\nu^2}{k}} - \frac{1}{2} \sqrt{2m^2 + \sqrt{4m^4 + \frac{1-\nu^2}{4k}}}$$

$$\omega_{m_1} = \frac{1}{4} \mu \sqrt{2} + \frac{1}{4} \frac{\mu^2}{\chi_m} = \frac{1}{4} \sqrt[4]{4 \cdot \frac{1-\nu^2}{k}} + \frac{\frac{1}{4} \sqrt{\frac{1-\nu^2}{k}}}{\sqrt{2m^2 + \sqrt{4m^4 + \frac{1-\nu^2}{4k}}}}$$

$$\omega_{m_2} = \frac{1}{4} \mu \sqrt{2} - \frac{1}{4} \frac{\mu^2}{\chi_m} = \frac{1}{4} \sqrt[4]{4 \cdot \frac{1-\nu^2}{k}} - \frac{\frac{1}{4} \sqrt{\frac{1-\nu^2}{k}}}{\sqrt{2m^2 + \sqrt{4m^4 + \frac{1-\nu^2}{4k}}}}$$

Hiermee:

$\lambda_{m_1} = \psi_{m_1} + i \omega_{m_1}$	$\lambda_{m_5} = \psi_{m_2} + i \omega_{m_2}$
$\lambda_{m_2} = \psi_{m_1} - i \omega_{m_1}$	$\lambda_{m_6} = \psi_{m_2} - i \omega_{m_2}$
$\lambda_{m_3} = -\psi_{m_1} + i \omega_{m_1}$	$\lambda_{m_7} = -\psi_{m_2} + i \omega_{m_2}$
$\lambda_{m_4} = -\psi_{m_1} - i \omega_{m_1}$	$\lambda_{m_8} = -\psi_{m_2} - i \omega_{m_2}$

We kunnen nu de  $\lambda_m$ 's uit de karakteristische vergelijking.

Voor elke  $\lambda_m$ :  $\lambda_{mi}$  bestaat er een verband tussen  $A_{mi}$ ,  $B_{mi}$  en  $C_{mi}$  zoals reeds was aangegeven bij de niet vereenvoudigde theorie.

$$B_{mi} = \alpha_{mi} A_{mi} \quad \text{en} \quad C_{mi} = \xi_{mi} A_{mi}$$

Dit verband zullen we nu vastleggen:

$$\left(\lambda_{mi}^2 - \frac{1-\nu}{2} m^2\right) A_{mi} + \left(\frac{1+\nu}{2} m \lambda_{mi}\right) B_{mi} + (\nu \lambda_{mi}) C_{mi} = 0$$

$$\left(-\frac{1+\nu}{2} \lambda_{mi} m\right) A_{mi} + \left(-m^2 + \frac{1-\nu}{2} \lambda_{mi}^2\right) B_{mi} + (-m) C_{mi} = 0$$

$$(\nu \lambda_{mi}) A_{mi} + (m) B_{mi} + \left(1 + k \lambda_{mi}^4 - 2k m^2 \lambda_{mi}^2 + k m^4\right) C_{mi} = 0$$

Mit de eerste twee vergelijkingen kunnen we  $C_{mi}$  elimineren:

$$\left( \lambda_{mi}^2 m - \frac{1-\nu}{2} m^3 - \frac{1+\nu}{2} \nu \lambda_{mi}^2 m \right) A_{mi} + \left( \frac{1+\nu}{2} m^2 \lambda_{mi} - \nu \lambda_{mi} m^2 + \frac{1-\nu}{2} \nu \lambda_{mi}^3 \right) B_{mi} = 0$$

$$\rightarrow \eta_{mi} = \frac{B_{mi}}{A_{mi}} = \frac{-\lambda_{mi}^2 m (2+\nu) + m^3}{\lambda_{mi} m^2 + \nu \lambda_{mi}^3}$$

Met de tweede vergelijking volgt dan:

$$C_{mi} = \left( -\frac{1+\nu}{2} \lambda_{mi} \right) A_{mi} + \frac{(-m^2 + \frac{1-\nu}{2} \lambda_{mi}^2)}{m} \cdot \frac{-\lambda_{mi}^2 m (2+\nu) + m^3}{\lambda_{mi} m^2 + \nu \lambda_{mi}^3} A_{mi}$$

$$\rightarrow \zeta_{mi} = \frac{C_{mi}}{A_{mi}} = \frac{-\lambda_{mi}^4 + 2 \lambda_{mi}^2 m^2 - m^4}{\lambda_{mi} m^2 + \nu \lambda_{mi}^3}$$

We gaan nu de oplossingen bekijken voor  $\bar{u}_{mH}$ ,  $\bar{v}_{mH}$  en  $\bar{w}_{mH}$

$$\begin{aligned} \bar{u}_{mH} = & e^{\psi_{m1} \bar{x}} \left( A_{m1} e^{i\omega_{m1} \bar{x}} + A_{m2} e^{-i\omega_{m1} \bar{x}} \right) + \\ & + e^{-\psi_{m1} \bar{x}} \left( A_{m3} e^{i\omega_{m1} \bar{x}} + A_{m4} e^{-i\omega_{m1} \bar{x}} \right) + \\ & + e^{\psi_{m2} \bar{x}} \left( A_{m5} e^{i\omega_{m2} \bar{x}} + A_{m6} e^{-i\omega_{m2} \bar{x}} \right) + \\ & + e^{-\psi_{m2} \bar{x}} \left( A_{m7} e^{i\omega_{m2} \bar{x}} + A_{m8} e^{-i\omega_{m2} \bar{x}} \right) \end{aligned}$$

We bekijken alleen kokers, die volkomen symmetrisch zijn ten opzichte van het vlak  $\bar{x}=0$ , zowel in vorm, in ondersteuning en wat de belasting betreft.

$$\rightarrow \bar{u}_{mH}(\bar{x}_i) = -\bar{u}_{mH}(-\bar{x}_i) \text{ voor alle } \bar{x}_i$$

$$\rightarrow A_{m1} = -A_{m4} \quad \rightarrow B_{m1} = B_{m4} \quad \text{en} \quad C_{m1} = C_{m4}$$

$$A_{m2} = -A_{m3} \quad \rightarrow B_{m2} = B_{m3} \quad \text{en} \quad C_{m2} = C_{m3}$$

$$A_{m5} = -A_{m8} \quad \rightarrow B_{m5} = B_{m8} \quad \text{en} \quad C_{m5} = C_{m8}$$

$$A_{m6} = -A_{m7} \quad \rightarrow B_{m6} = B_{m7} \quad \text{en} \quad C_{m6} = C_{m7}$$

Het onderlinge verband tussen de  $B_{mi}$  en het onderlinge verband tussen  $C_{mi}$  blijft ook wanneer we weer de symmetrie beschouwen nl met:

$$\overline{V_{mH}}(\overline{x}_i) = \overline{V_{mH}}(-\overline{x}_i) \text{ voor alle } \overline{x}_i$$

$$\overline{W_{mH}}(\overline{x}_i) = \overline{W_{mH}}(-\overline{x}_i) \text{ voor alle } \overline{x}_i$$

Resumerend krijgen we voor de oplossing van de homogene vergelijkingen, die wel afhankelijk is van  $\overline{\varphi}$ :

$$\begin{aligned} \overline{u_{mH}} = & e^{\psi_{m1}\overline{x}} (A_{m1} e^{i\omega_{m1}\overline{x}} + A_{m2} e^{-i\omega_{m1}\overline{x}}) + \\ & + e^{-\psi_{m1}\overline{x}} (-A_{m2} e^{i\omega_{m1}\overline{x}} - A_{m1} e^{-i\omega_{m1}\overline{x}}) + \\ & + e^{\psi_{m2}\overline{x}} (A_{m5} e^{i\omega_{m2}\overline{x}} + A_{m6} e^{-i\omega_{m2}\overline{x}}) + \\ & + e^{-\psi_{m2}\overline{x}} (-A_{m6} e^{i\omega_{m2}\overline{x}} - A_{m5} e^{-i\omega_{m2}\overline{x}}) \end{aligned}$$

$$\begin{aligned} \overline{V_{mH}} = & e^{\psi_{m1}\overline{x}} (\eta_{m1} A_{m1} e^{i\omega_{m1}\overline{x}} + \eta_{m2} A_{m2} e^{-i\omega_{m1}\overline{x}}) + \\ & + e^{-\psi_{m1}\overline{x}} (\eta_{m2} A_{m2} e^{i\omega_{m1}\overline{x}} + \eta_{m1} A_{m1} e^{-i\omega_{m1}\overline{x}}) + \\ & + e^{\psi_{m2}\overline{x}} (\eta_{m5} A_{m5} e^{i\omega_{m2}\overline{x}} + \eta_{m6} A_{m6} e^{-i\omega_{m2}\overline{x}}) + \\ & + e^{-\psi_{m2}\overline{x}} (\eta_{m6} A_{m6} e^{i\omega_{m2}\overline{x}} + \eta_{m5} A_{m5} e^{-i\omega_{m2}\overline{x}}) \end{aligned}$$

$$\begin{aligned} \overline{W_{mH}} = & e^{\psi_{m1}\overline{x}} (\zeta_{m1} A_{m1} e^{i\omega_{m1}\overline{x}} + \zeta_{m2} A_{m2} e^{-i\omega_{m1}\overline{x}}) + \\ & + e^{-\psi_{m1}\overline{x}} (\zeta_{m2} A_{m2} e^{i\omega_{m1}\overline{x}} + \zeta_{m1} A_{m1} e^{-i\omega_{m1}\overline{x}}) + \\ & + e^{\psi_{m2}\overline{x}} (\zeta_{m5} A_{m5} e^{i\omega_{m2}\overline{x}} + \zeta_{m6} A_{m6} e^{-i\omega_{m2}\overline{x}}) + \\ & + e^{-\psi_{m2}\overline{x}} (\zeta_{m6} A_{m6} e^{i\omega_{m2}\overline{x}} + \zeta_{m5} A_{m5} e^{-i\omega_{m2}\overline{x}}) \end{aligned}$$

Wanneer we bij de berekeningen eventueel de computer nodig hebben is het bovenstaande stelsel ongeschikt voor verwerking. Daarom gaan we de schrijfwijze enigzins veranderen.

We definiëren:

$$a_{m1} = A_{m1} + A_{m2}$$

$$a_{m2} = (A_{m1} - A_{m2}) i$$

$$a_{m3} = A_{m5} + A_{m6}$$

$$a_{m4} = (A_{m5} - A_{m6}) i$$

Hiermee wordt  $\bar{u}_{mH}$ :

$$\bar{u}_{mH} = e^{\psi_{m1} \bar{x}} \{ a_{m1} \cos \omega_{m1} \bar{x} + a_{m2} \sin \omega_{m1} \bar{x} \} + e^{-\psi_{m1} \bar{x}} \{ -a_{m1} \cos \omega_{m1} \bar{x} + a_{m2} \sin \omega_{m1} \bar{x} \} + e^{\psi_{m2} \bar{x}} \{ a_{m3} \cos \omega_{m2} \bar{x} + a_{m4} \sin \omega_{m2} \bar{x} \} + e^{-\psi_{m2} \bar{x}} \{ -a_{m3} \cos \omega_{m2} \bar{x} + a_{m4} \sin \omega_{m2} \bar{x} \}$$

We definiëren eveneens:

$$b_{m1} = (\eta_{m1} A_{m1} + \eta_{m2} A_{m2})$$

$$b_{m2} = (\eta_{m1} A_{m1} - \eta_{m2} A_{m2}) i$$

$$b_{m3} = (\eta_{m5} A_{m5} + \eta_{m6} A_{m6})$$

$$b_{m4} = (\eta_{m5} A_{m5} - \eta_{m6} A_{m6}) i$$

Hiermee wordt  $\bar{v}_{mH}$ :

$$\bar{v}_{mH} = e^{\psi_{m1} \bar{x}} \{ b_{m1} \cos \omega_{m1} \bar{x} + b_{m2} \sin \omega_{m1} \bar{x} \} + e^{-\psi_{m1} \bar{x}} \{ b_{m1} \cos \omega_{m1} \bar{x} - b_{m2} \sin \omega_{m1} \bar{x} \} + e^{\psi_{m2} \bar{x}} \{ b_{m3} \cos \omega_{m2} \bar{x} + b_{m4} \sin \omega_{m2} \bar{x} \} + e^{-\psi_{m2} \bar{x}} \{ b_{m3} \cos \omega_{m2} \bar{x} - b_{m4} \sin \omega_{m2} \bar{x} \}$$

We kunnen  $b_{m1}$ ,  $b_{m2}$ ,  $b_{m3}$  en  $b_{m4}$  uitdrukken in  $a_{m1}$ ,  $a_{m2}$ ,  $a_{m3}$  en  $a_{m4}$ :

$$b_{m1} = \eta_{m1} A_{m1} + \eta_{m2} A_{m2} = \left( \frac{\eta_{m1} + \eta_{m2}}{2} \right) (A_{m1} + A_{m2}) + \left( \frac{\eta_{m1} - \eta_{m2}}{2} \right) (A_{m1} - A_{m2}) =$$

$$= \frac{\eta_{m1} + \eta_{m2}}{2} a_{m1} + \frac{\eta_{m1} - \eta_{m2}}{2i} a_{m2}$$

$$\eta_{m1} = \frac{-\lambda_{m1}^2 m(2+\nu) + m^3}{\lambda_{m1} m^2 + \nu \lambda_{m1}^3} = \frac{-(\psi_{m1} + i\omega_{m1})^2 m(2+\nu) + m^3}{(\psi_{m1} + i\omega_{m1}) m^2 + \nu (\psi_{m1} + i\omega_{m1})^3}$$

$$\eta_{m2} = \frac{-\lambda_{m2}^2 m(2+\nu) + m^3}{\lambda_{m2} m^2 + \nu \lambda_{m2}^3} = \frac{-(\psi_{m1} - i\omega_{m1})^2 m(2+\nu) + m^3}{(\psi_{m1} - i\omega_{m1}) m^2 + \nu (\psi_{m1} - i\omega_{m1})^3}$$

$$\begin{aligned} \frac{\eta_{m1} + \eta_{m2}}{2} &= \frac{1}{2(\psi_{m1} + i\omega_{m1})(\psi_{m1} - i\omega_{m1})} \cdot \frac{\{-(\psi_{m1} + i\omega_{m1})^2 m(2+\nu) + m^3\} \{(\psi_{m1} - i\omega_{m1})m^2 + \nu(\psi_{m1} - i\omega_{m1})^3\}}{\{m^2 + \nu(\psi_{m1} + i\omega_{m1})^2\} \{m^2 + \nu(\psi_{m1} - i\omega_{m1})^2\}} + \\ &+ \frac{1}{2(\psi_{m1} + i\omega_{m1})(\psi_{m1} - i\omega_{m1})} \cdot \frac{\{-(\psi_{m1} - i\omega_{m1})^2 m(2+\nu) + m^3\} \{(\psi_{m1} + i\omega_{m1})m^2 + \nu(\psi_{m1} + i\omega_{m1})^3\}}{\{m^2 + \nu(\psi_{m1} + i\omega_{m1})^2\} \{m^2 + \nu(\psi_{m1} - i\omega_{m1})^2\}} = \\ &= \frac{\psi_{m1} m}{\psi_{m1}^2 + \omega_{m1}^2} \cdot \frac{-(2+\nu)m^2(\psi_{m1}^2 + \omega_{m1}^2) - (2+\nu)\nu(\psi_{m1}^2 + \omega_{m1}^2)^2 + m^4 + \nu m^2 \psi_{m1}^2 - 3m^2 \nu \omega_{m1}^2}{m^4 + \nu m^2(2\psi_{m1}^2 - 2\omega_{m1}^2) + \nu^2(\psi_{m1}^2 + \omega_{m1}^2)^2} = \end{aligned}$$

$$= \frac{\psi_{m1} m}{\psi_{m1}^2 + \omega_{m1}^2} \cdot \frac{m^4 - 2m^2 \psi_{m1}^2 - (2+4\nu)m^2 \omega_{m1}^2 - (2+\nu)\nu(\psi_{m1}^2 + \omega_{m1}^2)^2}{m^4 + \nu m^2(2\psi_{m1}^2 - 2\omega_{m1}^2) + \nu^2(\psi_{m1}^2 + \omega_{m1}^2)^2}$$

$$\frac{\eta_{m1} - \eta_{m2}}{2i} = \frac{\omega_{m1} m}{\psi_{m1}^2 + \omega_{m1}^2} \cdot \frac{-(2+\nu)m^2(\psi_{m1}^2 + \omega_{m1}^2) + (2+\nu)\nu(\psi_{m1}^2 + \omega_{m1}^2)^2 - m^4 + \nu m^2 \omega_{m1}^2 - 3\nu m^2 \psi_{m1}^2}{m^4 + \nu m^2(2\psi_{m1}^2 - 2\omega_{m1}^2) + \nu^2(\psi_{m1}^2 + \omega_{m1}^2)^2} =$$

$$= \frac{\omega_{m1} m}{\omega_{m1}^2 + \psi_{m1}^2} \cdot \frac{-m^4 - (2+4\nu)m^2 \psi_{m1}^2 - 2m^2 \omega_{m1}^2 + (2+\nu)\nu(\psi_{m1}^2 + \omega_{m1}^2)^2}{m^4 + \nu m^2(2\psi_{m1}^2 - 2\omega_{m1}^2) + \nu^2(\psi_{m1}^2 + \omega_{m1}^2)^2}$$

$$\begin{aligned} b_{m1} &= \left( \frac{m}{\psi_{m1}^2 + \omega_{m1}^2} \right) (\psi_{m1} a_{m1} - \omega_{m1} a_{m2}) + \frac{m [-2m^2 - 2\nu m^2 - (2+2\nu)\nu(\psi_{m1}^2 + \omega_{m1}^2)] (\psi_{m1} a_{m1})}{m^4 + \nu m^2(2\psi_{m1}^2 - 2\omega_{m1}^2) + \nu^2(\psi_{m1}^2 + \omega_{m1}^2)^2} + \\ &- \frac{m [2m^2 + 2\nu m^2 - (2+2\nu)\nu(\psi_{m1}^2 + \omega_{m1}^2)] (\omega_{m1} a_{m2})}{m^4 + \nu m^2(2\psi_{m1}^2 - 2\omega_{m1}^2) + \nu^2(\psi_{m1}^2 + \omega_{m1}^2)^2} \end{aligned}$$

$$\rightarrow b_{m1} = \left\{ \frac{m}{\psi_{m1}^2 + \omega_{m1}^2} - \frac{2m(1+\nu)\nu(\psi_{m1}^2 + \omega_{m1}^2)}{m^4 + \nu m^2(2\psi_{m1}^2 - 2\omega_{m1}^2) + \nu^2(\psi_{m1}^2 + \omega_{m1}^2)^2} \right\} (\psi_{m1} a_{m1} - \omega_{m1} a_{m2}) - \frac{2m^3(1+\nu)(\psi_{m1} a_{m1} + \omega_{m1} a_{m2})}{m^4 + \nu m^2(2\psi_{m1}^2 - 2\omega_{m1}^2) + \nu^2(\psi_{m1}^2 + \omega_{m1}^2)^2}$$

$$\begin{aligned} b_{m2} &= (M_{m1} A_{m1} - M_{m2} A_{m2}) i = \left( \frac{\eta_{m1} + \eta_{m2}}{2} \right) i (A_{m1} - A_{m2}) + \left( \frac{\eta_{m1} - \eta_{m2}}{2} \right) i (A_{m1} + A_{m2}) = \\ &= \left( \frac{\eta_{m1} + \eta_{m2}}{2} \right) a_{m2} - \left( \frac{\eta_{m1} - \eta_{m2}}{2i} \right) a_{m1} \end{aligned}$$

$$\rightarrow b_{m2} = \left\{ \frac{m}{\psi_{m1}^2 + \omega_{m1}^2} - \frac{2m(1+\nu)\nu(\psi_{m1}^2 + \omega_{m1}^2)}{m^4 + \nu m^2(2\psi_{m1}^2 - 2\omega_{m1}^2) + \nu^2(\psi_{m1}^2 + \omega_{m1}^2)^2} \right\} (\psi_{m1} a_{m2} + \omega_{m1} a_{m1}) - \frac{2m^3(1+\nu)(\psi_{m1} a_{m2} - \omega_{m1} a_{m1})}{m^4 + \nu m^2(2\psi_{m1}^2 - 2\omega_{m1}^2) + \nu^2(\psi_{m1}^2 + \omega_{m1}^2)^2}$$



$$b_{m3} = (\eta_{m5} A_{m5} + \eta_{m6} A_{m6}) = \left( \frac{\eta_{m5} + \eta_{m6}}{2} \right) (A_{m5} + A_{m6}) + \left( \frac{\eta_{m5} - \eta_{m6}}{2} \right) (A_{m5} - A_{m6}) =$$

$$= \frac{\eta_{m5} + \eta_{m6}}{2} a_{m3} + \frac{\eta_{m5} - \eta_{m6}}{2i} a_{m4}$$

$$\eta_{m5} = \frac{-\lambda_{m5}^2 m (2+\gamma) + m^3}{\lambda_{m5} m^2 + \gamma \lambda_{m5}^3} = \frac{-(\psi_{m2} + i\omega_{m2})^2 m (2+\gamma) + m^3}{(\psi_{m2} + i\omega_{m2}) m^2 + \gamma (\psi_{m2} + i\omega_{m2})^3}$$

$$\eta_{m6} = \frac{-\lambda_{m6}^2 m (2+\gamma) + m^3}{\lambda_{m6} m^2 + \gamma \lambda_{m6}^3} = \frac{-(\psi_{m2} - i\omega_{m2})^2 m (2+\gamma) + m^3}{(\psi_{m2} - i\omega_{m2}) m^2 + \gamma (\psi_{m2} - i\omega_{m2})^3}$$

$$\rightarrow b_{m3} = \left\{ \frac{m}{\psi_{m2}^2 + \omega_{m2}^2} - \frac{2m(1+\gamma)\psi(\psi_{m2}^2 + \omega_{m2}^2)}{m^4 + \gamma m^2(2\psi_{m2}^2 - 2\omega_{m2}^2) + \gamma^2(\psi_{m2}^2 + \omega_{m2}^2)^2} \right\} \left( \psi_{m2} a_{m3} - \omega_{m2} a_{m4} \right) - \frac{2m^3(1+\gamma)(\psi_{m2} a_{m3} + \omega_{m2} a_{m4})}{m^4 + \gamma m^2(2\psi_{m2}^2 - 2\omega_{m2}^2) + \gamma^2(\psi_{m2}^2 + \omega_{m2}^2)^2}$$

$$b_{m4} = (\eta_{m5} A_{m5} - \eta_{m6} A_{m6}) i = \left( \frac{\eta_{m5} + \eta_{m6}}{2} \right) i (A_{m5} - A_{m6}) + \left( \frac{\eta_{m5} - \eta_{m6}}{2} \right) i (A_{m5} + A_{m6}) =$$

$$= \frac{\eta_{m5} + \eta_{m6}}{2} a_{m4} - \frac{\eta_{m5} - \eta_{m6}}{2i} a_{m3}$$

$$\rightarrow b_{m4} = \left\{ \frac{m}{\psi_{m2}^2 + \omega_{m2}^2} - \frac{2m(1+\gamma)\psi(\psi_{m2}^2 + \omega_{m2}^2)}{m^4 + \gamma m^2(2\psi_{m2}^2 - 2\omega_{m2}^2) + \gamma^2(\psi_{m2}^2 + \omega_{m2}^2)^2} \right\} \left( \psi_{m2} a_{m4} + \omega_{m2} a_{m3} \right) - \frac{2m^3(1+\gamma)(\psi_{m2} a_{m4} - \omega_{m2} a_{m3})}{m^4 + \gamma m^2(2\psi_{m2}^2 - 2\omega_{m2}^2) + \gamma^2(\psi_{m2}^2 + \omega_{m2}^2)^2}$$

Wir definieren nun:  $c_{m1} = (\zeta_{m1} A_{m1} + \zeta_{m2} A_{m2})$

$$c_{m2} = (\zeta_{m1} A_{m1} - \zeta_{m2} A_{m2}) i$$

$$c_{m3} = (\zeta_{m5} A_{m5} + \zeta_{m6} A_{m6})$$

$$c_{m4} = (\zeta_{m5} A_{m5} - \zeta_{m6} A_{m6}) i$$

Hiermit folgt dann  $\bar{w}_{mH}$ :

$$\bar{w}_{mH} = e^{\psi_{m1} \bar{x}} \left\{ c_{m1} \cos \omega_{m1} \bar{x} + c_{m2} \sin \omega_{m1} \bar{x} \right\} + e^{-\psi_{m1} \bar{x}} \left\{ c_{m1} \cos \omega_{m1} \bar{x} - c_{m2} \sin \omega_{m1} \bar{x} \right\} +$$

$$+ e^{\psi_{m2} \bar{x}} \left\{ c_{m3} \cos \omega_{m2} \bar{x} + c_{m4} \sin \omega_{m2} \bar{x} \right\} + e^{-\psi_{m2} \bar{x}} \left\{ c_{m3} \cos \omega_{m2} \bar{x} - c_{m4} \sin \omega_{m2} \bar{x} \right\}$$

Op overeenkomstige wijze als  $b_{m_i}$  uitgedrukt werd in  $a_{m_i}$ , drukken we nu  $c_{m_i}$  uit in  $a_{m_i}$  voor  $i=1, 2$

$$c_{m_1} = \zeta_{m_1} A_{m_1} + \zeta_{m_2} A_{m_2} = \left( \frac{\zeta_{m_1} + \zeta_{m_2}}{2} \right) (A_{m_1} + A_{m_2}) + \left( \frac{\zeta_{m_1} - \zeta_{m_2}}{2i} \right) (A_{m_1} - A_{m_2})$$

$$= \frac{\zeta_{m_1} + \zeta_{m_2}}{2} a_{m_1} + \frac{\zeta_{m_1} - \zeta_{m_2}}{2i} a_{m_2}$$

$$\zeta_{m_1} = \frac{-\lambda_{m_1}^4 + 2\lambda_{m_1}^2 m^2 - m^4}{\lambda_{m_1} m^2 + \gamma \lambda_{m_1}^3} = \frac{-(\lambda_{m_1}^2 - m^2)^2}{\lambda_{m_1} m^2 + \gamma \lambda_{m_1}^3} = \frac{-(\psi_{m_1}^2 - \omega_{m_1}^2 + 2i\psi_{m_1} \omega_{m_1} - m^2)^2}{(\psi_{m_1} + i\omega_{m_1}) m^2 + \gamma (\psi_{m_1} + i\omega_{m_1})^2}$$

$$\zeta_{m_2} = \frac{-\lambda_{m_2}^4 + 2\lambda_{m_2}^2 m^2 - m^4}{\lambda_{m_2} m^2 + \gamma \lambda_{m_2}^3} = \frac{-(\lambda_{m_2}^2 - m^2)^2}{\lambda_{m_2} m^2 + \gamma \lambda_{m_2}^3} = \frac{-(\psi_{m_2}^2 - \omega_{m_2}^2 - 2i\psi_{m_2} \omega_{m_2} - m^2)^2}{(\psi_{m_2} - i\omega_{m_2}) m^2 + \gamma (\psi_{m_2} - i\omega_{m_2})^2}$$

$$\frac{\zeta_{m_1} + \zeta_{m_2}}{2} = \frac{1}{2(\psi_{m_1}^2 + \omega_{m_1}^2)} \frac{-(\psi_{m_1}^2 - \omega_{m_1}^2 + 2i\psi_{m_1} \omega_{m_1} - m^2)^2 \{m^2 + \gamma(\psi_{m_1} - i\omega_{m_1})^2\} (\psi_{m_1} - i\omega_{m_1})}{\{m^2 + \gamma(\psi_{m_1} - i\omega_{m_1})^2\} \{m^2 + \gamma(\psi_{m_1} + i\omega_{m_1})^2\}} +$$

$$+ \frac{1}{2(\psi_{m_1}^2 + \omega_{m_1}^2)} \frac{-(\psi_{m_1}^2 - \omega_{m_1}^2 - 2i\psi_{m_1} \omega_{m_1} - m^2)^2 \{m^2 + \gamma(\psi_{m_1} + i\omega_{m_1})^2\} (\psi_{m_1} + i\omega_{m_1})}{\{m^2 + \gamma(\psi_{m_1} - i\omega_{m_1})^2\} \{m^2 + \gamma(\psi_{m_1} + i\omega_{m_1})^2\}} =$$

$$= -\psi_{m_1} \left[ \frac{m^2}{\psi_{m_1}^2 + \omega_{m_1}^2} + \frac{-m^2(1+\gamma)^2(\psi_{m_1}^2 + \omega_{m_1}^2) + 2m^2(\psi_{m_1}^2 - \omega_{m_1}^2) + \gamma(\psi_{m_1}^2 + \omega_{m_1}^2)^2 - (2+\gamma)m^4}{m^4 + \gamma m^2(2\psi_{m_1}^2 - 2\omega_{m_1}^2) + \gamma^2(\psi_{m_1}^2 + \omega_{m_1}^2)^2} \right]$$

$$\frac{\zeta_{m_1} - \zeta_{m_2}}{2i} = \omega_{m_1} \left[ \frac{m^2}{\psi_{m_1}^2 + \omega_{m_1}^2} + \frac{-m^2(1+\gamma)^2(\psi_{m_1}^2 + \omega_{m_1}^2) - 2m^2(\psi_{m_1}^2 - \omega_{m_1}^2) - \gamma(\psi_{m_1}^2 + \omega_{m_1}^2)^2 + (2+\gamma)m^4}{m^4 + \gamma m^2(2\psi_{m_1}^2 - 2\omega_{m_1}^2) + \gamma^2(\psi_{m_1}^2 + \omega_{m_1}^2)^2} \right]$$

$$\rightarrow c_{m_1} = \frac{m^2(-\psi_{m_1} a_{m_1} + \omega_{m_1} a_{m_2})}{\psi_{m_1}^2 + \omega_{m_1}^2} + \frac{m^2(1+\gamma)^2(\psi_{m_1}^2 + \omega_{m_1}^2)(\psi_{m_1} a_{m_1} - \omega_{m_1} a_{m_2}) - [2m^2(\psi_{m_1}^2 - \omega_{m_1}^2) + \gamma(\psi_{m_1}^2 + \omega_{m_1}^2)^2 - (2+\gamma)m^4](\psi_{m_1} a_{m_2} - \omega_{m_1} a_{m_1})}{m^4 + \gamma m^2(2\psi_{m_1}^2 - 2\omega_{m_1}^2) + \gamma^2(\psi_{m_1}^2 + \omega_{m_1}^2)^2}$$

$$c_{m_2} = (\zeta_{m_1} A_{m_1} - \zeta_{m_2} A_{m_2}) i = \left( \frac{\zeta_{m_1} + \zeta_{m_2}}{2} \right) i (A_{m_1} - A_{m_2}) + \left( \frac{\zeta_{m_1} - \zeta_{m_2}}{2} \right) i (A_{m_1} + A_{m_2}) =$$

$$= \left( \frac{\zeta_{m_1} + \zeta_{m_2}}{2} \right) a_{2m} - \left( \frac{\zeta_{m_1} - \zeta_{m_2}}{2i} \right) a_{1m}$$

$$\rightarrow c_{m_2} = \frac{m^2(-\psi_{m_1} a_{m_2} - \omega_{m_1} a_{m_1})}{\psi_{m_1}^2 + \omega_{m_1}^2} + \frac{m^2(1+\gamma)^2(\psi_{m_1}^2 + \omega_{m_1}^2)(\psi_{m_1} a_{m_2} + \omega_{m_1} a_{m_1}) - [2m^2(\psi_{m_1}^2 - \omega_{m_1}^2) + \gamma(\psi_{m_1}^2 + \omega_{m_1}^2)^2 - (2+\gamma)m^4](\psi_{m_1} a_{m_2} - \omega_{m_1} a_{m_1})}{m^4 + \gamma m^2(2\psi_{m_1}^2 - 2\omega_{m_1}^2) + \gamma^2(\psi_{m_1}^2 + \omega_{m_1}^2)^2}$$

$$\begin{aligned} \epsilon_{m3} &= \zeta_{m5} A_{m5} + \zeta_{m6} A_{m6} = \left( \frac{\zeta_{m5} + \zeta_{m6}}{2} \right) (A_{m5} + A_{m6}) + \left( \frac{\zeta_{m5} - \zeta_{m6}}{2} \right) (A_{m5} - A_{m6}) = \\ &= \frac{\zeta_{m5} + \zeta_{m6}}{2} a_{m3} + \frac{\zeta_{m5} - \zeta_{m6}}{2i} a_{m4} \end{aligned}$$

$$\zeta_{m5} = \frac{-\lambda_{m5}^4 + 2\lambda_{m5}^2 m^2 - m^4}{\lambda_{m5} m^2 + \gamma \lambda_{m5}^3} = \frac{-(\lambda_{m5}^2 - m^2)^2}{\lambda_{m5} m^2 - \gamma \lambda_{m5}^3} = \frac{-(\psi_{m2}^2 - \omega_{m2}^2 + 2i\psi_{m2}\omega_{m2} - m^2)^2}{(\psi_{m2} + \omega_{m2}i)m^2 + \gamma(\psi_{m2} + i\omega_{m2})^3}$$

$$\zeta_{m6} = \frac{-\lambda_{m6}^4 + 2\lambda_{m6}^2 m^2 - m^4}{\lambda_{m6} m^2 + \gamma \lambda_{m6}^3} = \frac{-(\lambda_{m6}^2 - m^2)^2}{\lambda_{m6} m^2 - \gamma \lambda_{m6}^3} = \frac{-(\psi_{m2}^2 - \omega_{m2}^2 - 2i\psi_{m2}\omega_{m2} - m^2)^2}{(\psi_{m2} - \omega_{m2}i)m^2 + \gamma(\psi_{m2} - i\omega_{m2})^3}$$

$$\rightarrow \epsilon_{m3} = \frac{m^2(-\psi_{m2} a_{m3} + \omega_{m2} a_{m4})}{\psi_{m2}^2 + \omega_{m2}^2} + \frac{m^2(1+\gamma)^2(\psi_{m2}^2 + \omega_{m2}^2)(\psi_{m2} a_{m3} - \omega_{m2} a_{m4}) - [2m^2(\psi_{m2}^2 - \omega_{m2}^2) + \gamma(\psi_{m2}^2 + \omega_{m2}^2)^2 - (2\gamma)m^4](\psi_{m2} a_{m3} + \omega_{m2} a_{m4})}{m^4 + \gamma m^2(2\psi_{m2}^2 - 2\omega_{m2}^2) + \gamma^2(\psi_{m2}^2 + \omega_{m2}^2)^2}$$

$$\epsilon_{m4} = (\zeta_{m5} A_{m5} - \zeta_{m6} A_{m6}) i = \left( \frac{\zeta_{m5} + \zeta_{m6}}{2} \right) i (A_{m5} - A_{m6}) + \left( \frac{\zeta_{m5} - \zeta_{m6}}{2} \right) i (A_{m5} + A_{m6}) =$$

$$= \frac{\zeta_{m5} + \zeta_{m6}}{2} a_{m4} - \frac{\zeta_{m5} - \zeta_{m6}}{2i} a_{m3}$$

$$\rightarrow \epsilon_{m4} = \frac{m^2(-\psi_{m2} a_{m4} - \omega_{m2} a_{m3})}{\psi_{m2}^2 + \omega_{m2}^2} + \frac{m^2(1+\gamma)^2(\psi_{m2}^2 + \omega_{m2}^2)(\psi_{m2} a_{m4} + \omega_{m2} a_{m3}) - [2m^2(\psi_{m2}^2 - \omega_{m2}^2) + \gamma(\psi_{m2}^2 + \omega_{m2}^2)^2 - (2\gamma)m^4](\psi_{m2} a_{m4} - \omega_{m2} a_{m3})}{m^4 + \gamma m^2(2\psi_{m2}^2 - 2\omega_{m2}^2) + \gamma^2(\psi_{m2}^2 + \omega_{m2}^2)^2}$$

Met de bepaling van  $b_{mi}$  en  $\epsilon_{mi}$  als functie van  $a_{mi}$  blijven er voor elke waarde van  $m$ , slechts vier constanten over in dit gedeelte van de homogene oplossing, nl  $a_{m1}$ ,  $a_{m2}$ ,  $a_{m3}$  en  $a_{m4}$ .

Deze constanten zullen bepaald moeten worden met behulp van de randvoorwaarden bij  $x = l/2R$ .

De constanten, die nog bepaald moeten worden uit het gedeelte van de homogene oplossing, dat onafhankelijk is van  $\bar{t}$ , zullen tevens met deze randvoorwaarden berekend moeten worden.

Voordat we dit kunnen doen is het noodzakelijk dat we de particuliere oplossing kennen.

5.8. De particuliere oplossing

Evenals bij de meer algemene theorie, die eerder is behandeld wordt voor de particuliere oplossing:

$$\bar{u}_p = \sum_{n=1}^{\infty} \bar{u}_{0np} \sin \frac{2\pi R}{L} n\bar{x} + \sum_{m=1}^{\infty} \sum_{n=1}^{\infty} \bar{u}_{mnp} \cos m\bar{y} \sin \frac{2\pi R}{L} n\bar{x}$$

$$\bar{v}_p = \sum_{m=1}^{\infty} \sum_{n=0}^{\infty} \bar{v}_{mnp} \sin m\bar{y} \cos \frac{2\pi R}{L} n\bar{x}$$

$$\bar{w}_p = \sum_{n=0}^{\infty} \bar{w}_{0np} \cos \frac{2\pi R}{L} n\bar{x} + \sum_{m=1}^{\infty} \sum_{n=0}^{\infty} \bar{w}_{mnp} \cos m\bar{y} \cos \frac{2\pi R}{L} n\bar{x}$$

We beperken ons tot die belastingsgevallen waarvoor geldt:

$$\bar{p}_x = \bar{p}_y = 0$$

Eerst bekijken we het gedeelte van de particuliere oplossing, dat onafhankelijk is van  $\bar{y}$  met  $n=0$ .

In de vereenvoudigde differentiaalvergelijkingen (XXVII), (XXVIII) en (XXIX) substitueren we:

$$\bar{p}_r = \bar{p}_{r00} \quad \text{en} \quad \begin{aligned} \bar{u} &= 0 \\ \bar{v} &= 0 \\ \bar{w} &= \bar{w}_{00p} \end{aligned}$$

Dit geeft:  $\bar{w}_{00p} = \bar{p}_{r00}$

We bekijken nu hetzelfde gedeelte van de particuliere oplossing voor alle andere waarden van  $n$ . Daaruit nemen we de algemene term:

$$\begin{aligned} \bar{p}_r &= \bar{p}_{r0n} \cos \frac{2\pi R}{L} n\bar{x} & \bar{u} &= \bar{u}_{0np} \sin \frac{2\pi R}{L} n\bar{x} \\ & & \bar{v} &= 0 \\ & & \bar{w} &= \bar{w}_{0np} \cos \frac{2\pi R}{L} n\bar{x} \end{aligned}$$

voor  $n = 1, \dots, \infty$

Deze termen moeten we substitueren in (XXVII), (XXVIII) en (XXIX).

Dit geeft respectievelijk:

$$0 = \left[ \left( \frac{2\pi R}{L} \right)^2 n^2 \right] \bar{u}_{onp} + \left[ \gamma \left( \frac{2\pi R}{L} \right) n \right] \bar{w}_{onp}$$

$$0 = 0$$

$$\bar{p}_{ron} = \left[ \gamma \left( \frac{2\pi R}{L} \right) n \right] \bar{u}_{onp} + \left[ 1 + k \left( \frac{2\pi R}{L} \right)^4 n^4 \right] \bar{w}_{onp}$$

$$\rightarrow \bar{w}_{onp} = \frac{\bar{p}_{ron}}{1 - \gamma^2 + k \cdot \left( \frac{2\pi R}{L} \right)^4 n^4} \quad n = 1 \dots \infty$$

$$\bar{u}_{onp} = \frac{-\gamma \bar{p}_{ron}}{(1 - \gamma^2) \left( \frac{2\pi R}{L} \right) n + k \left( \frac{2\pi R}{L} \right)^5 n^5} \quad n = 1 \dots \infty$$

We beschouwen nu het gedeelte van de particuliere oplossing dat wel afhankelijk is van  $\bar{\varphi}$  met  $n=0$ . Daaruit nemen we de algemene term:

$$\bar{p}_r = \bar{p}_{rmo} \cos m\bar{\varphi}$$

$$\bar{u} = 0$$

$$\bar{v} = \bar{v}_{mop} \sin m\bar{\varphi}$$

$$\bar{w} = \bar{w}_{mop} \cos m\bar{\varphi}$$

$$\text{voor } m = 1 \dots \infty$$

Substitutie in de differentiaalvergelijkingen geeft:

$$0 = 0$$

$$0 = [m^2] \bar{v}_{mop} + [m] \bar{w}_{mop}$$

$$\bar{p}_{rmo} = [m] \bar{v}_{mop} + [1 + k m^4] \bar{w}_{mop}$$

$$\rightarrow \bar{w}_{mop} = \frac{1}{k m^4} \bar{p}_{rmo} \quad m = 1 \dots \infty$$

$$\bar{v}_{mop} = \frac{-1}{k m^5} \bar{p}_{rmo} \quad m = 1 \dots \infty$$

Nu beschouwen we de rest (andere  $n$ ) van dit gedeelte. De algemene term is:

$$\bar{p}_r = \bar{p}_{rmp} \cos m\bar{\varphi} \cos \frac{2\pi R}{L} n\bar{x}$$

$$\bar{u} = \bar{u}_{mnp} \cos m\bar{\varphi} \sin \frac{2\pi R}{L} n\bar{x}$$

$$\bar{v} = \bar{v}_{mnp} \sin m\bar{\varphi} \cos \frac{2\pi R}{L} n\bar{x}$$

$$\bar{w} = \bar{w}_{mnp} \cos m\bar{\varphi} \cos \frac{2\pi R}{L} n\bar{x}$$

Dit geldt voor  $n=1, \dots, \infty$  en  $m=1, \dots, \infty$ .

Bij substitutie in de vergelijkingen volgt respectievelijk:

$$\left[ \left( \frac{2\pi R}{L} \right)^2 n^2 + \frac{1-\nu}{2} m^2 \right] \bar{u}_{mnp} + \left[ \frac{1+\nu}{2} \left( \frac{2\pi R}{L} \right) n \cdot m \right] \bar{v}_{mnp} + \left[ \nu \left( \frac{2\pi R}{L} \right) n \right] \bar{w}_{mnp} = \bar{P}_{xmn}$$

$$\left[ \frac{1+\nu}{2} \left( \frac{2\pi R}{L} \right) n \cdot m \right] \bar{u}_{mnp} + \left[ m^2 + \frac{1-\nu}{2} \left( \frac{2\pi R}{L} \right)^2 n^2 \right] \bar{v}_{mnp} + \left[ m \right] \bar{w}_{mnp} = \bar{P}_{ymn}$$

$$\left[ \nu \left( \frac{2\pi R}{L} \right) n \right] \bar{u}_{mnp} + \left[ m \right] \bar{v}_{mnp} + \left[ 1 + k \left( \frac{2\pi R}{L} \right)^4 n^4 + 2k \left( \frac{2\pi R}{L} \right)^2 n^2 m^2 + k m^4 \right] \bar{w}_{mnp} = \bar{P}_{r mn}$$

Dit zijn drie vergelijkingen in de drie onbekenden:  $\bar{u}_{mnp}$ ,  $\bar{v}_{mnp}$  en  $\bar{w}_{mnp}$ , die we op zullen lossen.

We hadden ons reeds beperkt tot die belastingsgewallen waarvoor  $\bar{P}_x$  en  $\bar{P}_y$  nul zijn en dus:

$$\bar{P}_{xmn} = 0 \quad \text{en} \quad \bar{P}_{ymn} = 0$$

$$\bar{u}_{mnp} = \frac{\begin{vmatrix} 0 & \left[ \frac{1+\nu}{2} \left( \frac{2\pi R}{L} \right) nm \right] & \left[ \nu \left( \frac{2\pi R}{L} \right) n \right] \\ 0 & \left[ m^2 + \frac{1-\nu}{2} \left( \frac{2\pi R}{L} \right)^2 n^2 \right] & [m] \\ \bar{P}_{r mn} & [m] & \left[ 1 + k \left( \frac{2\pi R}{L} \right)^4 n^4 + 2k \left( \frac{2\pi R}{L} \right)^2 n^2 m^2 + k m^4 \right] \end{vmatrix}}{\begin{vmatrix} \left[ \left( \frac{2\pi R}{L} \right)^2 n^2 + \frac{1-\nu}{2} m^2 \right] & \left[ \frac{1+\nu}{2} \left( \frac{2\pi R}{L} \right) nm \right] & \left[ \nu \left( \frac{2\pi R}{L} \right) n \right] \\ \left[ \frac{1+\nu}{2} \left( \frac{2\pi R}{L} \right) nm \right] & \left[ m^2 + \frac{1-\nu}{2} \left( \frac{2\pi R}{L} \right)^2 n^2 \right] & [m] \\ \left[ \nu \left( \frac{2\pi R}{L} \right) n \right] & [m] & \left[ 1 + k \left( \frac{2\pi R}{L} \right)^4 n^4 + 2k \left( \frac{2\pi R}{L} \right)^2 n^2 m^2 + k m^4 \right] \end{vmatrix}}$$

$$\bar{u}_{mnp} = \frac{\left\{ \frac{1-\nu}{2} \left( \frac{2\pi R}{L} \right) nm^2 - \nu \frac{1-\nu}{2} \left( \frac{2\pi R}{L} \right)^3 n^3 \right\} \bar{P}_{r mn}}{k \frac{1-\nu}{2} \left[ \left( \frac{2\pi R}{L} \right)^2 n^2 + m^2 \right]^4 + (1-\nu^2) \frac{1-\nu}{2} \left( \frac{2\pi R}{L} \right)^4 n^4}$$

$$= \frac{\left( \frac{2\pi R}{L} \right) nm^2 - \nu \left( \frac{2\pi R}{L} \right)^3 n^3}{k \left[ \left( \frac{2\pi R}{L} \right)^2 n^2 + m^2 \right]^4 + (1-\nu^2) \left( \frac{2\pi R}{L} \right)^4 n^4} \bar{P}_{r mn}$$

$$\bar{V}_{mnp} = \frac{\begin{vmatrix} \left[ \left( \frac{2\pi R}{L} \right)^2 n^2 + \frac{1-\nu}{2} m^2 \right] & 0 & \left[ \nu \left( \frac{2\pi R}{L} \right) n \right] \\ \left[ \frac{1+\nu}{2} \left( \frac{2\pi R}{L} \right) nm \right] & 0 & [m] \\ \left[ \nu \left( \frac{2\pi R}{L} \right) n \right] & \bar{P}_{r_{mn}} & \left[ 1 + k \left( \frac{2\pi R}{L} \right)^4 n^4 + 2k \left( \frac{2\pi R}{L} \right)^2 n^2 m^2 + k m^4 \right] \end{vmatrix}}{k \frac{1-\nu}{2} \left[ \left( \frac{2\pi R}{L} \right)^2 n^2 + m^2 \right]^4 + (1-\nu^2) \frac{1-\nu}{2} \left( \frac{2\pi R}{L} \right)^4 n^4}$$

$$\begin{aligned} \bar{V}_{mnp} &= \frac{\left\{ \frac{(\nu-1)(\nu+2)}{2} \left( \frac{2\pi R}{L} \right)^2 n^2 m - \frac{1-\nu}{2} m^3 \right\} \bar{P}_{r_{mn}}}{k \frac{1-\nu}{2} \left[ \left( \frac{2\pi R}{L} \right)^2 n^2 + m^2 \right]^4 + (1-\nu^2) \frac{1-\nu}{2} \left( \frac{2\pi R}{L} \right)^4 n^4} = \\ &= \frac{(\nu+2) \left( \frac{2\pi R}{L} \right)^2 n^2 m - m^3}{k \left[ \left( \frac{2\pi R}{L} \right)^2 n^2 + m^2 \right]^4 + (1-\nu^2) \left( \frac{2\pi R}{L} \right)^4 n^4} \cdot \bar{P}_{r_{mn}} \end{aligned}$$

$$\bar{W}_{mnp} = \frac{\begin{vmatrix} \left[ \left( \frac{2\pi R}{L} \right)^2 n^2 + \frac{1-\nu}{2} m^2 \right] & \left[ \frac{1+\nu}{2} \left( \frac{2\pi R}{L} \right) nm \right] & 0 \\ \left[ \frac{1+\nu}{2} \left( \frac{2\pi R}{L} \right) nm \right] & \left[ m^2 + \frac{1-\nu}{2} \left( \frac{2\pi R}{L} \right)^2 n^2 \right] & 0 \\ \left[ \nu \left( \frac{2\pi R}{L} \right) n \right] & [m] & \bar{P}_{r_{mn}} \end{vmatrix}}{k \frac{1-\nu}{2} \left[ \left( \frac{2\pi R}{L} \right)^2 n^2 + m^2 \right]^4 + (1-\nu^2) \frac{1-\nu}{2} \left( \frac{2\pi R}{L} \right)^4 n^4}$$

$$\bar{W}_{mnp} = \frac{\left\{ \frac{1-\nu}{2} m^4 + \frac{1-\nu}{2} \cdot 2 \left( \frac{2\pi R}{L} \right)^2 n^2 m^2 + \frac{1-\nu}{2} \left( \frac{2\pi R}{L} \right)^4 n^4 \right\} \bar{P}_{r_{mn}}}{k \frac{1-\nu}{2} \left[ \left( \frac{2\pi R}{L} \right)^2 n^2 + m^2 \right]^4 + (1-\nu^2) \frac{1-\nu}{2} \left( \frac{2\pi R}{L} \right)^4 n^4}$$

$$= \frac{\left[ \left( \frac{2\pi R}{L} \right)^2 n^2 + m^2 \right]^2}{k \left[ \left( \frac{2\pi R}{L} \right)^2 n^2 + m^2 \right]^4 + (1-\nu^2) \left( \frac{2\pi R}{L} \right)^4 n^4} \cdot \bar{P}_{r_{mn}}$$

$\bar{U}_{mnp}$ ,  $\bar{V}_{mnp}$  en  $\bar{W}_{mnp}$  zijn nu bekend.

Hiermede is dan de particuliere oplossing bekend.

Hiervoor geldt:

$$\bar{u}_p = \bar{u}_{0p} + \sum_{m=1}^{\infty} \bar{u}_{mp} \cos m\bar{\varphi}$$

$$\bar{u}_{0p} = \sum_{n=1}^{\infty} \frac{-\gamma \bar{P}_{10n}}{(1-\gamma^2) \left(\frac{2\pi R}{L}\right) n + k \left(\frac{2\pi R}{L}\right)^5 n^5} \cdot \sin \frac{2\pi R}{L} n\bar{x}$$

$$\bar{u}_{mp} = \sum_{n=1}^{\infty} \frac{\left\{ \left(\frac{2\pi R}{L}\right) n m^2 - \gamma \left(\frac{2\pi R}{L}\right)^3 n^3 \right\} \bar{P}_{r mn}}{k \left[ \left(\frac{2\pi R}{L}\right)^2 n^2 + m^2 \right]^4 + (1-\gamma^2) \left(\frac{2\pi R}{L}\right)^4 n^4} \sin \frac{2\pi R}{L} n\bar{x}$$

$$\bar{v}_p = \sum_{m=1}^{\infty} \bar{v}_{mp} \sin m\bar{\varphi}$$

$$\bar{v}_{mp} = -\frac{\bar{P}_{r m 0}}{k m^5} + \sum_{n=1}^{\infty} \frac{\left\{ (\gamma+2) \left(\frac{2\pi R}{L}\right)^2 n^2 m - m^3 \right\} \bar{P}_{r mn}}{k \left[ \left(\frac{2\pi R}{L}\right)^2 n^2 + m^2 \right]^4 + (1-\gamma^2) \left(\frac{2\pi R}{L}\right)^4 n^4} \cdot \cos \frac{2\pi R}{L} n\bar{x}$$

$$\bar{w}_p = \bar{w}_{0p} + \sum_{m=1}^{\infty} \bar{w}_{mp} \cos m\bar{\varphi}$$

$$\bar{w}_{0p} = \bar{P}_{r 0 0} + \sum_{n=1}^{\infty} \frac{\bar{P}_{r 0 n}}{1-\gamma^2 + k \left(\frac{2\pi R}{L}\right)^4 n^4} \cos \frac{2\pi R}{L} n\bar{x}$$

$$\bar{w}_{mp} = \frac{\bar{P}_{r m 0}}{k m^4} + \sum_{n=1}^{\infty} \frac{\left[ \left(\frac{2\pi R}{L}\right)^2 n^2 + m^2 \right]^2 \bar{P}_{r mn}}{k \left[ \left(\frac{2\pi R}{L}\right)^2 n^2 + m^2 \right]^4 + (1-\gamma^2) \left(\frac{2\pi R}{L}\right)^4 n^4} \cos \frac{2\pi R}{L} n\bar{x}$$

We weten dat voor de homogene oplossing gold:

$$\bar{u}_H = \bar{u}_{0H} + \sum_{m=1}^{\infty} \bar{u}_{mH} \cos m\bar{\varphi}$$

$$\bar{v}_H = \sum_{m=1}^{\infty} \bar{v}_{mH} \sin m\bar{\varphi}$$

$$\bar{w}_H = \bar{w}_{0H} + \sum_{m=1}^{\infty} \bar{w}_{mH} \cos m\bar{\varphi}$$

In  $\bar{u}_{0H}$  en  $\bar{w}_{0H}$  nog drie constanten:  $a_0, a_1$  en  $a_2$

In  $\bar{u}_{mH}$ ,  $\bar{v}_{mH}$  en  $\bar{w}_{mH}$  voor iedere  $m$  nog vier constanten:  $a_{m1}, a_{m2}, a_{m3}$  en  $a_{m4}$



De totale oplossing is nu bepaald:

$$\bar{u} = \bar{u}_{0H} + \bar{u}_{0P} + \sum_{m=1}^{\infty} (\bar{u}_{mH} + \bar{u}_{mP}) \cos m\bar{\varphi}$$

$$\bar{v} = \sum_{m=1}^{\infty} (\bar{v}_{mH} + \bar{v}_{mP}) \sin m\bar{\varphi}$$

$$\bar{w} = \bar{w}_{0H} + \bar{w}_{0P} + \sum_{m=1}^{\infty} (\bar{w}_{mH} + \bar{w}_{mP}) \cos m\bar{\varphi}$$

Het is nu dees tijd om de nog niet bepaalde constanten, die op de vorige pagina zijn genoemd, met behulp van de randvoorwaarden te berekenen.

### 5.9. De randvoorwaarden.

Aangenien we een leker nullen beschouwen waarvan de randen ( $\bar{x} = \pm 1/2R$ ) "vrij" zijn, nullen we alleen de bij een vrije rand behorende randvoorwaarden beschouwen.

We verwachten dat moet gelden:

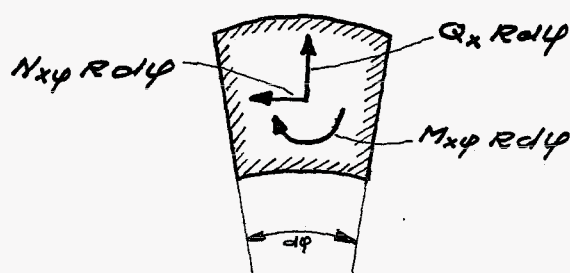
$$N_{x\varphi}(\bar{x} = \pm 1/2R) = N_x(\bar{x} = \pm 1/2R) = Q_x(\bar{x} = \pm 1/2R) = 0$$

$$M_x(\bar{x} = \pm 1/2R) = M_{x\varphi}(\bar{x} = \pm 1/2R) = 0$$

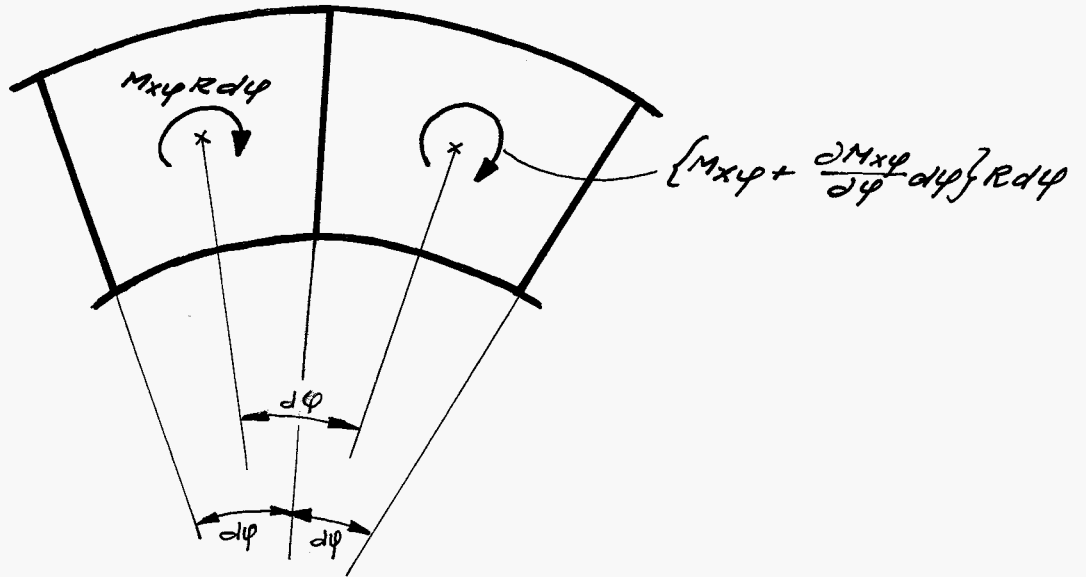
Omdat volledige symmetrie ten opzichte van  $\bar{x} = 0$  aanwezig is, en omdat dit overal al is gebruikt, behoeven we alleen de randvoorwaarden bij  $\bar{x} = 1/2R$  in aanmerking te nemen.

Voor elke waarde van  $\bar{\varphi}$  hebben we dees vijf randvoorwaarden, terwijl we i.h.a. slechts vier onbekenden:  $a_m, a_{m2}, a_{m3}, a_{m4}$  moeten bepalen. Volgens Kirchhoff zijn de genoemde randvoorwaarden echter gehoppeld, zodat er geen reden is tot ongerustheid.

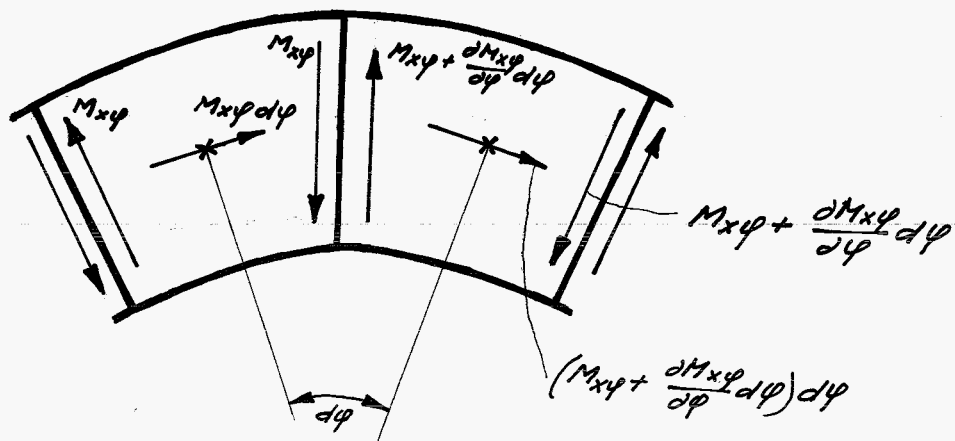
Het moment  $M_{x\varphi}$  is namelijk te zien als een combinatie van een kracht per lengte-eenheid in de richting van  $N_{x\varphi}$  en een kracht per lengte eenheid in de richting van  $Q_x$



We beschouwen alleen  $M_{x\varphi}$



Het bovenstaande systeem is equivalent met het nu volgende:



De gekoppelde randvoorwaarden worden dus:

$$Q_x R d\varphi + \frac{\partial M_{x\varphi}}{\partial \varphi} d\varphi = 0$$

ofwel:  $Q_x + \frac{1}{R} \frac{\partial M_{x\varphi}}{\partial \varphi} = 0$

$$N_{x\varphi} R d\varphi - M_{x\varphi} d\varphi = 0$$

ofwel:  $N_{x\varphi} - \frac{1}{R} M_{x\varphi} = 0$

De randvoorwaarden die we gebruiken zijn dus:

$$\bar{x} = \frac{1}{2}R \rightarrow N_x = 0 \quad (\overline{\text{XXX}})$$

$$M_x = 0 \quad (\overline{\text{XXXI}})$$

$$Q_x + \frac{1}{R} \frac{\partial M_{xy}}{\partial \varphi} = 0 \quad (\overline{\text{XXXII}})$$

$$N_{xy} - \frac{1}{R} M_{xy} = 0 \quad (\overline{\text{XXXIII}})$$

Dese randvoorwaarden gaan we uitdrukken in de dimensioneloze verplaatsingen:  $\bar{u}, \bar{v}, \bar{w}$ .

Mit  $(\overline{\text{XXX}})$  volgt:

$$\left. \begin{array}{l} \bar{x} = \frac{1}{2}R \\ \text{alle } \bar{\varphi} \end{array} \right\} \frac{d\bar{u}}{d\bar{x}} + \gamma \frac{d\bar{v}}{d\bar{\varphi}} + \gamma \bar{w} = 0$$

Wanneer we stellen:  $\bar{u}_0^* = \bar{u}_{0H} + \bar{u}_{0P}$

$$\bar{u}_m^* = \bar{u}_{mH} + \bar{u}_{mP}$$

$$\bar{v}_m^* = \bar{v}_{mH} + \bar{v}_{mP}$$

$$\bar{w}_0^* = \bar{w}_{0H} + \bar{w}_{0P}$$

$$\bar{w}_m^* = \bar{w}_{mH} + \bar{w}_{mP}$$

$$\bar{x} = \frac{1}{2}R$$

$$\frac{d\bar{u}_0^*}{d\bar{x}} + \gamma \bar{w}_0^* + \left\{ \frac{d\bar{u}_m^*}{d\bar{x}} + \gamma m \bar{v}_m^* + \gamma \bar{w}_m^* \right\} \cos m\bar{\varphi} = 0$$

Ongewoen dit moet gelden voor elke  $\bar{\varphi}$  kunnen we concluderen:

$$\bar{x} = \frac{1}{2}R : \frac{d\bar{u}_0^*}{d\bar{x}} + \gamma \bar{w}_0^* = 0 \quad (\overline{\text{XXXIV a}})$$

$$\bar{x} = \frac{1}{2}R : \frac{d\bar{u}_m^*}{d\bar{x}} + \gamma m \bar{v}_m^* + \gamma \bar{w}_m^* = 0 \quad (\overline{\text{XXXIV b}})$$

Op dezelfde wijze geeft (XXXI) :

$$\bar{x} = \frac{1}{2}R : \frac{d^2 \bar{w}_0^*}{d\bar{x}^2} = 0 \quad (\text{XXXV a})$$

$$\bar{x} = \frac{1}{2}R : \frac{d^2 \bar{w}_m^*}{d\bar{x}^2} - \gamma m^2 \bar{w}_m^* = 0 \quad (\text{XXXV b})$$

Evenzo geeft (XXXII) :

$$\bar{x} = \frac{1}{2}R : \frac{d^3 \bar{w}_0^*}{d\bar{x}^3} = 0 \quad (\text{XXXVI a})$$

$$\bar{x} = \frac{1}{2}R : \frac{d^3 \bar{w}_m^*}{d\bar{x}^3} - (2-\gamma)m^2 \frac{d\bar{w}_m^*}{d\bar{x}} = 0 \quad (\text{XXXVI b})$$

Tenslotte geeft (XXXIII) :

$$\bar{x} = \frac{1}{2}R \quad 0 = 0$$

$$\bar{x} = \frac{1}{2}R \quad -m \bar{u}_m^* + \frac{d\bar{v}_m^*}{d\bar{x}} + 2km \frac{d\bar{w}_m^*}{d\bar{x}} = 0 \quad (\text{XXXVII b})$$

Voor de constanten  $a_0$ ,  $a_02$  en  $a_03$  hebben we uiteindelijk drie vergelijkingen over gehanteerd waaruit ze bepaald moeten worden, namelijk: (XXXIV a), (XXXV a) en (XXXVI a).

Voor elke waarde van  $m$  met  $m = 1, \dots, \infty$  hebben we vier vergelijkingen om de constanten  $a_{m1}$ ,  $a_{m2}$ ,  $a_{m3}$  en  $a_{m4}$  te bepalen namelijk: (XXXIV b), (XXXV b), (XXXVI b) en (XXXVII b).

Er is nu niets meer wat de bepaling van deze constanten in de weg kan staan, zodat we over kunnen gaan tot de substitutie in de handvoorwaarden van eerder verkregen formules.

5.10. Bepaling van de constanten

We bepalen eerst de constanten uit het gedeelte van de oplossing, dat onafhankelijk is van  $\bar{y}$ , met andere woorden:  $a_0$ ,  $a_02$  en  $a_03$

Uit (XXXIV a) volgt:

$$\bar{x} = \frac{L}{2R} \rightarrow \frac{d\bar{u}_{0H}}{d\bar{x}} + \gamma \bar{w}_{0H} + \frac{d\bar{u}_{0P}}{d\bar{x}} + \gamma \bar{w}_{0P} = 0$$

Dit geeft:

$$\begin{aligned} a_0 + \frac{\mu}{\sqrt{2}} e^{\frac{\mu}{\sqrt{2}} \cdot \frac{L}{2R}} & \left\{ (a_{02} + a_{03}) \cos \frac{\mu}{\sqrt{2}} \cdot \frac{L}{2R} + (a_{03} - a_{02}) \sin \frac{\mu}{\sqrt{2}} \cdot \frac{L}{2R} \right\} + \\ & + \frac{\mu}{\sqrt{2}} e^{-\frac{\mu}{\sqrt{2}} \cdot \frac{L}{2R}} \left\{ (a_{02} + a_{03}) \cos \frac{\mu}{\sqrt{2}} \cdot \frac{L}{2R} + (-a_{03} + a_{02}) \sin \frac{\mu}{\sqrt{2}} \cdot \frac{L}{2R} \right\} + \\ & - \gamma^2 a_0 + \frac{\mu}{\sqrt{2}} e^{\frac{\mu}{\sqrt{2}} \cdot \frac{L}{2R}} \left\{ (-a_{02} - a_{03}) \cos \frac{\mu}{\sqrt{2}} \cdot \frac{L}{2R} + (a_{02} - a_{03}) \sin \frac{\mu}{\sqrt{2}} \cdot \frac{L}{2R} \right\} + \\ & + \frac{\mu}{\sqrt{2}} e^{-\frac{\mu}{\sqrt{2}} \cdot \frac{L}{2R}} \left\{ (-a_{02} - a_{03}) \cos \frac{\mu}{\sqrt{2}} \cdot \frac{L}{2R} + (-a_{02} + a_{03}) \sin \frac{\mu}{\sqrt{2}} \cdot \frac{L}{2R} \right\} + \\ & + \sum_{n=1}^{\infty} \frac{-\gamma \bar{P}_{ron} \cdot (-1)^n}{1 - \gamma^2 + k \left(\frac{2\pi R}{L}\right)^4 n^4} + \\ & + \gamma \bar{P}_{r00} + \sum_{n=1}^{\infty} \frac{\gamma \bar{P}_{ron} (-1)^n}{1 - \gamma^2 + k \left(\frac{2\pi R}{L}\right)^4 n^4} = 0 \end{aligned}$$

$$\rightarrow (1 - \gamma^2) a_0 + \gamma \bar{P}_{r00} = 0$$

$$\rightarrow \boxed{a_0 = -\frac{\gamma \bar{P}_{r00}}{1 - \gamma^2}}$$

Uit (XXXV a) volgt:

$$\bar{x} = \frac{L}{2R} \rightarrow \frac{d^2 \bar{w}_{0H}}{d\bar{x}^2} + \frac{d^2 \bar{w}_{0P}}{d\bar{x}^2} = 0$$

Dit geeft:

$$\begin{aligned} & \frac{\mu^3}{\sqrt{2}} e^{\frac{\mu}{\sqrt{2}} \cdot \frac{L}{2R}} \left\{ (a_{02} - a_{03}) \cos \frac{\mu}{\sqrt{2}} \cdot \frac{L}{2R} + (a_{02} + a_{03}) \sin \frac{\mu}{\sqrt{2}} \cdot \frac{L}{2R} \right\} + \\ & \frac{\mu^3}{\sqrt{2}} e^{-\frac{\mu}{\sqrt{2}} \cdot \frac{L}{2R}} \left\{ (a_{02} - a_{03}) \cos \frac{\mu}{\sqrt{2}} \cdot \frac{L}{2R} + (-a_{02} - a_{03}) \sin \frac{\mu}{\sqrt{2}} \cdot \frac{L}{2R} \right\} + \\ & + \sum_{n=1}^{\infty} \frac{-\left(\frac{2\pi R}{L}\right)^2 n^2 \cdot \bar{P}_{ron} \cdot (-1)^n}{1 - \nu^2 + k \left(\frac{2\pi R}{L}\right)^4 n^4} = 0 \end{aligned}$$

Mit (~~XXXVI~~ a) volgt

$$\bar{x} = \frac{L}{2R} \rightarrow \frac{d^3 \bar{w}_{OH}}{d\bar{x}^3} + \frac{d^3 \bar{w}_{OP}}{d\bar{x}^3} = 0$$

Dit geeft:

$$\begin{aligned} & \frac{\mu^4}{\nu} e^{\frac{\mu}{\sqrt{2}} \cdot \frac{L}{2R}} \left\{ a_{02} \cos \frac{\mu}{\sqrt{2}} \cdot \frac{L}{2R} + a_{03} \sin \frac{\mu}{\sqrt{2}} \cdot \frac{L}{2R} \right\} + \\ & + \frac{\mu^4}{\nu} e^{-\frac{\mu}{\sqrt{2}} \cdot \frac{L}{2R}} \left\{ -a_{02} \cos \frac{\mu}{\sqrt{2}} \cdot \frac{L}{2R} + a_{03} \sin \frac{\mu}{\sqrt{2}} \cdot \frac{L}{2R} \right\} = 0 \end{aligned}$$

Mit de vergelijkingen verlorege uit (~~XXXV~~ a) en (~~XXXVI~~ a) moeten we  $a_{02}$  en  $a_{03}$  oplossen.

Het resultaat is:

$$a_{02} = \frac{-\left(e^{\frac{\mu L}{2R\sqrt{2}}} - e^{-\frac{\mu L}{2R\sqrt{2}}}\right) \sin \frac{\mu L}{2R\sqrt{2}}}{e^{\frac{\mu L}{R\sqrt{2}}} + e^{-\frac{\mu L}{R\sqrt{2}}} + 2 \cos \frac{\mu L}{R\sqrt{2}}} \cdot \frac{\nu\sqrt{2}}{\mu^3} \sum_{n=1}^{\infty} \frac{-\left(\frac{2\pi R}{L}\right)^2 n^2 \cdot \bar{P}_{ron} \cdot (-1)^n}{1 - \nu^2 + k \left(\frac{2\pi R}{L}\right)^4 n^4}$$

$$a_{03} = \frac{\left(e^{\frac{\mu L}{2R\sqrt{2}}} + e^{-\frac{\mu L}{2R\sqrt{2}}}\right) \cos \frac{\mu L}{2R\sqrt{2}}}{e^{\frac{\mu L}{R\sqrt{2}}} + e^{-\frac{\mu L}{R\sqrt{2}}} + 2 \cos \frac{\mu L}{R\sqrt{2}}} \cdot \frac{\nu\sqrt{2}}{\mu^3} \sum_{n=1}^{\infty} \frac{-\left(\frac{2\pi R}{L}\right)^2 n^2 \cdot \bar{P}_{ron} \cdot (-1)^n}{1 - \nu^2 + k \left(\frac{2\pi R}{L}\right)^4 n^4}$$

Hiermede zijn  $a_{01}$ ,  $a_{02}$  en  $a_{03}$  bepaald.

Het zal blijken dat de overzichtelijkheid van de formules wordt bevorderd wanneer we enkele nieuwe factoren invoeren, in de formules voor  $b_{m1}$ ,  $b_{m2}$ ,  $b_{m3}$ ,  $b_{m4}$ ,  $c_{m1}$ ,  $c_{m2}$ ,  $c_{m3}$  en  $c_{m4}$  :

DEF:

$$b_{m1}^* = \left\{ \frac{m \psi_{m1}}{\psi_{m1}^2 + \omega_{m1}^2} - \frac{2m(1+\gamma)\gamma(\psi_{m1}^2 + \omega_{m1}^2)\psi_{m1} + 2m^3(1+\gamma)\psi_{m1}}{m^4 + \gamma m^2(2\psi_{m1}^2 - 2\omega_{m1}^2) + \gamma^2(\psi_{m1}^2 + \omega_{m1}^2)^2} \right\}$$

$$b_{m2}^* = \left\{ \frac{-m\omega_{m1}}{\psi_{m1}^2 + \omega_{m1}^2} - \frac{-2m(1+\gamma)\gamma(\psi_{m1}^2 + \omega_{m1}^2)\omega_{m1} + 2m^3(1+\gamma)\omega_{m1}}{m^4 + \gamma m^2(2\psi_{m1}^2 - 2\omega_{m1}^2) + \gamma^2(\psi_{m1}^2 + \omega_{m1}^2)^2} \right\}$$

$$b_{m3}^* = \left\{ \frac{m \psi_{m2}}{\psi_{m2}^2 + \omega_{m2}^2} - \frac{2m(1+\gamma)\gamma(\psi_{m2}^2 + \omega_{m2}^2)\psi_{m2} + 2m^3(1+\gamma)\psi_{m2}}{m^4 + \gamma m^2(2\psi_{m2}^2 - 2\omega_{m2}^2) + \gamma^2(\psi_{m2}^2 + \omega_{m2}^2)^2} \right\}$$

$$b_{m4}^* = \left\{ \frac{-m\omega_{m2}}{\psi_{m2}^2 + \omega_{m2}^2} - \frac{-2m(1+\gamma)\gamma(\psi_{m2}^2 + \omega_{m2}^2)\omega_{m2} + 2m^3(1+\gamma)\omega_{m2}}{m^4 + \gamma m^2(2\psi_{m2}^2 - 2\omega_{m2}^2) + \gamma^2(\psi_{m2}^2 + \omega_{m2}^2)^2} \right\}$$

$$b_{m1} = b_{m1}^* a_{m1} + b_{m2}^* a_{m2}$$

$$b_{m3} = b_{m3}^* a_{m3} + b_{m4}^* a_{m4}$$

$$b_{m2} = -b_{m2}^* a_{m1} + b_{m1}^* a_{m2}$$

$$b_{m4} = -b_{m4}^* a_{m3} + b_{m3}^* a_{m4}$$

DEF:

$$c_{m1}^* = \left\{ \frac{-m^2 \psi_{m1}}{\psi_{m1}^2 + \omega_{m1}^2} + \frac{m^2(1+\gamma)^2(\psi_{m1}^2 + \omega_{m1}^2)\psi_{m1} - [2m^2(\psi_{m1}^2 - \omega_{m1}^2) + \gamma(\psi_{m1}^2 + \omega_{m1}^2)^2 - (2+\gamma)m^4]\psi_{m1}}{m^4 + \gamma m^2(2\psi_{m1}^2 - 2\omega_{m1}^2) + \gamma^2(\psi_{m1}^2 + \omega_{m1}^2)^2} \right\}$$

$$c_{m2}^* = \left\{ \frac{m^2 \omega_{m1}}{\psi_{m1}^2 + \omega_{m1}^2} + \frac{-m^2(1+\gamma)^2(\psi_{m1}^2 + \omega_{m1}^2)\omega_{m1} - [2m^2(\psi_{m1}^2 - \omega_{m1}^2) + \gamma(\psi_{m1}^2 + \omega_{m1}^2)^2 - (2+\gamma)m^4]\omega_{m1}}{m^4 + \gamma m^2(2\psi_{m1}^2 - 2\omega_{m1}^2) + \gamma^2(\psi_{m1}^2 + \omega_{m1}^2)^2} \right\}$$

$$c_{m3}^* = \left\{ \frac{-m^2 \psi_{m2}}{\psi_{m2}^2 + \omega_{m2}^2} + \frac{m^2(1+\gamma)^2(\psi_{m2}^2 + \omega_{m2}^2)\psi_{m2} - [2m^2(\psi_{m2}^2 - \omega_{m2}^2) + \gamma(\psi_{m2}^2 + \omega_{m2}^2)^2 - (2+\gamma)m^4]\psi_{m2}}{m^4 + \gamma m^2(2\psi_{m2}^2 - 2\omega_{m2}^2) + \gamma^2(\psi_{m2}^2 + \omega_{m2}^2)^2} \right\}$$

$$c_{m4}^* = \left\{ \frac{m^2 \omega_{m2}}{\psi_{m2}^2 + \omega_{m2}^2} + \frac{-m^2(1+\gamma)^2(\psi_{m2}^2 + \omega_{m2}^2)\omega_{m2} - [2m^2(\psi_{m2}^2 - \omega_{m2}^2) + \gamma(\psi_{m2}^2 + \omega_{m2}^2)^2 - (2+\gamma)m^4]\omega_{m2}}{m^4 + \gamma m^2(2\psi_{m2}^2 - 2\omega_{m2}^2) + \gamma^2(\psi_{m2}^2 + \omega_{m2}^2)^2} \right\}$$

$$c_{m1} = c_{m1}^* a_{m1} + c_{m2}^* a_{m2}$$

$$c_{m3} = c_{m3}^* a_{m3} + c_{m4}^* a_{m4}$$

$$c_{m2} = -c_{m2}^* a_{m1} + c_{m1}^* a_{m2}$$

$$c_{m4} = -c_{m4}^* a_{m3} + c_{m3}^* a_{m4}$$

We bepalen nu de constanten uit het gedeelte van de oplossing dat wel afhankelijk is van  $\bar{x}$ , met andere woorden, voor  $m=1, \dots, \infty$  bepalen we  $a_m, a_{m2}, a_{m3}$  en  $a_{m4}$

Mit (XXXXIV) b) volgt:

$$\bar{x} = \frac{L}{2R} \rightarrow \frac{d\bar{u}_{MH}}{d\bar{x}} + \gamma m \bar{V}_{MH} + \gamma \bar{W}_{MH} + \frac{d\bar{u}_{mp}}{d\bar{x}} + \gamma m \bar{V}_{mp} + \gamma \bar{W}_{mp} = 0$$

Dit geeft:

$$\begin{aligned} & e^{\gamma_m \frac{L}{2R}} \left\{ \psi_m a_{m1} \cos \omega_m \frac{L}{2R} + \psi_m a_{m2} \sin \omega_m \frac{L}{2R} - \omega_m a_{m1} \sin \omega_m \frac{L}{2R} + \omega_m a_{m2} \cos \omega_m \frac{L}{2R} \right\} + \\ & + e^{-\gamma_m \frac{L}{2R}} \left\{ \psi_m a_{m1} \cos \omega_m \frac{L}{2R} - \psi_m a_{m2} \sin \omega_m \frac{L}{2R} + \omega_m a_{m1} \sin \omega_m \frac{L}{2R} + \omega_m a_{m2} \cos \omega_m \frac{L}{2R} \right\} + \\ & + e^{\gamma_{m2} \frac{L}{2R}} \left\{ \psi_{m2} a_{m3} \cos \omega_{m2} \frac{L}{2R} + \psi_{m2} a_{m4} \sin \omega_{m2} \frac{L}{2R} - \omega_{m2} a_{m3} \sin \omega_{m2} \frac{L}{2R} + \omega_{m2} a_{m4} \cos \omega_{m2} \frac{L}{2R} \right\} + \\ & + e^{-\gamma_{m2} \frac{L}{2R}} \left\{ \psi_{m2} a_{m3} \cos \omega_{m2} \frac{L}{2R} - \psi_{m2} a_{m4} \sin \omega_{m2} \frac{L}{2R} + \omega_{m2} a_{m3} \sin \omega_{m2} \frac{L}{2R} + \omega_{m2} a_{m4} \cos \omega_{m2} \frac{L}{2R} \right\} + \\ & + \gamma m \left[ e^{\gamma_m \frac{L}{2R}} \left\{ b_{m1} \cos \omega_m \frac{L}{2R} + b_{m2} \sin \omega_m \frac{L}{2R} \right\} + e^{-\gamma_m \frac{L}{2R}} \left\{ b_{m1} \cos \omega_m \frac{L}{2R} - b_{m2} \sin \omega_m \frac{L}{2R} \right\} \right] + \\ & + \gamma m \left[ e^{\gamma_{m2} \frac{L}{2R}} \left\{ b_{m3} \cos \omega_{m2} \frac{L}{2R} + b_{m4} \sin \omega_{m2} \frac{L}{2R} \right\} + e^{-\gamma_{m2} \frac{L}{2R}} \left\{ b_{m3} \cos \omega_{m2} \frac{L}{2R} - b_{m4} \sin \omega_{m2} \frac{L}{2R} \right\} \right] + \\ & + \gamma \left[ e^{\gamma_m \frac{L}{2R}} \left\{ c_{m1} \cos \omega_m \frac{L}{2R} + c_{m2} \sin \omega_m \frac{L}{2R} \right\} + e^{-\gamma_m \frac{L}{2R}} \left\{ c_{m1} \cos \omega_m \frac{L}{2R} - c_{m2} \sin \omega_m \frac{L}{2R} \right\} \right] + \\ & + \gamma \left[ e^{\gamma_{m2} \frac{L}{2R}} \left\{ c_{m3} \cos \omega_{m2} \frac{L}{2R} + c_{m4} \sin \omega_{m2} \frac{L}{2R} \right\} + e^{-\gamma_{m2} \frac{L}{2R}} \left\{ c_{m3} \cos \omega_{m2} \frac{L}{2R} - c_{m4} \sin \omega_{m2} \frac{L}{2R} \right\} \right] + \\ & + \sum_{n=1}^{\infty} \frac{\left\{ \left( \frac{2\pi R}{L} \right) n m^2 - \nu \left( \frac{2\pi R}{L} \right)^3 n^3 \right\} \bar{P}_{rnm}}{k \left[ \left( \frac{2\pi R}{L} \right)^2 n^2 + m^2 \right]^4 + (1-\nu^2) \left( \frac{2\pi R}{L} \right)^4 n^4} \cdot \frac{2\pi R}{L} \cdot n \cdot (-1)^n + \\ & + \gamma m \left[ -\frac{\bar{P}_{rmo}}{k m^5} + \sum_{n=1}^{\infty} \frac{\left\{ (\nu+2) \left( \frac{2\pi R}{L} \right)^2 n^2 m^2 - m^3 \right\} \bar{P}_{rnm}}{k \left[ \left( \frac{2\pi R}{L} \right)^2 n^2 + m^2 \right]^4 + (1-\nu^2) \left( \frac{2\pi R}{L} \right)^4 n^4} (-1)^n \right] + \\ & + \gamma \left[ \frac{\bar{P}_{rmo}}{k m^4} + \sum_{n=1}^{\infty} \frac{\left[ \left( \frac{2\pi R}{L} \right)^2 n^2 + m^2 \right]^2 \bar{P}_{rnm}}{k \left[ \left( \frac{2\pi R}{L} \right)^2 n^2 + m^2 \right]^4 + (1-\nu^2) \left( \frac{2\pi R}{L} \right)^4 n^4} (-1)^n \right] = 0 \end{aligned}$$

Deze vergelijking gaan we uitwerken.



$$\begin{aligned} \rightarrow & \left\{ e^{\psi_{m1} \frac{L}{2R}} + e^{-\psi_{m1} \frac{L}{2R}} \right\} \left( \cos \omega_{m1} \frac{L}{2R} \right) (\psi_{m1} a_{m1} + \omega_{m1} a_{m2} + \gamma m b_{m1} + \gamma c_{m1}) + \\ & + \left\{ e^{\psi_{m1} \frac{L}{2R}} - e^{-\psi_{m1} \frac{L}{2R}} \right\} \left( \sin \omega_{m1} \frac{L}{2R} \right) (\psi_{m1} a_{m2} - \omega_{m1} a_{m1} + \gamma m b_{m2} + \gamma c_{m2}) + \\ & + \left\{ e^{\psi_{m2} \frac{L}{2R}} + e^{-\psi_{m2} \frac{L}{2R}} \right\} \left( \cos \omega_{m2} \frac{L}{2R} \right) (\psi_{m2} a_{m3} + \omega_{m2} a_{m4} + \gamma m b_{m3} + \gamma c_{m3}) + \\ & + \left\{ e^{\psi_{m2} \frac{L}{2R}} - e^{-\psi_{m2} \frac{L}{2R}} \right\} \left( \sin \omega_{m2} \frac{L}{2R} \right) (\psi_{m2} a_{m4} - \omega_{m2} a_{m3} + \gamma m b_{m4} + \gamma c_{m4}) + \\ & + \sum_{n=1}^{\infty} \frac{(\nu^2 + 2\nu + 2\nu + 1) (-1)^n \left( \frac{2\pi R}{L} \right)^2 n^2 m^2 \overline{P_{r mn}}}{k \left[ \left( \frac{2\pi R}{L} \right)^2 n^2 + m^2 \right]^4 + (1-\nu^2) \left( \frac{2\pi R}{L} \right)^4 n^4} = 0 \end{aligned}$$

We kunnen dit schrijven als :

$$\boxed{S_{m11} a_{m1} + S_{m12} a_{m2} + S_{m13} a_{m3} + S_{m14} a_{m4} = T_{m1}}$$

$$\begin{aligned} \text{met: } S_{m11} = & \left\{ e^{\psi_{m1} \frac{L}{2R}} + e^{-\psi_{m1} \frac{L}{2R}} \right\} \left( \cos \omega_{m1} \frac{L}{2R} \right) (\psi_{m1} + \gamma m b_{m1}^* + \gamma c_{m1}^*) + \\ & + \left\{ e^{\psi_{m1} \frac{L}{2R}} - e^{-\psi_{m1} \frac{L}{2R}} \right\} \left( \sin \omega_{m1} \frac{L}{2R} \right) (-\omega_{m1} - \gamma m b_{m2}^* - \gamma c_{m2}^*) \end{aligned}$$

$$\begin{aligned} S_{m12} = & \left\{ e^{\psi_{m1} \frac{L}{2R}} + e^{-\psi_{m1} \frac{L}{2R}} \right\} \left( \cos \omega_{m1} \frac{L}{2R} \right) (\omega_{m1} + \gamma m b_{m2}^* + \gamma c_{m2}^*) + \\ & + \left\{ e^{\psi_{m1} \frac{L}{2R}} - e^{-\psi_{m1} \frac{L}{2R}} \right\} \left( \sin \omega_{m1} \frac{L}{2R} \right) (\psi_{m1} + \gamma m b_{m1}^* + \gamma c_{m1}^*) \end{aligned}$$

$$\begin{aligned} S_{m13} = & \left\{ e^{\psi_{m2} \frac{L}{2R}} + e^{-\psi_{m2} \frac{L}{2R}} \right\} \left( \cos \omega_{m2} \frac{L}{2R} \right) (\psi_{m2} + \gamma m b_{m3}^* + \gamma c_{m3}^*) + \\ & + \left\{ e^{\psi_{m2} \frac{L}{2R}} - e^{-\psi_{m2} \frac{L}{2R}} \right\} \left( \sin \omega_{m2} \frac{L}{2R} \right) (-\omega_{m2} - \gamma m b_{m4}^* - \gamma c_{m4}^*) \end{aligned}$$

$$\begin{aligned} S_{m14} = & \left\{ e^{\psi_{m2} \frac{L}{2R}} + e^{-\psi_{m2} \frac{L}{2R}} \right\} \left( \cos \omega_{m2} \frac{L}{2R} \right) (\omega_{m2} + \gamma m b_{m4}^* + \gamma c_{m4}^*) + \\ & + \left\{ e^{\psi_{m2} \frac{L}{2R}} - e^{-\psi_{m2} \frac{L}{2R}} \right\} \left( \sin \omega_{m2} \frac{L}{2R} \right) (\psi_{m2} + \gamma m b_{m3}^* + \gamma c_{m3}^*) \end{aligned}$$

$$T_{m1} = - \sum_{n=1}^{\infty} \frac{(\nu^2 + 2\nu + 2\nu + 1) (-1)^n \left( \frac{2\pi R}{L} \right)^2 n^2 m^2 \overline{P_{r mn}}}{k \left[ \left( \frac{2\pi R}{L} \right)^2 n^2 + m^2 \right]^4 + (1-\nu^2) \left( \frac{2\pi R}{L} \right)^4 n^4}$$

Vergelijking (XXXIV b) is nu gereduceerd tot een lineaire vergelijking in  $a_{mi}$  met constante coëfficiënten.

Mit (XXXV b) volgt:

$$\bar{x} = \frac{L}{2R} \rightarrow \frac{d^2 \overline{W_{mn}}}{d\bar{x}^2} - \gamma m^2 \overline{W_{mn}} + \frac{d^2 \overline{W_{mp}}}{d\bar{x}^2} - \gamma m^2 \overline{W_{mp}} = 0$$

Dit geeft:

$$\begin{aligned}
 & e^{\frac{\psi_{m_1}}{2R}} \left\{ \left[ (\psi_{m_1}^2 - \omega_{m_1}^2) C_{m_1} + 2\psi_{m_1} \omega_{m_1} C_{m_2} \right] \cos \omega_{m_1} \frac{L}{2R} + \left[ (\psi_{m_1}^2 - \omega_{m_1}^2) C_{m_2} - 2\psi_{m_1} \omega_{m_1} C_{m_1} \right] \sin \omega_{m_1} \frac{L}{2R} \right\} + \\
 & + e^{-\frac{\psi_{m_1}}{2R}} \left\{ \left[ (\psi_{m_1}^2 - \omega_{m_1}^2) C_{m_1} + 2\psi_{m_1} \omega_{m_1} C_{m_2} \right] \cos \omega_{m_1} \frac{L}{2R} + \left[ -(\psi_{m_1}^2 - \omega_{m_1}^2) C_{m_2} + 2\psi_{m_1} \omega_{m_1} C_{m_1} \right] \sin \omega_{m_1} \frac{L}{2R} \right\} + \\
 & + e^{\frac{\psi_{m_2}}{2R}} \left\{ \left[ (\psi_{m_2}^2 - \omega_{m_2}^2) C_{m_3} + 2\psi_{m_2} \omega_{m_2} C_{m_4} \right] \cos \omega_{m_2} \frac{L}{2R} + \left[ (\psi_{m_2}^2 - \omega_{m_2}^2) C_{m_4} - 2\psi_{m_2} \omega_{m_2} C_{m_3} \right] \sin \omega_{m_2} \frac{L}{2R} \right\} + \\
 & + e^{-\frac{\psi_{m_2}}{2R}} \left\{ \left[ (\psi_{m_2}^2 - \omega_{m_2}^2) C_{m_3} + 2\psi_{m_2} \omega_{m_2} C_{m_4} \right] \cos \omega_{m_2} \frac{L}{2R} + \left[ -(\psi_{m_2}^2 - \omega_{m_2}^2) C_{m_4} + 2\psi_{m_2} \omega_{m_2} C_{m_3} \right] \sin \omega_{m_2} \frac{L}{2R} \right\} + \\
 & - \gamma m^2 \left\{ e^{\frac{\psi_{m_1}}{2R}} \left[ C_{m_1} \cos \omega_{m_1} \frac{L}{2R} + C_{m_2} \sin \omega_{m_1} \frac{L}{2R} \right] + e^{-\frac{\psi_{m_1}}{2R}} \left[ C_{m_1} \cos \omega_{m_1} \frac{L}{2R} - C_{m_2} \sin \omega_{m_1} \frac{L}{2R} \right] \right\} + \\
 & - \gamma m^2 \left\{ e^{\frac{\psi_{m_2}}{2R}} \left[ C_{m_3} \cos \omega_{m_2} \frac{L}{2R} + C_{m_4} \sin \omega_{m_2} \frac{L}{2R} \right] + e^{-\frac{\psi_{m_2}}{2R}} \left[ C_{m_3} \cos \omega_{m_2} \frac{L}{2R} - C_{m_4} \sin \omega_{m_2} \frac{L}{2R} \right] \right\} + \\
 & + \sum_{n=1}^{\infty} \frac{- \left[ \left( \frac{2\pi R}{L} \right)^2 n^2 + m^2 \right]^2 \cdot \left( \frac{2\pi R}{L} \right)^2 n^2 \cdot \bar{P}_{r,m,n} \cdot (-1)^n}{k \left[ \left( \frac{2\pi R}{L} \right)^2 n^2 + m^2 \right]^4 + (1-\nu^2) \left( \frac{2\pi R}{L} \right)^4 n^4} + \\
 & - \frac{\nu \bar{P}_{r,m,0}}{k m^2} - \gamma m^2 \sum_{n=1}^{\infty} \frac{\left[ \left( \frac{2\pi R}{L} \right)^2 n^2 + m^2 \right]^2 \cdot \bar{P}_{r,m,n} \cdot (-1)^n}{k \left[ \left( \frac{2\pi R}{L} \right)^2 n^2 + m^2 \right]^4 + (1-\nu^2) \left( \frac{2\pi R}{L} \right)^4 n^4} = 0
 \end{aligned}$$

$$\begin{aligned}
 \rightarrow & \left( e^{\frac{\psi_{m_1}}{2R}} + e^{-\frac{\psi_{m_1}}{2R}} \right) \cos \omega_{m_1} \frac{L}{2R} \left[ (\psi_{m_1}^2 - \omega_{m_1}^2) C_{m_1} + 2\psi_{m_1} \omega_{m_1} C_{m_2} - \gamma m^2 C_{m_1} \right] + \\
 & + \left( e^{\frac{\psi_{m_1}}{2R}} - e^{-\frac{\psi_{m_1}}{2R}} \right) \sin \omega_{m_1} \frac{L}{2R} \left[ (\psi_{m_1}^2 - \omega_{m_1}^2) C_{m_2} - 2\psi_{m_1} \omega_{m_1} C_{m_1} - \gamma m^2 C_{m_2} \right] + \\
 & + \left( e^{\frac{\psi_{m_2}}{2R}} + e^{-\frac{\psi_{m_2}}{2R}} \right) \cos \omega_{m_2} \frac{L}{2R} \left[ (\psi_{m_2}^2 - \omega_{m_2}^2) C_{m_3} + 2\psi_{m_2} \omega_{m_2} C_{m_4} - \gamma m^2 C_{m_3} \right] + \\
 & + \left( e^{\frac{\psi_{m_2}}{2R}} - e^{-\frac{\psi_{m_2}}{2R}} \right) \sin \omega_{m_2} \frac{L}{2R} \left[ (\psi_{m_2}^2 - \omega_{m_2}^2) C_{m_4} - 2\psi_{m_2} \omega_{m_2} C_{m_3} - \gamma m^2 C_{m_4} \right] + \\
 & - \frac{\nu \bar{P}_{r,m,0}}{k m^2} - \sum_{n=1}^{\infty} \frac{\left[ \left( \frac{2\pi R}{L} \right)^2 n^2 + m^2 \right]^2 \left[ \left( \frac{2\pi R}{L} \right)^2 n^2 + \gamma m^2 \right] \cdot \bar{P}_{r,m,n} \cdot (-1)^n}{k \left[ \left( \frac{2\pi R}{L} \right)^2 n^2 + m^2 \right]^4 + (1-\nu^2) \left( \frac{2\pi R}{L} \right)^4 n^4} = 0
 \end{aligned}$$

Analooq aan wat is gebaud bij de uitwerking van vergelijking (XXXIV b) vervaagen we deze vergelijking door:

$$S_{m21} a_{m1} + S_{m22} a_{m2} + S_{m23} a_{m3} + S_{m24} a_{m4} = T_{m2}$$

$$\text{met: } S_{m21} = \left\{ e^{\frac{\psi_{m1} L}{2R}} + e^{-\frac{\psi_{m1} L}{2R}} \right\} \left( \cos \omega_{m1} \frac{L}{2R} \right) \left[ (\psi_{m1}^2 - \omega_{m1}^2 - \gamma m^2) C_{m1}^* - 2\psi_{m1} \omega_{m1} C_{m2}^* \right] + \\ + \left\{ e^{\frac{\psi_{m1} L}{2R}} - e^{-\frac{\psi_{m1} L}{2R}} \right\} \left( \sin \omega_{m1} \frac{L}{2R} \right) \left[ -(\psi_{m1}^2 - \omega_{m1}^2 - \gamma m^2) C_{m2}^* - 2\psi_{m1} \omega_{m1} C_{m1}^* \right]$$

$$S_{m22} = \left\{ e^{\frac{\psi_{m1} L}{2R}} + e^{-\frac{\psi_{m1} L}{2R}} \right\} \left( \cos \omega_{m1} \frac{L}{2R} \right) \left[ (\psi_{m1}^2 - \omega_{m1}^2 - \gamma m^2) C_{m2}^* + 2\psi_{m1} \omega_{m1} C_{m1}^* \right] + \\ + \left\{ e^{\frac{\psi_{m1} L}{2R}} - e^{-\frac{\psi_{m1} L}{2R}} \right\} \left( \sin \omega_{m1} \frac{L}{2R} \right) \left[ (\psi_{m1}^2 - \omega_{m1}^2 - \gamma m^2) C_{m1}^* - 2\psi_{m1} \omega_{m1} C_{m2}^* \right]$$

$$S_{m23} = \left\{ e^{\frac{\psi_{m2} L}{2R}} + e^{-\frac{\psi_{m2} L}{2R}} \right\} \left( \cos \omega_{m2} \frac{L}{2R} \right) \left[ (\psi_{m2}^2 - \omega_{m2}^2 - \gamma m^2) C_{m3}^* - 2\psi_{m2} \omega_{m2} C_{m4}^* \right] + \\ + \left\{ e^{\frac{\psi_{m2} L}{2R}} - e^{-\frac{\psi_{m2} L}{2R}} \right\} \left( \sin \omega_{m2} \frac{L}{2R} \right) \left[ -(\psi_{m2}^2 - \omega_{m2}^2 - \gamma m^2) C_{m4}^* - 2\psi_{m2} \omega_{m2} C_{m3}^* \right]$$

$$S_{m24} = \left\{ e^{\frac{\psi_{m2} L}{2R}} + e^{-\frac{\psi_{m2} L}{2R}} \right\} \left( \cos \omega_{m2} \frac{L}{2R} \right) \left[ (\psi_{m2}^2 - \omega_{m2}^2 - \gamma m^2) C_{m4}^* + 2\psi_{m2} \omega_{m2} C_{m3}^* \right] + \\ + \left\{ e^{\frac{\psi_{m2} L}{2R}} - e^{-\frac{\psi_{m2} L}{2R}} \right\} \left( \sin \omega_{m2} \frac{L}{2R} \right) \left[ (\psi_{m2}^2 - \omega_{m2}^2 - \gamma m^2) C_{m3}^* - 2\psi_{m2} \omega_{m2} C_{m4}^* \right]$$

$$T_{m2} = \frac{\sqrt{P} m_0}{k m^2} + \sum_{n=1}^{\infty} \frac{\left[ \left( \frac{2\pi R}{L} \right)^2 n^2 + m^2 \right]^2 \left[ \left( \frac{2\pi R}{L} \right)^2 n^2 + \gamma m^2 \right] \bar{P}_{nm2} \cdot (-1)^n}{k \left[ \left( \frac{2\pi R}{L} \right)^2 n^2 + m^2 \right]^4 + (\nu \gamma^2) \left( \frac{2\pi R}{L} \right)^4 n^4}$$

Hierna hebben we eveneens vergelijking (XXXV b) gereduceerd tot een lineaire vergelijking in  $a_{m1}$ ,  $a_{m2}$ ,  $a_{m3}$  en  $a_{m4}$  waarvan de coëfficiënten constant zijn.

Ook vergelijking (XXXVI b) en (XXXVII) brengen we nu in een gelijkaartige vorm.

(XXXVI b) geeft:

$$\bar{x} = \frac{L}{2R} \rightarrow \frac{d^3 \bar{W}_{MH}}{d\bar{x}^3} - (2-\gamma)m^2 \frac{d\bar{W}_{MH}}{d\bar{x}} + \frac{d^3 \bar{W}_{MP}}{d\bar{x}^3} - (2-\gamma)m^2 \frac{d\bar{W}_{MP}}{d\bar{x}} = 0$$

hieruit volgt:

$$\begin{aligned} & e^{\psi_{m_1} \frac{L}{2R}} \left\{ \left[ (\psi_{m_1}^3 - 3\psi_{m_1} \omega_{m_1}^2) C_{m1} + (3\psi_{m_1}^2 \omega_{m_1} - \omega_{m_1}^3) C_{m2} \right] \cos \omega_{m_1} \frac{L}{2R} + \right. \\ & \quad \left. + \left[ (-3\psi_{m_1}^2 \omega_{m_1} + \omega_{m_1}^3) C_{m1} + (\psi_{m_1}^3 - 3\psi_{m_1} \omega_{m_1}^2) C_{m2} \right] \sin \omega_{m_1} \frac{L}{2R} \right\} + \\ & + e^{-\psi_{m_1} \frac{L}{2R}} \left\{ \left[ (-\psi_{m_1}^3 + 3\psi_{m_1} \omega_{m_1}^2) C_{m1} + (-3\psi_{m_1}^2 \omega_{m_1} + \omega_{m_1}^3) C_{m2} \right] \cos \omega_{m_1} \frac{L}{2R} + \right. \\ & \quad \left. + \left[ (-3\psi_{m_1}^2 \omega_{m_1} + \omega_{m_1}^3) C_{m1} + (\psi_{m_1}^3 - 3\psi_{m_1} \omega_{m_1}^2) C_{m2} \right] \sin \omega_{m_1} \frac{L}{2R} \right\} + \\ & + e^{\psi_{m_2} \frac{L}{2R}} \left\{ \left[ \psi_{m_2}^3 - 3\psi_{m_2} \omega_{m_2}^2 \right] C_{m3} + \left[ 3\psi_{m_2}^2 \omega_{m_2} - \omega_{m_2}^3 \right] C_{m4} \right\} \cos \omega_{m_2} \frac{L}{2R} + \\ & \quad \left\{ \left[ (-3\psi_{m_2}^2 \omega_{m_2} + \omega_{m_2}^3) C_{m3} + (\psi_{m_2}^3 - 3\psi_{m_2} \omega_{m_2}^2) C_{m4} \right] \sin \omega_{m_2} \frac{L}{2R} \right\} + \\ & + e^{-\psi_{m_2} \frac{L}{2R}} \left\{ \left[ (-\psi_{m_2}^3 + 3\psi_{m_2} \omega_{m_2}^2) C_{m3} + (-3\psi_{m_2}^2 \omega_{m_2} + \omega_{m_2}^3) C_{m4} \right] \cos \omega_{m_2} \frac{L}{2R} + \right. \\ & \quad \left. + \left[ (-3\psi_{m_2}^2 \omega_{m_2} + \omega_{m_2}^3) C_{m3} + (\psi_{m_2}^3 - 3\psi_{m_2} \omega_{m_2}^2) C_{m4} \right] \sin \omega_{m_2} \frac{L}{2R} \right\} + \\ & - (2-\gamma)m^2 e^{\psi_{m_1} \frac{L}{2R}} \left\{ (\psi_{m_1} C_{m1} + \omega_{m_1} C_{m2}) \cos \omega_{m_1} \frac{L}{2R} + (\psi_{m_1} C_{m2} - \omega_{m_1} C_{m1}) \sin \omega_{m_1} \frac{L}{2R} \right\} + \\ & - (2-\gamma)m^2 e^{-\psi_{m_1} \frac{L}{2R}} \left\{ (-\psi_{m_1} C_{m1} - \omega_{m_1} C_{m2}) \cos \omega_{m_1} \frac{L}{2R} + (\psi_{m_1} C_{m2} - \omega_{m_1} C_{m1}) \sin \omega_{m_1} \frac{L}{2R} \right\} + \\ & - (2-\gamma)m^2 e^{\psi_{m_2} \frac{L}{2R}} \left\{ (\psi_{m_2} C_{m3} + \omega_{m_2} C_{m4}) \cos \omega_{m_2} \frac{L}{2R} + (\psi_{m_2} C_{m4} - \omega_{m_2} C_{m3}) \sin \omega_{m_2} \frac{L}{2R} \right\} + \\ & - (2-\gamma)m^2 e^{-\psi_{m_2} \frac{L}{2R}} \left\{ (-\psi_{m_2} C_{m3} - \omega_{m_2} C_{m4}) \cos \omega_{m_2} \frac{L}{2R} + (\psi_{m_2} C_{m4} - \omega_{m_2} C_{m3}) \sin \omega_{m_2} \frac{L}{2R} \right\} + \\ & + \sum_{n=1}^{\infty} \{ \dots \} \sin n\pi = 0 \end{aligned}$$

Deze vergelijking gaan we verder uitwerken.

$$\begin{aligned} \rightarrow & \left\{ e^{\psi_{m_1} \frac{L}{2R}} + e^{-\psi_{m_1} \frac{L}{2R}} \right\} (\sin \omega_{m_1} \frac{L}{2R}) \left\{ \left[ -3\psi_{m_1}^2 \omega_{m_1} + \omega_{m_1}^3 + (2-\nu)m^2 \omega_{m_1} \right] C_{m_1} + \left[ \psi_{m_1}^3 - 3\psi_{m_1} \omega_{m_1}^2 - (2-\nu)m^2 \psi_{m_1} \right] C_{m_2} \right\} + \\ & + \left\{ e^{\psi_{m_1} \frac{L}{2R}} - e^{-\psi_{m_1} \frac{L}{2R}} \right\} (\cos \omega_{m_1} \frac{L}{2R}) \left\{ \left[ \psi_{m_1}^3 - 3\psi_{m_1} \omega_{m_1}^2 - (2-\nu)m^2 \psi_{m_1} \right] C_{m_1} + \left[ 3\psi_{m_1}^2 \omega_{m_1} - \omega_{m_1}^3 - (2-\nu)\omega_{m_1} \right] C_{m_2} \right\} + \\ & + \left\{ e^{\psi_{m_2} \frac{L}{2R}} + e^{-\psi_{m_2} \frac{L}{2R}} \right\} (\sin \omega_{m_2} \frac{L}{2R}) \left\{ \left[ -3\psi_{m_2}^2 \omega_{m_2} + \omega_{m_2}^3 + (2-\nu)m^2 \omega_{m_2} \right] C_{m_3} + \left[ \psi_{m_2}^3 - 3\psi_{m_2} \omega_{m_2}^2 - (2-\nu)m^2 \psi_{m_2} \right] C_{m_4} \right\} + \\ & + \left\{ e^{\psi_{m_2} \frac{L}{2R}} - e^{-\psi_{m_2} \frac{L}{2R}} \right\} (\cos \omega_{m_2} \frac{L}{2R}) \left\{ \left[ \psi_{m_2}^3 - 3\psi_{m_2} \omega_{m_2}^2 - (2-\nu)m^2 \psi_{m_2} \right] C_{m_3} + \left[ 3\psi_{m_2}^2 \omega_{m_2} - \omega_{m_2}^3 - (2-\nu)\omega_{m_2} \right] C_{m_4} \right\} = 0 \end{aligned}$$

Deze vergelijking vervangen we door:

$$S_{m31} a_{m_1} + S_{m32} a_{m_2} + S_{m33} a_{m_3} + S_{m34} a_{m_4} = T_{m3}$$

$$\begin{aligned} \text{met } S_{m31} = & \left\{ e^{\psi_{m_1} \frac{L}{2R}} + e^{-\psi_{m_1} \frac{L}{2R}} \right\} (\sin \omega_{m_1} \frac{L}{2R}) \left\{ \left[ -3\psi_{m_1}^2 \omega_{m_1} + \omega_{m_1}^3 + (2-\nu)m^2 \omega_{m_1} \right] C_{m_1}^* - \left[ \psi_{m_1}^3 - 3\psi_{m_1} \omega_{m_1}^2 - (2-\nu)m^2 \psi_{m_1} \right] C_{m_2}^* \right\} + \\ & + \left\{ e^{\psi_{m_1} \frac{L}{2R}} - e^{-\psi_{m_1} \frac{L}{2R}} \right\} (\cos \omega_{m_1} \frac{L}{2R}) \left\{ \left[ \psi_{m_1}^3 - 3\psi_{m_1} \omega_{m_1}^2 - (2-\nu)m^2 \psi_{m_1} \right] C_{m_1}^* - \left[ 3\psi_{m_1}^2 \omega_{m_1} - \omega_{m_1}^3 - (2-\nu)m^2 \omega_{m_1} \right] C_{m_2}^* \right\} \end{aligned}$$

$$\begin{aligned} S_{m32} = & \left\{ e^{\psi_{m_1} \frac{L}{2R}} + e^{-\psi_{m_1} \frac{L}{2R}} \right\} (\sin \omega_{m_1} \frac{L}{2R}) \left\{ \left[ -3\psi_{m_1}^2 \omega_{m_1} + \omega_{m_1}^3 + (2-\nu)m^2 \omega_{m_1} \right] C_{m_2}^* + \left[ \psi_{m_1}^3 - 3\psi_{m_1} \omega_{m_1}^2 - (2-\nu)m^2 \psi_{m_1} \right] C_{m_1}^* \right\} + \\ & + \left\{ e^{\psi_{m_1} \frac{L}{2R}} - e^{-\psi_{m_1} \frac{L}{2R}} \right\} (\cos \omega_{m_1} \frac{L}{2R}) \left\{ \left[ \psi_{m_1}^3 - 3\psi_{m_1} \omega_{m_1}^2 - (2-\nu)m^2 \psi_{m_1} \right] C_{m_2}^* + \left[ 3\psi_{m_1}^2 \omega_{m_1} - \omega_{m_1}^3 - (2-\nu)m^2 \omega_{m_1} \right] C_{m_1}^* \right\} \end{aligned}$$

$$\begin{aligned} S_{m33} = & \left\{ e^{\psi_{m_2} \frac{L}{2R}} + e^{-\psi_{m_2} \frac{L}{2R}} \right\} (\sin \omega_{m_2} \frac{L}{2R}) \left\{ \left[ -3\psi_{m_2}^2 \omega_{m_2} + \omega_{m_2}^3 + (2-\nu)m^2 \omega_{m_2} \right] C_{m_3}^* - \left[ \psi_{m_2}^3 - 3\psi_{m_2} \omega_{m_2}^2 - (2-\nu)m^2 \psi_{m_2} \right] C_{m_4}^* \right\} + \\ & + \left\{ e^{\psi_{m_2} \frac{L}{2R}} - e^{-\psi_{m_2} \frac{L}{2R}} \right\} (\cos \omega_{m_2} \frac{L}{2R}) \left\{ \left[ \psi_{m_2}^3 - 3\psi_{m_2} \omega_{m_2}^2 - (2-\nu)m^2 \psi_{m_2} \right] C_{m_3}^* - \left[ 3\psi_{m_2}^2 \omega_{m_2} - \omega_{m_2}^3 - (2-\nu)m^2 \omega_{m_2} \right] C_{m_4}^* \right\} \end{aligned}$$

$$\begin{aligned} S_{m34} = & \left\{ e^{\psi_{m_2} \frac{L}{2R}} + e^{-\psi_{m_2} \frac{L}{2R}} \right\} (\sin \omega_{m_2} \frac{L}{2R}) \left\{ \left[ -3\psi_{m_2}^2 \omega_{m_2} + \omega_{m_2}^3 + (2-\nu)m^2 \omega_{m_2} \right] C_{m_4}^* + \left[ \psi_{m_2}^3 - 3\psi_{m_2} \omega_{m_2}^2 - (2-\nu)m^2 \psi_{m_2} \right] C_{m_3}^* \right\} + \\ & + \left\{ e^{\psi_{m_2} \frac{L}{2R}} - e^{-\psi_{m_2} \frac{L}{2R}} \right\} (\cos \omega_{m_2} \frac{L}{2R}) \left\{ \left[ \psi_{m_2}^3 - 3\psi_{m_2} \omega_{m_2}^2 - (2-\nu)m^2 \psi_{m_2} \right] C_{m_4}^* + \left[ 3\psi_{m_2}^2 \omega_{m_2} - \omega_{m_2}^3 - (2-\nu)m^2 \omega_{m_2} \right] C_{m_3}^* \right\} \end{aligned}$$

$$T_{m3} = 0$$

(XXXVII) b) geeft:

$$\bar{x} = \frac{L}{2R} \quad -m\bar{u}_{mN} + \frac{d\bar{v}_{mN}}{d\bar{x}} + 2km \frac{d\bar{w}_{mN}}{d\bar{x}} - m\bar{u}_{mP} + \frac{d\bar{v}_{mP}}{d\bar{x}} + 2km \frac{d\bar{w}_{mP}}{d\bar{x}} = 0$$

Hieruit volgt:

$$\begin{aligned} & -m \left\{ e^{\psi_{m1} \frac{L}{2R}} \left[ a_{m1} \cos \omega_{m1} \frac{L}{2R} + a_{m2} \sin \omega_{m1} \frac{L}{2R} \right] + e^{-\psi_{m1} \frac{L}{2R}} \left[ -a_{m1} \cos \omega_{m1} \frac{L}{2R} + a_{m2} \sin \omega_{m1} \frac{L}{2R} \right] \right\} + \\ & -m \left\{ e^{\psi_{m2} \frac{L}{2R}} \left[ a_{m3} \cos \omega_{m2} \frac{L}{2R} + a_{m4} \sin \omega_{m2} \frac{L}{2R} \right] + e^{-\psi_{m2} \frac{L}{2R}} \left[ -a_{m3} \cos \omega_{m2} \frac{L}{2R} + a_{m4} \sin \omega_{m2} \frac{L}{2R} \right] \right\} + \\ & + e^{\psi_{m1} \frac{L}{2R}} \left[ (b_{m1} \psi_{m1} + b_{m2} \omega_{m1}) \cos \omega_{m1} \frac{L}{2R} + (-b_{m1} \omega_{m1} + b_{m2} \psi_{m1}) \sin \omega_{m1} \frac{L}{2R} \right] + \\ & + e^{-\psi_{m1} \frac{L}{2R}} \left[ (-b_{m1} \psi_{m1} - b_{m2} \omega_{m1}) \cos \omega_{m1} \frac{L}{2R} + (-b_{m1} \omega_{m1} + b_{m2} \psi_{m1}) \sin \omega_{m1} \frac{L}{2R} \right] + \\ & + e^{\psi_{m2} \frac{L}{2R}} \left[ (b_{m3} \psi_{m2} + b_{m4} \omega_{m2}) \cos \omega_{m2} \frac{L}{2R} + (-b_{m3} \omega_{m2} + b_{m4} \psi_{m2}) \sin \omega_{m2} \frac{L}{2R} \right] + \\ & + e^{-\psi_{m2} \frac{L}{2R}} \left[ (-b_{m3} \psi_{m2} - b_{m4} \omega_{m2}) \cos \omega_{m2} \frac{L}{2R} + (-b_{m3} \omega_{m2} + b_{m4} \psi_{m2}) \sin \omega_{m2} \frac{L}{2R} \right] + \\ & + 2km \left\{ e^{\psi_{m1} \frac{L}{2R}} \left[ (c_{m1} \psi_{m1} + c_{m2} \omega_{m1}) \cos \omega_{m1} \frac{L}{2R} + (-c_{m1} \omega_{m1} + c_{m2} \psi_{m1}) \sin \omega_{m1} \frac{L}{2R} \right] \right\} + \\ & + 2km \left\{ e^{-\psi_{m1} \frac{L}{2R}} \left[ (-c_{m1} \psi_{m1} - c_{m2} \omega_{m1}) \cos \omega_{m1} \frac{L}{2R} + (-c_{m1} \omega_{m1} + c_{m2} \psi_{m1}) \sin \omega_{m1} \frac{L}{2R} \right] \right\} + \\ & + 2km \left\{ e^{\psi_{m2} \frac{L}{2R}} \left[ (c_{m3} \psi_{m2} + c_{m4} \omega_{m2}) \cos \omega_{m2} \frac{L}{2R} + (-c_{m3} \omega_{m2} + c_{m4} \psi_{m2}) \sin \omega_{m2} \frac{L}{2R} \right] \right\} + \\ & + 2km \left\{ e^{-\psi_{m2} \frac{L}{2R}} \left[ (-c_{m3} \psi_{m2} - c_{m4} \omega_{m2}) \cos \omega_{m2} \frac{L}{2R} + (-c_{m3} \omega_{m2} + c_{m4} \psi_{m2}) \sin \omega_{m2} \frac{L}{2R} \right] \right\} \\ & + \sum_{n=1}^{\infty} \left\{ \dots \dots \dots \right\} \sin n\pi = 0 \end{aligned}$$

Evenals in de voorgaande gevallen moeten we nu deze vergelijking gaan uitwerken en weer vervangen door een vereenvoudigde vorm.

$$\begin{aligned} \rightarrow & \left\{ e^{\frac{\psi_{m1}}{2R}} + e^{-\frac{\psi_{m1}}{2R}} \right\} \left( \sin \omega_{m1} \frac{L}{2R} \right) \left\{ (-\omega_{m1} b_{m1}^* - \psi_{m1} b_{m2}^* - 2k_{m1} \omega_{m1} c_{m1}^* - 2k_{m1} \psi_{m1} c_{m2}^*) a_{m1} + \right. \\ & \left. + (-m - \omega_{m1} b_{m2}^* + \psi_{m1} b_{m1}^* - 2k_{m1} \omega_{m1} c_{m2}^* + 2k_{m1} \psi_{m1} c_{m1}^*) a_{m2} \right\} + \\ & + \left\{ e^{\frac{\psi_{m1}}{2R}} - e^{-\frac{\psi_{m1}}{2R}} \right\} \left( \cos \omega_{m1} \frac{L}{2R} \right) \left\{ (-m + \psi_{m1} b_{m1}^* - \omega_{m1} b_{m2}^* + 2k_{m1} \psi_{m1} c_{m1}^* - 2k_{m1} \omega_{m1} c_{m2}^*) a_{m1} + \right. \\ & \left. + (\psi_{m1} b_{m2}^* + \omega_{m1} b_{m1}^* + 2k_{m1} \psi_{m1} c_{m2}^* + 2k_{m1} \omega_{m1} c_{m1}^*) a_{m2} \right\} + \\ & + \left\{ e^{\frac{\psi_{m2}}{2R}} + e^{-\frac{\psi_{m2}}{2R}} \right\} \left( \sin \omega_{m2} \frac{L}{2R} \right) \left\{ (-\omega_{m2} b_{m3}^* - \psi_{m2} b_{m4}^* - 2k_{m2} \omega_{m2} c_{m3}^* - 2k_{m2} \psi_{m2} c_{m4}^*) a_{m3} + \right. \\ & \left. + (-m - \omega_{m2} b_{m4}^* + \psi_{m2} b_{m3}^* - 2k_{m2} \omega_{m2} c_{m4}^* + 2k_{m2} \psi_{m2} c_{m3}^*) a_{m4} \right\} + \\ & + \left\{ e^{\frac{\psi_{m2}}{2R}} - e^{-\frac{\psi_{m2}}{2R}} \right\} \left( \cos \omega_{m2} \frac{L}{2R} \right) \left\{ (-m + \psi_{m2} b_{m3}^* - \omega_{m2} b_{m4}^* + 2k_{m2} \psi_{m2} c_{m3}^* - 2k_{m2} \omega_{m2} c_{m4}^*) a_{m3} + \right. \\ & \left. + (\psi_{m2} b_{m4}^* + \omega_{m2} b_{m3}^* + 2k_{m2} \psi_{m2} c_{m4}^* + 2k_{m2} \omega_{m2} c_{m3}^*) a_{m4} \right\} = 0 \end{aligned}$$

We vervangen dit door:

$$S_{m41} a_{m1} + S_{m42} a_{m2} + S_{m43} a_{m3} + S_{m44} a_{m4} = T_{m4}$$

$$\text{met } S_{m41} = \left\{ e^{\frac{\psi_{m1}}{2R}} + e^{-\frac{\psi_{m1}}{2R}} \right\} \left( \sin \omega_{m1} \frac{L}{2R} \right) \left( -\omega_{m1} b_{m1}^* - \psi_{m1} b_{m2}^* - 2k_{m1} \omega_{m1} c_{m1}^* - 2k_{m1} \psi_{m1} c_{m2}^* \right) + \\ + \left\{ e^{\frac{\psi_{m1}}{2R}} - e^{-\frac{\psi_{m1}}{2R}} \right\} \left( \cos \omega_{m1} \frac{L}{2R} \right) \left( -m + \psi_{m1} b_{m1}^* - \omega_{m1} b_{m2}^* + 2k_{m1} \psi_{m1} c_{m1}^* - 2k_{m1} \omega_{m1} c_{m2}^* \right).$$

$$S_{m42} = \left\{ e^{\frac{\psi_{m1}}{2R}} + e^{-\frac{\psi_{m1}}{2R}} \right\} \left( \sin \omega_{m1} \frac{L}{2R} \right) \left( -m - \omega_{m1} b_{m2}^* + \psi_{m1} b_{m1}^* - 2k_{m1} \omega_{m1} c_{m2}^* + 2k_{m1} \psi_{m1} c_{m1}^* \right) + \\ + \left\{ e^{\frac{\psi_{m1}}{2R}} - e^{-\frac{\psi_{m1}}{2R}} \right\} \left( \cos \omega_{m1} \frac{L}{2R} \right) \left( \psi_{m1} b_{m2}^* + \omega_{m1} b_{m1}^* + 2k_{m1} \psi_{m1} c_{m2}^* + 2k_{m1} \omega_{m1} c_{m1}^* \right).$$

$$S_{m43} = \left\{ e^{\frac{\psi_{m2}}{2R}} + e^{-\frac{\psi_{m2}}{2R}} \right\} \left( \sin \omega_{m2} \frac{L}{2R} \right) \left( -\omega_{m2} b_{m3}^* - \psi_{m2} b_{m4}^* - 2k_{m2} \omega_{m2} c_{m3}^* - 2k_{m2} \psi_{m2} c_{m4}^* \right) + \\ + \left\{ e^{\frac{\psi_{m2}}{2R}} - e^{-\frac{\psi_{m2}}{2R}} \right\} \left( \cos \omega_{m2} \frac{L}{2R} \right) \left( -m + \psi_{m2} b_{m3}^* - \omega_{m2} b_{m4}^* + 2k_{m2} \psi_{m2} c_{m3}^* - 2k_{m2} \omega_{m2} c_{m4}^* \right).$$

$$S_{m44} = \left\{ e^{\frac{\psi_{m2}}{2R}} + e^{-\frac{\psi_{m2}}{2R}} \right\} \left( \sin \omega_{m2} \frac{L}{2R} \right) \left( -m - \omega_{m2} b_{m4}^* + \psi_{m2} b_{m3}^* - 2k_{m2} \omega_{m2} c_{m4}^* + 2k_{m2} \psi_{m2} c_{m3}^* \right) + \\ + \left\{ e^{\frac{\psi_{m2}}{2R}} - e^{-\frac{\psi_{m2}}{2R}} \right\} \left( \cos \omega_{m2} \frac{L}{2R} \right) \left( \psi_{m2} b_{m4}^* + \omega_{m2} b_{m3}^* + 2k_{m2} \psi_{m2} c_{m4}^* + 2k_{m2} \omega_{m2} c_{m3}^* \right).$$

$$T_{m4} = 0$$

De vier constanten:  $a_{m1}, a_{m2}, a_{m3}, a_{m4}$  kunnen nu bepaald worden uit de vier omlijste formules.

Hier toe moeten we de matrix  $S$ , met de coëfficiënten  $S_{mij}$  ( $i: 1 \text{ t.m. } 4, j: 1 \text{ t.m. } 4$ ) invertieren:

$$S_{mij} a_{mj} = T_{mi} \quad (\text{Door } i \text{ resp. } 1, 2, 3, 4)$$

(De notatie houdt een sommatie in over index  $j$ )

$$\rightarrow a_{mj} = S_{mij}^{-1} T_{mi}$$

Hiermede zijn dan ten slotte de constanten  $a_{mi}$  bepaald, zodat we nu over kunnen gaan tot de numerieke uitwerking, die is toegepast op het te beschouwen probleem.

### 5.11 Opmerking.

In het voorgaande is steeds aangenomen dat sommeren en differentiëren steeds verwisseld mocht worden. Hiervoor is het nodig dat de gebruikte reeksen uniform convergeren zijn. Het zal blijken dat dit niet zo is omdat de functie  $\bar{F}$  discontinu is.

Ter plaatse van deze discontinuïteiten zal dan het verschijnsel van Gibbs optreden. De resultaten, die we dan ook op deze plaatsen vinden, zullen van geringe waarde zijn.

Met deze onvolkomenheid zal echter geen rekening worden gehouden. We hopen dat de invloed ervan geen afbreuk zal doen aan de geldigheid van de resultaten op enige afstand van de discontinuïteiten.



## 6. De modelregel.

Wanneer we de theorie, die in het vorige hoofdstuk werd behandeld, toe willen passen op een in werkelijkheid bestaande constructie, waarbij zo goed mogelijk is voldaan aan alle beperkingen, die we ons daarbij hebben opgelegd, in concreto: een cirkelvormige doornede met constante wanddijkte, "oneindig" slappe eindschotten en alleen belasting in radiale richting, willen we ook de hierbij verkregen resultaten voor de spanningstaestand vergelijken met de in werkelijkheid optredende spanningen, om een idee te verkrijgen van de waarde van de theorie.

Het is echter om allerlei redenen van praktische aard ondoenlijk om het experiment uit te voeren aan een werkelijke bestaande tankconstructie en dus is het noodzakelijk om gebruik te maken van een vereenvoudigd model, dat we, indien dat mogelijk is, in belaste taestand een spanningverdeling willen geven, die gelijkvormig is, met de spanningstaestand, die in de bestaande tank optreedt.

Allereerst zorgen we voor de geometrische gelijkvormigheid met een schaalfactor,  $s$ :

$$\left\{ \begin{array}{l} \frac{R_{\text{werk.}}}{R_{\text{mod.}}} = s \\ \frac{L_{\text{werk.}}}{L_{\text{mod.}}} = s \\ \frac{t_{\text{werk.}}}{t_{\text{mod.}}} = s \end{array} \right.$$

Het homogene deel van de differentiaalvergelijningen voor de verplaatsingen (XXIV), (XXV), (XXVI) uit het vorige hoofdstuk heeft voor de werkelijkheid en voor het model dezelfde vorm wanneer geldt:

$$v_{\text{werk.}} = v_{\text{mod.}}$$

Wanneer hiernaan is voldaan geldt:

$$\frac{[\bar{u}(\bar{x}, \bar{\varphi}), \bar{v}(\bar{x}, \bar{\varphi}), \bar{w}(\bar{x}, \bar{\varphi})]_{\text{werk.}}}{[\bar{u}(\bar{x}, \bar{\varphi}), \bar{v}(\bar{x}, \bar{\varphi}), \bar{w}(\bar{x}, \bar{\varphi})]_{\text{mod.}}} = \frac{\bar{P}_r \text{ werk.}}{\bar{P}_r \text{ mod.}}$$

We gaan nu de formules bekijken, waaraan de spanningen worden berekend, waarbij we afzien van de in radiale richting optredende spanningen.

Uit (XI) volgt:

$$\sigma_{xA} = \frac{E}{1-\nu^2} \left\{ \frac{\partial \bar{u}}{\partial \bar{x}} - \frac{z}{R} \cdot \frac{\partial^2 \bar{w}}{\partial \bar{x}^2} + \nu \left( \frac{\partial \bar{v}}{\partial \bar{\varphi}} + \frac{\bar{w}}{1+z/R} - \frac{z/R}{1+z/R} \cdot \frac{\partial^2 \bar{w}}{\partial \bar{\varphi}^2} \right) \right\}$$

Uit (XII) volgt:

$$\sigma_{\varphi A} = \frac{E}{1-\nu^2} \left\{ \frac{\partial \bar{v}}{\partial \bar{\varphi}} + \frac{\bar{w}}{1+z/R} - \frac{z/R}{1+z/R} \cdot \frac{\partial^2 \bar{w}}{\partial \bar{\varphi}^2} + \nu \left( \frac{\partial \bar{u}}{\partial \bar{x}} - \frac{z}{R} \cdot \frac{\partial^2 \bar{w}}{\partial \bar{x}^2} \right) \right\}$$

Uit (XIII) volgt:

$$\epsilon_{x\varphi A} = \frac{E}{2(1+\nu)} \left\{ \frac{1}{1+z/R} \frac{\partial \bar{u}}{\partial \bar{\varphi}} + (1+z/R) \frac{\partial \bar{v}}{\partial \bar{x}} - \frac{2z/R + z^2/R^2}{1+z/R} \cdot \frac{\partial^2 \bar{w}}{\partial \bar{x} \partial \bar{\varphi}} \right\}$$

We kunnen nu tenslotte zeggen:

$$\frac{\text{spanningen op bepaalde plaats in werkelijkheid}}{\text{spanningen op overeenkomstige plaats in model}} =$$

$$\frac{E_{\text{werk.}} \cdot \bar{P}_r \text{ werk.}}{E_{\text{mod.}} \cdot \bar{P}_r \text{ mod.}} = \mu$$

$\mu$  is dus een gelijkvormigheidsfactor voor de grootte van de spanningen in werkelijkheid en in het model.

Voor deze factor geldt:

$$\eta = \frac{E_{\text{werk.}} \cdot \frac{\gamma_{\text{werk.}} \cdot R_{\text{werk.}}^2}{E_{\text{werk.}} \cdot t_{\text{werk.}}}}{E_{\text{mod.}} \cdot \frac{\gamma_{\text{mod.}} \cdot R_{\text{mod.}}^2}{E_{\text{mod.}} \cdot t_{\text{mod.}}}} = \frac{\gamma_{\text{werk.}}}{\gamma_{\text{mod.}}} \cdot 3$$

met  $\gamma$ : soortelijk gewicht van de vloeistof.

De in het model optredende rekken moeten van een zodanige grootte-orde zijn dat ze goed met rekstrodijs gemeten kunnen worden, omdat we het experiment als rekstrodijsmeting willen uitvoeren.

Het blijkt redelijk dat de rekken in het model even groot zijn als die in werkelijkheid.

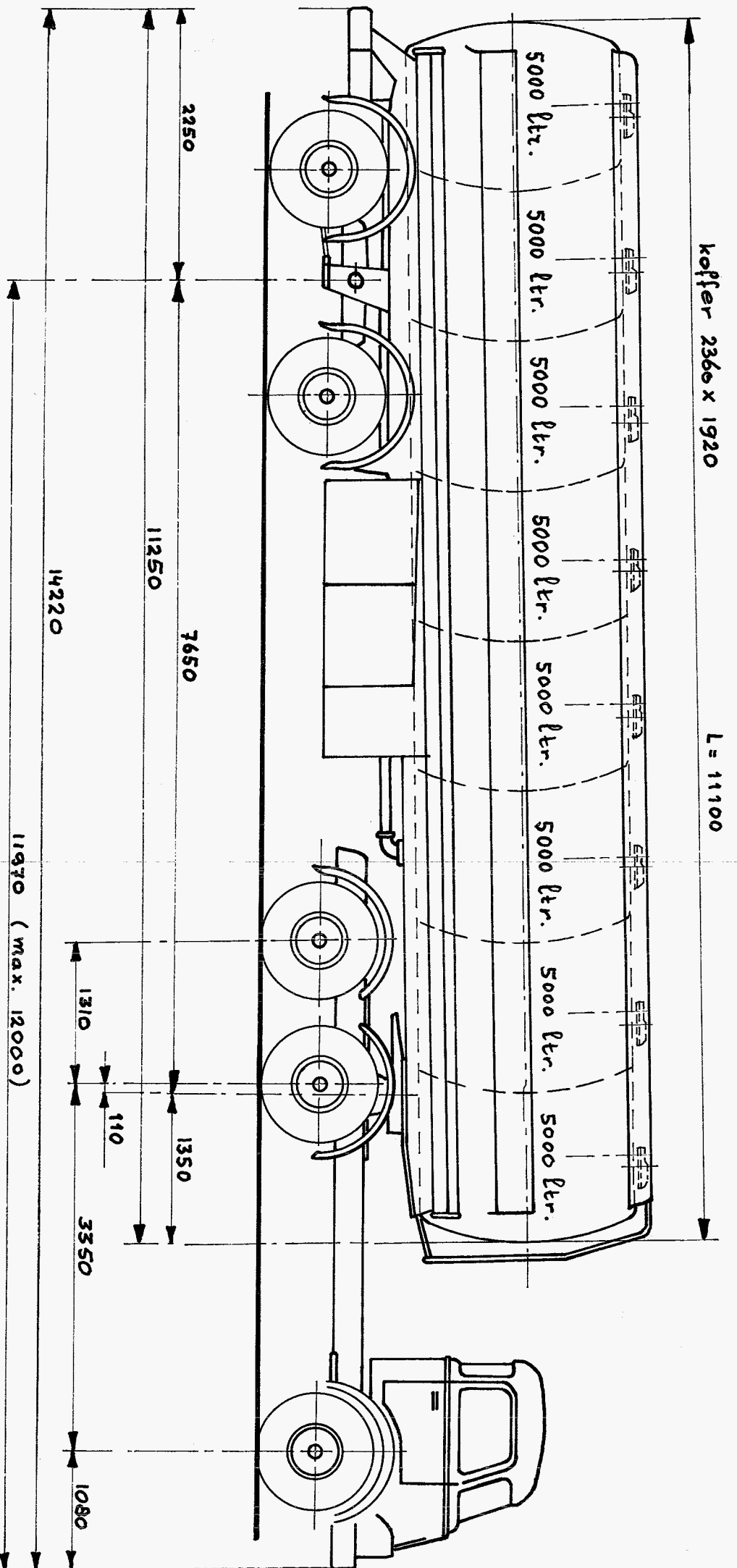
$$\rightarrow \frac{E_{\text{mod.}}}{E_{\text{werk.}}} \cdot \frac{\gamma_{\text{werk.}}}{\gamma_{\text{mod.}}} \cdot \frac{R_{\text{werk.}}}{R_{\text{mod.}}} = 1 \quad \text{ofwel}$$

$\frac{E}{R \cdot \gamma}$  moet dezelfde waarde hebben zowel voor het model als voor de werkelijkheid.

Wanneer we het model van hetzelfde materiaal willen vervaardigen als de werkelijke constructie dan zijn we aangewezzen op een vloeistof met een hoog soortelijk gewicht (kwik) om bij een verkleind model aan bovenstaande voorwaarde te kunnen voldoen. Het gebruik van een dergelijke vloeistof brengt echter veel bezwaren met zich mee. Een andere mogelijkheid is dat we een materiaal gebruiken met een kleinere elasticiteitsmodulus en dat we met dezelfde vloeistof als in werkelijkheid de tank belasten.

Tenslotte kunnen we ook een combinatie van beide mogelijkheden nemen, om aan de eisen te voldoen.

Zoals zal blijken treden er echter moeilijkheden op bij de vervaardiging van een model, dat geometrisch gelijkvormig is met de werkelijkheid.



177-

Ruwendstaande rekening geeft weer, hoe een 40.000 Ltr. tankoplegger er in  
 verbelijkt kan worden.  
 De oplegger, gefabriceerd bij "DAF" (type RW 20-35) is bestemd voor het  
 vervoer van steen.  
 Het gebruikte materiaal is "constructaal" met een dikte van 4 mm.

Hoals de tekening op de vorige bladzijde (77) laat zien zijn voor een fictieve constructie redelijke afmetingen:

$$\begin{aligned}L &= 10500 \text{ mm.} \\R &= 1050 \text{ mm.} \\t &= 4 \text{ mm.}\end{aligned}$$

Wanneer we een model houden willen maken met  $s = 7$  dan geeft dit:

$$\begin{aligned}L_{\text{mod.}} &= 1500 \text{ mm.} \\R_{\text{mod.}} &= 150 \text{ mm.} \\t_{\text{mod.}} &= 0.57 \text{ mm.}\end{aligned}$$

Terwijl de omvang van dit model geschikt is voor het experiment, is het onmogelijk om dit te verwaardigen met een dergelijke wanddikte. Wanneer dit wel mogelijk zou zijn geweest, hadden we bij gebruikmaking van een vloeistof met hetzelfde soortelijk gewicht als in werkelijkheid, een materiaalsoort moeten gebruiken met een elasticiteitsmodulus, die 7 maal zo klein is als die van „constructal“, om aan de eis te voldoen, dat in het model even grote rekken optreden als in werkelijkheid.

Uit het voorgaande blijkt, dat het onmogelijk is om een exact model van de werkelijkheid te verwaardigen.

Om toch de theorie te kunnen controleren denken we aan een proefstuk met dezelfde  $R$  en  $L$ , met een aanzienlijk grotere wanddikte en een aanzienlijk kleinere elasticiteitsmodulus, dan in het theoretisch ontworpen model en we hopen dat de orde van grootte van de optredende rekken in belaste toestand, dezelfde is als in werkelijkheid.

We verwachten dat bij toepassing van de theorie, de overeenkomst tussen de resultaten van de theorie en de werkelijk optredende toestand, bij dit proefstuk in elk geval ongunstiger is dan bij het theoretische model (ofwel de echte constructie), wegens de relatief grotere wanddikte.

#### 4. Het gekozen proefstuk en het te behandelen probleem

Oangezien we voor het proefstuk een materiaalsoort wenen te gebruiken met een elasticiteitsmodulus, die aanzienlijk kleiner is, dan die van "constructal" werd gedacht aan een koper, vervaardigd van kunststof.

Besloten werd om voor de koper een "perspers" pijp te gebruiken, die in de handel verkrijgbaar is bij: "B.E.M. Wientjes-Industrie en Handels-onderneming N.V.", gevestigd te Roelen (NL), met de volgende afmetingen:

$$L = 1500 \text{ mm.}$$

$$R = 148 \text{ mm.}$$

$$t = 4 \text{ mm.}$$

Hieraan zijn enige nadelen verbonden, die echter onoverkomelijk waren nl:

- 1) Toleranties voor de buitendiameter:  
+ 0,3 - - 0,5 %
- 2) Toleranties voor de wanddikte: 20%

De voordelen van deze buizen zijn echter ook belangrijk, nl: de naadloosheid en kleurloosheid.

Het doel van deze opdracht was, een spanningsanalyse te geven van een tank, die met een vloeistof was gevuld, en die was opgelegd op twee radels.

Bij de behandeling van de algemene schalen-theorie, werden echter enige beperkingen ingevoerd, die nodig waren om de berekening te vereenvoudigen:

1. cirkelvormige doorsnede met constante wanddikte.
2. alleen belasting in radiale richting.
3. vrije uiteinden.

Afgezien van de toleranties in de buitendiameter en de wanddikte van de pijp, is voldaan aan de eerste beperking, die we ons hebben opgelegd.

De tweede beperking is te realiseren door de wrijvingscoëfficiënt tussen de kokers en het gedeelte van de zadels, dat met de pijp in aanraking is, zo klein mogelijk te maken. Tevens kunnen de zadels worden opgehangen aan een staalkabel, die garandeert dat de beide resultanten van de krachten, die door de zadels op de pijp worden uitgeoefend, een verticale richting hebben en de hartlijn van de cilinder mijden.

De derde beperking is weliswaar te verwezenlijken zoals zal blijken bij de beschrijving van het experiment, maar doet afbreuk aan het doel wat we ons hebben gesteld, omdat een kokers met vrije uiteinden, niet meer als een vloeistoftank is te beschouwen.

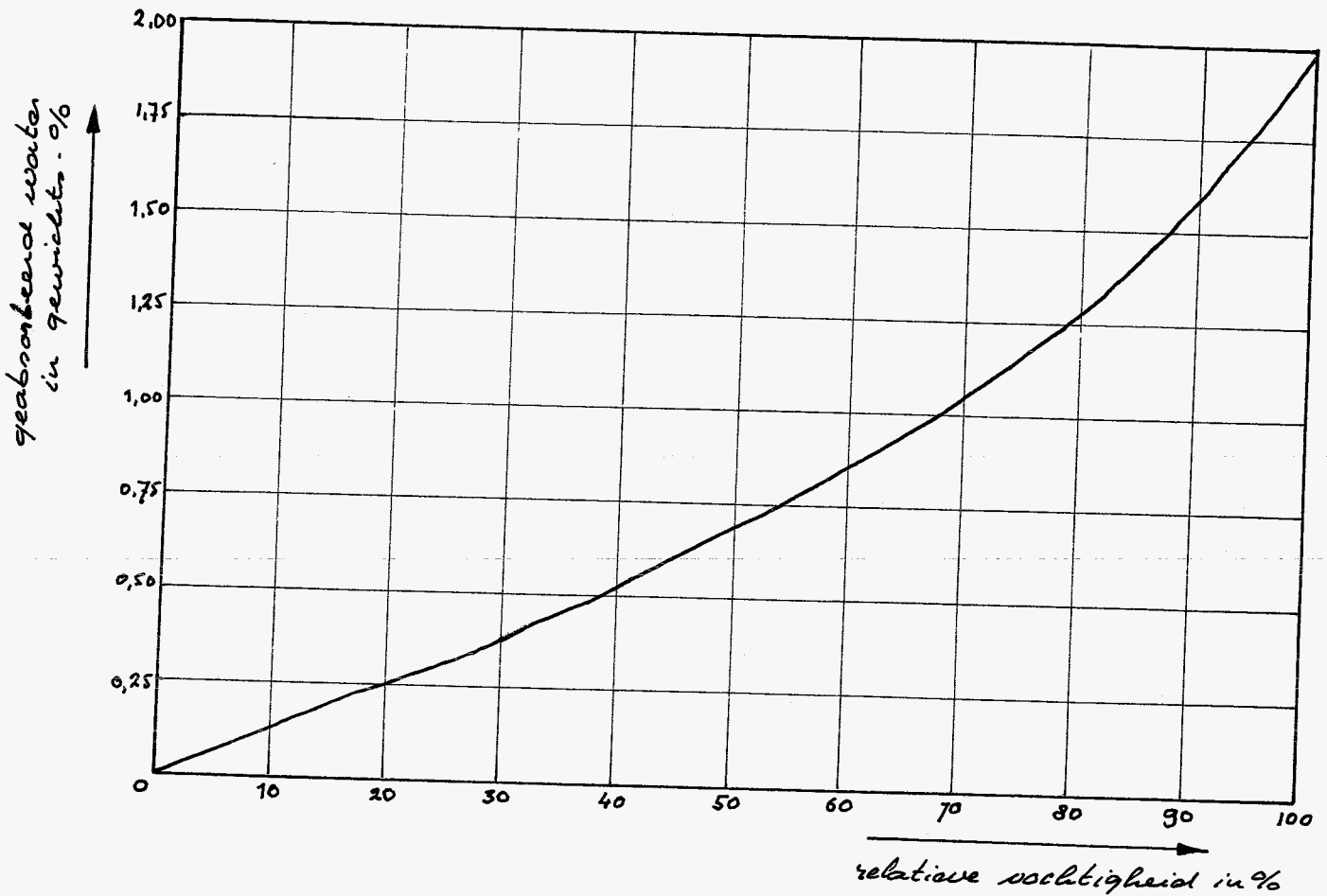
Afgezien van een axiale verdeelde belasting, die een gevolg is van de vloeistofdruk op de eindschotten, oefenen de eindschotten op de cilinderwand in belaste toestand slechts een statisch equivalente belasting uit. Wanneer de invloed hiervan op enige afstand van het uiteinde van de kokers enigszins is afgenomen, wordt toch een redelijk antwoord gegeven op de vraag wat het geval is voor de spanningstoestand, van deze wijze van ondersteuning van een vloeistoftank. Of dit inderdaad het geval is, zal niet worden nagegaan, maar wordt toch betwijfeld.

We hopen echter dat de tendens, die de toe te passen wijze van ondersteuning geeft aan de spanningstoestand enigszins bewaard blijft en dit moet dan ook worden gezien als het praktische nut van dit onderzoek.

Het theoretisch oogpunt blijft éénderrade natuurlijk even interessant.

### 8. De eigenschappen van "perspex".

Door het uit te voeren experiment zijn alleen de mechanische eigenschappen van "perspex" belangrijk. Deze eigenschappen zijn evenwel afhankelijk van de temperatuur en in geringere mate van de hoeveelheid water, die door het perspex is geabsorbeerd. Daar de waterabsorptie, zoals uit onderstaande grafiek blijkt, gering is, kunnen we de invloed hiervan volledig verwaarlozen.



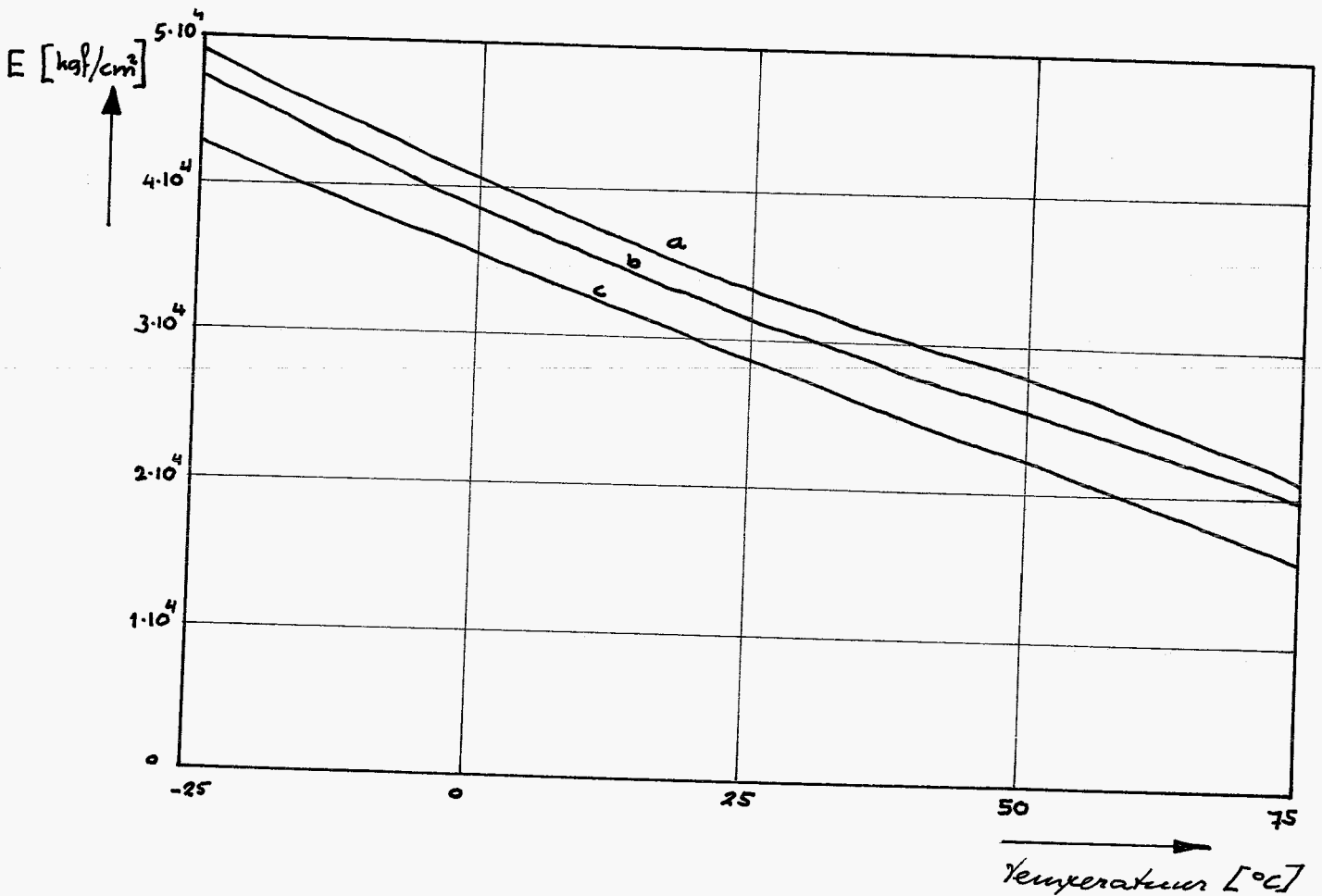
De bovenstaande grafiek geeft de waterabsorptie weer van een "perspex" plaat met een dikte van  $\frac{1}{16}$  inch in verzadigde toestand, als functie van de relatieve vochtigheid.

De mechanische eigenschappen, die belangrijk voor ons zijn hebben betrekking op het elastisch gedrag, vertegenwoordigd door de elasticiteitsmodulus  $E$  en de constante van Poisson,  $\nu$ , en het kruipen. Ook is de treksterkte belangrijk omdat we daar met de optredende spanningen ver onder moeten blijven.



Het bleek dat we als functie van de temperatuur voor de elasticiteitsmodulus verschillende waarden kregen indien we:

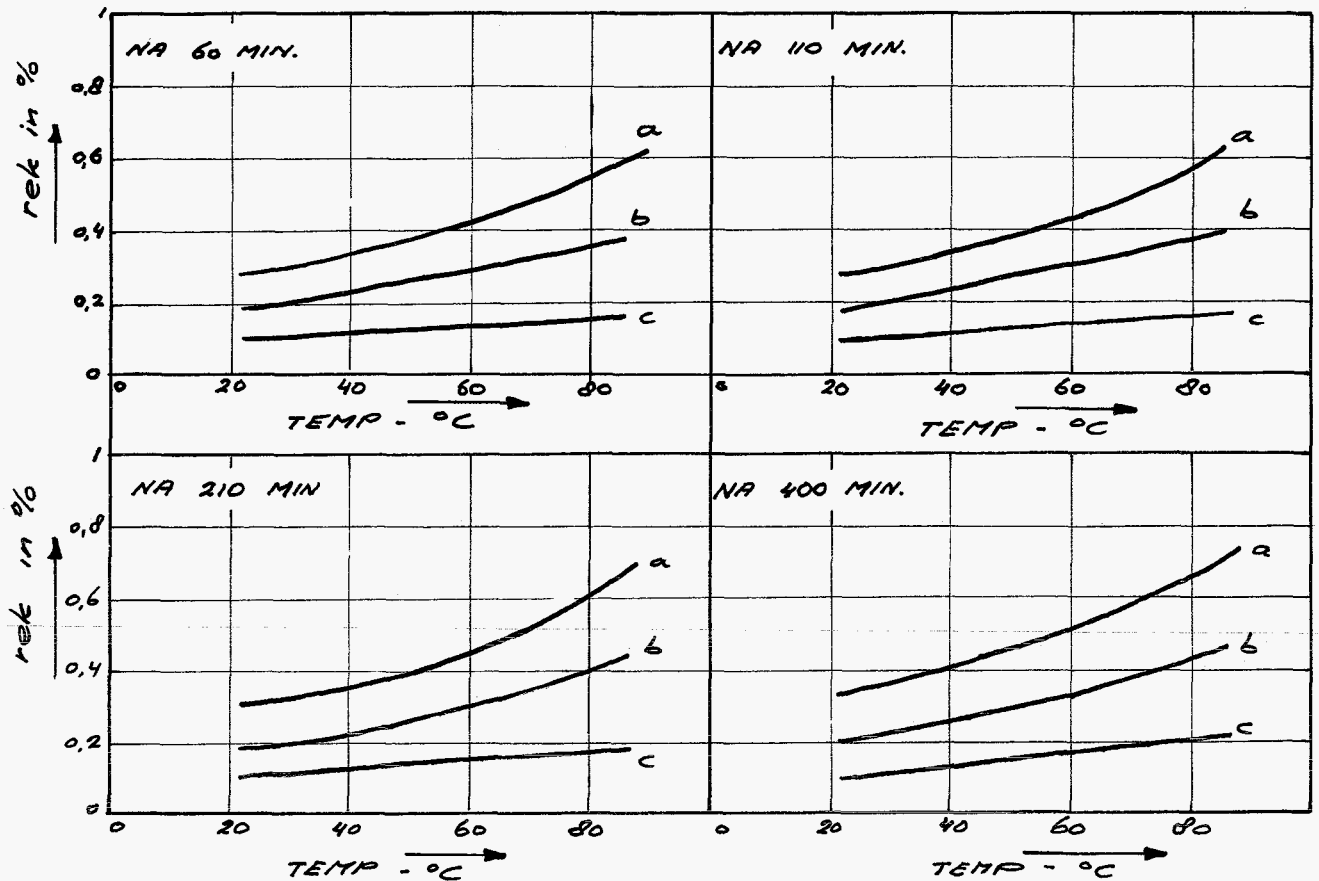
- a) de helling in de oorsprong in de grafiek, die het verband aangeeft tussen de spanning en de rek bij een trekstaaf, als maatgevend beschouwen.
- b) de helling in de oorsprong in de grafiek, die het verband aangeeft tussen de spanning en de rek bij een drukstaaf, als maatgevend beschouwen.
- c) de spanning bij 1% rek delen door 0,01.



We nemen nu aan dat bij kamertemperatuur (20°C - 25°C) gerekend kan worden op een gemiddelde elasticiteitsmodulus ter grootte van  $3,0 \cdot 10^4$  kgf/cm<sup>2</sup>.

Bij kamertemperatuur is de aangegeven waarde voor de dwarscontractiecoëfficiënt: 0,35. Voor temperaturen boven 100°C, waar grote deformaties mogelijk zijn, nadert deze coëfficiënt tot 0,5.

Om een indruk te krijgen van de krimpverschijnselen geven we de volgende grafieken:



- a) spanning: 140 kgf/cm<sup>2</sup>
- b) spanning: 75 kgf/cm<sup>2</sup>
- c) spanning: 40 kgf/cm<sup>2</sup>

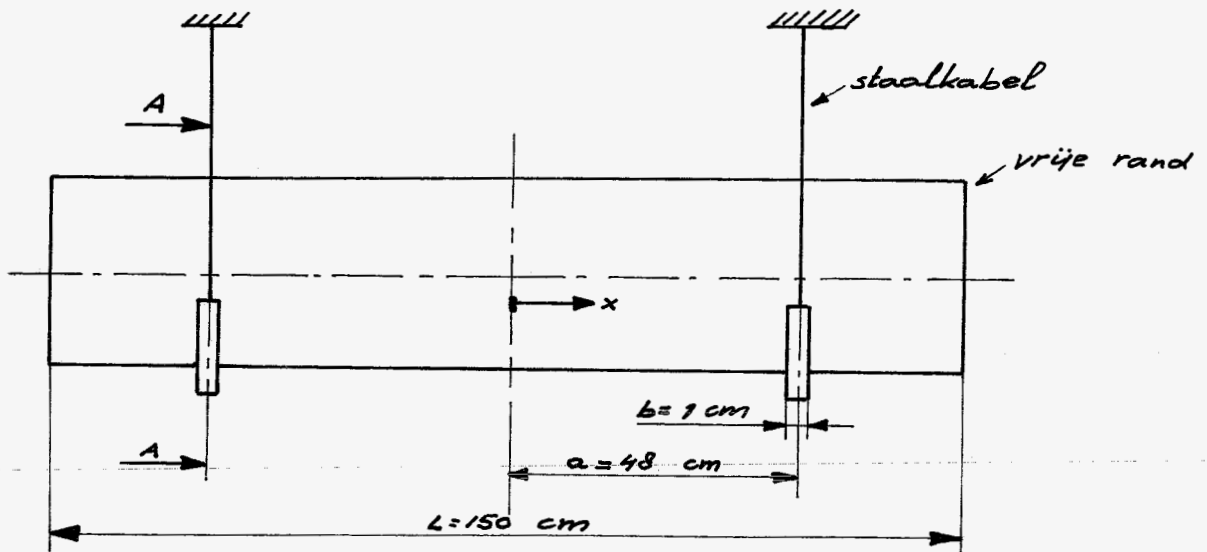
Uit de bovenstaande grafieken blijkt dat we voor een korte tijd (< 400 min), bij een lage spanning (< 50 kgf/cm<sup>2</sup>) bij kamertemperatuur geen rekening behoeven te houden met eventueel optredende krimpverschijnselen.

De sterkste bij kamertemperatuur bedraagt ongeveer 800 kgf/cm<sup>2</sup>. Deze waarde mag dus door de spanning nooit worden overschreden.

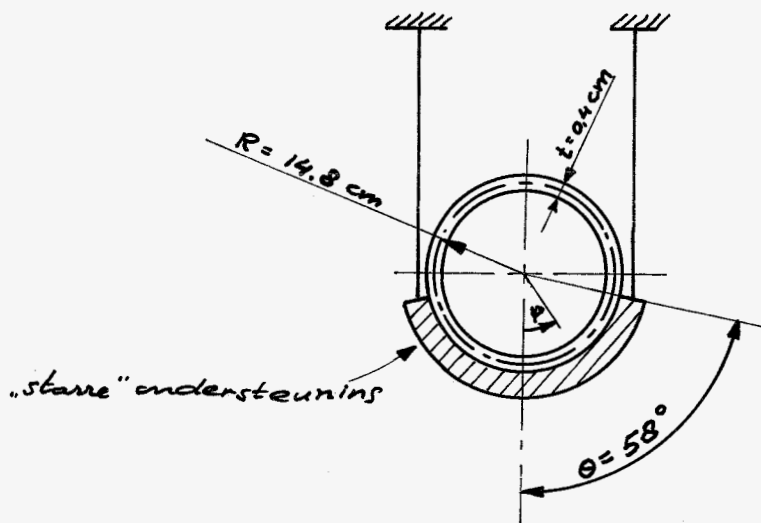
9. Enige numerieke gegevens van de proefopstelling.

Bij de uitwerking van de theorieën, welke in de hierna volgende hoofdstukken op het probleem zullen worden toegepast, zijn de numerieke gegevens van de proefopstelling noodzakelijk. Deze gegevens zullen in het hoofdstuk over het experiment zelf, nader worden toegelicht.

In onderstaande tekening zijn de benodigde grootheden weergegeven. Alle maten zijn in cm aangegeven.



VOORAANZICHT



koker is geheel met vloeistof gevuld.

DOORSNEDE A-A

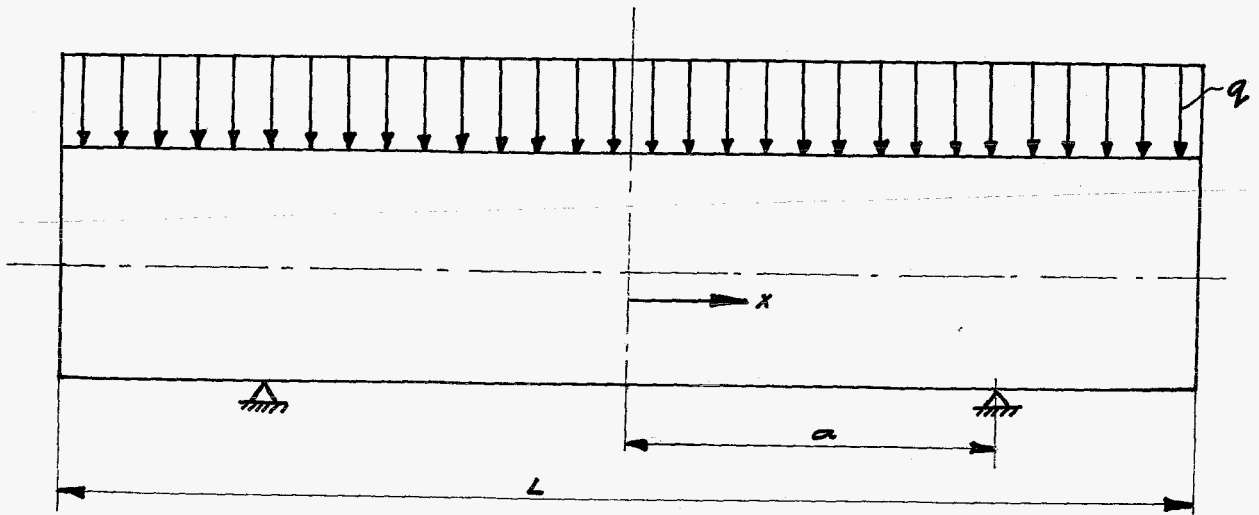
materiaal koker: .. perspex met  $E = 3 \cdot 10^4 \text{ kgf/cm}^2$ ,  $\nu = 0.35$   
 vulvloeistof: water met soortelijk gewicht,  $\gamma = 1 \cdot 10^{-3} \text{ kgf/cm}^2$

10. Toepassing van de gewone balkentheorie.

Voor de toepassing van de gewone balkentheorie gaan we de hoker in eerste instantie vervangen door een balk, die is opgelegd op twee steunpunten ter plaatse van  $x = \pm a$ , waarop een verdeelde belasting werkt.

Bij de berekening van deze verdeelde belasting,  $q$ , is het niet nodig om het eigen gewicht van de balk (hoker) in rekening te brengen. We gaan bij het experiment namelijk uit van de situatie, dat de hoker belast is door zijn eigen gewicht en we bepalen de verandering van de spanningstoestand ten gevolge van de vloeistofdruk, die op de wand werkt.

Het oorspronkelijke probleem is dus vervangen door het met behulp van onderstaande tekening weergegeven probleem.



$$q = \pi(R-t)^2 \cdot dx \cdot \gamma / dx = \pi(R-t)^2 \cdot \gamma.$$

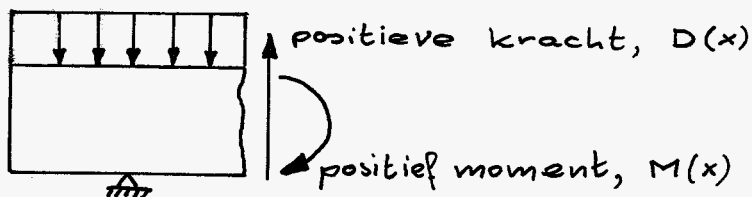
Wanneer we gebruik maken van  $t \ll R$  kunnen we schrijven:

$$q = \pi R^2 \gamma.$$

Hiervoor wordt slechts een geringe fout geïntroduceerd.

We gaan nu over tot het berekenen van de medegrootheden in een doorsnede  $x = \text{constant}$ .

We maken de volgende tekenafspraken voor de medegrootheden:



Voor  $-L/2 \leq x < -a$  geldt:

$$D(x) = (x + L/2) \cdot \pi R^2 \gamma.$$

$$M(x) = \frac{1}{2} (x + L/2)^2 \cdot \pi R^2 \gamma.$$

Voor  $-a < x < a$  geldt:

$$D(x) = (x + L/2) \pi R^2 \gamma - L/2 \pi R^2 \gamma = x \cdot \pi \cdot R^2 \gamma.$$

$$\begin{aligned} M(x) &= \frac{1}{2} (x + L/2)^2 \cdot \pi \cdot R^2 \gamma - (x + a) \cdot L/2 \pi R^2 \gamma = \\ &= \left( \frac{1}{2} x^2 + Lx - a \cdot L/2 \right) \pi R^2 \gamma. \end{aligned}$$

Voor  $a < x \leq L/2$  geldt:

$$D(x) = (x - L/2) \pi R^2 \gamma.$$

$$M(x) = + \frac{1}{2} (x - L/2)^2 \pi R^2 \gamma.$$

Wanneer het moment en dwarskracht in een doorsnede bekend zijn, kunnen we de normaalspanning en de schuifspanning op elke plaats in deze dwarsdoorsnede berekenen, waarbij we voor de vorm van de dwarsdoorsnede, die van de werkelijke loker nemen.

Wanneer we het verloop van de normaalspanning op een dwarsdoorsnede, over de wanddikte verwaarlozen, geldt voor de membraan spanning, die positief is in geval van trek, op een vlak  $x$  is constant in  $x$ -richting, als functie van  $x$  en  $\varphi$ :

$$\sigma_{m_x} = \frac{M(x) \cdot (-R \cos \varphi)}{I \text{ t.o.v. } \varphi = \pi/2}$$

Voor het oppervlaktehoogheidsmoment ten opzichte van de horizontale as  $\varphi = \pi/2$  geldt:

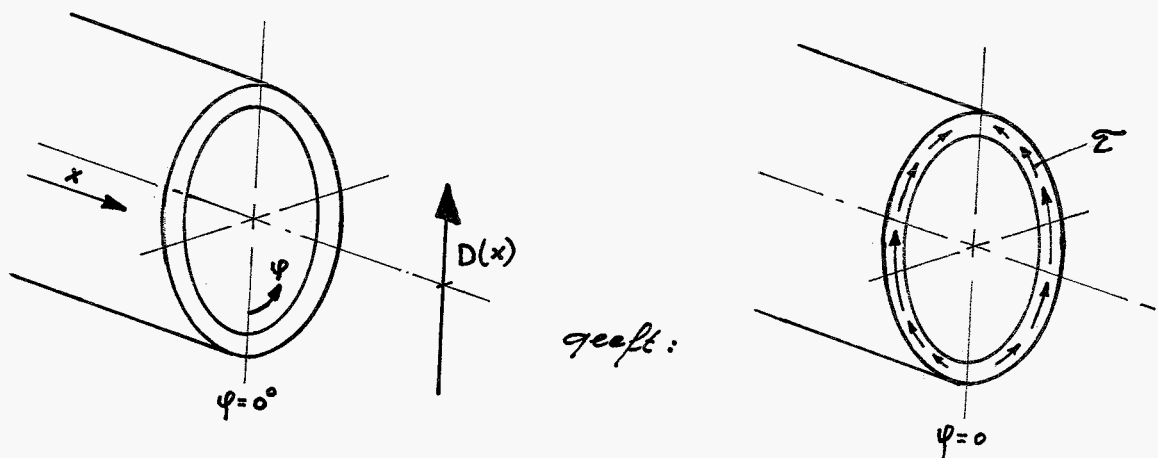
$$I_{t.o.v. \varphi = \pi/2} = \int_0^{2\pi} (-R \cos \varphi)^2 t \cdot R \cdot d\varphi = \pi \cdot R^3 \cdot t.$$

Dit geeft dan: 
$$\sigma_{mx} = - \frac{M(x) \cdot \cos \varphi}{\pi \cdot R^2 \cdot t}.$$

De schuifspanningsverdeling ten gevolge van de dwarskracht  $D(x)$  in deze dunwandige dwarsnede kan worden berekend met de formule:

$$\tau = \frac{D(x) \cdot S_{t.o.v. \varphi = \pi/2}(\varphi)}{2 \cdot t \cdot I_{t.o.v. \varphi = \pi/2}}$$

Hierin is  $\tau$  de schuifspanning, die gelijkmatig over de holwand is verdeeld en evenwijdig is met de holwand, waarbij de richting wordt gegeven door middel van onderstaande tekening:



geeft:

$S_{t.o.v. \varphi = \pi/2}(\varphi)$  is het statisch moment ten opzichte van de as  $\varphi = \pi/2$  van het gedeelte van de doorsnede tussen de rechten:  $\varphi = \varphi$  en  $\varphi = 2\pi - \varphi$

hiervoor geldt:

$$S_{t.o.v. \varphi = \pi/2}(\varphi) = \int_{\varphi}^{2\pi - \varphi} (-R \cos \varphi) R \cdot t \cdot d\varphi = 2 R^2 t \sin \varphi$$

voor  $0 \leq \varphi \leq \pi$

voor  $\pi \leq \varphi \leq 2\pi$  geldt: St.o.v.  $\varphi = \pi/2$  ( $\varphi$ ) =  $-2R^2 t \sin \varphi$

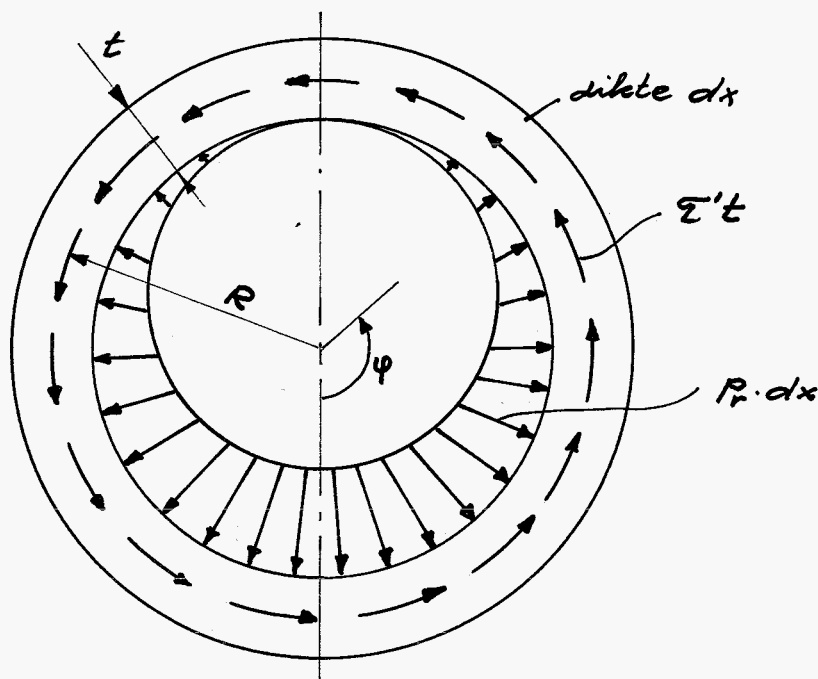
Resumerend kunnen we dus mededelen dat voor de schuifspanning geldt:

$$\tau = \frac{D(x) \cdot |\sin \varphi|}{\pi \cdot R \cdot t}, \text{ waarbij de richting wordt gegeven door de figuur op pagina 87.}$$

Wanneer we aannemen dat de nu berekende schuifspanningsverdeling ook inderdaad in de werkelijkheid optreedt en we veronderstellen dat er behalve deze schuifspanning  $\tau$  geen enkele andere spanning voorloopt, die in het vlak van een doornede  $x = \text{constant}$  werkt, dan kunnen we door een stukje  $dx$  uit de haken te beschouwen, de medegrootheden op een vlak  $\varphi = \text{constant}$  berekenen, en dus de membraan spanning en maximale buigspanning in tangentiële richting, respectievelijk:  $\sigma_{m\varphi}$  en  $\sigma_{b\varphi}$ .

Deze aannamen gelden uiteraard niet voor plaatje van de ondersteuning ( $x=a$ ) en in hoeverre deze elders gelden blijft een vraag, waarop we alleen met behulp van het experiment een antwoord kunnen krijgen.

Het probleem is dus de medegrootheden te bepalen in het door onderstaande tekening gegeven probleem.



$P_r dx$  : lijnbelasting, die in radiale richting werkt op de binnenvwand van de hoek, die afkomstig is van de vloeistofdrule.

$$P_r = (R + R \cos \varphi) \gamma$$

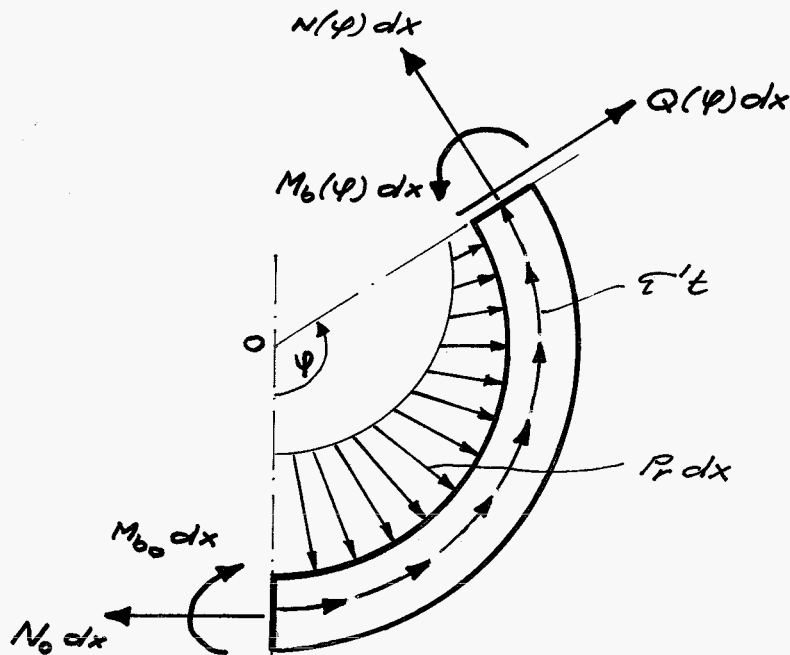
$\tau' t$  : lijnbelasting, die in tangentiële richting werkt, afkomstig van het verschil in slijpspanning op het voorvlak ( $x+dx$ ) en op het achtervlak ( $x$ ), positief in de richting van toenemende  $\varphi$ .

$$0 \leq \varphi \leq \pi : \tau' = \frac{d\tau}{dx} dx = \frac{\frac{dD(x)}{dx} dx \cdot |\sin \varphi|}{\pi \cdot R \cdot t} = \frac{R \gamma \sin \varphi dx}{t}$$

$$\pi \leq \varphi \leq 2\pi : \tau' = - \frac{d\tau}{dx} dx = - \frac{\frac{dD(x)}{dx} dx \cdot |\sin \varphi|}{\pi \cdot R \cdot t} = \frac{R \gamma \sin \varphi dx}{t}$$

Omdat de belasting, die op de ring met dikte  $dx$  werkt, onafhankelijk is van de  $x$ -coördinaat, zullen eveneens de medegrootheden en dus ook  $\sigma_{\varphi\varphi}$  en  $\sigma_{\theta\theta}$  bij deze berekeningsmethode onafhankelijk van  $x$  zijn.

We snijden de ring door bij  $\varphi=0$  en bij een willekeurige  $\varphi$  en we gaan met behulp van de evenwichtsvergelijkingen de medegrootheden bij willekeurige  $\varphi$ , als functie van de medegrootheden bij  $\varphi=0$  berekenen.





Het evenwicht in horizontale richting levert:

$$-N_0 dx + \int_0^\varphi (R + R \cos \varphi) \gamma dx \cdot R \sin \varphi d\varphi + \int_0^\varphi R \sin \varphi \gamma dx \cdot R \cos \varphi d\varphi + N(\varphi) dx \cos \varphi + Q(\varphi) dx \sin \varphi = 0$$

$$\rightarrow -N_0 + N(\varphi) \cos \varphi + Q(\varphi) \sin \varphi + \gamma R^2 (1 - \cos \varphi + \sin^2 \varphi) = 0$$

Het evenwicht in verticale richting levert:

$$-\int_0^\varphi (R + R \cos \varphi) \gamma dx \cdot R \cos \varphi d\varphi + \int_0^\varphi R \sin \varphi \gamma dx \cdot R \sin \varphi d\varphi + N(\varphi) dx \sin \varphi - Q(\varphi) dx \cos \varphi = 0$$

$$\rightarrow N(\varphi) \sin \varphi - Q(\varphi) \cos \varphi + \gamma R^2 (-\sin \varphi - \frac{1}{2} \sin 2\varphi) = 0$$

Het momentenevenwicht om 0 leert ons:

$$-N_0 \cdot dx \cdot R - M_{b_0} dx + \int_0^\varphi R \gamma \sin \varphi dx \cdot R \cdot R d\varphi + N(\varphi) dx \cdot R + M_b(\varphi) dx = 0$$

$$\rightarrow -N_0 \cdot R - M_{b_0} + N(\varphi) \cdot R + M_b(\varphi) + \gamma R^3 (1 - \cos \varphi) = 0$$

Mit de eerste twee vergelijkingen elimineren we  $Q(\varphi)$

$$\rightarrow N(\varphi) = N_0 \cos \varphi + \gamma R^2 (1 - \cos \varphi)$$

$$\rightarrow Q(\varphi) = N_0 \sin \varphi - 2\gamma R^2 \sin \varphi$$

$$\rightarrow M_b(\varphi) = M_{b_0} + (N_0 R - 2\gamma R^3) (1 - \cos \varphi)$$

We berekenen nu de elastische energie  $A$  in de ring met dikte  $dx$ . Daarna kunnen we met behulp van de stelling van Castigliano de nog onbekende  $N_0$  en  $M_{b_0}$  berekenen nl. mit:

$$\frac{\partial A}{\partial N_0} = 0 \quad \text{en} \quad \frac{\partial A}{\partial M_{b_0}} = 0$$

We brengen alleen de buigingsenergie in rekening

$$A = \frac{1}{2EI} \int_0^{2\pi} (M_b dx)^2 R d\varphi$$

$$\frac{\partial A}{\partial N_0} = 0 \rightarrow \int_0^{2\pi} \{M_{b_0} + (N_0 R - 2\gamma R^3)(1 - \cos\varphi)\} \cdot (1 - \cos\varphi) d\varphi = 0$$

$$\rightarrow 2\pi \cdot M_{b_0} + 3\pi (N_0 R - 2\gamma R^3) = 0$$

$$\text{ofwel } 2M_{b_0} + 3N_0 R - 6\gamma R^3 = 0$$

$$\frac{\partial A}{\partial M_{b_0}} = 0 \rightarrow \int_0^{2\pi} \{M_{b_0} + (N_0 R - 2\gamma R^3)(1 - \cos\varphi)\} d\varphi = 0$$

$$\rightarrow 2\pi M_{b_0} + 2\pi (N_0 R - 2\gamma R^3) = 0$$

$$\text{ofwel } M_{b_0} + N_0 R - 2\gamma R^3 = 0$$

$$\left. \begin{array}{l} N_0 = 2\gamma R^2 \\ M_{b_0} = 0 \end{array} \right\} \rightarrow N(\varphi) = \gamma R^2 (1 + \cos\varphi)$$

$$Q(\varphi) = 0$$

$$M_b(\varphi) = 0$$

Hiermede zijn nu de medegrootheden bekend, en dus ook  $\sigma_{m\varphi}$  en  $\sigma_{b\varphi}$ :

$$\sigma_{m\varphi} = N(\varphi) dx / t \cdot dx = \frac{\gamma R^2}{t} (1 + \cos\varphi)$$

$$\sigma_{b\varphi} = M_b(\varphi) dx \cdot \frac{t}{2} / \frac{1}{12} \cdot t^3 dx = 6M_b(\varphi) / t^2 = 0$$

Dit kan gelden voor elke waarde van  $x$ , behalve ter plaatse van de ondersteuning. We verwachten dan ook, dat de gevonden waarden voor  $\sigma_{m\varphi}$  en  $\sigma_{b\varphi}$ , zeker in de omgeving van de ondersteuning, geen enkele overeenkomst met de in werkelijkheid optredende waarden zal hebben. In hoeverre er enige overeenkomst is, op enige afstand van de steunpunten, zal door vergelijking met de experimenteel gevonden waarden moeten blijken.

Ondert de waarde van de maximale luispanning in axiale richting geeft de nu toegepaste balkentheorie in het geheel geen resultaten.

In de onderstaande tabel zijn  $\sigma_{mx}$  en  $\sigma_{m\varphi}$  gegeven als functie van  $x$  en  $\varphi$ , waarbij gebruik is gemaakt van de numerieke gegevens van de proefopstelling, zoals die in hoofdstuk 9 zijn vermeld.

$\sigma_{mx}$  in  $\text{kgf/cm}^2$

		$\varphi$						
		$0^\circ$	$30^\circ$	$60^\circ$	$90^\circ$	$120^\circ$	$150^\circ$	$180^\circ$
x [cm]	0	1,969	1,705	0,984	0,000	-0,984	-1,705	-1,969
	10,0	1,844	1,597	0,922	0,000	-0,922	-1,597	-1,844
	20,0	1,469	1,272	0,734	0,000	-0,734	-1,272	-1,469
	30,0	0,844	0,731	0,422	0,000	-0,422	-0,731	-0,844
	40,0	-0,031	-0,027	-0,016	0,000	0,016	0,027	0,031
	46,0	-0,676	-0,586	-0,338	0,000	0,338	0,586	0,676
	50,0	-0,781	-0,677	-0,391	0,000	0,391	0,677	0,781
	60,0	-0,281	-0,244	-0,141	0,000	0,141	0,244	0,281
	70,0	-0,031	-0,027	-0,016	0,000	0,016	0,027	0,031
	75,0	0,000	0,000	0,000	0,000	0,000	0,000	0,000

Omdat  $\sigma_{m\varphi}$  onafhankelijk is van  $x$  hoever we alleen de waarden van  $\sigma_{m\varphi}$  als functie van  $\varphi$  te tabelleren.

$\sigma_{m\varphi}$  in  $\text{kgf/cm}^2$

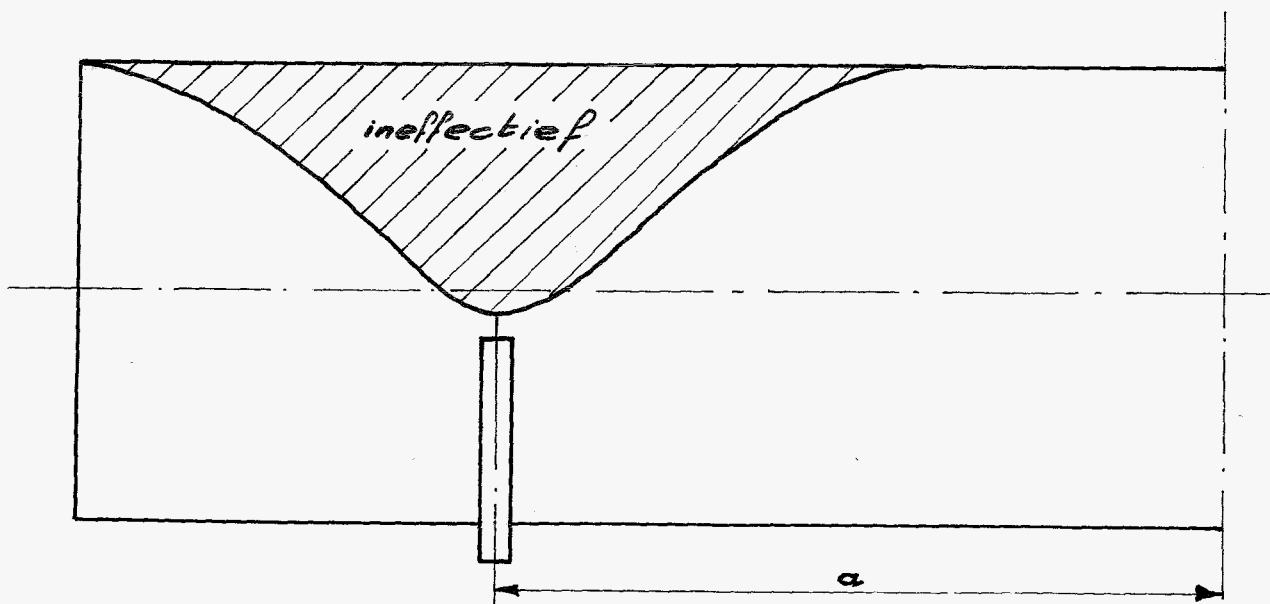
$\varphi$						
$0^\circ$	$30^\circ$	$60^\circ$	$90^\circ$	$120^\circ$	$150^\circ$	$180^\circ$
1,095	1,022	0,821	0,548	0,274	0,073	0,000

De gewone balkentheorie gaan we nu enigszins uitbreiden.

11. Toepassing van een meer uitgebreide baltheorie

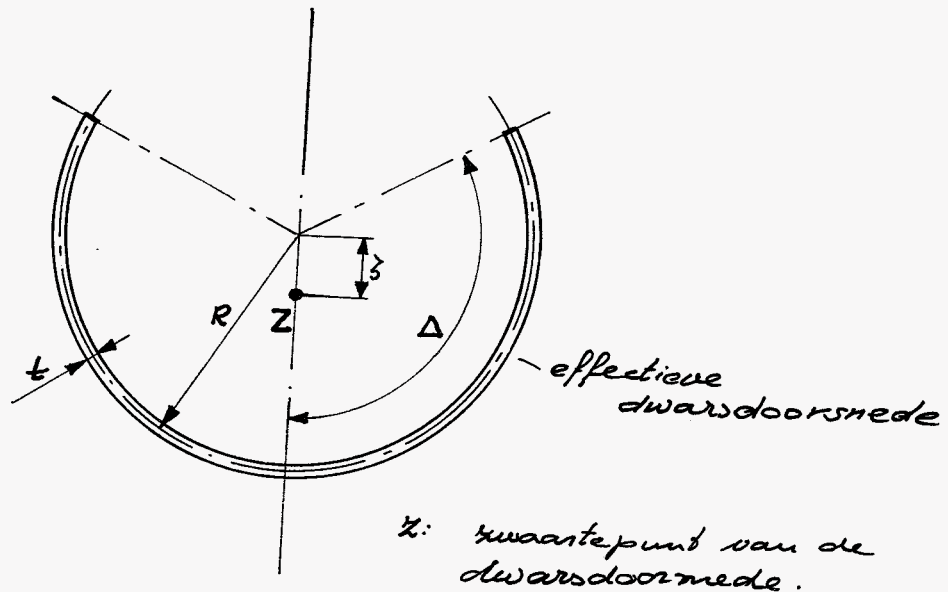
In dit hoofdstuk wordt de theorie, zoals die in het vorige hoofdstuk (10) is behandeld, uitgebreid met een aantal, meest empirische, formules, waardoor de vorm van de ondersteuning tot uitdrukking komt in de resultaten voor de spanningen, waarvan we hopen dat ze de werkelijkheid redelijk zullen benaderen.

Door experimenten kan worden aangetoond dat een met vloeistof gevulde cilindrische beker zich gedraagt als een bal met een oppervlakte-tragheidsmoment gelijk aan  $\pi \cdot R^3 \cdot t$ , behalve in de buurt van de ondersteuning. In het gebied boven de radels worden echter buigende momenten in ontrekrichting geïntroduceerd, die aldaar vervormingen van de beker veroorzaken, die dat gebied, wat betreft het gedrag als bal, ineffectief maken, zoals onderstaande tekening duidelijk tracht te maken. De breedte van dit gebied is afhankelijk van  $\eta$ , is min of meer willekeurig gekozen.



Het effectieve gedeelte van de doorsnede kan worden weergegeven door de hoek  $2\Delta$  met  $\Delta = \Delta(x)$ , waarbij  $\Delta$  groter wordt naarmate we verder van de ondersteuning zijn verwijderd.

We zoeken nu een uitdrukking voor het effectieve traagheidsmoment, als functie van  $\Delta$ , en voor de plaats van het zwaartepunt  $Z$  van de effectieve doorsnede, vertegenwoordigd door  $\xi$



$Z$ : zwaartepunt van de dwarsdoorsnede.

$$2\Delta R \cdot t \cdot \xi = \int_{-\Delta}^{\Delta} R \cos \varphi \cdot R \cdot t \, d\varphi$$

$$\rightarrow \xi = R \cdot \frac{\sin \Delta}{\Delta}$$

Het traagheidsmoment  $I$ , dat we nodig zullen hebben is het traagheidsmoment ten opzichte van de horizontale rechte door het zwaartepunt.

$$\begin{aligned} I &= \int_{-\Delta}^{\Delta} \left( R \cos \varphi - R \frac{\sin \Delta}{\Delta} \right)^2 R \cdot t \cdot d\varphi = \\ &= 2R^3 t \cdot \int_0^{\Delta} \left( \cos^2 \varphi + \frac{\sin^2 \Delta}{\Delta^2} - 2 \frac{\sin \Delta}{\Delta} \cos \varphi \right) d\varphi = \\ &= 2R^3 t \cdot \left( \frac{1}{2} \varphi + \frac{1}{4} \sin 2\varphi + \frac{\sin^2 \Delta}{\Delta^2} \cdot \varphi - 2 \frac{\sin \Delta}{\Delta} \sin \varphi \right) \Bigg|_{\varphi=0}^{\varphi=\Delta} = \\ &= R^3 t \left( \Delta + \sin \Delta \cos \Delta - 2 \frac{\sin^2 \Delta}{\Delta} \right) \end{aligned}$$

De waarde van  $\Delta$  als functie van de  $x$ -coördinaat is in het geheel niet bekend, maar desondanks moeten we een aanname doen over deze afhankelijkheid, die redelijk is. Als enige uitgangspunt hiervoor is bekend dat bij rektroscopmetingen is gebleken dat ter plaatse van de ondersteuning ( $x=a$ ) geldt:

$$\Delta = \theta + \frac{1}{6}(180^\circ - \theta) = \frac{5}{6}\theta + 30^\circ$$

( $\theta$  in graden)

We nemen nu aan dat voor het verloop geldt, hetgeen in onderstaande tabel is aangegeven. Tevens zijn in deze tabel weergegeven de waarden van  $\zeta/R$  en  $I/R^3t$ , die met behulp van  $\Delta$  berekend kunnen worden.

$x$ [cm]	$\Delta$ (grad.)	$\Delta$ (rad.)	$\zeta/R$	$I/R^3t$
0,0	180	3,14	0,000	3,14
10,0	180	3,14	0,000	3,14
20,0	180	3,14	0,000	3,14
30,0	140	2,44	0,263	1,61
40,0	90	1,57	0,637	0,30
46,0	80	1,40	0,703	0,19
50,0	80	1,40	0,703	0,19
60,0	110	1,92	0,489	0,68
70,0	160	2,80	0,122	2,40
75,0	180	3,14	0,000	3,14

Oangenomen we in het geheel niet weten in hoeverre dit met de werkelijkheid overeenstemt, kunnen we aan bovenstaande slechts geringe waarde hechten. We gaan echter gewoon door.

De membraanspanning in axiale richting is nu te bepalen met behulp van de formules:

$$\sigma_{m_x} = \frac{M(x) \cdot (-R \cos \varphi + \xi)}{I} \quad \text{voor } -\Delta \leq \varphi \leq \Delta$$

$$\sigma_{m_x} = 0 \quad \text{voor andere } \varphi$$

$M(x)$  heeft dezelfde betekenis als in het vorige hoofdstuk. De nu volgende tabel geeft de numerieke resultaten hiervan:

$\sigma_{m_x}$  in  $\text{kgf/cm}^2$

		$\varphi$						
		$0^\circ$	$30^\circ$	$60^\circ$	$90^\circ$	$120^\circ$	$150^\circ$	$180^\circ$
$x$ [cm]	0,0	1,969	1,705	0,984	0,000	-0,984	-1,705	-1,969
	10,0	1,844	1,597	0,922	0,000	-0,922	-1,597	-1,844
	20,0	1,469	1,272	0,734	0,000	-0,734	-1,272	-1,469
	30,0	1,213	0,993	0,390	-0,432	-1,256	0,000	0,000
	40,0	-0,119	-0,075	0,045	0,208	0,000	0,000	0,000
	46,0	-3,320	-1,822	2,269	0,000	0,000	0,000	0,000
	50,0	-3,836	-2,105	2,622	0,000	0,000	0,000	0,000
	60,0	-0,664	-0,490	-0,014	0,635	0,000	0,000	0,000
	70,0	-0,036	-0,030	-0,015	0,005	0,021	0,040	0,000
	75,0	0,000	0,000	0,000	0,000	0,000	0,000	0,000

N volgens deze theorie treden voor  $\varphi = \pm \Delta$  discontinuïteiten op in de axiale membraanspanning. Het is niet waarschijnlijk dat dit ook in werkelijkheid zo zal zijn. Daarom zullen we dan ook in de grafieken deze discontinuïteiten vervangen door afrondingen.

Wanneer de koker rond van blijven kan de tangentiële schuifspanning op een doorsnede  $x = \text{constant}$  voor een bepaalde doorsnede recht evenredig zijn met  $\sin \varphi$ .

Wanneer echter de koker boven de knedels vrij kan versorven, dan wanneer geen verstevigingen zijn aangebracht, werken deze schuifspanningen in de buurt van de ondersteuning slechts op een gedeelte van de dwarsdoorsnede, de effectieve dwarsdoorsnede.

In het artikel, geschreven door L.P. Zick (lit.5) wordt nu aangenomen dat de genoemde schuifspanning ter plaatse van de ondersteuning blijft variëren met  $\sin \varphi$ , maar slechts werkt op een effectieve dwarsdoorsnede, die begrensd wordt door de rechten:  $\varphi = \pm \left\{ \theta + \frac{1}{20} (180^\circ - \theta) \right\}$  en wel zodanig, dat aan het globale evenwicht in verticale richting is voldaan.

Het is duidelijk dat hierbij niet meer is voldaan aan het locale evenwicht en daarom willen we hier een weg volgen, die dit nadeel niet bezit.

We nemen aan dat geldt:

$$\tau = \frac{D(x) \cdot S(\varphi, \Delta)}{2 \cdot t \cdot I}$$

waarbij  $\tau$  is gedefinieerd, zoals op blz 87 is aangegeven.

Voor  $\Delta < \varphi < 2\pi - \Delta$  :  $S = 0$

Voor  $-\Delta < \varphi < \Delta$  :

$S$  is het statisch moment van de gedeelten, begrensd door  $\varphi = \varphi$  en  $\varphi = \Delta$  en begrensd door  $\varphi = 2\pi - \varphi$  en  $\varphi = 2\pi - \Delta$  t.o.v. de horizontale as door  $Z$

We zoeken nu een uitdrukking voor  $S$  als functie van  $\varphi$  en  $\Delta(x)$



Voor  $0 < \varphi < \Delta$  geldt: 
$$S = 2 \int_{\varphi}^{\Delta} (-R \cos \varphi + \zeta) \cdot R \cdot t \cdot d\varphi =$$

$$= 2R^2 t \left\{ \sin \varphi - \sin \Delta + \frac{\zeta}{R} (\Delta - \varphi) \right\}$$

Voor  $-\Delta < \varphi < 0$  geldt: 
$$S = 2R^2 t \left\{ -\sin \varphi - \sin \Delta + \frac{\zeta}{R} (\Delta + \varphi) \right\}$$

Dit gecombineerd geeft, dat voor

$-\Delta < \varphi < \Delta$  geldt: 
$$S = 2R^2 t \left\{ |\sin \varphi| - \sin \Delta + \frac{\zeta}{R} (\Delta - |\varphi|) \right\}$$

Met behulp van:  $\zeta = R \frac{\sin \Delta}{\Delta}$  wordt dit:

$-\Delta < \varphi < \Delta \rightarrow S = 2R^2 t \left\{ |\sin \varphi| - \sin \Delta \cdot \frac{|\varphi|}{\Delta} \right\}$

Resumerend krijgen we dan als uitdrukking voor de schuifspanning:

$\Delta < \varphi < 2\pi - \Delta : \tau = 0$

$-\Delta < \varphi < \Delta : \tau = \frac{D(x) \cdot \left\{ |\sin \varphi| - \sin \Delta \cdot \frac{|\varphi|}{\Delta} \right\}}{R \cdot t \left( \Delta + \sin \Delta \cos \Delta - 2 \frac{\sin^2 \Delta}{\Delta} \right)}$

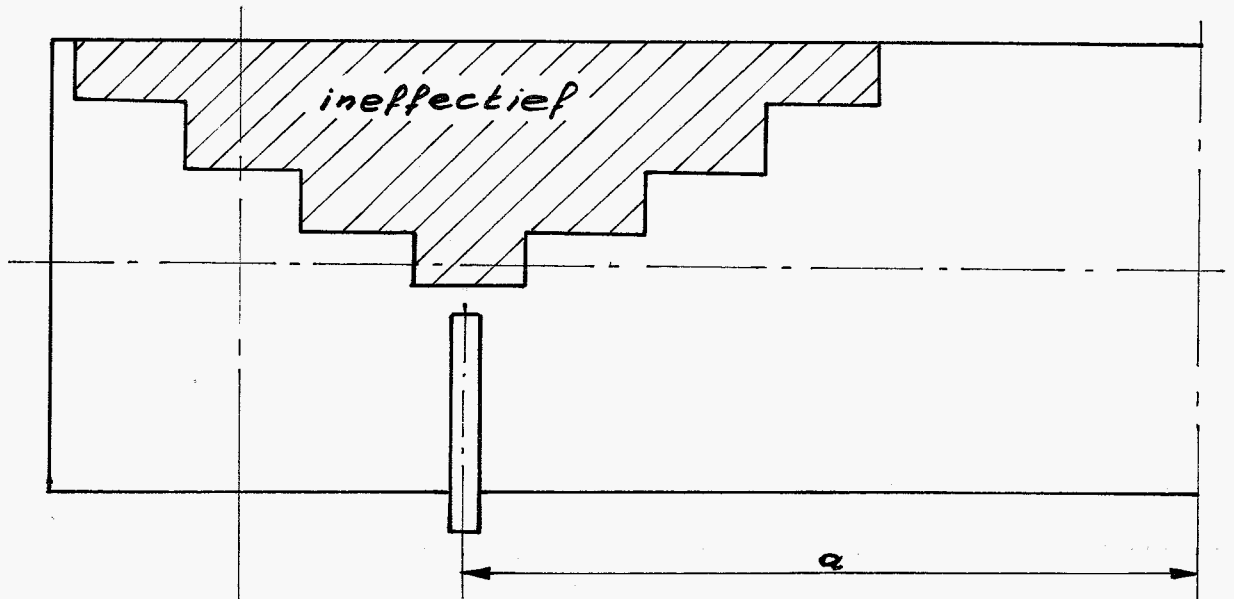
waarbij de richting wordt gegeven door de figuur op blz 87.

Ter plaatse van de ondersteuning geldt dit niet.

Op dezelfde wijze als in hoofdstuk 10 proberen we nu een uitdrukking te vinden voor  $\sigma_{\varphi}$  en  $\sigma_{\theta\varphi}$ , door aan te nemen, dat de hierboven berekende schuifspanning inderdaad in overeenstemming is met de werkelijk optredende schuifspanning en door te veronderstellen dat er behalve deze schuifspanning geen enkele spanning werkt in het vlak van een doorsnede  $x = \text{constant}$ .

We zullen zien dat er complicaties optreden, omdat de afhankelijkheid van  $x$ , van de schuifspanning  $\tau$ , minder eenvoudig is als in hoofdstuk 10.

Om deze moeilijkheid op te heffen nemen we aan dat  $\Delta$  constant blijft over een kleine afstand in  $x$ -richting, waarbinnen de plaats, die we beschouwen voor de spanningsberekening is bevat. Dit betekent, dat de vorm van het ineffektieve gebied, zoals dat getekend is op pagina 92 een enigzins gewijzigde vorm aanneemt, zoals onderstaande schets weergeeft.



▲ plaats waar we de spanningstoestand willen weten.

Bovenstaande tekening geeft slechts een voorbeeld waarin we de vorm van het ineffektieve gebied kunnen wijzigen. De getrapte vorm kunnen we verfijnen en zo goed mogelijk aanpassen.

Hieraan gebruik makend geldt:

$$\Delta < \varphi < 2\pi - \Delta \quad \tau' = 0$$

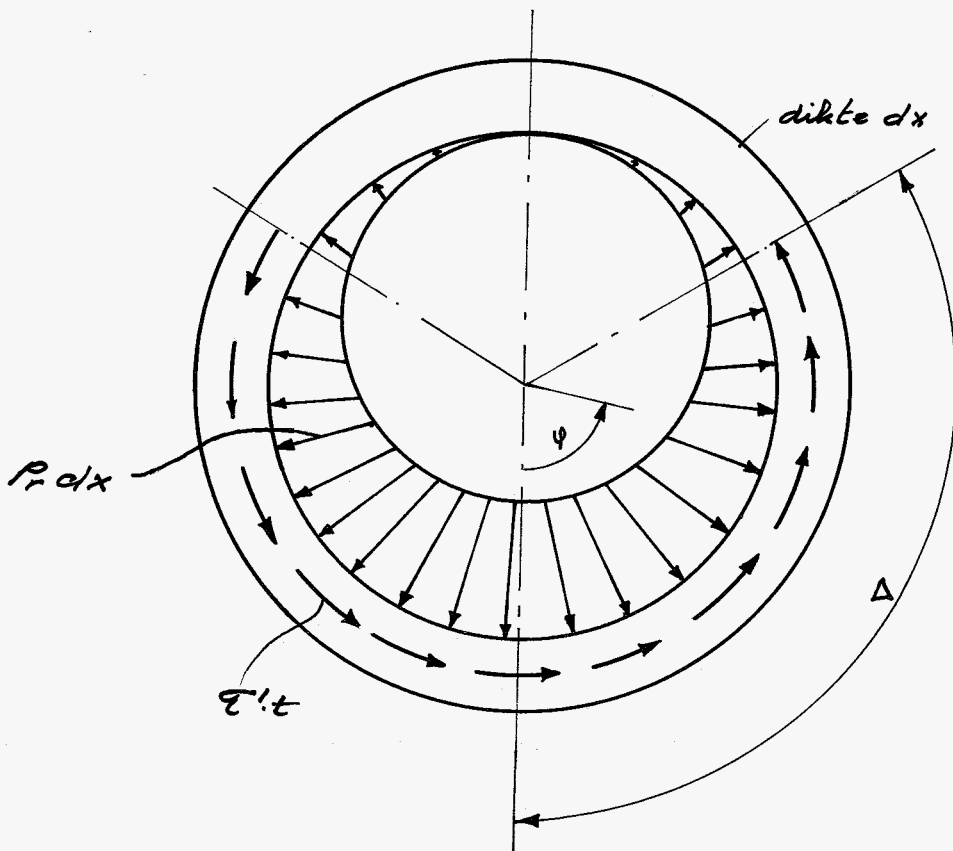
$$0 < \varphi < \Delta \quad \tau' = \frac{d\tau}{dx} dx = \frac{\frac{dD(x)}{dx} dx \left\{ |\sin \varphi| - \sin \Delta \cdot \frac{|\varphi|}{\Delta} \right\}}{R \cdot t \cdot \left( \Delta + \sin \Delta \cos \Delta - 2 \frac{\sin^2 \Delta}{\Delta} \right)}$$

$$-\Delta < \varphi < 0 \quad \tau' = -\frac{d\tau}{dx} dx = -\frac{\frac{dD(x)}{dx} dx \left\{ |\sin \varphi| - \sin \Delta \cdot \frac{|\varphi|}{\Delta} \right\}}{R \cdot t \cdot \left( \Delta + \sin \Delta \cos \Delta - 2 \frac{\sin^2 \Delta}{\Delta} \right)}$$

$$\text{ofwel: } \Delta < \varphi < 2\pi - \Delta \quad \tau' = 0$$

$$-\Delta < \varphi < \Delta \quad \tau' = \frac{\pi R \gamma dx}{t} \cdot \frac{\sin \varphi - \sin \Delta \cdot \frac{\varphi}{\Delta}}{\Delta + \sin \Delta \cos \Delta - 2 \frac{\sin^2 \Delta}{\Delta}}$$

Na het probleem, weergegeven door onderstaande figuur moeten we dus de snedegrootheden uitrekenen.



Op analoge wijze als op blz 89 snijden we de ring door bij  $\varphi=0$  en bij willekeurige  $\varphi$  en met behulp van de evenwichtvergelijkingen kunnen we dan de snedegrootheden bij die willekeurige  $\varphi$  als functie van de snedegrootheden  $N_0 dx$  en  $M_0 dx$  bij  $\varphi=0$  berekenen.

Het evenwicht in horizontale richting leert ons:

$$-N_0 dx + \int_0^\varphi (R + R \cos \varphi) \tau dx \cdot R \sin \varphi d\varphi + \int_0^\varphi \tau' t \cdot R \cos \varphi d\varphi + N(\varphi) dx \cos \varphi + Q(\varphi) dx \sin \varphi = 0$$

Opxien het karakter van  $\tau'$  als functie van  $x$  is het noodzakelijk om onderscheid te maken tussen de gevallen:  $-\Delta < \varphi < \Delta$  en  $\Delta < \varphi < 2\pi - \Delta$

Nur  $-\Delta < \varphi < \Delta$  gelte:

$$-N_0 + \int_0^\varphi (R + R \cos \varphi) \cdot \gamma \cdot R \sin \varphi d\varphi + \int_0^\varphi \frac{R^2 \gamma \cdot \pi (\sin \varphi \cos \varphi - \sin \Delta \cdot \frac{\varphi}{\Delta} \cdot \cos \varphi)}{\Delta + \sin \Delta \cos \Delta - 2 \frac{\sin^2 \Delta}{\Delta}} d\varphi +$$

$$+ N(\varphi) \cos \varphi + Q(\varphi) \sin \varphi = 0$$

$$\rightarrow -N_0 + N(\varphi) \cos \varphi + Q(\varphi) \sin \varphi + \gamma R^2 (1 - \cos \varphi + 1/2 \sin^2 \varphi) +$$

$$+ \pi \gamma R^2 \left( \frac{1/2 \sin^2 \varphi - \frac{\sin \Delta}{\Delta} (\varphi \sin \varphi + \cos \varphi - 1)}{\Delta + \sin \Delta \cos \Delta - 2 \frac{\sin^2 \Delta}{\Delta}} \right) = 0 \quad (a)$$

Nur  $\Delta < \varphi < 2\pi - \Delta$  gelte:

$$-N_0 + \int_0^\varphi (R + R \cos \varphi) \cdot \gamma \cdot R \sin \varphi d\varphi + \int_0^\Delta \frac{R^2 \gamma \cdot \pi (\sin \varphi \cos \varphi - \sin \Delta \cdot \frac{\varphi}{\Delta} \cdot \cos \varphi)}{\Delta + \sin \Delta \cos \Delta - 2 \frac{\sin^2 \Delta}{\Delta}} d\varphi +$$

$$+ N(\varphi) \cos \varphi + Q(\varphi) \sin \varphi = 0$$

$$\rightarrow -N_0 + N(\varphi) \cos \varphi + Q(\varphi) \sin \varphi + \gamma R^2 (1 - \cos \varphi + 1/2 \sin^2 \varphi) +$$

$$+ \pi \gamma R^2 \left( \frac{-1/2 \sin^2 \Delta - \frac{\sin \Delta}{\Delta} (\cos \Delta - 1)}{\Delta + \sin \Delta \cos \Delta - 2 \frac{\sin^2 \Delta}{\Delta}} \right) = 0 \quad (b)$$

Hier verwendet in horizontale richtung leert aus:

$$- \int_0^\varphi (R + R \cos \varphi) \gamma dx R \cos \varphi d\varphi + \int_0^\varphi \tau' \cdot R \cdot \sin \varphi d\varphi +$$

$$N(\varphi) dx \sin \varphi - Q(\varphi) dx \cos \varphi = 0$$

Nur  $-\Delta < \varphi < \Delta$  gelte:

$$- \int_0^\varphi (R + R \cos \varphi) \gamma R \cos \varphi d\varphi + \int_0^\varphi \frac{R^2 \gamma \pi (\sin^2 \varphi - \sin \Delta \cdot \frac{\varphi}{\Delta} \sin \varphi)}{\Delta + \sin \Delta \cos \Delta - 2 \frac{\sin^2 \Delta}{\Delta}} d\varphi + N(\varphi) \sin \varphi - Q(\varphi) \cos \varphi = 0$$

$$\rightarrow N(\varphi) \sin \varphi - Q(\varphi) \cos \varphi + \gamma R^2 (-\sin \varphi - 1/4 \sin 2\varphi - 1/2 \varphi) +$$

$$+ \pi \gamma R^2 \left( \frac{1/2 \varphi - 1/4 \sin 2\varphi - \frac{\sin \Delta}{\Delta} \cdot (\sin \varphi - \varphi \cos \varphi)}{\Delta + \sin \Delta \cos \Delta - 2 \frac{\sin^2 \Delta}{\Delta}} \right) = 0 \quad (c)$$

Door  $\Delta < \varphi < 2\pi - \Delta$  gelost:

$$-\int_0^\varphi (R + R \cos \varphi) \gamma R \cos \varphi d\varphi + \int_0^\Delta \frac{R^2 \gamma \pi (\sin^2 \varphi - \sin \Delta \cdot \frac{\varphi}{\Delta} \sin \varphi)}{\Delta + \sin \Delta \cos \Delta - 2 \frac{\sin^2 \Delta}{\Delta}} d\varphi + N(\varphi) \sin \varphi - Q(\varphi) \cos \varphi = 0$$

$$\rightarrow N(\varphi) \sin \varphi - Q(\varphi) \cos \varphi + \gamma R^2 (-\sin \varphi - 1/4 \sin 2\varphi - 1/2 \varphi) + 1/2 \pi \gamma R^2 = 0 \quad \textcircled{a}$$

Het momenten evenwicht om 0 levert ons:

$$-N_0 dx \cdot R - M_{b0} dx + \int_0^\varphi \tau' \tau \cdot R \cdot R d\varphi + N(\varphi) dx \cdot R + M_b(\varphi) dx = 0$$

Door  $-\Delta < \varphi < \Delta$  gelost:

$$-N_0 \cdot R - M_{b0} + M_b(\varphi) + N(\varphi) \cdot R + \int_0^\varphi \frac{\gamma R^3 \pi (\sin \varphi - \sin \Delta \cdot \frac{\varphi}{\Delta})}{\Delta + \sin \Delta \cos \Delta - 2 \frac{\sin^2 \Delta}{\Delta}} d\varphi = 0$$

$$\rightarrow -N_0 \cdot R - M_{b0} + M_b(\varphi) + N(\varphi) R + \gamma R^3 \pi \left( \frac{1 - \cos \varphi - \frac{\sin \Delta}{\Delta} \cdot 1/2 \varphi^2}{\Delta + \sin \Delta \cos \Delta - 2 \frac{\sin^2 \Delta}{\Delta}} \right) = 0 \quad \textcircled{c}$$

Door  $\Delta < \varphi < 2\pi - \Delta$  gelost:

$$-N_0 \cdot R - M_{b0} + M_b(\varphi) + N(\varphi) \cdot R + \int_0^\Delta \frac{\gamma R^3 \pi (\sin \varphi - \sin \Delta \cdot \frac{\varphi}{\Delta})}{\Delta + \sin \Delta \cos \Delta - 2 \frac{\sin^2 \Delta}{\Delta}} d\varphi = 0$$

$$\rightarrow -N_0 \cdot R - M_{b0} + M_b(\varphi) + N(\varphi) \cdot R + \gamma R^3 \pi \left( \frac{1 - \cos \Delta - 1/2 \Delta \sin \Delta}{\Delta + \sin \Delta \cos \Delta - 2 \frac{\sin^2 \Delta}{\Delta}} \right) = 0 \quad \textcircled{d}$$

We beginnen nu met het bepalen van de meele-grootheden  $N(\varphi)$ ,  $Q(\varphi)$  en  $M_b(\varphi)$  voor  $-\Delta < \varphi < \Delta$  uit de evenwichtsvergelijkingen.

$\textcircled{a} + \textcircled{c}$  geeft:

$$N(\varphi) - N_0 \cos \varphi + \gamma R^2 (\cos \varphi - \cos^2 \varphi + 1/2 \sin^2 \varphi \cos \varphi - \sin^2 \varphi - 1/4 \sin \varphi \sin 2\varphi - 1/2 \varphi \sin \varphi) + \pi \gamma R^2 \left( \frac{1/2 \sin^2 \varphi \cos \varphi - \frac{\sin \Delta}{\Delta} (\varphi \sin \varphi \cos \varphi + \cos^2 \varphi - \cos \varphi) + 1/2 \varphi \sin \varphi - 1/4 \sin 2\varphi \sin \varphi - \frac{\sin \Delta}{\Delta} (\sin^2 \varphi - \varphi \sin \varphi \cos \varphi)}{\Delta + \sin \Delta \cos \Delta - 2 \frac{\sin^2 \Delta}{\Delta}} \right) = 0$$

$$\rightarrow N(\varphi) - N_0 \cos \varphi + \gamma R^2 (\cos \varphi - 1/2 \varphi \sin \varphi - 1) + \pi \gamma R^2 \left( \frac{1/2 \varphi \sin \varphi - \frac{\sin \Delta}{\Delta} (1 - \cos \varphi)}{\Delta + \sin \Delta \cos \Delta - 2 \frac{\sin^2 \Delta}{\Delta}} \right) = 0$$

$$\rightarrow N(\varphi) = N_0 \cos \varphi - \gamma R^2 (\cos \varphi - 1/2 \varphi \sin \varphi - 1) - \pi \gamma R^2 \left( \frac{1/2 \varphi \sin \varphi - \frac{\sin \Delta}{\Delta} (1 - \cos \varphi)}{\Delta + \sin \Delta \cos \Delta - 2 \frac{\sin^2 \Delta}{\Delta}} \right)$$

$$\rightarrow Q(\varphi) = N_0 \sin \varphi + \gamma R^2 (-3/2 \sin \varphi - 1/2 \varphi \cos \varphi) + \pi \gamma R^2 \left( \frac{1/2 \varphi \cos \varphi - 1/2 \sin \varphi - \frac{\sin \Delta}{\Delta} (\sin \varphi - \varphi)}{\Delta + \sin \Delta \cos \Delta - 2 \frac{\sin^2 \Delta}{\Delta}} \right)$$

Combinatie hiervan met (c) geeft:

$$M_b(\varphi) = M_{b0} + N_0 R (1 - \cos \varphi) + \gamma R^2 (\cos \varphi - 1/2 \varphi \sin \varphi - 1) + \pi \gamma R^3 \left( \frac{1/2 \varphi \sin \varphi - 1 + \cos \varphi - \frac{\sin \Delta}{\Delta} (1 - \cos \varphi - 1/2 \varphi^2)}{\Delta + \sin \Delta \cos \Delta - 2 \frac{\sin^2 \Delta}{\Delta}} \right)$$

We doen nu hetzelfde voor  $\Delta < \varphi < 2\pi - \Delta$

(b) + (d) geeft

$$N(\varphi) = N_0 \cos \varphi + \gamma R^2 (\cos \varphi - \cos^2 \varphi + 1/2 \sin^2 \varphi \cos \varphi - \sin^2 \varphi - 1/4 \sin 2\varphi \sin \varphi - 1/2 \varphi \sin \varphi) + \pi \gamma R^2 \left( \frac{-1/2 \sin^2 \Delta \cos \varphi - \frac{\sin \Delta}{\Delta} (\cos \Delta - 1) \cos \varphi}{\Delta + \sin \Delta \cos \Delta - 2 \frac{\sin^2 \Delta}{\Delta}} + 1/2 \sin \varphi \right)$$

$$\rightarrow N(\varphi) = N_0 \cos \varphi - \gamma R^2 (\cos \varphi - 1/2 \varphi \sin \varphi - 1) - \pi \gamma R^2 \left( \frac{-1/2 \sin^2 \Delta \cos \varphi - \frac{\sin \Delta}{\Delta} (\cos \Delta - 1) \cos \varphi}{\Delta + \sin \Delta \cos \Delta - 2 \frac{\sin^2 \Delta}{\Delta}} + 1/2 \sin \varphi \right)$$

$$\rightarrow Q(\varphi) = N_0 \sin \varphi + \gamma R^2 (-3/2 \sin \varphi - 1/2 \varphi \cos \varphi) + \pi \gamma R^2 \left( \frac{1/2 \sin^2 \Delta \sin \varphi - \frac{\sin \Delta}{\Delta} (1 - \cos \Delta) \sin \varphi}{\Delta + \sin \Delta \cos \Delta - 2 \frac{\sin^2 \Delta}{\Delta}} + 1/2 \cos \varphi \right)$$

Combinatie hiervan met (e) geeft:

$$M_b(\varphi) = M_{b0} + N_0 R (1 - \cos \varphi) + \gamma R^2 (\cos \varphi - 1/2 \varphi \sin \varphi - 1) + \pi \gamma R^3 \left( \frac{-1 + \cos \Delta + 1/2 \sin \Delta - 1/2 \sin^2 \Delta \cos \varphi - \frac{\sin \Delta}{\Delta} (\cos \Delta - 1) \cos \varphi + 1/2 \Delta \sin \varphi + 1/2 \sin \Delta \cos \Delta \sin \varphi - \frac{\sin^2 \Delta}{\Delta} \sin \varphi}{\Delta + \sin \Delta \cos \Delta - 2 \frac{\sin^2 \Delta}{\Delta}} \right)$$

Analoog aan wat is gebeurd in het vorige hoofdstuk gaan we nu de elastische energie  $A$  in de ring met dilata  $dx$  berekenen, waarna met behulp van de stelling van Castiglione  $N_0$  en  $M_{b0}$  worden berekend uit:

$$\frac{\partial A}{\partial N_0} = 0 \quad \text{en} \quad \frac{\partial A}{\partial M_{b0}} = 0$$

Ook hier brengen we alleen de energie ten gevolge van de buiging in rekening.

$$A = 2 \int_0^{\pi} (M_b dx)^2 / 2EY \cdot R d\varphi =$$

$$= \frac{dx^2 \cdot R}{EY} \cdot \left\{ \int_0^{\Delta} M_b^2 d\varphi + \int_{\Delta}^{\pi} M_b^2 d\varphi \right\}$$

$$\frac{\partial A}{\partial N_0} = 0 \rightarrow \int_0^{\pi} \left\{ M_{b_0} + N_0 R (1 - \cos \varphi) + \gamma R^2 (\cos \varphi - 1/2 \varphi \sin \varphi - 1) \right\} (1 - \cos \varphi) d\varphi +$$

$$+ \int_0^{\Delta} \pi \gamma R^3 \left\{ \frac{1/2 \varphi \sin \varphi - 1 + \cos \varphi - \frac{\sin \Delta}{\Delta} (1 - \cos \varphi - 1/2 \varphi^2)}{\Delta + \sin \Delta \cos \Delta - 2 \frac{\sin^2 \Delta}{\Delta}} \right\} (1 - \cos \varphi) d\varphi +$$

$$+ \int_{\Delta}^{\pi} \pi \gamma R^3 \left\{ \frac{-1 + \cos \Delta + 1/2 \Delta \sin \Delta - 1/2 \sin^2 \Delta \cos \varphi - \frac{\sin \Delta}{\Delta} (\cos \Delta - 1) \cos \varphi +}{\Delta + \sin \Delta \cos \Delta - 2 \frac{\sin^2 \Delta}{\Delta}} \right. \\ \left. + \frac{1/2 \Delta \sin \varphi + 1/2 \sin \Delta \cos \Delta \sin \varphi - \frac{\sin^2 \Delta}{\Delta} \sin \varphi}{\Delta + \sin \Delta \cos \Delta - 2 \frac{\sin^2 \Delta}{\Delta}} \right\} (1 - \cos \varphi) d\varphi = 0$$

ofwel:  $\pi \cdot M_{b_0} + \frac{3\pi}{2} \cdot N_0 R - \frac{17}{8} \pi \cdot \gamma R^3 +$

$$+ \pi \gamma R^3 \frac{\left( \begin{aligned} & -1/2 \Delta \cos \Delta + 1/2 \sin \Delta + 1/8 \Delta \cos 2\Delta - 1/16 \sin 2\Delta + \\ & - 3/2 \Delta + 2 \sin \Delta - 1/4 \sin 2\Delta - 3/2 \sin \Delta + \\ & + 2 \sin^2 \Delta / \Delta - 1/4 \sin \Delta \sin 2\Delta / \Delta + 1/6 \Delta^2 \sin \Delta + \\ & - 1/2 \Delta \sin^2 \Delta - \sin \Delta \cos \Delta + \sin^2 \Delta / \Delta + \\ & - \pi + \Delta - 1/4 \Delta + \pi \cos \Delta - \Delta \cos \Delta + \sin \Delta \cos \Delta + \\ & + 1/2 \pi \Delta \sin \Delta - 1/2 \Delta^2 \sin \Delta + 1/2 \Delta \sin^2 \Delta + \\ & + 1/4 \pi \sin^2 \Delta - 1/4 \Delta \sin^2 \Delta + 1/2 \sin^2 \Delta - 1/8 \sin 2\Delta \sin^2 \Delta + \\ & + 1/2 \pi \sin \Delta \cos \Delta / \Delta - 1/2 \sin \Delta \cos \Delta + \sin^2 \Delta \cos \Delta / \Delta - 1/4 \sin 2\Delta \sin \Delta \cos \Delta / \Delta + \\ & - 1/2 \pi \sin \Delta / \Delta + 1/2 \sin \Delta - \sin^2 \Delta / \Delta + 1/4 \sin 2\Delta \sin \Delta / \Delta + \\ & 1/2 \Delta + 1/2 \Delta \cos \Delta + 1/4 \Delta \sin^2 \Delta + 1/2 \sin \Delta \cos \Delta + 1/2 \sin \Delta \cos^2 \Delta + 1/4 \sin^2 \Delta \cos \Delta + \\ & - \sin^2 \Delta / \Delta - \sin^2 \Delta \cos \Delta / \Delta - 1/2 \sin^4 \Delta / \Delta \end{aligned} \right)}{\Delta + \sin \Delta \cos \Delta - 2 \frac{\sin^2 \Delta}{\Delta}} = 0$$

Na uitwerking wordt dit:

$$\pi \cdot M_{b_0} + \frac{3\pi}{2} N_0 \cdot R - \frac{17}{8} \pi \gamma R^3 +$$

$$+ \pi \gamma R^3 \cdot \frac{\left( \begin{aligned} & \sin \Delta (1 + \pi/2 \Delta - \frac{\pi}{2} \Delta - 1/3 \Delta^2) + \sin^2 \Delta (-\frac{\Delta}{4} + \frac{\pi}{4} + \frac{1}{2} \Delta) + \\ & + \cos \Delta (\pi - \Delta) + \sin \Delta \cos \Delta (-5/8 + \pi/2 \Delta) + 1/8 \Delta - \pi \end{aligned} \right)}{\Delta + \sin \Delta \cos \Delta - 2 \frac{\sin^2 \Delta}{\Delta}} = 0$$

$$\frac{\partial A}{\partial M_{b0}} = 0 \rightarrow \int_0^\pi \left\{ M_{b0} + N_0 R (1 - \cos \varphi) + \gamma R^3 (\cos \varphi - \frac{1}{2} \varphi \sin \varphi - 1) \right\} d\varphi +$$

$$+ \int_0^\Delta \pi \gamma R^3 \left\{ \frac{\frac{1}{2} \varphi \sin \varphi - 1 + \cos \varphi - \frac{\sin \Delta}{\Delta} (1 - \cos \varphi - \frac{1}{2} \varphi^2)}{\Delta + \sin \Delta \cos \Delta - 2 \frac{\sin^2 \Delta}{\Delta}} \right\} d\varphi +$$

$$+ \int_\Delta^\pi \pi \gamma R^3 \left\{ \frac{-1 + \cos \Delta + \frac{1}{2} \Delta \sin \Delta - \frac{1}{2} \sin^2 \Delta \cos \varphi - \frac{\sin \Delta}{\Delta} (\cos \Delta - 1) \cos \varphi + \frac{1}{2} \Delta \sin \varphi + \frac{1}{2} \sin \Delta \cos \Delta \sin \varphi - \frac{\sin^2 \Delta}{\Delta} \sin \varphi}{\Delta + \sin \Delta \cos \Delta - 2 \frac{\sin^2 \Delta}{\Delta}} \right\} d\varphi = 0$$

afwel:  $\pi M_{b0} + \pi N_0 R - \frac{3\pi}{2} \gamma R^3 +$

$$+ \pi \gamma R^3 \frac{\left( \begin{array}{l} -\frac{1}{2} \Delta \cos \Delta + \frac{1}{2} \sin \Delta - \Delta + \sin \Delta - \sin \Delta + \sin^2 \Delta / \Delta + \frac{1}{6} \Delta^2 \sin \Delta + \\ -\pi + \Delta + \pi \cos \Delta - \Delta \cos \Delta + \frac{1}{2} \pi \Delta \sin \Delta - \frac{1}{2} \Delta^2 \sin \Delta + \\ + \frac{1}{2} \sin^2 \Delta + \sin^2 \Delta \cos \Delta / \Delta - \sin^2 \Delta / \Delta + \\ + \frac{1}{2} \Delta + \frac{1}{2} \Delta \cos \Delta + \frac{1}{2} \sin \Delta \cos \Delta + \frac{1}{2} \sin \Delta \cos^2 \Delta \\ - \sin^2 \Delta / \Delta - \sin^2 \Delta \cos \Delta / \Delta \end{array} \right)}{\Delta + \sin \Delta \cos \Delta - 2 \frac{\sin^2 \Delta}{\Delta}} = 0$$

Na uitwerking hiervan krijgen we:

$$\pi M_{b0} + \pi N_0 R - \frac{3\pi}{2} \gamma R^3 +$$

$$+ \frac{\pi \gamma R^3 \cdot \left( \begin{array}{l} \sin \Delta (1 - \frac{\Delta^2}{3} + \frac{\pi \Delta}{2}) + \cos \Delta (\pi - \Delta) + \frac{1}{2} \sin \Delta \cos \Delta + \\ - \sin^2 \Delta / \Delta + \Delta / 2 - \pi \end{array} \right)}{\Delta + \sin \Delta \cos \Delta - 2 \frac{\sin^2 \Delta}{\Delta}} = 0$$

Dit resultaat combineren we met het resultaat van  $\partial A / \partial N_0 = 0$

$$\rightarrow N_0 = \gamma \cdot R^2 \cdot \left\{ \frac{\frac{\pi}{\Delta} \sin \Delta + (\frac{\Delta}{2} - \frac{\pi}{2} + \frac{1}{\Delta}) \sin^2 \Delta + (\frac{1}{4} - \frac{\pi}{\Delta}) \sin \Delta \cos \Delta + \frac{3}{4} \Delta}{\Delta + \sin \Delta \cos \Delta - 2 \frac{\sin^2 \Delta}{\Delta}} + \frac{5}{4} \right\}$$

$$\rightarrow M_{b0} = \gamma R^3 \left\{ \frac{\left( -1 - \frac{\pi \Delta}{2} - \frac{\pi}{2} + \frac{\Delta^2}{3} \right) \sin \Delta + \left( \frac{\pi}{2} - \frac{\Delta}{2} \right) \sin^2 \Delta + (\Delta - \pi) \cos \Delta + \left( \frac{\pi}{2} - \frac{3}{4} \right) \sin \Delta \cos \Delta + \pi - \frac{5}{4} \Delta}{\Delta + \sin \Delta \cos \Delta - 2 \frac{\sin^2 \Delta}{\Delta}} + \frac{1}{4} \right\}$$

Hiermede zijn dan de sreedegraotheden op een willekeurige doormede  $\varphi = \text{constant}$  bekend.



Om  $\sigma_{\varphi y}$  en  $\sigma_{\varphi x}$  te berekenen zijn alleen  $N(\varphi)$  en  $M_b(\varphi)$  interessant. Deze zijn te bepalen met behulp van de formules op blz 103. De gewenste spanningen vinden we dan door:

$$\sigma_{\varphi y} = \frac{N(\varphi)}{t} \quad \sigma_{\varphi x} = \frac{6 M_b(\varphi)}{t^2}$$

In de onderstaande tabel is  $\sigma_{\varphi y}$  gegeven als functie van  $x$  en  $\varphi$ , waarbij gebruik is gemaakt van de gegevens der profopstelling.

$\sigma_{\varphi y}$  in  $\text{kgf/cm}^2$

		$\Delta$ gr /rad	$N_0$ [ $\frac{\text{kgf}}{\text{cm}}$ ]	$\varphi$							
				$0^\circ$	$30^\circ$	$60^\circ$	$90^\circ$	$120^\circ$	$150^\circ$	$180^\circ$	
x [cm]	0,0	180 3,14	0,438	1,095	1,022	0,821	0,548	0,274	0,073	0,000	
	10,0	180 3,14	0,438	1,095	1,022	0,821	0,548	0,274	0,073	0,000	
	20,0	180 3,14	0,438	1,095	1,022	0,821	0,548	0,274	0,073	0,000	
	30,0	140 2,44	0,708	1,770	1,576	1,063	0,420	-0,662	-0,138	-0,231	
	40,0	90 1,57	2,485	6,212	5,267	2,855	0,117	-2,688	-3,750	-4,332	
	46,0	80 1,40	3,464	8,660	6,649	2,506	0,117	-4,790	-5,797	-6,696	
	50,0	80 1,40	3,464	8,660	6,649	2,506	0,117	-4,790	-5,797	-6,696	
	60,0	110 1,92	1,351	3,377	2,833	1,661	-1,043	-1,402	-1,505	-1,739	
	70,0	160 2,80	0,528	1,320	1,206	0,901	0,201	-0,408	-1,311	-0,097	
	75,0	180 3,14	0,438	1,095	1,022	0,821	0,548	0,274	0,073	0,000	

Holung  $\Delta = 180^\circ$  is de membraanspanning in tangentiële richting constant en gelijk aan de waarden, die hiervoor in het vorige hoofdstuk zijn berekend. Dit geldt ook voor de betreffende maximale buigspanning.

Het blijft een vraag in hoeverre het bovenstaande geldt in de buurt van de ondersteuning dan de radels.

Wanneer we op analoge wijze  $\sigma_{\varphi}$  berekenen, vinden we nuke een grote waarden, dat we niet meer aan kunnen nemen, dat ze in overeenstemming met de werkelijkheid zijn. Op verschillende plaatsen overtreft deze spanning zelfs de treksterkte van het gebruikte materiaal. Wat betreft de maximale buigspanning op een vlak  $\varphi = \text{constant}$ , geeft deze berekeningsmethode blijkbaar in het geheel geen benadering van de werkelijkheid. In hoeverre dit wel geldt voor de berekende membraanspanningen,  $\sigma_{mx}$  en  $\sigma_{m\varphi}$ , zal door middel van het experiment blijken.

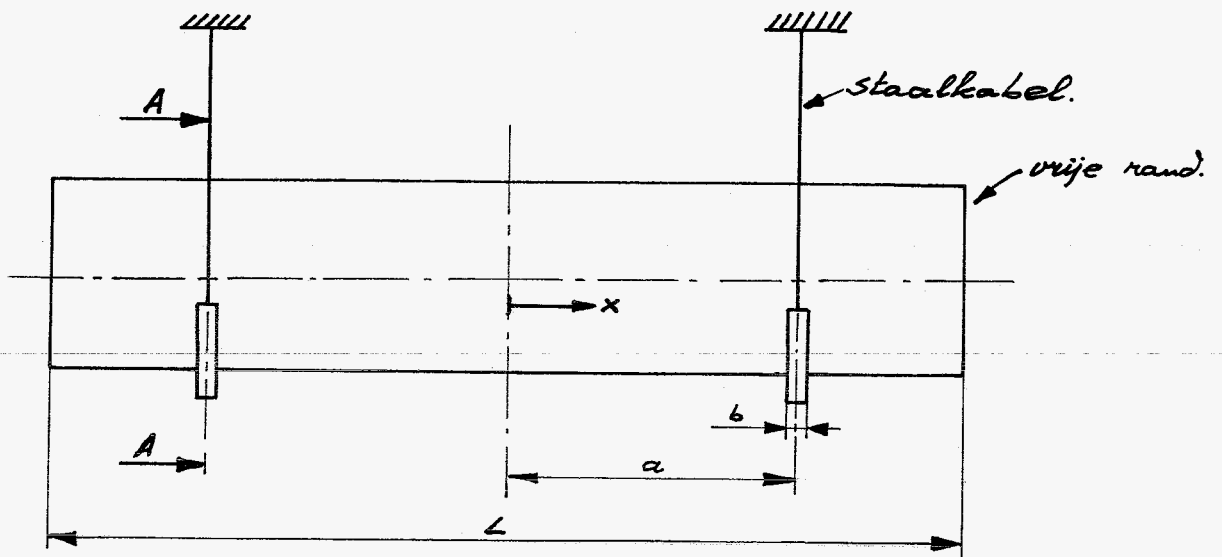
Evenals de gewone ballentheorie geeft ook deze meer uitgebreide theorie geen enkel uitsluitel over de maximale buigspanning op een vlak  $x = \text{constant}$ .

Daar we de nu berekende resultaten niet alleen willen vergelijken met de meetresultaten maar ook met een min of meer exacte theorie, gaan we nu over tot de toepassing van de algemene schalen theorie, zoals die is behandeld in hoofdstuk 5.

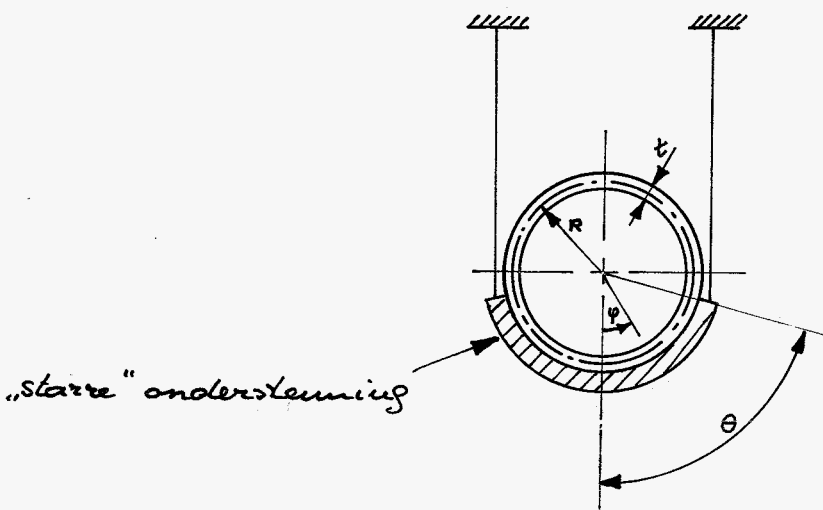
12. De algemene schalentheorie, toegepast op het  
onderhavige probleem.

Een dunwandige, cirkelcilindrische koker met "vrije" uiteinden wordt met een vloeistof gevuld. De koker wordt zodanig opgesteld, dat zijn lengte-as horizontaal is. De ondersteuning wordt gevormd door twee smalle, relatief starre ringen, die de koker over een gedeelte van de omtrek dragen.

De onderstaande tekening maakt dit alles weer in herinnering te brengen.



VOORRANZICHT.



koker geheel met vloeistof gevuld.

DOORSNEDE A-A

We doen enige aannamen, waarvan enkele reeds bekend zijn:

1. De ondersteuning oefent op de koker alleen een verdeelde belasting uit, die radiaal is gericht. Om eventuele tangentiële en axiale belasting zo klein mogelijk te houden werd gestreefd naar een minimale wrijvingscoëfficiënt tussen koker en ondersteuning. Het vlak van de ondersteuning, dat met de koker in aanraking is, werd dan ook zo glad mogelijk gemaakt.
2. Bij een bepaalde waarde van  $\varphi$  is de radiale oppervlakte-belasting, die de ondersteuning uitoefent op de koker binnen het interval:  
 $a + \frac{1}{2}b > x > a - \frac{1}{2}b$  geen functie van  $x$ , maar constant en afhankelijk van  $\varphi$ . Bij bepaalde  $\varphi$  is deze belasting dan gelijkmatig verdeeld, binnen het interval.
3. De radiale verplaatsing  $w$  is nul ter plaatse van de ondersteuning voor  $-0 < \varphi < 0$ . Hiervoor is geen extra belasting nodig, die bewerkstelligt dat de koker steeds aanligt in de ondersteuning, maar de hydrostatische druk zorgt hier reeds voor. Dit houdt in dat  $(P_r)_2$  steeds negatief is.

$(P_r)_1$ : de oppervlakte belasting, die door de vloeistofdruk wordt veroorzaakt.

$(P_r)_2$ : de oppervlakte belasting, die door de ondersteuning wordt veroorzaakt.

Deze laatste aanname kan op twee manieren worden gecontroleerd.

- a) Tijdens de berekening van  $(P_r)_2$  moet blijken dat deze oppervlakte belasting inderdaad voor elke  $\varphi$  negatief is.
- b) Tijdens het experiment kan worden nagegaan of er inderdaad geen spleten ontstaan tussen koker en ondersteuning.

Het systeem dat we over handen bestaat dus uit een eis over de verplaatsingen ter plaatse van de ondersteuning en een ten dele onbekende radiale belasting van de koker.

Om de algemene schalen theorie toe te kunnen passen, zoals die eerder is behandeld, is het nodig dat we de belasting kennen en dat er geen andere eisen worden gesteld aan de verplaatsingen, dan alleen aan de uiteinden van de koker.

We beschouwen nu een aantal verschillende gevallen, waarbij we steeds de reactie van de ondersteuning anders kiezen, maar wel bekend. Aan de verplaatsingen stellen we geen eisen.

Al deze verschillende belastingsgevallen gaan we dan zodanig combineren, dat zo goed mogelijk is voldaan aan de eisen aan de verplaatsingen, die oorspronkelijk waren gesteld.

$\bar{P}_r$  moeten we brengen in de volgende vorm, die dimensieloos is gemaakt:

$$\begin{aligned} \bar{P}_r = & \bar{P}_{r00} + \sum_{m=1}^{\infty} \bar{P}_{r m0} \cos m\bar{\varphi} + \sum_{n=1}^{\infty} \bar{P}_{r0n} \cos \frac{2\pi R}{L} n\bar{x} \\ & + \sum_{m=1}^{\infty} \sum_{n=1}^{\infty} \bar{P}_{r mn} \cos \frac{2\pi R}{L} n\bar{x} \cos m\bar{\varphi}. \end{aligned}$$

Allereerst brengen we  $(\bar{P}_r)_1$  in deze vorm, omdat die toch voor alle belastingsgevallen hetzelfde is.

$$(\bar{P}_r)_1 = \gamma R (1 + \cos \varphi)$$

$$(\bar{P}_r)_1 = \frac{\gamma R^2 (1 - \nu^2)}{E \cdot t} (1 + \cos \varphi)$$

$$\rightarrow (\bar{P}_{r00})_1 = \frac{\gamma R^2 (1 - \nu^2)}{E \cdot t}$$

$$(\bar{P}_{r10})_1 = \frac{\gamma R^2 (1 - \nu^2)}{E \cdot t}$$

$$(\bar{P}_{r m0})_1 = 0 \quad \text{voor } m = 2, \dots, \infty$$

$$(\bar{P}_{ron})_i = 0 \quad \text{voor } n = 1, \dots, \infty$$

$$(\bar{P}_{rnm})_i = 0 \quad \text{voor } m = 1, \dots, \infty \text{ en } n = 1, \dots, \infty$$

We gaan nu alle belastinggevallen, die we beschouwen, afzonderlijk bekijken.

A. We nemen aan dat de oppervlaktelast, die de ondersteuning uitoefent op de hoek onafhankelijk is van  $\varphi$ .

$$\rightarrow (P_r)_{2A} = \text{constant} \quad \text{voor } a - \frac{b}{2} < |x| < a + \frac{b}{2} \\ |\varphi| < \theta$$

De resultante van al deze oppervlaktelastjes over één ondersteuning moet evenwichtig maken met het halve gewicht van de plaatstof in de hoek.

$$\int_{-\theta}^{\theta} (P_r)_{2A} \cos \varphi \cdot R \cdot b \cdot d\varphi + \frac{1}{2} \gamma \cdot \pi \cdot L \cdot (R - \frac{b}{2})^2 = 0$$

We verwaarlozen  $\frac{b}{2}$  t.o.v.  $R$ .  $\rightarrow$

$$(P_r)_{2A} R \cdot b \cdot 2 \cdot \sin \theta + \frac{1}{2} \gamma \pi L R^2 = 0$$

$$(P_r)_{2A} = - \frac{\pi \cdot \gamma R L}{4 \cdot b \cdot \sin \theta}$$

$$\left(\bar{P}_r\right)_{2A} = - \frac{\pi \gamma R^2 L (1 - \nu^2)}{4 b \cdot t \cdot E \sin \theta} \quad \text{voor: } a - \frac{b}{2} < |x| < a + \frac{b}{2} \\ |\varphi| < \theta$$

$$\left(\bar{P}_r\right)_{2A} = - \frac{\pi \gamma R^2 L (1 - \nu^2)}{4 b \cdot t \cdot E \sin \theta} \cdot f_A(\varphi) \cdot g_A(x)$$

$$f_A(\varphi) = \begin{cases} 1 & \text{voor } -\theta < \varphi < \theta \\ 0 & \text{voor andere } \varphi \end{cases}$$

$$g_A(x) = \begin{cases} 1 & \text{voor } a - \frac{1}{2} < |x| < a + \frac{1}{2} \\ 0 & \text{voor andere } x \text{ binnen } L \end{cases}$$

We ontwikkelen  $f_A(\varphi)$  en  $g_A(x)$  in de fourierreelzen, die gewenst zijn, in de theoretische afleiding.

$$f_A(\varphi) = \frac{1}{\pi} \int_0^{\pi} f_A(\varphi) d\varphi + \sum_{m=1}^{\infty} \left\{ \frac{2}{\pi} \int_0^{\pi} f_A(\varphi) \cos m\varphi d\varphi \right\} \cos m\varphi =$$

$$= \frac{1}{\pi} \int_0^{\theta} d\theta + \sum_{m=1}^{\infty} \left\{ \frac{2}{\pi} \int_0^{\theta} \cos m\varphi d\varphi \right\} \cos m\varphi =$$

$$= \frac{\theta}{\pi} + \sum_{m=1}^{\infty} \left( \frac{2}{m\pi} \sin m\theta \right) \cos m\varphi$$

$$g_A(x) = \frac{2}{L} \int_0^{1/2} g_A(x) dx + \sum_{n=1}^{\infty} \left\{ \frac{4}{L} \int_0^{1/2} g_A(x) \cos \frac{2\pi n x}{L} dx \right\} \cos \frac{2\pi n}{L} x =$$

$$= \frac{2}{L} \int_{a-1/2}^{a+1/2} dx + \sum_{n=1}^{\infty} \left\{ \frac{4}{L} \int_{a-1/2}^{a+1/2} \cos \frac{2\pi n x}{L} dx \right\} \cos \frac{2\pi n}{L} x =$$

$$= \frac{2b}{L} + \sum_{n=1}^{\infty} \left\{ \frac{4}{n\pi} \cos \frac{2\pi n a}{L} \sin \frac{\pi n b}{L} \right\} \cos \frac{2\pi n}{L} x$$

$$\left( \overline{P}_{r00} \right)_{2A} = \frac{-\pi \gamma R^2 L (1-\nu^2)}{4 b \cdot t \cdot E \cdot \sin \theta} \cdot \frac{2\theta b}{\pi \cdot L} = \frac{-\gamma R^2 (1-\nu^2) \cdot \theta}{2 \cdot t \cdot E \cdot \sin \theta}$$

$$\left( \overline{P}_{r m \theta} \right)_{2A} = \frac{-\pi \gamma R^2 L (1-\nu^2)}{4 b \cdot t \cdot E \cdot \sin \theta} \cdot \frac{2b}{L} \cdot \frac{2}{m\pi} \sin m\theta = \frac{-\gamma R^2 (1-\nu^2)}{t \cdot E \cdot \sin \theta} \cdot \frac{\sin m\theta}{m}$$

voor  $m = 1 \dots \infty$

$$\left( \overline{P}_{r n \theta} \right)_{2A} = \frac{-\pi \gamma R^2 L (1-\nu^2)}{4 b \cdot t \cdot E \cdot \sin \theta} \cdot \frac{\theta}{\pi} \cdot \frac{4}{n\pi} \cos \frac{2\pi n a}{L} \sin \frac{\pi n b}{L} =$$

$$= \frac{-\gamma R^2 L (1-\nu^2)}{b \cdot t \cdot E \cdot \sin \theta} \cdot \frac{\theta}{\pi} \cdot \frac{1}{n} \cdot \cos \frac{2\pi n a}{L} \sin \frac{\pi n b}{L}$$

voor  $n = 1 \dots \infty$

$$\begin{aligned} \left(\overline{P}_{r_{mn}}\right)_A &= \frac{-\pi \gamma R^2 L (1-\nu^2)}{4 b \cdot t \cdot E \cdot \sin \theta} \cdot \frac{2}{m \pi} \cdot \sin m \theta \cdot \frac{4}{n \pi} \cos \frac{2 \pi n a}{L} \sin \frac{\pi n b}{L} = \\ &= \frac{-2 \gamma R^2 L (1-\nu^2)}{\pi b \cdot t \cdot E \cdot \sin \theta} \cdot \frac{1}{m \cdot n} \cdot \sin m \theta \cos \frac{2 \pi n a}{L} \sin \frac{\pi n b}{L} \end{aligned}$$

voor  $m=1 \dots \infty$  en  $n=1 \dots \infty$

Als totaal vinden we voor de coëfficiënten uit de reeksen voor de belasting in geval A:

$$\left(\overline{P}_{r_{00}}\right)_A = \frac{\gamma R^2 (1-\nu^2)}{E \cdot t} - \frac{\gamma R^2 (1-\nu^2) \theta}{2 E t \sin \theta} = \frac{\gamma R^2 (1-\nu^2)}{E \cdot t} \left(1 - \frac{\theta}{2 \sin \theta}\right)$$

$$\left(\overline{P}_{r_{10}}\right)_A = \frac{\gamma R^2 (1-\nu^2)}{E \cdot t} - \frac{\gamma R^2 (1-\nu^2)}{E \cdot t \cdot 2 \sin \theta} \cdot \sin \theta = 0$$

$$\left(\overline{P}_{r_{m0}}\right)_A = \frac{-\gamma R^2 (1-\nu^2)}{t \cdot E \cdot \sin \theta} \cdot \frac{\sin m \theta}{m} \quad \text{voor } m=2 \dots \infty$$

$$\left(\overline{P}_{r_{0n}}\right)_A = -\frac{\gamma R^2 L (1-\nu^2)}{b \cdot t \cdot E \cdot \sin \theta} \cdot \frac{\theta}{\pi} \cdot \frac{1}{n} \cdot \cos \frac{2 \pi n a}{L} \sin \frac{\pi n b}{L}$$

voor  $n=1 \dots \infty$

$$\left(\overline{P}_{r_{mn}}\right)_A = -\frac{2 \gamma R^2 L (1-\nu^2)}{\pi b \cdot t \cdot E \cdot \sin \theta} \cdot \frac{1}{m n} \cdot \sin m \theta \cos \frac{2 \pi n a}{L} \sin \frac{\pi n b}{L}$$

voor:  $m=1 \dots \infty$

$n=1 \dots \infty$

Hiervan is belastinggeval A in de vorm gegoten, die gewent is voor de bepaling van de formules, die zijn afgeleid bij de algemene theorie voor cirkelcilindrische schalen.

De verplaatsingen, de rekken en de spanningen kunnen op elke plaats worden berekend bij bekende  $\gamma, R, L, t, a, b, \theta, E$  en  $\nu$

We beschouwen nu het volgende belastinggeval.



B. We nemen aan, dat de oppervlakteluchts, die de ondersteuning uitoefent op de hoker, varieert met de cosinus van  $\varphi$ .

$$\rightarrow (\overline{P_r})_{2B} = C_B \cos \varphi \quad \text{met } C_B: \text{constante}$$

$$\text{voor: } a - b/2 < |x| < a + b/2$$

$$|\varphi| < \theta$$

De resultante van al deze oppervlakteluchts over een ondersteuning moet evenwicht maken met het halve gewicht van de vloeistof in de hoker.

$$\int_{-\theta}^{\theta} C_B \cos \varphi \cdot \cos \varphi \cdot R \cdot b \cdot d\varphi + \frac{1}{2} \gamma \cdot \pi \cdot L \cdot R^2 = 0$$

$$\rightarrow C_B \cdot R \cdot b \cdot (\theta + \frac{1}{2} \sin 2\theta) + \frac{1}{2} \gamma \pi \cdot L \cdot R^2 = 0$$

$$\rightarrow C_B = - \frac{\gamma \cdot R \cdot L \cdot \pi}{b (2\theta + \sin 2\theta)}$$

$$\left(\overline{P_r}\right)_{2B} = - \frac{\gamma \cdot R^2 \cdot L \cdot (1 - \gamma^2) \cdot \pi}{E \cdot b \cdot t (2\theta + \sin 2\theta)} \cdot \cos \varphi$$

$$\text{voor } a - b/2 < x < a + b/2$$

$$|\varphi| < \theta$$

$$\text{elders: } \left(\overline{P_r}\right)_{2B} = 0$$

We kunnen schrijven:

$$\left(\overline{P_r}\right)_{2B} = - \frac{\gamma R^2 L (1 - \gamma^2) \cdot \pi}{E b t (2\theta + \sin 2\theta)} f_B(\varphi) \cdot g_B(x)$$

$$f_B(\varphi) = \begin{cases} \cos \varphi & \text{voor } -\theta \leq \varphi < \theta \\ 0 & \text{voor alle andere } \varphi \end{cases}$$

$$g_B(x) = \begin{cases} 1 & \text{voor } a - b/2 < x < a + b/2 \\ 0 & \text{voor alle andere } x \text{ binnen } L \end{cases}$$

$$\begin{aligned}
 f_B(\varphi) &= \frac{1}{\pi} \int_0^{\pi} f_B(\varphi) d\varphi + \sum_{m=1}^{\infty} \left\{ \frac{2}{\pi} \int_0^{\pi} f_B(\varphi) \cos m\varphi d\varphi \right\} \cos m\varphi = \\
 &= \frac{1}{\pi} \int_0^{\theta} \cos \varphi d\varphi + \sum_{m=1}^{\infty} \left\{ \frac{2}{\pi} \int_0^{\theta} \cos \varphi \cos m\varphi d\varphi \right\} \cos m\varphi = \\
 &= \frac{\sin \theta}{\pi} + \sum_{m=1}^{\infty} \left\{ \frac{1}{\pi} \int_0^{\theta} [\cos(m+1)\varphi + \cos(m-1)\varphi] d\varphi \right\} \cos m\varphi = \\
 &= \frac{\sin \theta}{\pi} + \frac{1}{\pi} \left[ \frac{\sin(1+1)\theta}{1+1} + \theta \right] \cos \varphi + \\
 &\quad + \sum_{m=2}^{\infty} \left\{ \frac{1}{\pi} \left[ \frac{\sin(m+1)\theta}{m+1} + \frac{\sin(m-1)\theta}{m-1} \right] \right\} \cos m\varphi
 \end{aligned}$$

$$g_B(x) = \frac{2b}{L} + \sum_{n=1}^{\infty} \left\{ \frac{4}{n\pi} \cos \frac{2\pi na}{L} \sin \frac{\pi nb}{L} \right\} \cos \frac{2\pi n}{L} x$$

$$\left( \overline{P}_{r00} \right)_{2B} = - \frac{\gamma R^2 L (1-\nu^2) \pi}{E \cdot b \cdot t \cdot (2\theta + \sin 2\theta)} \cdot \frac{2b}{L} \cdot \frac{\sin \theta}{\pi} = - \frac{2\gamma R^2 (1-\nu^2)}{E \cdot t} \cdot \frac{\sin \theta}{2\theta + \sin 2\theta}$$

$$\left( \overline{P}_{r10} \right)_{2B} = - \frac{\gamma R^2 (1-\nu^2)}{E \cdot t}$$

$$\left( \overline{P}_{r m 0} \right)_{2B} = \frac{-2\gamma R^2 (1-\nu^2)}{E \cdot t} \cdot \frac{1}{2\theta + \sin 2\theta} \cdot \left( \frac{\sin(m+1)\theta}{m+1} + \frac{\sin(m-1)\theta}{m-1} \right)$$

voor  $m = 2, \dots, \infty$

$$\left( \overline{P}_{r 0 n} \right)_{2B} = - \frac{4\gamma R^2 L (1-\nu^2)}{\pi \cdot E \cdot b \cdot t} \cdot \frac{\sin \theta}{2\theta + \sin 2\theta} \cdot \frac{1}{n} \cdot \cos \frac{2\pi na}{L} \sin \frac{\pi nb}{L}$$

voor  $n = 1, \dots, \infty$

$$\left( \overline{P}_{r 1 n} \right)_{2B} = - \frac{2\gamma R^2 L (1-\nu^2)}{\pi \cdot E \cdot b \cdot t} \cdot \frac{1}{n} \cdot \cos \frac{2\pi na}{L} \sin \frac{\pi nb}{L}$$

voor  $n = 1, \dots, \infty$

$$\left( \overline{P}_{r m n} \right)_{2B} = - \frac{4\gamma R^2 L (1-\nu^2)}{\pi \cdot E \cdot b \cdot t} \cdot \frac{1}{2\theta + \sin 2\theta} \cdot \left( \frac{\sin(m+1)\theta}{m+1} + \frac{\sin(m-1)\theta}{m-1} \right) \cdot \frac{1}{n} \cdot \cos \frac{2\pi na}{L} \sin \frac{\pi nb}{L}$$

voor  $m = 2, \dots, \infty$

$n = 1, \dots, \infty$

Dese coëfficiënten uit de reeksen voor het gedeelte van de belasting dat door de ondersteuning wordt uitgeoefend moet worden opgeteld bij de door de vloeistof uitgeoefende belasting.

Belastingsgewal B kan dus worden beschreven door de volgende getallen:

$$\left(\overline{P}_{\text{rod}}\right)_B = \frac{\gamma R^2 (1-\nu^2)}{E \cdot t} \left(1 - \frac{2 \sin \theta}{2\theta + \sin 2\theta}\right)$$

$$\left(\overline{P}_{\text{rio}}\right)_B = 0$$

$$\left(\overline{P}_{\text{rmo}}\right)_B = \frac{-2\gamma R^2 (1-\nu^2)}{E \cdot t} \cdot \frac{1}{2\theta + \sin 2\theta} \cdot \left(\frac{\sin(m+1)\theta}{m+1} + \frac{\sin(m-1)\theta}{m-1}\right)$$

voor  $m = 2 \dots \infty$

$$\left(\overline{P}_{\text{ron}}\right)_B = -\frac{4\gamma R^2 L (1-\nu^2)}{\pi E b t} \cdot \frac{\sin \theta}{2\theta + \sin 2\theta} \cdot \frac{1}{n} \cdot \cos \frac{2\pi n a}{L} \sin \frac{\pi n b}{L}$$

voor  $n = 1 \dots \infty$

$$\left(\overline{P}_{\text{rin}}\right)_B = -\frac{2\gamma R^2 L (1-\nu^2)}{\pi E b t} \cdot \frac{1}{n} \cdot \cos \frac{2\pi n a}{L} \sin \frac{\pi n b}{L}$$

voor  $n = 1 \dots \infty$

$$\left(\overline{P}_{\text{rnn}}\right)_B = -\frac{4\gamma R^2 L (1-\nu^2)}{\pi E b t} \cdot \frac{1}{2\theta + \sin 2\theta} \cdot \left(\frac{\sin(m+1)\theta}{m+1} + \frac{\sin(m-1)\theta}{m-1}\right) \cdot \frac{1}{n} \cdot \cos \frac{2\pi n a}{L} \sin \frac{\pi n b}{L}$$

voor  $m = 2 \dots \infty$

$n = 1 \dots \infty$

Door dese formules is ook belastingsgewal B in de gewenste vorm gebracht.

Tenslotte beschouwen we belastingsgewal C en we hopen dat door combinatie van dese drie beschouwde belastingsgewallen, de werkelijkheid op een redelijke wijze benaderd kan worden.

C. We nemen aan dat de oppervlakteluchtdruk, die door de ondersteuning op de haken wordt uitgeoefend varieert met de cosinus van  $2\varphi$ .

$$\rightarrow \left(\overline{P}_r\right)_{2c} = C_c \cos 2\varphi \quad \text{met } C_c : \text{constante}$$

$$\text{voor: } a - b/2 < |x| < a + b/2 \\ |\varphi| < \theta$$

De resultante van al deze oppervlakteluchtdrukjes over één ondersteuning moet evenwicht maken met het halve gewicht van de vloeistof in de haken.

$$\int_{-\theta}^{\theta} C_c \cos 2\varphi \cdot \cos \varphi R \cdot b \cdot d\varphi + \frac{1}{2} \gamma \pi L R^2 = 0$$

$$\rightarrow C_c R \cdot b \cdot (2 \sin \theta - \frac{8}{3} \sin^3 \theta) + \frac{1}{2} \gamma \pi L R^2 = 0$$

$$\rightarrow C_c = - \frac{\gamma R L \cdot \pi}{b (4 \sin \theta - \frac{8}{3} \sin^3 \theta)}$$

$$\left(\overline{P}_r\right)_{2c} = - \frac{\gamma R^2 L (1 - \nu^2) \pi}{E b t (4 \sin \theta - \frac{8}{3} \sin^3 \theta)} \cdot \cos 2\varphi$$

$$\text{voor: } a - b/2 < |x| < a + b/2 \\ |\varphi| < \theta$$

$$\text{elders: } \left(\overline{P}_r\right)_{2c} = 0$$

Analoog aan beide vorige gevallen schrijven we:

$$\left(\overline{P}_r\right)_{2c} = - \frac{\gamma R^2 L (1 - \nu^2) \pi}{E \cdot b \cdot t (4 \sin \theta - \frac{8}{3} \sin^3 \theta)} \cdot f_c(\varphi) \cdot g_c(x)$$

$$f_c(\varphi) = \begin{cases} \cos 2\varphi & \text{voor } -\theta < \varphi < \theta \\ 0 & \text{voor alle andere } \varphi \end{cases}$$

$$g_c(x) = \begin{cases} 1 & \text{voor } a - b/2 < |x| < a + b/2 \\ 0 & \text{voor alle andere } x \end{cases}$$

$$\begin{aligned}
 f_c(\varphi) &= \frac{1}{\pi} \int_0^\pi f_c(\varphi) d\varphi + \sum_{m=1}^{\infty} \left\{ \frac{2}{\pi} \int_0^\pi f_c(\varphi) \cos m\varphi d\varphi \right\} \cos m\varphi = \\
 &= \frac{1}{\pi} \int_0^\theta \cos 2\varphi d\varphi + \sum_{m=1}^{\infty} \left\{ \frac{2}{\pi} \int_0^\theta \cos 2\varphi \cos m\varphi d\varphi \right\} \cos m\varphi = \\
 &= \frac{\sin 2\theta}{2\pi} + \sum_{m=1}^{\infty} \left\{ \frac{1}{\pi} \int_0^\theta [\cos(m+2)\varphi + \cos(m-2)\varphi] d\varphi \right\} \cos m\varphi = \\
 &= \frac{\sin 2\theta}{2\pi} + \frac{1}{\pi} \left[ \frac{1}{3} \sin 3\theta + \sin \theta \right] \cos \varphi + \frac{1}{\pi} \left[ \frac{1}{4} \sin 4\theta + \theta \right] \cos 2\varphi + \\
 &\quad + \sum_{m=3}^{\infty} \frac{1}{\pi} \left[ \frac{\sin(m+2)\theta}{m+2} + \frac{\sin(m-2)\theta}{m-2} \right] \cos m\varphi
 \end{aligned}$$

$$g_c(x) = \frac{2b}{L} + \sum_{n=1}^{\infty} \left\{ \frac{4}{n\pi} \cos \frac{2\pi na}{L} \sin \frac{\pi nb}{L} \right\} \cos \frac{2\pi nx}{L}$$

$$(\bar{P}_{r00})_{2c} = - \frac{\gamma R^2 (1-\gamma^2)}{E t} \cdot \frac{\sin 2\theta}{4\gamma \sin \theta - \frac{2}{3} \sin^3 \theta}$$

$$(\bar{P}_{r10})_{2c} = - \frac{\gamma R^2 (1-\gamma^2)}{E t}$$

$$(\bar{P}_{r20})_{2c} = - \frac{\gamma R^2 (1-\gamma^2)}{E t} \cdot \frac{\frac{1}{2} \sin 4\theta + 2\theta}{4\gamma \sin \theta - \frac{2}{3} \sin^3 \theta}$$

$$(\bar{P}_{r m 0})_{2c} = - \frac{\gamma R^2 (1-\gamma^2)}{E t \cdot (2\gamma \sin \theta - \frac{2}{3} \sin^3 \theta)} \cdot \left[ \frac{\sin(m+2)\theta}{m+2} + \frac{\sin(m-2)\theta}{m-2} \right]$$

voor  $m = 3, \dots, \infty$

$$(\bar{P}_{r 0 n})_{2c} = - \frac{\gamma R^2 L (1-\gamma^2)}{\pi E \cdot b \cdot t} \cdot \frac{\sin 2\theta}{2\gamma \sin \theta - \frac{2}{3} \sin^3 \theta} \cdot \frac{1}{n} \cdot \cos \frac{2\pi na}{L} \sin \frac{\pi nb}{L}$$

voor  $n = 1, \dots, \infty$

$$(\bar{P}_{r 1 n})_{2c} = - \frac{2 \gamma R^2 L (1-\gamma^2)}{\pi E b t} \cdot \frac{1}{n} \cos \frac{2\pi na}{L} \sin \frac{\pi nb}{L}$$

voor  $n = 1, \dots, \infty$

$$(\bar{P}_{r 2 n})_{2c} = - \frac{\gamma R^2 L (1-\gamma^2)}{\pi E b t} \cdot \frac{\sin 4\theta + 4\theta}{4\gamma \sin \theta - \frac{2}{3} \sin^3 \theta} \cdot \frac{1}{n} \cos \frac{2\pi na}{L} \sin \frac{\pi nb}{L}$$

voor  $n = 1, \dots, \infty$

$$(\bar{P}_{r m n})_{2c} = - \frac{\gamma R^2 L (1-\gamma^2)}{\pi \cdot E \cdot b \cdot t \cdot (2\gamma \sin \theta - \frac{2}{3} \sin^3 \theta)} \cdot \left[ \frac{\sin(m+2)\theta}{m+2} + \frac{\sin(m-2)\theta}{m-2} \right] \cdot \frac{1}{n} \cos \frac{2\pi na}{L} \sin \frac{\pi nb}{L}$$

voor  $m = 3, \dots, \infty$   
 $n = 1, \dots, \infty$

Het in deze formules tot uiting gebrachte gedeelte van de belasting moet worden opgeteld bij het gedeelte dat van de vloeistof afkomstig is.

Belastinggeval C kan dan als volgt worden weergegeven:

$$\left(\bar{P}_{r00}\right)_C = \frac{\gamma R^2 (1-\nu^2)}{Et} \left(1 - \frac{2 \sin 2\theta}{4 \sin \theta - \frac{8}{3} \sin^3 \theta}\right)$$

$$\left(\bar{P}_{r10}\right)_C = 0$$

$$\left(\bar{P}_{r20}\right)_C = -\frac{\gamma R^2 (1-\nu^2)}{Et} \cdot \frac{\frac{1}{2} \sin 4\theta + 2\theta}{4 \sin \theta - \frac{8}{3} \sin^3 \theta}$$

$$\left(\bar{P}_{r m 0}\right)_C = -\frac{\gamma R^2 (1-\nu^2)}{Et (2 \sin \theta - \frac{8}{3} \sin^3 \theta)} \left[ \frac{\sin (m+2)\theta}{m+2} + \frac{\sin (m-2)\theta}{m-2} \right]$$

voor  $m = 3, \dots, \infty$

$$\left(\bar{P}_{r 0 n}\right)_C = -\frac{\gamma R^2 L (1-\nu^2)}{\pi E b t} \cdot \frac{\sin 2\theta}{2 \sin \theta - \frac{8}{3} \sin^3 \theta} \cdot \frac{1}{n} \cdot \cos \frac{2\pi n a}{L} \sin \frac{\pi n b}{L}$$

voor  $n = 1, \dots, \infty$

$$\left(\bar{P}_{r 1 n}\right)_C = -\frac{2\gamma R^2 L (1-\nu^2)}{\pi E b t} \cdot \frac{1}{n} \cos \frac{2\pi n a}{L} \sin \frac{\pi n b}{L}$$

voor  $n = 1, \dots, \infty$

$$\left(\bar{P}_{r 2 n}\right)_C = -\frac{\gamma R^2 L (1-\nu^2)}{\pi E b t} \cdot \frac{\sin 4\theta + 4\theta}{4 \sin \theta - \frac{8}{3} \sin^3 \theta} \cdot \frac{1}{n} \cdot \cos \frac{2\pi n a}{L} \sin \frac{\pi n b}{L}$$

voor  $n = 1, \dots, \infty$

$$\left(\bar{P}_{r m n}\right)_C = -\frac{\gamma R^2 L (1-\nu^2)}{\pi E b t (2 \sin \theta - \frac{8}{3} \sin^3 \theta)} \cdot \left[ \frac{\sin (m+2)\theta}{m+2} + \frac{\sin (m-2)\theta}{m-2} \right] \cdot \frac{1}{n} \cdot \cos \frac{2\pi n a}{L} \sin \frac{\pi n b}{L}$$

voor  $m = 3, \dots, \infty$   
 $n = 1, \dots, \infty$

Voor elke van deze belastinggevallen gaan we nu in een aantal punten van de hoek de spanningen, die we met de experimenteel te bepalen spanningen willen vergelijken, berekenen. Daar bij het experiment, dat we als rekestrookmeting willen uitvoeren, informatie wordt verschaft over de membraanspanningen in axiale en tangentiële richting, respectievelijk  $\sigma_{mx}$  en  $\sigma_{m\varphi}$  en over de marginale lingspanning in axiale en tangentiële richting, respectievelijk  $\sigma_{bx}$  en  $\sigma_{b\varphi}$ , moeten we deze met behulp van de theorie uit hoofdstuk 5 berekenen.

We zullen dan ook de notaties, zoals die in hoofdstuk 5 zijn gebruikt, ook nu weer toepassen, inclusief de dimensieloos gemaakte coördinaten:  $\bar{x}$  en  $\bar{\varphi}$ .

$$\begin{aligned} \sigma_{mx} &= \frac{N_x}{t} = \frac{D}{t} \left( \frac{\partial \bar{u}}{\partial \bar{x}} + \nu \frac{\partial \bar{V}}{\partial \bar{\varphi}} + \nu \bar{W} \right) = \\ &= \frac{E}{1-\nu^2} \left( \frac{\partial \bar{u}}{\partial \bar{x}} + \nu \frac{\partial \bar{V}}{\partial \bar{\varphi}} + \nu \bar{W} \right) = \\ &= \frac{E}{1-\nu^2} \left\{ \frac{d\bar{u}_{0H}}{d\bar{x}} + \sum_{m=1}^{\infty} \frac{d\bar{u}_{mH}}{d\bar{x}} \cos m\bar{\varphi} + \frac{d\bar{u}_{0P}}{d\bar{x}} + \sum_{m=1}^{\infty} \frac{d\bar{u}_{mP}}{d\bar{x}} \cos m\bar{\varphi} + \right. \\ &\quad \left. + \nu \sum_{m=1}^{\infty} m \bar{V}_{mH} \cos m\bar{\varphi} + \nu \sum_{m=1}^{\infty} m \bar{V}_{mP} \cos m\bar{\varphi} + \right. \\ &\quad \left. + \nu \bar{W}_{0H} + \nu \sum_{m=1}^{\infty} \bar{W}_{mH} \cos m\bar{\varphi} + \nu \bar{W}_{0P} + \nu \sum_{m=1}^{\infty} \bar{W}_{mP} \cos m\bar{\varphi} \right\} = \\ &= \frac{E}{1-\nu^2} \left\{ \left[ \frac{d\bar{u}_{0H}}{d\bar{x}} + \frac{d\bar{u}_{0P}}{d\bar{x}} + \nu \bar{W}_{0H} + \nu \bar{W}_{0P} \right] + \right. \\ &\quad \left. \sum_{m=1}^{\infty} \left[ \frac{d\bar{u}_{mH}}{d\bar{x}} + \frac{d\bar{u}_{mP}}{d\bar{x}} + \nu m \bar{V}_{mH} + \nu m \bar{V}_{mP} + \nu \bar{W}_{mH} + \nu \bar{W}_{mP} \right] \cos m\bar{\varphi} \right\} = \\ &= \frac{E}{1-\nu^2} \left\{ \left[ \nu \bar{P}_{r00} + (1-\nu^2) a_{01} \right] + \right. \\ &\quad \left. \sum_{m=1}^{\infty} \left[ \frac{d\bar{u}_{mH}}{d\bar{x}} + \frac{d\bar{u}_{mP}}{d\bar{x}} + \nu m \bar{V}_{mH} + \nu m \bar{V}_{mP} + \nu \bar{W}_{mH} + \nu \bar{W}_{mP} \right] \cos m\bar{\varphi} \right\} \end{aligned}$$

$$\begin{aligned} \sigma_{mx} = & \frac{E}{1-\nu^2} \sum_{m=1}^{\infty} \left\{ \left[ e^{\frac{\mu_m \bar{x}}{L}} + e^{-\frac{\mu_m \bar{x}}{L}} \right] (\cos \omega_{m1} \bar{x}) (\psi_{m1} a_{m1} + \omega_{m1} a_{m2} + \gamma m b_{m1} + \gamma c_{m1}) + \right. \\ & + \left[ e^{\frac{\mu_m \bar{x}}{L}} - e^{-\frac{\mu_m \bar{x}}{L}} \right] (\sin \omega_{m1} \bar{x}) (\psi_{m1} a_{m2} - \omega_{m1} a_{m1} + \gamma m b_{m2} + \gamma c_{m2}) + \\ & + \left[ e^{\frac{\mu_{m2} \bar{x}}{L}} + e^{-\frac{\mu_{m2} \bar{x}}{L}} \right] (\cos \omega_{m2} \bar{x}) (\psi_{m2} a_{m3} + \omega_{m2} a_{m4} + \gamma m b_{m3} + \gamma c_{m3}) + \\ & + \left[ e^{\frac{\mu_{m2} \bar{x}}{L}} - e^{-\frac{\mu_{m2} \bar{x}}{L}} \right] (\sin \omega_{m2} \bar{x}) (\psi_{m2} a_{m4} - \omega_{m2} a_{m3} + \gamma m b_{m4} + \gamma c_{m4}) + \\ & \left. + \sum_{n=1}^{\infty} \frac{(\nu^2 + 2\nu + 2\nu + 1) \left( \frac{2\pi R}{L} \right)^2 n^2 m^2 \bar{P}_{r mn}}{k \left[ \left( \frac{2\pi R}{L} \right)^2 n^2 + m^2 \right]^4 + (1-\nu^2) \left( \frac{2\pi R}{L} \right)^4 n^4} \cdot \cos \frac{2\pi R}{L} n \bar{x} \right\} \cos m \bar{\varphi} \end{aligned}$$

Voor elke  $\bar{x}$  en elke  $\bar{\varphi}$  is met behulp van bovenstaande formule  $\sigma_{mx}$  te berekenen.

$$\begin{aligned} \sigma_{m\varphi} = & \frac{N\varphi}{t} = \frac{D}{t} \cdot \left\{ \gamma \frac{d\bar{u}}{d\bar{x}} + \frac{d\bar{v}}{d\bar{\varphi}} + \bar{W} \right\} = \frac{E}{1-\nu^2} \left\{ \gamma \frac{d\bar{u}}{d\bar{x}} + \frac{d\bar{v}}{d\bar{\varphi}} + \bar{W} \right\} = \\ & = \frac{E}{1-\nu^2} \left\{ \gamma \frac{d\bar{u}_{0H}}{d\bar{x}} + \gamma \sum_{m=1}^{\infty} \frac{d\bar{u}_{mH}}{d\bar{x}} \cos m\bar{\varphi} + \gamma \frac{d\bar{u}_{0P}}{d\bar{x}} + \gamma \sum_{m=1}^{\infty} \frac{d\bar{u}_{mP}}{d\bar{x}} \cos m\bar{\varphi} + \right. \\ & + \sum_{m=1}^{\infty} m \bar{V}_{mH} \cos m\bar{\varphi} + \sum_{m=1}^{\infty} m \cdot \bar{V}_{mP} \cos m\bar{\varphi} + \\ & \left. + \bar{W}_{0H} + \sum_{m=1}^{\infty} \bar{W}_{mH} \cos m\bar{\varphi} + \bar{W}_{0P} + \sum_{m=1}^{\infty} \bar{W}_{mP} \cos m\bar{\varphi} \right\} = \\ & = \frac{E}{1-\nu^2} \left\{ \left[ \gamma \frac{d\bar{u}_{0H}}{d\bar{x}} + \gamma \frac{d\bar{u}_{0P}}{d\bar{x}} + \bar{W}_{0H} + \bar{W}_{0P} \right] + \right. \\ & \left. \sum_{m=1}^{\infty} \left[ \gamma \frac{d\bar{u}_{mH}}{d\bar{x}} + \gamma \frac{d\bar{u}_{mP}}{d\bar{x}} + m \bar{V}_{mH} + m \bar{V}_{mP} + \bar{W}_{mH} + \bar{W}_{mP} \right] \cos m\bar{\varphi} \right\} \\ & = \frac{E}{1-\nu^2} \left\{ (1-\nu^2) \left[ \frac{\mu}{\gamma \sqrt{2}} e^{\frac{\mu \bar{x}}{\sqrt{2} L}} \left( (-a_{02} - a_{03}) \cos \frac{\mu}{\sqrt{2}} \bar{x} + (a_{02} - a_{03}) \sin \frac{\mu}{\sqrt{2}} \bar{x} \right) + \right. \right. \\ & \left. \left. + \frac{\mu}{\gamma \sqrt{2}} e^{-\frac{\mu \bar{x}}{\sqrt{2} L}} \left( (-a_{02} - a_{03}) \cos \frac{\mu}{\sqrt{2}} \bar{x} + (a_{03} - a_{02}) \sin \frac{\mu}{\sqrt{2}} \bar{x} \right) \right] + \right. \\ & \left. + \bar{P}_{r00} + \sum_{n=1}^{\infty} \frac{(1-\nu^2) \bar{P}_{r0n}}{1-\nu^2 + k \left( \frac{2\pi R}{L} \right)^4 n^4} \cos \frac{2\pi R}{L} n \bar{x} + \right. \\ & \left. \sum_{m=1}^{\infty} \left[ \gamma \frac{d\bar{u}_{mH}}{d\bar{x}} + \gamma \frac{d\bar{u}_{mP}}{d\bar{x}} + m \bar{V}_{mH} + m \bar{V}_{mP} + \bar{W}_{mH} + \bar{W}_{mP} \right] \cos m\bar{\varphi} \right\} \end{aligned}$$



$$\begin{aligned} \sigma_{m\varphi} = & E \frac{\mu}{\nu\sqrt{2}} \left\{ \left[ e^{\frac{\mu}{\sqrt{2}} \bar{x}} + e^{-\frac{\mu}{\sqrt{2}} \bar{x}} \right] (\cos \frac{\mu}{\sqrt{2}} \bar{x}) (-a_{02} - a_{03}) + \right. \\ & \left. + \left[ e^{\frac{\mu}{\sqrt{2}} \bar{x}} - e^{-\frac{\mu}{\sqrt{2}} \bar{x}} \right] (\sin \frac{\mu}{\sqrt{2}} \bar{x}) (a_{02} - a_{03}) \right\} + \\ & + \frac{E}{1-\nu^2} \left\{ \bar{P}_{r00} + \sum_{n=1}^{\infty} \frac{(1-\nu^2) \bar{P}_{ron}}{1-\nu^2 + k \left( \frac{2\pi R}{L} \right)^4 n^4} \cos \frac{2\pi R}{L} n \bar{x} \right\} + \\ & + \frac{E}{1-\nu^2} \sum_{m=1}^{\infty} \left\{ \left[ e^{\psi_m \bar{x}} + e^{-\psi_m \bar{x}} \right] (\cos \omega_m \bar{x}) (\gamma \psi_m a_{m1} + \gamma \omega_m a_{m2} + m b_{m1} + c_{m1}) + \right. \\ & + \left[ e^{\psi_m \bar{x}} - e^{-\psi_m \bar{x}} \right] (\sin \omega_m \bar{x}) (\gamma \psi_m a_{m2} - \gamma \omega_m a_{m1} + m b_{m2} + c_{m2}) + \\ & + \left[ e^{\psi_{m2} \bar{x}} + e^{-\psi_{m2} \bar{x}} \right] (\cos \omega_{m2} \bar{x}) (\gamma \psi_{m2} a_{m3} + \gamma \omega_{m2} a_{m4} + m b_{m3} + c_{m3}) + \\ & + \left[ e^{\psi_{m2} \bar{x}} - e^{-\psi_{m2} \bar{x}} \right] (\sin \omega_{m2} \bar{x}) (\gamma \psi_{m2} a_{m4} - \gamma \omega_{m2} a_{m3} + m b_{m4} + c_{m4}) + \\ & + \sum_{n=1}^{\infty} \frac{[(2\nu+4) \left( \frac{2\pi R}{L} \right)^2 n^2 m^2 + (1-\nu^2) \left( \frac{2\pi R}{L} \right)^4 n^4] \bar{P}_{rnm}}{k \left[ \left( \frac{2\pi R}{L} \right)^2 n^2 + m^2 \right]^4 + (1-\nu^2) \left( \frac{2\pi R}{L} \right)^4 n^4} \cos \frac{2\pi R}{L} n \bar{x} \right\} \cos m\bar{\varphi} \end{aligned}$$

De maximale buigspanning voor een bepaalde plaats  $(\bar{x}, \bar{\varphi})$  treedt op in de buitenste vezels:  $\bar{x} = \pm t/2$   
 We berekenen deze voor de buitenwand:  $\bar{z} = t/2$

$$\begin{aligned} \sigma_{bx} = & -\frac{M_x}{1/6 t^2} = -\frac{K}{1/6 t^2 R} \left( \frac{\partial^2 \bar{W}}{\partial \bar{x}^2} + \nu \frac{\partial^2 \bar{W}}{\partial \bar{\varphi}^2} \right) = -\frac{E t}{2R(1-\nu^2)} \left( \frac{\partial^2 \bar{W}}{\partial \bar{x}^2} + \nu \frac{\partial^2 \bar{W}}{\partial \bar{\varphi}^2} \right) = \\ = & -\frac{E t}{2R(1-\nu^2)} \left\{ \frac{d^2 \bar{W}_{0H}}{d\bar{x}^2} + \sum_{m=1}^{\infty} \frac{d^2 \bar{W}_{mH}}{d\bar{x}^2} \cos m\bar{\varphi} + \frac{d^2 \bar{W}_{0P}}{d\bar{x}^2} + \sum_{m=1}^{\infty} \frac{d^2 \bar{W}_{mP}}{d\bar{x}^2} \cos m\bar{\varphi} + \right. \\ & \left. - \gamma \sum_{m=1}^{\infty} m^2 \bar{W}_{mH} \cos m\bar{\varphi} - \gamma \sum_{m=1}^{\infty} m^2 \bar{W}_{mP} \cos m\bar{\varphi} \right\} = \\ = & -\frac{E t}{2R(1-\nu^2)} \left\{ \left[ \frac{d^2 \bar{W}_{0H}}{d\bar{x}^2} + \frac{d^2 \bar{W}_{0P}}{d\bar{x}^2} \right] + \sum_{m=1}^{\infty} \left[ \frac{d^2 \bar{W}_{mH}}{d\bar{x}^2} + \frac{d^2 \bar{W}_{mP}}{d\bar{x}^2} - \gamma m^2 \bar{W}_{mH} - \gamma m^2 \bar{W}_{mP} \right] \cos m\bar{\varphi} \right\} = \\ = & -\frac{E t}{2R(1-\nu^2)} \left\{ \frac{\mu^3}{2\nu\sqrt{2}} E^{\frac{\mu}{\sqrt{2}} \bar{x}} \left[ (2a_{02} - 2a_{03}) \cos \frac{\mu}{\sqrt{2}} \bar{x} + (2a_{02} + 2a_{03}) \sin \frac{\mu}{\sqrt{2}} \bar{x} \right] + \right. \\ & + \frac{\mu^3}{2\nu\sqrt{2}} E^{-\frac{\mu}{\sqrt{2}} \bar{x}} \left[ (2a_{02} - 2a_{03}) \cos \frac{\mu}{\sqrt{2}} \bar{x} + (-2a_{02} - 2a_{03}) \sin \frac{\mu}{\sqrt{2}} \bar{x} \right] + \\ & - \sum_{n=1}^{\infty} \frac{\left( \frac{2\pi R}{L} \right)^2 n^2 \cdot \bar{P}_{ron}}{1-\nu^2 + k \left( \frac{2\pi R}{L} \right)^4 n^4} \cos \frac{2\pi R}{L} n \bar{x} + \\ & \left. + \sum_{m=1}^{\infty} \left[ \frac{d^2 \bar{W}_{mH}}{d\bar{x}^2} + \frac{d^2 \bar{W}_{mP}}{d\bar{x}^2} - \gamma m^2 \bar{W}_{mH} - \gamma m^2 \bar{W}_{mP} \right] \cos m\bar{\varphi} \right\} \end{aligned}$$

$$\begin{aligned} \sigma_{bx} = & -\frac{Et}{2R(1-\nu^2)} \left\{ \frac{\mu^3}{\nu\sqrt{2}} \left[ e^{\frac{\mu}{\sqrt{2}}\bar{x}} + e^{-\frac{\mu}{\sqrt{2}}\bar{x}} \right] \left( \cos \frac{\mu}{\sqrt{2}}\bar{x} \right) (a_{02} - a_{03}) + \right. \\ & + \frac{\mu^3}{\nu\sqrt{2}} \left[ e^{\frac{\mu}{\sqrt{2}}\bar{x}} - e^{-\frac{\mu}{\sqrt{2}}\bar{x}} \right] \left( \sin \frac{\mu}{\sqrt{2}}\bar{x} \right) (a_{02} + a_{03}) + \\ & \left. - \sum_{n=1}^{\infty} \frac{\left(\frac{2\pi R}{L}\right)^2 n^2 \cdot \bar{P}_{ron}}{1-\nu^2 + k \left(\frac{2\pi R}{L}\right)^4 n^4} \cos \frac{2\pi R}{L} n\bar{x} \right\} + \\ & -\frac{Et}{2R(1-\nu^2)} \sum_{m=1}^{\infty} \left\{ \left( e^{\psi_{m1}\bar{x}} + e^{-\psi_{m1}\bar{x}} \right) \cos \omega_{m1}\bar{x} \left[ (\psi_{m1}^2 - \omega_{m1}^2) C_{m1} + 2\psi_{m1}\omega_{m1} C_{m2} - \nu m^2 C_{m1} \right] + \right. \\ & + \left( e^{\psi_{m1}\bar{x}} - e^{-\psi_{m1}\bar{x}} \right) \sin \omega_{m1}\bar{x} \left[ (\psi_{m1}^2 - \omega_{m1}^2) C_{m2} - 2\psi_{m1}\omega_{m1} C_{m1} - \nu m^2 C_{m2} \right] + \\ & + \left( e^{\psi_{m2}\bar{x}} + e^{-\psi_{m2}\bar{x}} \right) \cos \omega_{m2}\bar{x} \left[ (\psi_{m2}^2 - \omega_{m2}^2) C_{m3} + 2\psi_{m2}\omega_{m2} C_{m4} - \nu m^2 C_{m3} \right] + \\ & + \left( e^{\psi_{m2}\bar{x}} - e^{-\psi_{m2}\bar{x}} \right) \sin \omega_{m2}\bar{x} \left[ (\psi_{m2}^2 - \omega_{m2}^2) C_{m4} - 2\psi_{m2}\omega_{m2} C_{m3} - \nu m^2 C_{m4} \right] + \\ & - \nu \frac{\bar{P}_{rmo}}{k m^2} + \\ & \left. - \nu m^2 \sum_{n=1}^{\infty} \frac{\left[ \left(\frac{2\pi R}{L}\right)^2 n^2 + m^2 \right]^2 \bar{P}_{rnu} \cdot \cos \frac{2\pi R}{L} n\bar{x}}{k \left[ \left(\frac{2\pi R}{L}\right)^2 n^2 + m^2 \right]^4 + (1-\nu^2) \left(\frac{2\pi R}{L}\right)^4 n^4} \right\} \cos m\bar{\varphi} \end{aligned}$$

Terwijl we berekenen we nog de maximale buigspanning die in tangentiële richting optreedt op een bepaalde plaats met coördinaten:  $(\bar{x}, \bar{\varphi})$

$$\begin{aligned} \sigma_{b\varphi} = & -\frac{M\varphi}{\frac{1}{6}t^2} = -\frac{k}{\frac{1}{6}t^2 R} \left\{ \nu \frac{\partial^2 \bar{W}}{\partial \bar{x}^2} + \frac{\partial^2 \bar{W}}{\partial \bar{\varphi}^2} \right\} = \\ = & -\frac{Et}{2R(1-\nu^2)} \cdot \left( \nu \frac{\partial^2 \bar{W}}{\partial \bar{x}^2} + \frac{\partial^2 \bar{W}}{\partial \bar{\varphi}^2} \right) = \\ = & -\frac{Et}{2R(1-\nu^2)} \left\{ \nu \frac{d^2 \bar{W}_{0H}}{d\bar{x}^2} + \nu \sum_{m=1}^{\infty} \frac{d^2 \bar{W}_{mH}}{d\bar{x}^2} \cos m\bar{\varphi} + \nu \frac{d^2 \bar{W}_{0\varphi}}{d\bar{x}^2} + \right. \\ & + \nu \sum_{m=1}^{\infty} \frac{d^2 \bar{W}_{m\varphi}}{d\bar{x}^2} \cos m\bar{\varphi} - \sum_{m=1}^{\infty} m^2 \bar{W}_{mH} \cos m\bar{\varphi} \\ & \left. - \sum_{m=1}^{\infty} m^2 \bar{W}_{m\varphi} \cos m\bar{\varphi} \right\} \end{aligned}$$

$$\begin{aligned} \sigma_{b\varphi} = & -\frac{Et}{2R(1-\nu^2)} \left\{ \left[ \gamma \frac{d^2 \bar{W}_{0H}}{d\bar{x}^2} + \gamma \frac{d^2 \bar{W}_{0P}}{d\bar{x}^2} \right] + \sum_{m=1}^{\infty} \left[ \gamma \frac{d^2 \bar{W}_{mH}}{d\bar{x}^2} + \gamma \frac{d^2 \bar{W}_{mP}}{d\bar{x}^2} - m^2 \bar{W}_{mH} - m^2 \bar{W}_{mP} \right] \cos m\bar{\varphi} \right\} = \\ & = -\frac{Et}{2R(1-\nu^2)} \left\{ \frac{\mu^3}{\sqrt{2}} e^{\frac{\mu}{\sqrt{2}} \bar{x}} \left[ (a_{02} - a_{03}) \cos \frac{\mu}{\sqrt{2}} \bar{x} + (a_{02} + a_{03}) \sin \frac{\mu}{\sqrt{2}} \bar{x} \right] + \right. \\ & + \frac{\mu^3}{\sqrt{2}} e^{-\frac{\mu}{\sqrt{2}} \bar{x}} \left[ (a_{02} - a_{03}) \cos \frac{\mu}{\sqrt{2}} \bar{x} + (-a_{02} - a_{03}) \sin \frac{\mu}{\sqrt{2}} \bar{x} \right] + \\ & - \sum_{n=1}^{\infty} \frac{\nu \left( \frac{2\pi R}{L} \right)^2 n^2 \bar{P}_{ron}}{1-\nu^2 + k \left( \frac{2\pi R}{L} \right)^4 n^4} \cos \frac{2\pi R}{L} n \bar{x} + \\ & \left. + \sum_{m=1}^{\infty} \left[ \gamma \frac{d^2 \bar{W}_{mH}}{d\bar{x}^2} + \gamma \frac{d^2 \bar{W}_{mP}}{d\bar{x}^2} - m^2 \bar{W}_{mH} - m^2 \bar{W}_{mP} \right] \cos m\bar{\varphi} \right\} \end{aligned}$$

$$\begin{aligned} \sigma_{b\varphi} = & -\frac{Et}{2R(1-\nu^2)} \left\{ \frac{\mu^3}{\sqrt{2}} \left[ e^{\frac{\mu}{\sqrt{2}} \bar{x}} + e^{-\frac{\mu}{\sqrt{2}} \bar{x}} \right] \left( \cos \frac{\mu}{\sqrt{2}} \bar{x} \right) (a_{02} - a_{03}) + \right. \\ & + \frac{\mu^3}{\sqrt{2}} \left[ e^{\frac{\mu}{\sqrt{2}} \bar{x}} - e^{-\frac{\mu}{\sqrt{2}} \bar{x}} \right] \left( \sin \frac{\mu}{\sqrt{2}} \bar{x} \right) (a_{02} + a_{03}) + \\ & \left. - \sum_{n=1}^{\infty} \frac{\nu \left( \frac{2\pi R}{L} \right)^2 n^2 \bar{P}_{ron}}{1-\nu^2 + k \left( \frac{2\pi R}{L} \right)^4 n^4} \cos \frac{2\pi R}{L} n \bar{x} \right\} + \end{aligned}$$

$$\begin{aligned} & -\frac{Et}{2R(1-\nu^2)} \sum_{m=1}^{\infty} \left\{ \left( e^{\psi_m \bar{x}} + e^{-\psi_m \bar{x}} \right) \cos \omega_m \bar{x} \left[ \gamma (\psi_m^2 - \omega_m^2) C_{m1} + 2\gamma \psi_m \omega_m C_{m2} - m^2 C_{m1} \right] + \right. \\ & + \left( e^{\psi_m \bar{x}} - e^{-\psi_m \bar{x}} \right) \sin \omega_m \bar{x} \left[ \gamma (\psi_m^2 - \omega_m^2) C_{m2} - 2\gamma \psi_m \omega_m C_{m1} - m^2 C_{m2} \right] + \\ & + \left( e^{\psi_{m2} \bar{x}} + e^{-\psi_{m2} \bar{x}} \right) \cos \omega_{m2} \bar{x} \left[ \gamma (\psi_{m2}^2 - \omega_{m2}^2) C_{m3} + 2\gamma \psi_{m2} \omega_{m2} C_{m4} - m^2 C_{m3} \right] + \\ & + \left( e^{\psi_{m2} \bar{x}} - e^{-\psi_{m2} \bar{x}} \right) \sin \omega_{m2} \bar{x} \left[ \gamma (\psi_{m2}^2 - \omega_{m2}^2) C_{m4} - 2\gamma \psi_{m2} \omega_{m2} C_{m3} - m^2 C_{m4} \right] + \\ & - \frac{\bar{P}_{m0}}{k m^2} + \\ & \left. - m^2 \sum_{n=1}^{\infty} \frac{\left[ \left( \frac{2\pi R}{L} \right)^2 n^2 + m^2 \right]^2 \bar{P}_{rnn} \cos \frac{2\pi R}{L} n \bar{x}}{k \left[ \left( \frac{2\pi R}{L} \right)^2 n^2 + m^2 \right]^4 + (1-\nu^2) \left( \frac{2\pi R}{L} \right)^4 n^4} \right\} \cos m\bar{\varphi} \end{aligned}$$

Hiermede zijn de spanningen, die we wensen te berekenen in een nodenige vorm gegeven, dat we ze numeriek kunnen berekenen.

Voor de numerieke uitwerking was het noodzakelijk om gebruik te maken van de computer. Hier toe werd een algoritprogramma geschreven, dat met 05062438 werd genummerd en dat onder bijlage 7 is bijgevoegd.

Voor elke van de drie gevallen, A, B en C, die reeds werden genoemd werden de spanningen  $\sigma_{mx}$ ,  $\sigma_{m\varphi}$ ,  $\sigma_{bx}$  en  $\sigma_{b\varphi}$  berekend voor een aantal plaatsen van de hoek, gegeven door de coördinaten  $(\bar{x}, \bar{\varphi})$ , die een combinatie zijn van de hieronder genoemde waarden:

$\bar{\varphi} = 0,000$ [rad] ofwel $\varphi = 0^\circ$	en	$\bar{x} = 0,000$ ofwel $x = 0$ [cm]
$\bar{\varphi} = 0,524$ [rad] ofwel $\varphi = 30^\circ$		$\bar{x} = 0,676$ ofwel $x = 10$ [cm]
$\bar{\varphi} = 1,047$ [rad] ofwel $\varphi = 60^\circ$		$\bar{x} = 1,351$ ofwel $x = 20$ [cm]
$\bar{\varphi} = 1,570$ [rad] ofwel $\varphi = 90^\circ$		$\bar{x} = 2,027$ ofwel $x = 30$ [cm]
$\bar{\varphi} = 2,094$ [rad] ofwel $\varphi = 120^\circ$		$\bar{x} = 2,703$ ofwel $x = 40$ [cm]
$\bar{\varphi} = 2,618$ [rad] ofwel $\varphi = 150^\circ$		$\bar{x} = 3,108$ ofwel $x = 46$ [cm]
$\bar{\varphi} = 3,141$ [rad] ofwel $\varphi = 180^\circ$		$\bar{x} = 3,378$ ofwel $x = 50$ [cm]
		$\bar{x} = 4,054$ ofwel $x = 60$ [cm]
		$\bar{x} = 4,730$ ofwel $x = 70$ [cm]
		$\bar{x} = 5,068$ ofwel $x = 75$ [cm]

In het programma werd nog een mogelijkheid ingebouwd om de convergentie van de reeksen, die over  $m$  worden gesommeerd na te gaan voor een bepaalde combinatie van  $\bar{x}$  en  $\bar{\varphi}$ , die men vrij kan kiezen bij het maken van de invoergegevens.

In eerste instantie leek het alsof de matrix  $\sigma_{mij}$ , zoals die is vermeld op pagina 73 van dit verslag, singulier zou zijn, daar dit het enige resultaat was, wat, na verwerking van het programma, door de computer werd geleverd.

Naar aanleiding van het colloquium dat op 25 April 1968 door Dr. Th. J. D. Janssen werd gegeven over energieprincipes en de elementenmethode werd gedacht dat de oorzaken hiervan zou kunnen zijn, dat de beweging van de hoek als star lichaam niet is verhinderd, daar dit bij de elementenmethode ook aanleiding geeft tot het singulier zijn van matrices.

De enige beweging van de loker als star lichaam die niet verhinderd kan kunnen zijn is die in verticale richting, die wordt vertegenwoordigd door :

$$u = 0$$

$$v = C_1 \sin \varphi$$

$$w = -C_1 \cos \varphi$$

$C_1$ : constante,  
onafhankelijk  
van  $x$  en  $\varphi$

Deze bewegingsvergelijkingen voldoen inderdaad aan het homogene gedeelte der differentiaalvergelijkingen, zoals die in paragraaf 5.4. op blz 30 en 31 zijn vermeld, bij substitutie van :  $m=1$ ,  $\bar{u}_{,H} = 0$ ,  $\bar{v}_{,H} = C_1$  en  $\bar{w}_{,H} = -C_1$ , met alle afgeleiden naar  $\bar{x}$  gelijk aan nul. Deze differentiaalvergelijkingen werden echter niet gebruikt maar die van een vereenvoudigd systeem, die we kunnen vinden op blz 43 van paragraaf 5.7. Wanneer we hierin bovenstaande waarden voor  $m$ ,  $\bar{u}_{,H}$ ,  $\bar{v}_{,H}$  en  $\bar{w}_{,H}$  substitueren en we nemen alle afgeleiden naar  $x$  gelijk aan nul, dan blijkt dat  $C_1$  gelijk aan nul moet zijn. Door het invoeren van het vereenvoudigde systeem is dus tevens, weliswaar onbewust, de beweging in verticale richting van de loker als star lichaam verhinderd. De oorzaken van het singulier zijn van de matrix  $S_{mij}$  moet daarom niet hierin worden gezocht.

Toen we de matrix  $S_{mij}$  door de computer in getalvorm lieten uitvoeren bleek dat deze in het geheel niet singulier was, maar dat het systeem :  $S_{mij} \cdot a_{mj} = T_{mi}$  slecht was geconditioneerd, een toestand waarbij de computer eveneens aangeeft dat  $S_{mij}$  singulier is.

Door het invoeren van een aanvankelijk kleinere waarde van  $\epsilon$  (eps), die bij de procedure : "Gruutdecompositie" wordt gebruikt, bleek dat het systeem wel door de computer kan worden verwerkt en we kregen dan ook de gewenste resultaten.

De wijze waarop we belastinggeval A, B en C moeten combineren, komt voort uit de eis, dat de vorm van de dwarsdoorsnede van de loker voor  $x=a$  in het gebied  $-\theta < \varphi < \theta$  cirkelvormig moet zijn. In principe is het hiervoor nodig dat we in plaats van deze drie belastinggevallen, oneindig veel belastinggevallen mee zouden moeten nemen. Bij een numerieke is dit echter niet uitvoerbaar en we volstaan met de drie genoemde belastinggevallen. We kunnen dan ook niet exact voldoen aan de gestelde eisen aan de verplaatsingen, maar we proberen een zo goed mogelijke benadering te geven.

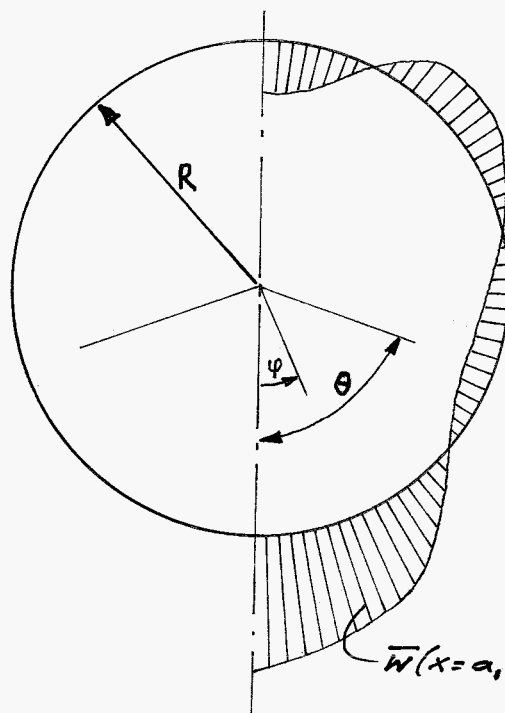
De drie belastinggevallen combineren we als volgt:

totale belasting in werkelijkheid =

$$\alpha \cdot \text{belasting in geval A} + \beta \cdot \text{belasting in geval B} + (1-\alpha-\beta) \cdot \text{belasting in geval C.}$$

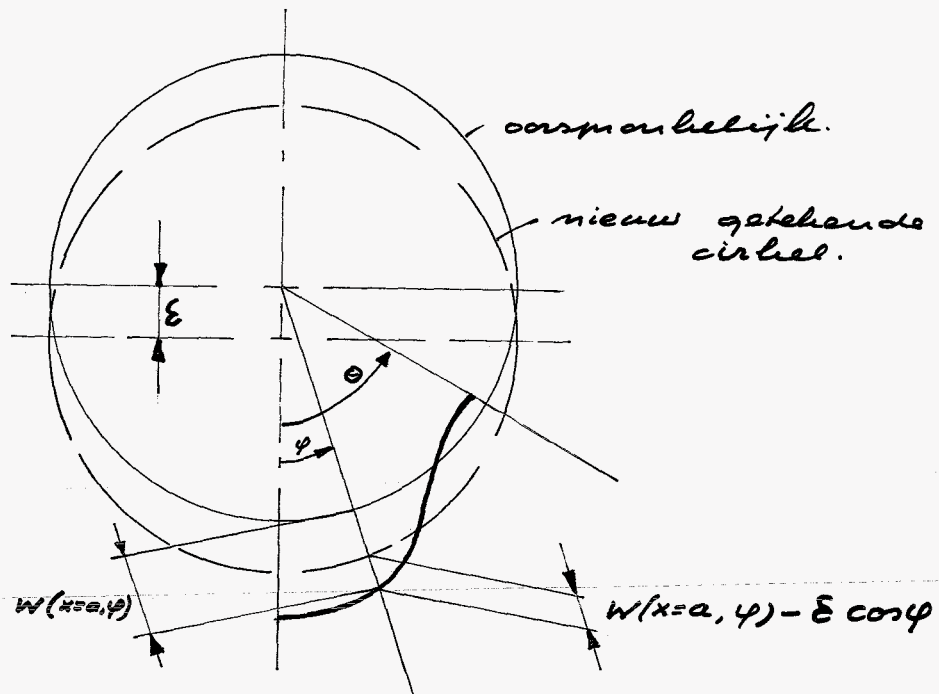
Om geldt dus:  $\bar{w}(x=a, \varphi) = \alpha \bar{w}(x=a, \varphi)_A + \beta \bar{w}(x=a, \varphi)_B + (1-\alpha-\beta) \bar{w}(x=a, \varphi)_C$

We maken hiervan een schets:



$\bar{w}(x=a, \varphi)$ , positief naar buiten gericht.

Voor  $-0 < \varphi < 0$  moet de getekende verworpen doorsnede, zo weinig mogelijk afwijken van de cirkelvorm. We tekenen daartoe een cirkel met dezelfde straal  $R$ , die een afstand  $\varepsilon$  in verticale richting ligt verschoven en met behulp van de methode der kleinste kwadraten berekenen we, wanneer (voor welke  $\varepsilon$ ) deze cirkel de getekende verworpen doorsnede voor  $-0 < \varphi < 0$  zo goed mogelijk benadert:



We moeten dus eisen:  $\int_{-0}^0 \{W(x=a, \varphi) - \varepsilon \cos \varphi\}^2 d\varphi = \text{minimaal}$

Ofwel we eisen het minimum van de volgende integraal:

$$V = \int_0^0 \{W(x=a, \varphi) - \bar{\varepsilon} \cos \varphi\}^2 d\varphi$$

met  $\bar{\varepsilon} = \varepsilon/R$

$\alpha, \beta$  en  $\bar{\varepsilon}$  kunnen we nu bepalen uit:

$$\frac{\partial V}{\partial \alpha} = 0$$

$$\frac{\partial V}{\partial \beta} = 0$$

$$\frac{\partial V}{\partial \bar{\varepsilon}} = 0$$

Er doen zich echter nog enige moeilijkheden voor:

- 1) De waarden van  $\bar{w}(\bar{x}, \varphi)$ , die berekend kunnen worden zijn voor  $x=a$  en de omgeving hiervan, niet erg betrouwbaar omdat het verschijnsel van Gibbs kan optreden.
- 2)  $\bar{w}(x=a, \varphi)$  is als functie van  $\varphi$  zodanig gecompliceerd, dat integratie moeilijkheden met zich mee zal brengen.

De eerste moeilijkheid vervalt wanneer we de gemiddelde waarde van de waarden van  $\bar{w}(x, \varphi)$  voor twee punten op gelijke afstand links en rechts van het punt  $x=a$  en met dezelfde  $\varphi$ -coördinaat, maat gevend beschouwen voor  $\bar{w}(x=a, \varphi)$ . Voor deze afstand nemen we bijvoorbeeld  $2b$ , waarbij we hopen dat dit groot genoeg is om buiten de invloed te komen van het eventuele verschijnsel van Gibbs.

We stellen dus:

$$\bar{w}(x=a, \varphi) \approx \frac{1}{2} \left\{ \bar{w}(x=a-2b, \varphi) + \bar{w}(x=a+2b, \varphi) \right\}$$

De tweede moeilijkheid kunnen we laten vervallen wanneer we niet integreren over het interval  $0 < \varphi < \theta$ , maar wanneer we binnen dit gebied sommeren over een discreet aantal punten op gelijke afstand. Hiervoor nemen we vijf punten:  $\varphi = k \cdot \frac{\theta}{4}$  met  $k=0, 1, 2, 3, 4$ .

Wanneer we dit alles invaeren geldt voor  $V$ :

$$V = \sum_{k=0}^4 \left\{ \alpha \cdot \frac{1}{2} \left[ \bar{w}(x=a-2b, k \frac{\theta}{4})_A + \bar{w}(x=a+2b, k \frac{\theta}{4})_A \right] + \right. \\ \left. + \beta \cdot \frac{1}{2} \left[ \bar{w}(x=a-2b, k \frac{\theta}{4})_B + \bar{w}(x=a+2b, k \frac{\theta}{4})_B \right] + \right. \\ \left. + (1-\alpha-\beta) \cdot \frac{1}{2} \left[ \bar{w}(x=a-2b, k \frac{\theta}{4})_C + \bar{w}(x=a+2b, k \frac{\theta}{4})_C \right] + \right. \\ \left. - \bar{E} \cdot \cos(k \cdot \frac{\theta}{4}) \right\}^2$$



De in deze formule voor  $V$  voorkomende waarden van  $\bar{w}$  ( $x = a \pm 2b$ ,  $k \in \{0, 1, 2, 3, 4\}$ ) voor  $k = 0, 1, 2, 3, 4$  werden tevens door het computerprogramma berekend en zijn hieronder weergegeven.

A			B			C		
$k$	$x = a - 2b$	$x = a + 2b$	$k$	$x = a - 2b$	$x = a + 2b$	$k$	$x = a - 2b$	$x = a + 2b$
0	-0,00819	-0,00811	0	-0,00902	-0,00896	0	-0,01260	-0,01262
1	-0,00810	-0,00763	1	-0,00995	-0,00908	1	-0,01798	-0,01537
2	-0,00578	-0,00493	2	-0,00632	-0,00551	2	-0,00847	-0,00797
3	-0,00179	-0,00091	3	-0,00092	-0,00051	3	+0,00298	+0,00128
4	+0,00363	+0,00357	4	+0,00511	+0,00463	4	+0,01148	+0,00923

$$\begin{aligned}
 V = & \left\{ (0,00446)\alpha + (0,00362)\beta + (-1,0000)\bar{E} + (-0,01264) \right\}^2 + \\
 & + \left\{ (0,00881)\alpha + (0,00716)\beta + (-0,9681)\bar{E} + (-0,01261) \right\}^2 + \\
 & + \left\{ (0,00286)\alpha + (0,00230)\beta + (-0,8746)\bar{E} + (-0,00822) \right\}^2 + \\
 & + \left\{ (-0,00348)\alpha + (-0,00284)\beta + (-0,7254)\bar{E} + (0,00213) \right\}^2 + \\
 & + \left\{ (-0,00676)\alpha + (-0,00548)\beta + (-0,5299)\bar{E} + (0,01035) \right\}^2
 \end{aligned}$$

$$\frac{\partial V}{\partial \alpha} = 0 \rightarrow$$

$$0,0003270 \cdot \alpha + 0,0002655 \beta - 0,0187646 \cdot \bar{E} - 0,0005367 = 0$$

$$\text{ofwel: } 3,270 \alpha + 2,655 \beta - 1,877 \cdot (100\bar{E}) = 5,367$$

$$\frac{\partial V}{\partial \beta} = 0 \rightarrow$$

$$0,0002655 \alpha + 0,0002155 \beta - 0,0151984 \bar{\epsilon} - 0,0004354 = 0$$

ofwel:  $2,655 \cdot \alpha + 2,155 \beta - 1,520 (100 \cdot \bar{\epsilon}) = 4,354$

$$\frac{\partial V}{\partial \bar{\epsilon}} = 0 \rightarrow$$

$$-0,0187676 \alpha - 0,0151984 \beta + 7,0182839 \bar{\epsilon} + 0,0500148 = 0$$

ofwel:  $1,877 \cdot \alpha + 1,520 \beta - 7,018 (\bar{\epsilon} \cdot 100) = 5,001$

uit de drie nu verkregen lineaire vergelijkingen zijn  $\alpha$ ,  $\beta$  en voor de volledigheid  $\bar{\epsilon}$  op te lossen:

$$\alpha = \frac{\begin{vmatrix} 5,367 & 2,655 & -1,877 \\ 4,354 & 2,155 & -1,520 \\ 5,001 & 1,520 & -7,018 \end{vmatrix}}{\begin{vmatrix} 3,240 & 2,655 & -1,877 \\ 2,655 & 2,155 & -1,520 \\ 1,877 & 1,520 & -7,018 \end{vmatrix}} = \frac{-0,01775}{0,01297} = -1,37$$

$$\beta = \frac{\begin{vmatrix} 3,240 & 5,367 & -1,877 \\ 2,655 & 4,354 & -1,520 \\ 1,877 & 5,001 & -7,018 \end{vmatrix}}{0,01297} = \frac{0,04510}{0,01297} = 3,48$$

$$100 \cdot \bar{\epsilon} = \frac{\begin{vmatrix} 3,240 & 2,655 & 5,367 \\ 2,655 & 2,155 & 4,354 \\ 1,877 & 1,520 & 5,001 \end{vmatrix}}{0,01297} = \frac{-0,00422}{0,01297} = -0,325$$

$$\rightarrow \epsilon = 14,8 \cdot \bar{\epsilon} = 0,048 \text{ cm}$$

Met behulp van de nu gevonden waarden kunnen we de drie belastingsgevallen combineren. Wanneer we stellen:  $\delta = 1 - \alpha - \beta$  geldt:

$$\delta = -1,11$$

Men is dus bekend welke vorm de oppervlaktespankracht heeft, die door de radels op de koker wordt uitgeoefend:

$$\begin{aligned} (P_r)_2 &= \alpha \cdot \left( - \frac{\pi \gamma R L}{4 \cdot b \cdot \sin \theta} \right) + \\ &+ \beta \left( - \frac{\pi \gamma R L}{b \cdot (2\theta + \sin 2\theta)} \cdot \cos \varphi \right) + \\ &+ \delta \left( - \frac{\pi \gamma R L}{b (4 \sin \theta - \frac{8}{3} \sin^3 \theta)} \cdot \cos 2\varphi \right) \end{aligned}$$

$$\text{voor: } a - \frac{b}{2} < |x| < a + \frac{b}{2} \\ |y| < b$$

Opwel:

$$\begin{aligned} (P_r)_2 &= - \frac{\pi \gamma R L}{b} \left\{ \frac{\alpha}{4 \sin \theta} + \frac{\beta \cos \varphi}{(2\theta + \sin 2\theta)} + \frac{\delta \cos 2\varphi}{(4 \sin \theta - \frac{8}{3} \sin^3 \theta)} \right\} \\ &= - \frac{\pi \gamma R L}{b} (-0,404 + 1,192 \cos \varphi - 0,629 \cos 2\varphi) \end{aligned}$$

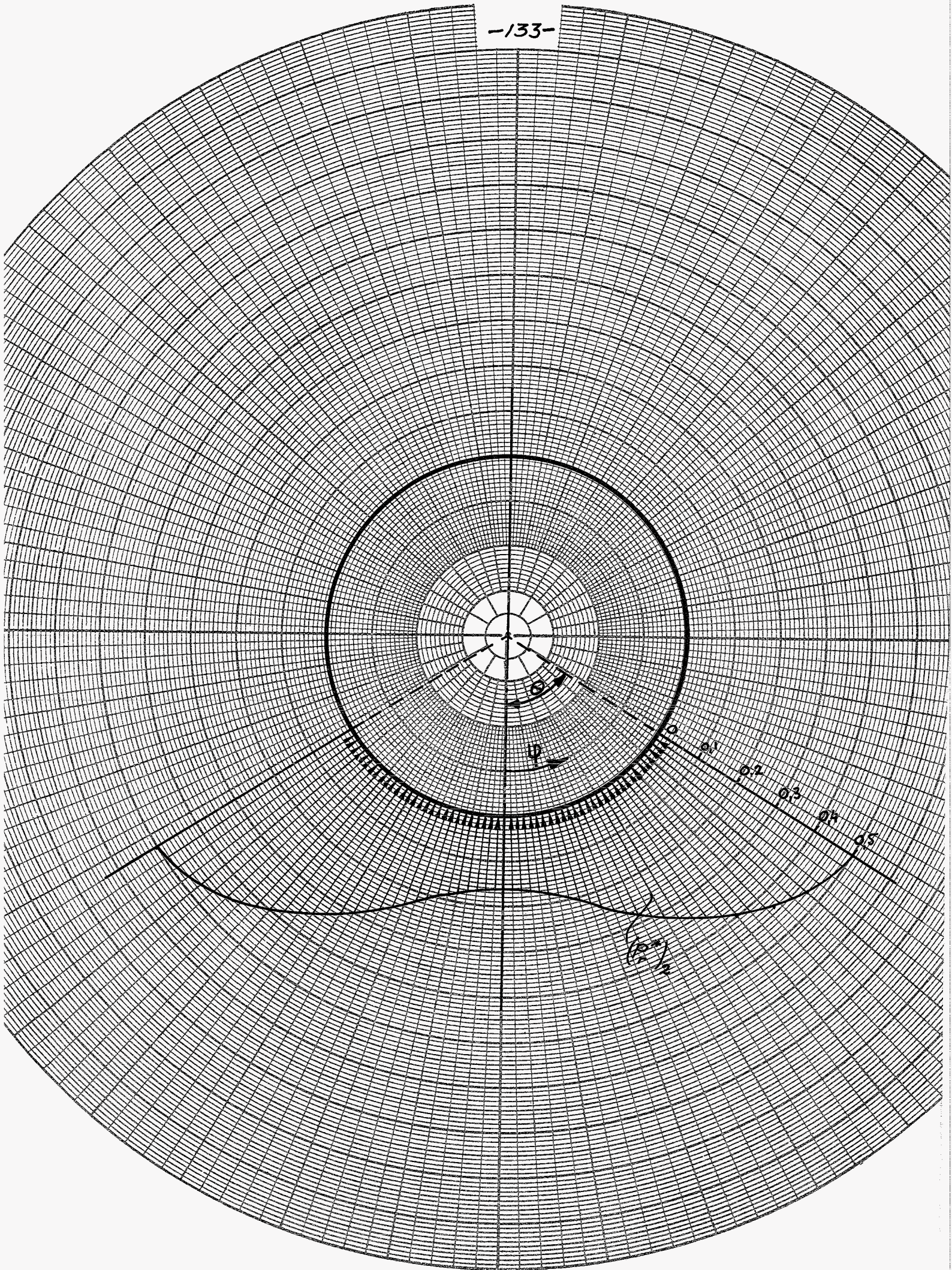
We bekijken alleen de afhankelijkheid van  $\varphi$  en we voeren in:

$$(P_r^*)_2 = (0,404 - 1,192 \cos \varphi + 0,629 \cos 2\varphi)$$

Op de volgende bladzijde is deze afhankelijkheid weergegeven in een polair diagram.

Hoals blijkt is aan de eis voldaan dat  $(P_r)_2$  overal negatief is.







Om te komen tot de gewenste spanningen moeten we de drie belastinggevallen als volgt combineren:

$$\begin{aligned} \sigma_{\text{gewenst}} = & \alpha \cdot \sigma_{\text{berekend in geval A}} + \\ & + \beta \cdot \sigma_{\text{berekend in geval B}} + \\ & + \delta \cdot \sigma_{\text{berekend in geval C}} \end{aligned}$$

In de nu volgende tabellen zijn de resultaten na de combinatie weergegeven:

$\sigma_{mx}$  in  $\text{kgf/cm}^2$

		$\varphi$						
		$0^\circ$	$30^\circ$	$60^\circ$	$90^\circ$	$120^\circ$	$150^\circ$	$180^\circ$
$x$ [cm]	0	8,29	8,63	2,88	-7,78	-8,59	-0,86	3,16
	10	7,15	8,44	2,87	-7,82	-7,77	-0,65	2,62
	20	4,01	7,76	2,47	-7,45	-5,23	-0,27	1,31
	30	1,11	5,82	0,47	-5,17	-1,33	-0,42	0,10
	40	5,65	-2,01	-4,54	3,31	1,44	-0,99	-0,27
	46	16,01	-11,76	-8,06	11,60	1,58	-1,09	-0,18
	50	15,58	-12,20	-8,19	12,00	1,86	-1,05	-0,04
	60	-0,40	-0,24	-2,98	1,26	2,45	-0,57	0,53
	70	-1,54	1,41	-0,27	-1,64	0,31	0,33	1,24
	75	0,01	0,00	0,01	0,01	0,00	0,00	-0,01

Als extra-controle zien we dat, afgezien van eventuele afrondingsfouten voldaan is aan een van de randvoorwaarden nl:

$$\sigma_{mx} (x=75 \text{ cm}, \varphi) = 0$$

$\sigma_{m\varphi}$  in  $\text{kgf/cm}^2$

		$\varphi$						
		$0^\circ$	$30^\circ$	$60^\circ$	$90^\circ$	$120^\circ$	$150^\circ$	$180^\circ$
x [cm]	0	15,37	15,64	4,23	-15,49	-15,32	1,49	10,15
	10	13,34	15,25	4,21	-15,57	-13,78	1,92	9,13
	20	7,70	14,09	3,43	-15,09	-9,01	2,70	6,62
	30	1,95	10,72	-0,33	-11,12	-1,61	2,51	4,30
	40	10,47	-3,07	-9,66	4,42	3,81	1,38	3,68
	46	24,21	-32,39	-23,72	20,58	4,11	1,06	4,03
	50	23,76	-33,32	-24,28	21,53	4,61	1,00	4,51
	60	1,56	-1,09	-8,66	2,17	5,33	1,38	6,52
	70	2,95	0,23	-4,70	-1,22	0,23	2,72	8,93
	75	7,78	-3,85	-4,21	4,12	0,25	1,72	5,58

En nelle eerste controle van deze resultaten, zoals die mogelijk was bij de resultaten voor  $\sigma_{m_x}$  op de vorige bladzijde is nu helaas onmogelijk omdat  $N_\varphi$  en dus  $\sigma_{m\varphi}$  niet in de randvoorwaarden is verwerkt.

En dergelijke controle is weer wel mogelijk bij de resultaten voor  $\sigma_{b_x}$  omdat moet gelden:  $\sigma_{b_x}(x=75 \text{ cm}, \varphi) = 0$ , terwijl bij  $\sigma_{b\varphi}$  deze mogelijkheid weer ontbreekt.

Op de volgende bladzijde (136) is  $\sigma_{b_x}$  getabelleerd als functie van  $x$  en  $\varphi$ .

$\sigma_{bx}$  in  $\text{kgf/cm}^2$

		$\varphi$						
		$0^\circ$	$30^\circ$	$60^\circ$	$90^\circ$	$120^\circ$	$150^\circ$	$180^\circ$
$x$ [cm]	0	2,45	-4,34	-0,91	6,72	2,44	-2,65	-4,40
	10	2,31	-4,29	-0,77	6,59	2,36	-2,57	-4,37
	20	1,72	-4,02	-0,35	6,08	2,21	-2,34	-4,33
	30	0,21	-3,19	0,34	5,00	2,27	-2,05	-4,33
	40	-2,62	-1,61	0,85	3,46	2,66	-1,99	-4,33
	46	-2,67	0,36	1,65	4,89	4,37	-0,47	-2,63
	50	-2,65	0,34	1,62	4,89	4,26	-0,50	-2,49
	60	-1,15	-2,31	0,67	4,15	1,95	-2,06	-3,39
	70	1,52	-3,92	0,13	5,87	1,11	-2,22	-2,81
	75	2,17	-2,52	-0,07	0,75	-1,96	0,62	1,73

Wanneer we de waarden van  $\sigma_{bx}$  voor  $x = 75$  cm beschouwen, zien we dat niet precies aan de op de vorige bladzijde genoemde randvoorwaarde is voldaan.

Wanneer we de mogelijkheid van een rekenfout of een afrondfout uitsluiten kunnen we met vrij grote zekerheid zeggen, dat dit wordt veroorzaakt door het afbreken van de reeks voor  $\sigma_{bx}$ , bij de summatie over  $m$ . De resultaten van het computerprogramma, die betrekking hebben op de convergentie van deze reeks, laten namelijk zien, dat de reeks voor  $\sigma_{bx}$  veel minder goed convergeert dan de reeks voor  $\sigma_{mx}$ .

Of dit inderdaad de oorzaak is, kan uiteraard het eenvoudigst worden nagegaan, door over een groter aantal  $m$ 's te sommeren, dan in het onderhavige geval is gebeurd (tot  $m=25$ ) maar aangezien nu reeds de totale rekentijd van de computer 28 minuten bedroeg is dit niet uitgevaard.

De onderstaande tabel geeft de resultaten voor  $\sigma_{60}$  in  $\text{kgf}/\text{cm}^2$

		$\varphi$						
		$0^\circ$	$30^\circ$	$60^\circ$	$90^\circ$	$120^\circ$	$150^\circ$	$180^\circ$
$x$ [cm]	0	6,64	-12,64	-2,53	19,53	7,20	-7,64	-12,80
	10	6,24	-12,47	-2,13	19,15	6,96	-7,43	-12,70
	20	4,59	-11,71	-0,88	17,70	6,49	-6,81	-12,56
	30	0,30	-9,34	1,09	14,64	6,59	-5,99	-12,52
	40	-7,65	-4,63	2,78	10,36	7,80	-5,66	-12,32
	46	-11,74	-2,85	1,30	10,45	8,73	-5,14	-11,42
	50	-11,75	-2,81	1,37	10,38	8,46	-5,09	-11,12
	60	-4,27	-6,36	2,91	11,35	5,70	-5,40	-10,56
	70	1,67	-9,86	1,84	14,54	3,74	-5,49	-9,59
	75	2,56	-9,72	1,63	13,14	2,45	-4,52	-7,89

Nu de resultaten van de theorieën behandeld zijn willen we deze testen aan een experiment, dat in het volgende hoofdstuk zal worden behandeld.



### 13. Het experiment en de waarnemingen.

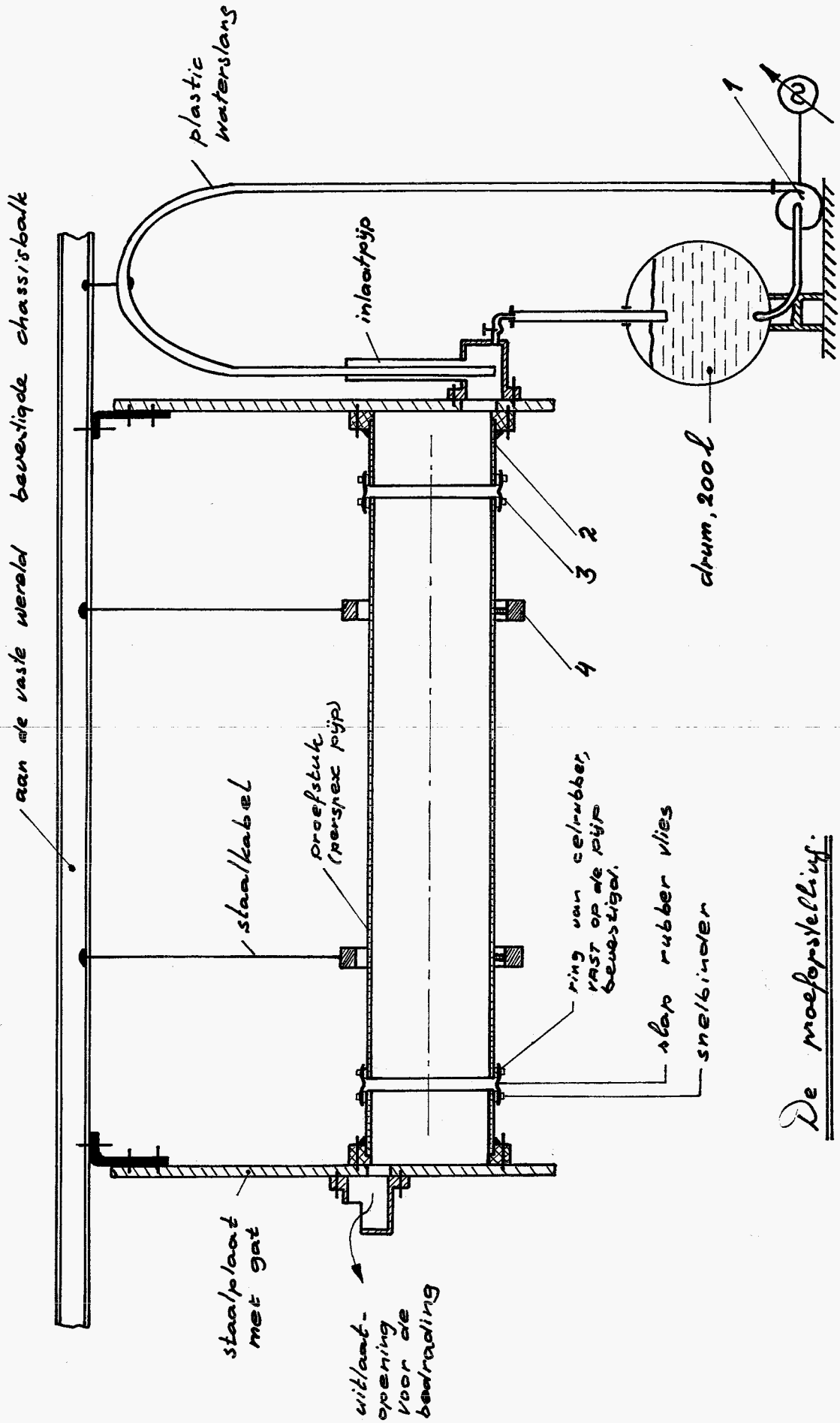
We hebben al medegedeeld dat we voor de koker zelf een perspers pijp hebben gekozen waarvan de afmetingen in hoofdstuk 9 zijn vermeld. De noodzaak hiervan is reeds in hoofdstuk 6 tot uitdrukking gekomen.

In dit hoofdstuk zal worden getracht, duidelijk te maken hoe de veronderstellingen, die we bij de theoretische afleiding hebben gemaakt, aan de proefopstelling, eventueel op een benaderende wijze, werden gerealiseerd.

Een extra optredende moeilijkheid, die vrijwel de gehele constructie bepaalde, was dat de koker geheel met water gevuld moest kunnen worden en dus waterdicht moest zijn, ondanks de vrije uiteinden en ondanks het feit, dat er openingen nodig waren om de koker te vullen en te ledigen en om de draden, verbonden aan de inwendig geplaatste rekstrookjes naar buiten te brengen. Tevens moest de mogelijkheid blijven bestaan om de koker om zijn lengteas te verdraaien, waardoor het aantal benodigde rekstrookjes aanzienlijk werd verminderd.

Na langdurig overleg en na vele proefnemingen ontstond tenslotte de constructie, zoals die door middel van een schets, op de volgende pagina (139), is weergegeven, en die aan de gestelde eisen voldoet of op ze op zijn minst benadert.

Tevens is in deze tekening de manier waarop de koker wordt ondersteund aangegeven, waarover in de hierna volgende behandeling van allerlei constructie-details, dieper zal worden nagegaan.



De proefstelling.

Bij de tekening op de vorige bladrijde staan enige constructieonderdelen die hieronder in detail zullen worden behandeld, tegelijk met de beschrijving van het geheel.

Om het water van de drum in het praefstuk te krijgen wordt gebruik gemaakt van een centrifugaalpomp (1):

fabrikaat: Stuart-Turner-Ltd.  
Henley on Thames, Engeland.  
no: T 18138  
voltage: 220/240 V, 200 Watt.  
capaciteit: 600/200 gallon per uur  
bij opvoerhoogte 5/35 voet.

De centrifugaalpomp wordt gevoed door een regelbare transformator, die is aangesloten op het lichtnet. De doorstroombelasting kan hiermede enigszins worden geregeld.

Het ledigen van de koker kan gebeuren door:

- a) het opendraaien van de tapkraan.
- b) de bevelwerking van het water, dwars door de pomp heen, naar de drum, die zich ongeveer 0,5 m. lager bevindt dan de koker.

De centrifugaalpomp is niet zelfaanzuigend en daarom moet deze zich onder het waterniveau in de drum bevinden.

De procedure van het vullen en het ledigen is nu als volgt:

- a) we trekken de water slang omhoog tot het uiteinde zich vlak onder de rand van de inlaatpijp (zie blz 139) bevindt.
- b) we draaien aan de regelenop van de transformator tot het water een redelijke snelheid heeft; hierna wordt de koker gevuld, wat circa 5 minuten duurt.
- c) wanneer de koker vol is, stoppen we de pomp; het water blijft in de koker.
- d) om te ledigen draaien we eerst de tapkraan open, waardoor het water heel langzaam wegloopt.
- e) na enige seconden starten we de pomp, we duwen de water slang geheel in de vulpijp en als de slang geheel met water is gevuld, stoppen we de pomp weer. Het water wordt nu terug in de drum geheveld, hetgeen eveneens circa 5 minuten duurt.
- f) als de koker leeg is, draaien we de tapkraan dicht.

De inlantpijp is gelast op een pot, die met behulp van bouten is bevestigd op de staalplaat, die op zijn beurt aan het chassis vastzit.

Aan de linkerkant van de constructie bevindt zich eveneens een staalplaat, waarop een pot is bevestigd, die een opening heeft boven het maximale waterniveau in de perspers leuis. Deze opening voorziet in twee behoeften:

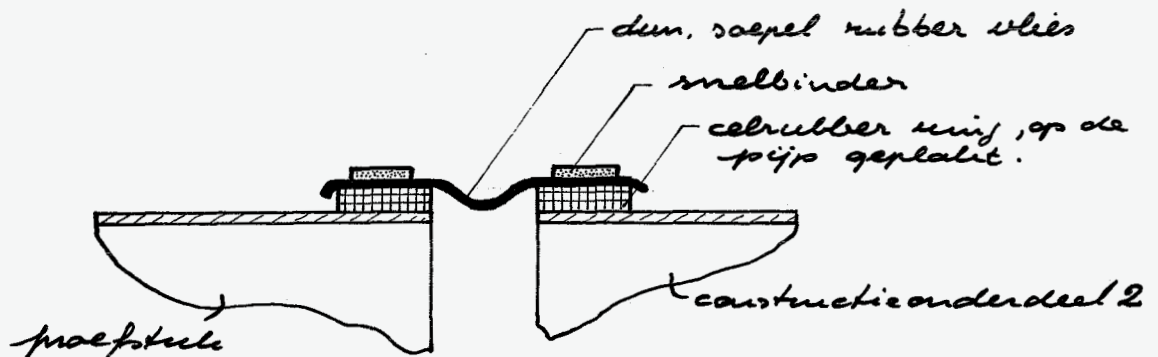
- a) de ontluchting tijdens het vullen van de pijp en eventuele overloop.
- b) de uitgang voor de draden, die aan de relectroden zijn bevestigd.

Aan de linkervrijde van de rechter staalplaat en aan de rechterzijde van de linker staalplaat is constructieonderdeel 2 met bouten bevestigd, zoals in de tekening op blz 139 is aangegeven.

Dit onderdeel bestaat uit een stuk pijp, met dezelfde radiale afmetingen als het proefstuk, waarop een perspex flens is geplakt.

Tussen deze beide constructie onderdelen is bevindt zich het proefstuk.

Het proefstuk is door een zeer soepele verbinding verbonden met constructieonderdeel 2, die alleen maar dient voor de afdichting. Deze verbinding (3) is losneembaar en in onderstaande tekening in detail weergegeven.



In hoeverre deze verbinding in strijd is met de eis dat de uiterinden van de koper vrij moeten zijn blijft een vraag. We kunnen namelijk niet precies nagaan welke weerstand tegen verwarming door deze verbinding wordt veroorzaakt.

We kunnen echter wel aannemen dat de door constructie onderdeel 2, op het proefstuk uitgeoefende krachten te verwaarlozen zijn, omdat het rubberdies zo slap is. Hierop hebben we trouwens een controle, tenminste wat de axiale belasting betreft, nl:

$$\int_0^{\pi} \sigma_{mx}(\varphi, x = \text{const}) d\varphi = 0$$

voor  $a + b/2 < |x| < b/2$

We zullen dit dan ook later nagaan.

Omdat ook tijdens het doormeten van de koker in onbelaste toestand, de verbinding, zoals die op de vorige bte is getekend, is aangebracht hopen we dat de invloed hiervan tot een minimum blijft beperkt.

De ondersteuning van de koker (4) is zodanig aangebracht (m.b.v. de staalkabel), dat als resulterende belasting op de koker, alleen een verticale kracht die de lengte as snijdt, aanwezig kan zijn.

Daarom kunnen we de bovenstaande controle-mogelijkheid uitbreiden omdat nu

$$\int_0^{\pi} \sigma_{mx}(\varphi, x = \text{constant}) d\varphi \quad \text{nul moet zijn}$$

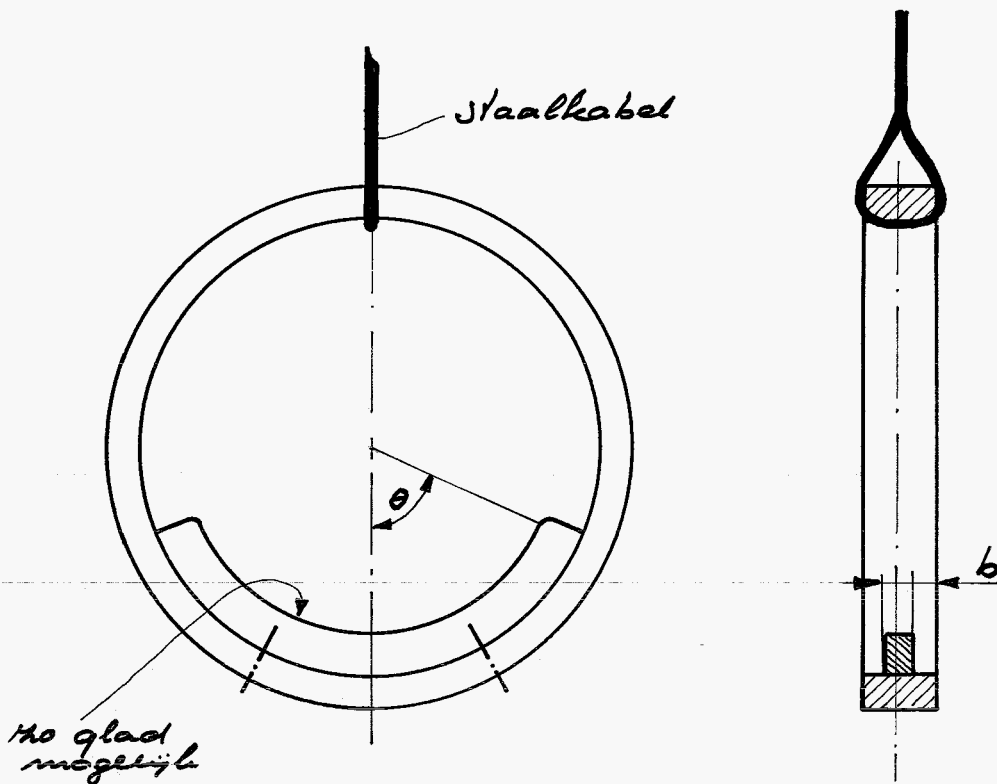
voor alle waarden van  $x$ .

We hebben echter als is gesteld dat het radet op de koker alleen een belasting in radiale richting uitoefent. Om dit zo goed mogelijk na te kunnen komen werd het aanrakingvlak zo glad mogelijk gemaakt. Ook werd geëist dat de ondersteuning overal aan nauw liggen tegen de koker. Tijdens het experiment werd dit nagegaan en inderdaad was hieraan voldaan.

De radels (4) werden niet vervaardigd bij de C.T.D van de THE maar door machine-fabriek "Eindhoven". Waarschijnlijk tengevolge van een communicatiefout bleek na aflevering de hoek  $\theta$ ,  $58^\circ$  te zijn, in plaats van  $60^\circ$ , hetgeen eigenlijk de bedoeling was geweest.

De grootte van de hoek  $\theta$  is echter niet zo belangrijk omdat bij de berekeningen m.b.v. de balkentheorie de grootte van  $\theta$  in het geheel niet voorkomt, en omdat bij het geschreven computerprogramma de hoek  $\theta$  als variabele is beschouwd, waarvan de grootte kan worden ingelezen.

De onderstaande tekening geeft constructieonderdeel 4 in detail:



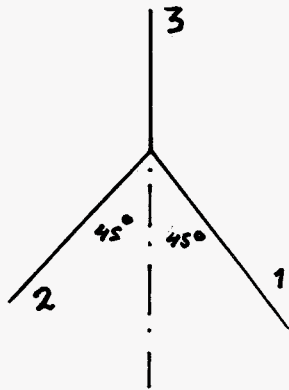
Na de montage van alle onderdelen werden alle plaatsen, waar nu eventueel nog water naar buiten zou kunnen komen, zoals daar, waar twee constructieonderdelen tegen elkaar zitten of waar gelijmd was, afgedicht met een dikke laag was. Tijdens het experiment hebben we dan ook in het geheel geen last gehad met lekkages.

Het zou uiteraard eenvoudiger te realiseren zijn geweest om de, in belaste toestand, extra door de staalkabel doorgeleide kracht te meten, wat als controle zou kunnen dienen. De hiervoor benodigde apparatuur was niet aanwezig helaas.

Het proefstuk werd voorzien van rekestrookjes van het type: HPR 5.

fabrikaat: Tokyo Solhi Kenkyujo Co., Ltd.

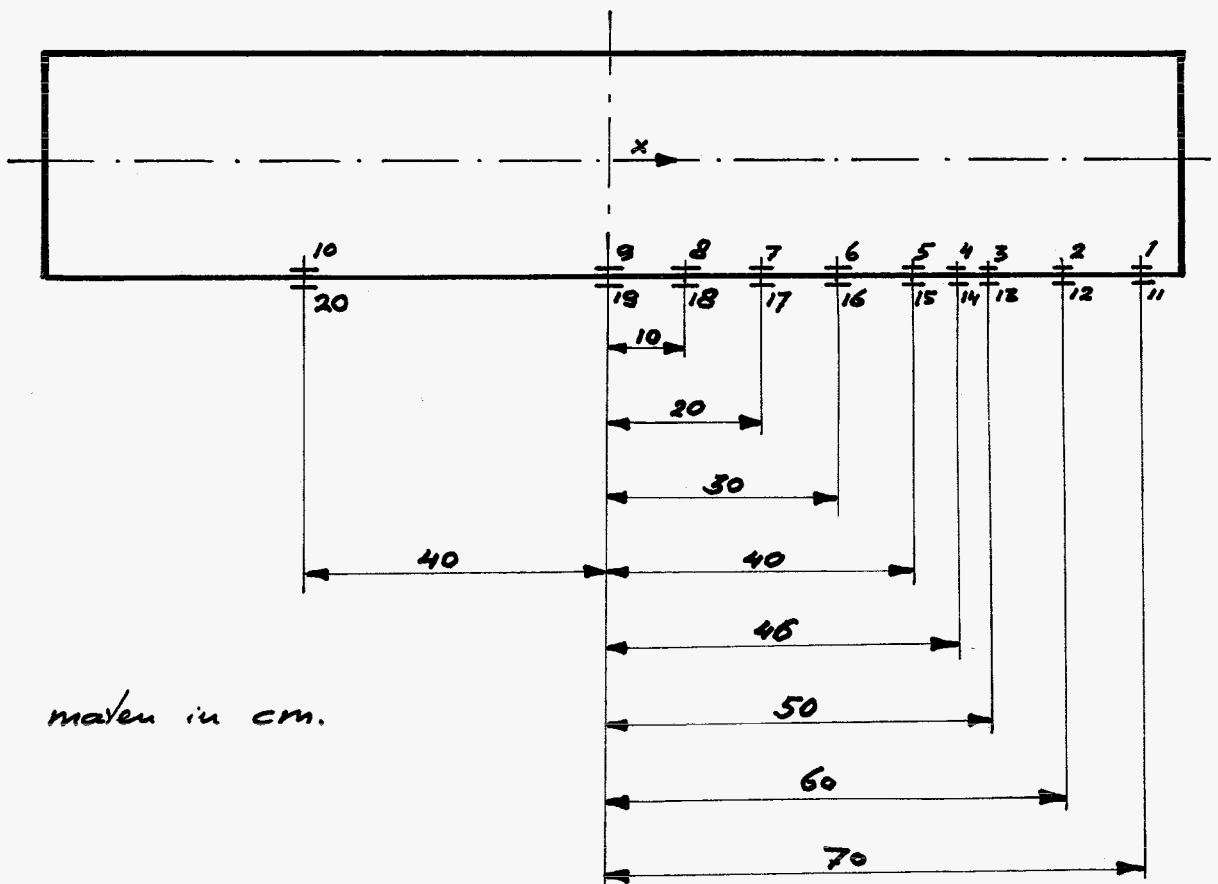
Dit zijn rekestrookjes met drie filamenten, die de volgende vorm hebben:



k. factoren: filament 1 : 2,03  
filament 2 : 2,04  
filament 3 : 2,05

We willen de spanningen in axiale en tangentiële richting bepalen. Daarom is filament 3 in de richting van de kehoeraan geplaatst.

De wijze waarop de rekestrookjes zijn geplaatst wordt niet behandeld daar hierover binnen de groep "Technische mechanica" reeds voldoende is gepubliceerd. In onderstaande tekening is de plaats der rekestrookjes aangegeven.



maten in cm.



De reëstrookjes zijn aangebracht op één beschrijvende van de koker. We kunnen dan voor elke waarde van  $\varphi$  de spanningen meten door de koker om zijn lengte-as te verdraaien.

Omdat we zijn geïnteresseerd in de membraanspanningen en de maximale lengtespanningen, respectievelijk  $\sigma_{mx}$ ,  $\sigma_{my}$  en  $\sigma_{bx}$ ,  $\sigma_{by}$  zijn aan de binnen- en buitenzijde van de koker steeds twee reëstrookjes precies tegenover elkaar aangebracht.

In de omgeving van de ondersteuning is een extra paar reëstrookjes (4 en 14) aangebracht omdat deze omgeving uiteraard het meest interessant is. Reëstrookje 10 en 20 zijn alleen aangebracht ter referentie.

De reëstrookjes werden doorgemeten met de automatische digitale reëstrookmeetapparatuur van Peckel: type PPSRM 1, die aan de printer een signaal geeft, die op zijn beurt de resultaten geeft in ponsbandvorm.

Dere ponsband is meteen geschikt voor verwerking op de computer met behulp van het door Dr. ir. J. D. Jansen geschreven programma: 05061627.

Clauvanketijk waren de inwendige reëstrookjes alleen met was afdicht en waren zowel de in- als uitwendige toevoerdraden niet afgeschermd. De hierbij verkregen resultaten vertoonden te grote deviaties.

Na het afdichten van de inwendige reëstrookjes en inwendige toevoerdraden met klei en het afschermen van de uitwendige toevoerdraden met tape waren de deviaties in de resultaten nog wel aanzienlijk, maar toch acceptabel. Een meetcyclus bestond uit: onbelast, belast, onbelast, belast, onbelast, belast, onbelast, belast, onbelast.

Op de nu volgende pagina's zijn de resultaten van het experiment in tabelvorm weergegeven



$\sigma_{mx}$  in  $\text{kgf/cm}^2$

		$\varphi$						
		$0^\circ$	$30^\circ$	$60^\circ$	$90^\circ$	$120^\circ$	$150^\circ$	$180^\circ$
$x$ [cm]	0	2,94	1,62	1,29	-2,26	-3,63	-1,18	0,51
	10	1,87	1,14	1,19	-2,34	-3,89	-0,84	2,41
	20	1,66	1,08	1,27	-2,34	-3,81	-0,76	2,26
	30	1,44	0,79	0,82	-2,12	-2,17	-0,48	2,00
	40	1,21	-2,02	-0,72	-1,19	-1,02	-0,68	1,58
	46	2,07	-2,50	-4,13	3,14	-1,60	-0,34	1,60
	50	2,35	-2,60	-4,12	3,32	1,02	-0,03	1,75
	60	1,45	-0,28	0,61	0,11	0,16	0,26	2,06
	70	1,26	-2,27	0,76	0,16	-0,29	0,19	0,81

$\sigma_{m\varphi}$  in  $\text{kgf/cm}^2$

		$\varphi$						
		$0^\circ$	$30^\circ$	$60^\circ$	$90^\circ$	$120^\circ$	$150^\circ$	$180^\circ$
$x$ [cm]	0	0,27	0,73	0,29	-0,89	-0,97	0,36	4,16
	10	1,48	-0,22	0,20	-0,94	-1,27	-0,15	2,36
	20	1,78	0,25	0,41	-1,13	-1,89	-0,06	2,77
	30	1,51	0,75	0,56	-1,16	-1,57	0,10	2,98
	40	0,19	-0,82	1,25	-1,22	-1,64	-0,05	2,79
	46	-3,97	-5,26	-5,97	-0,13	-6,29	0,04	3,01
	50	-2,60	-4,63	-4,65	0,18	0,35	0,48	2,45
	60	1,68	1,84	1,79	0,22	-1,02	0,71	3,12
	70	1,72	-7,26	1,38	0,70	-0,36	0,34	4,46

$\sigma_{bx}$  in  $\text{kgf/cm}^2$

		$\varphi$						
		$0^\circ$	$30^\circ$	$60^\circ$	$90^\circ$	$120^\circ$	$150^\circ$	$180^\circ$
x [cm]	0	-2,57	-0,72	0,38	1,56	0,59	-0,03	-1,69
	10	-1,60	-0,55	0,36	1,42	0,37	-0,41	-3,58
	20	-1,86	-1,11	0,00	1,78	1,28	-0,41	-4,19
	30	-1,53	-1,49	-0,33	1,82	1,48	-0,52	-4,36
	40	0,42	-1,54	-1,04	2,72	1,55	-0,96	-4,20
	46	-0,16	-1,09	-3,79	3,68	2,90	-0,94	-3,87
	50	1,64	-3,04	-4,32	3,92	0,69	-1,19	-4,07
	60	-1,05	-2,56	-1,97	0,63	1,42	-1,19	-4,50
	70	-2,09	0,90	-1,45	0,28	1,20	-0,96	-2,92

$\sigma_{by}$  in  $\text{kgf/cm}^2$

		$\varphi$						
		$0^\circ$	$30^\circ$	$60^\circ$	$90^\circ$	$120^\circ$	$150^\circ$	$180^\circ$
x [cm]	0	-4,15	-3,41	-0,19	4,55	5,18	-1,04	-9,15
	10	-4,74	-3,11	-0,26	4,40	4,91	-0,83	-7,49
	20	-4,88	-4,79	-1,42	5,50	6,70	-1,34	-8,65
	30	-3,39	-5,97	-3,27	6,34	7,23	-2,07	-8,72
	40	-0,19	-6,19	-8,68	10,10	6,95	-3,00	-8,55
	46	-1,15	-12,69	-29,25	12,15	12,05	-2,74	-8,63
	50	-0,88	-15,05	-31,76	12,16	5,70	-3,32	-8,40
	60	-2,40	-8,49	-7,01	6,93	7,75	-3,63	-9,38
	70	-4,03	2,39	-3,84	4,03	7,26	-2,74	-10,17

14. Vergelijking van de theoretische en  
experimentele resultaten.

De beste manier waarop uiteraard de resultaten met elkaar kunnen worden vergeleken is door middel van grafieken.

Op de nu volgende 28 pagina's vinden we de grafieken voor  $\sigma_{mx}$ ,  $\sigma_{m\varphi}$ ,  $\sigma_{bx}$  en  $\sigma_{b\varphi}$  met  $\varphi$  als parameter.

Op de abscis is de variabele  $x$  uitgezet terwijl de ordinaat de spanning aangeeft in  $\text{kgf/cm}^2$ .

Voor alle grafieken is dezelfde schaalverdeling gebruikt, om ze onderling beter te kunnen vergelijken. Zoals in de grafieken is te zien, is de plaats van de ondersteuning steeds met een dikke dwarsstreep aangegeven.

In de grafieken worden de volgende afkortingen gebruikt:

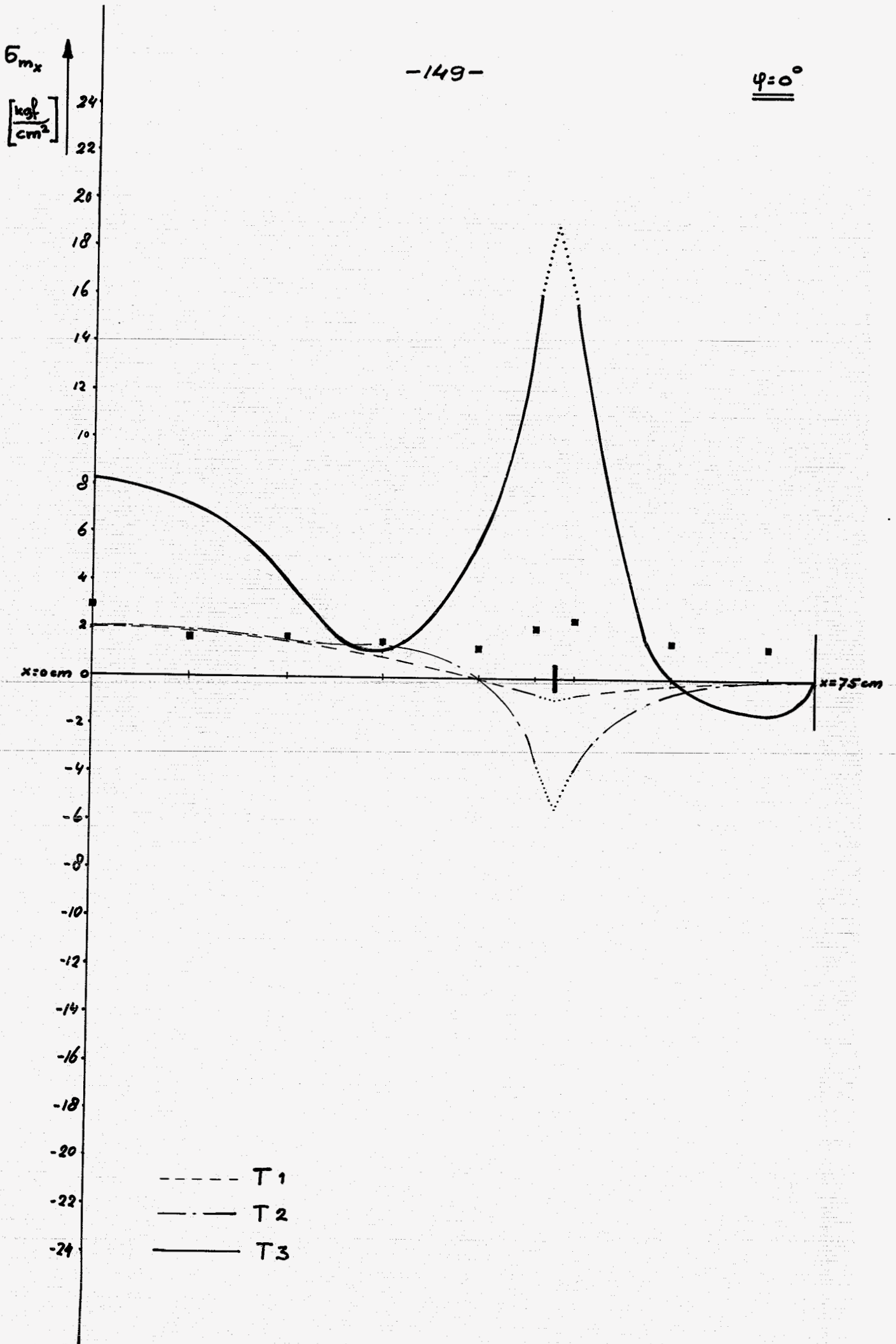
T1 : geeft de resultaten weer volgens de gewone balkentheorie van hoofdstuk 10

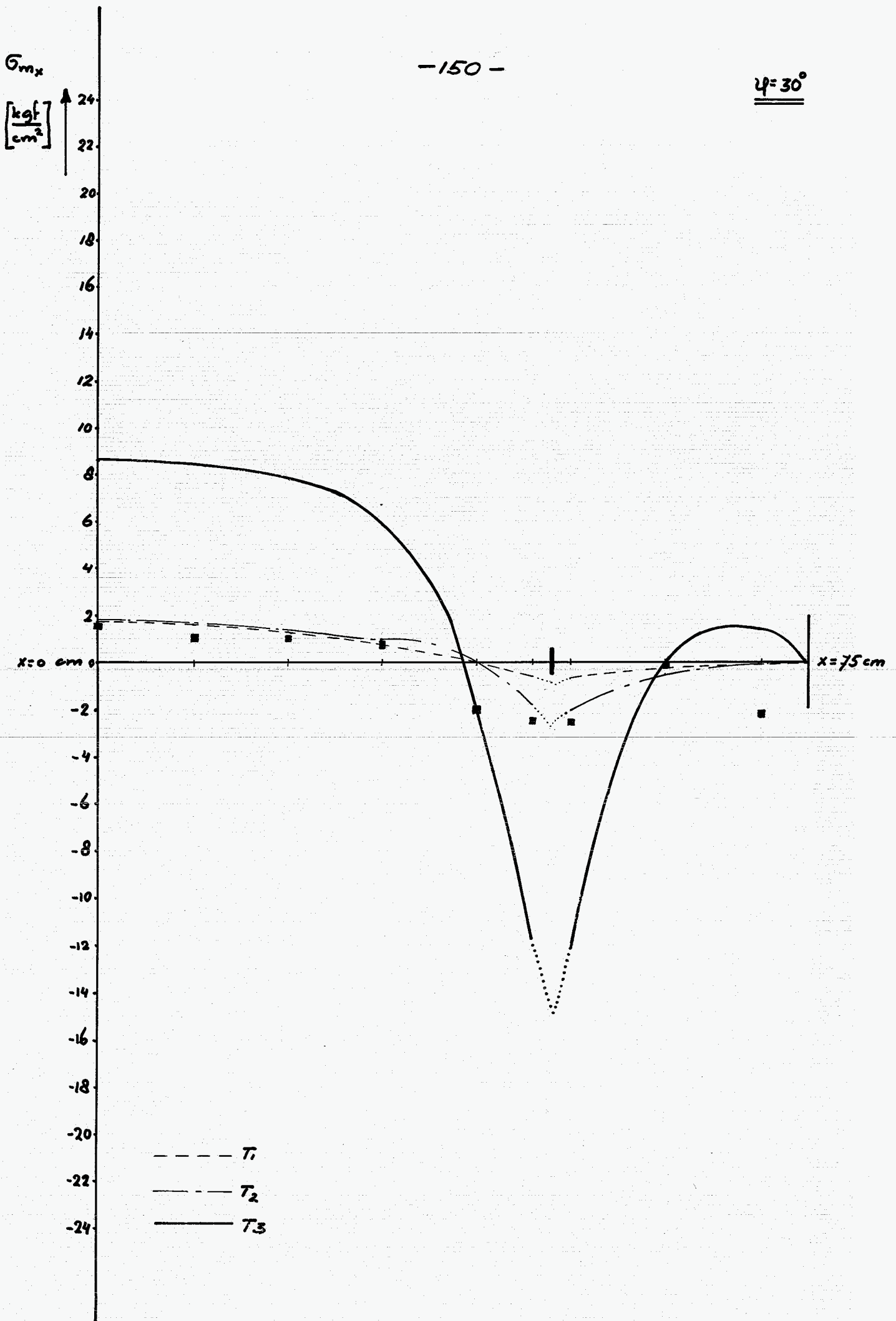
T2 : geeft de resultaten weer volgens de meer uitgebreide balkentheorie van hoofdstuk 11

T3 : geeft de resultaten weer van de schalen theorie, zoals die in hoofdstuk 12 is uitgewerkt.

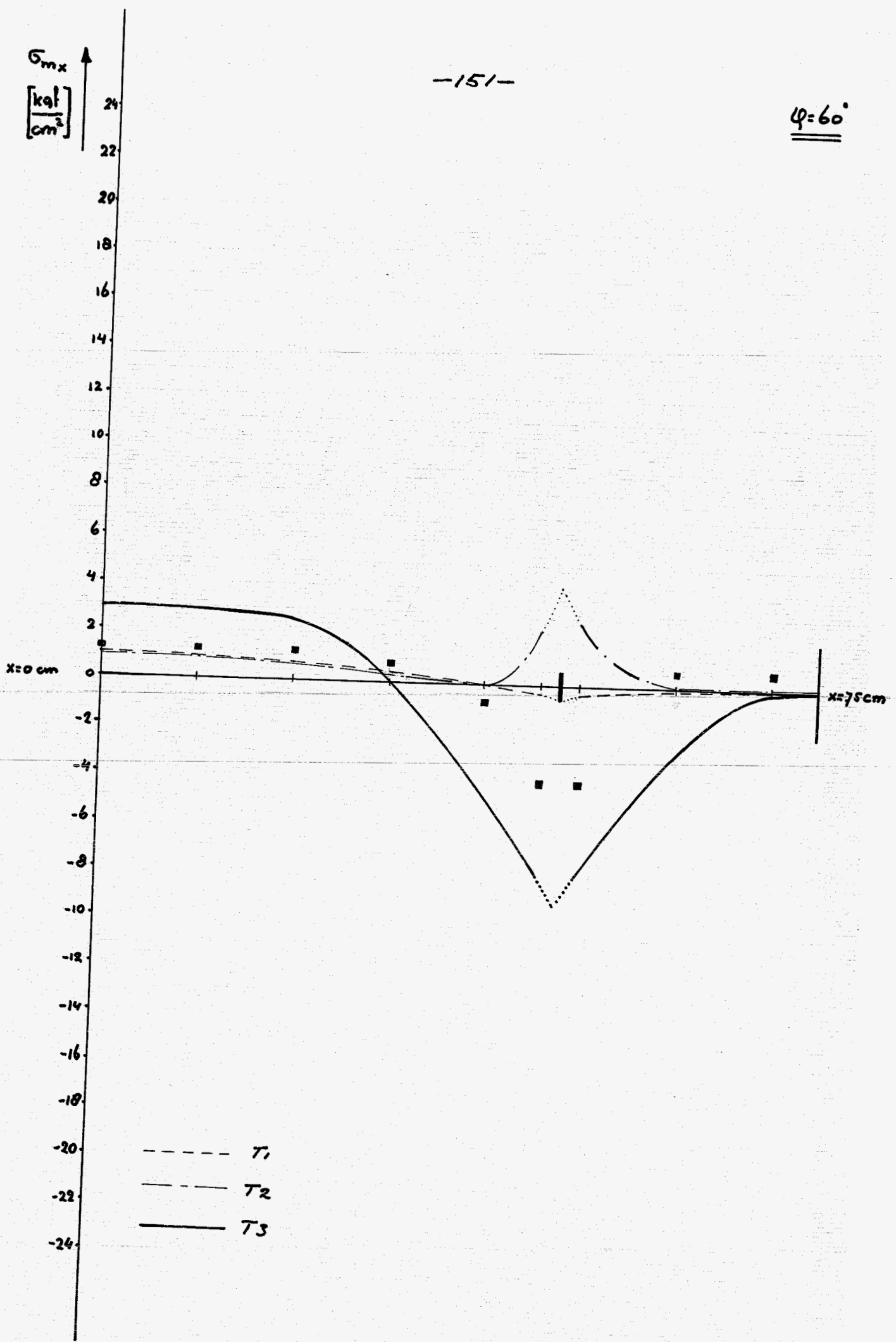
De experimentele resultaten worden aangegeven met ■

Bij de  $x$ -as staan geen schaalwaarden aangegeven omdat dit de duidelijkheid schaadt. De schaal is echter lineair en loopt van 0 tot 75 cm.



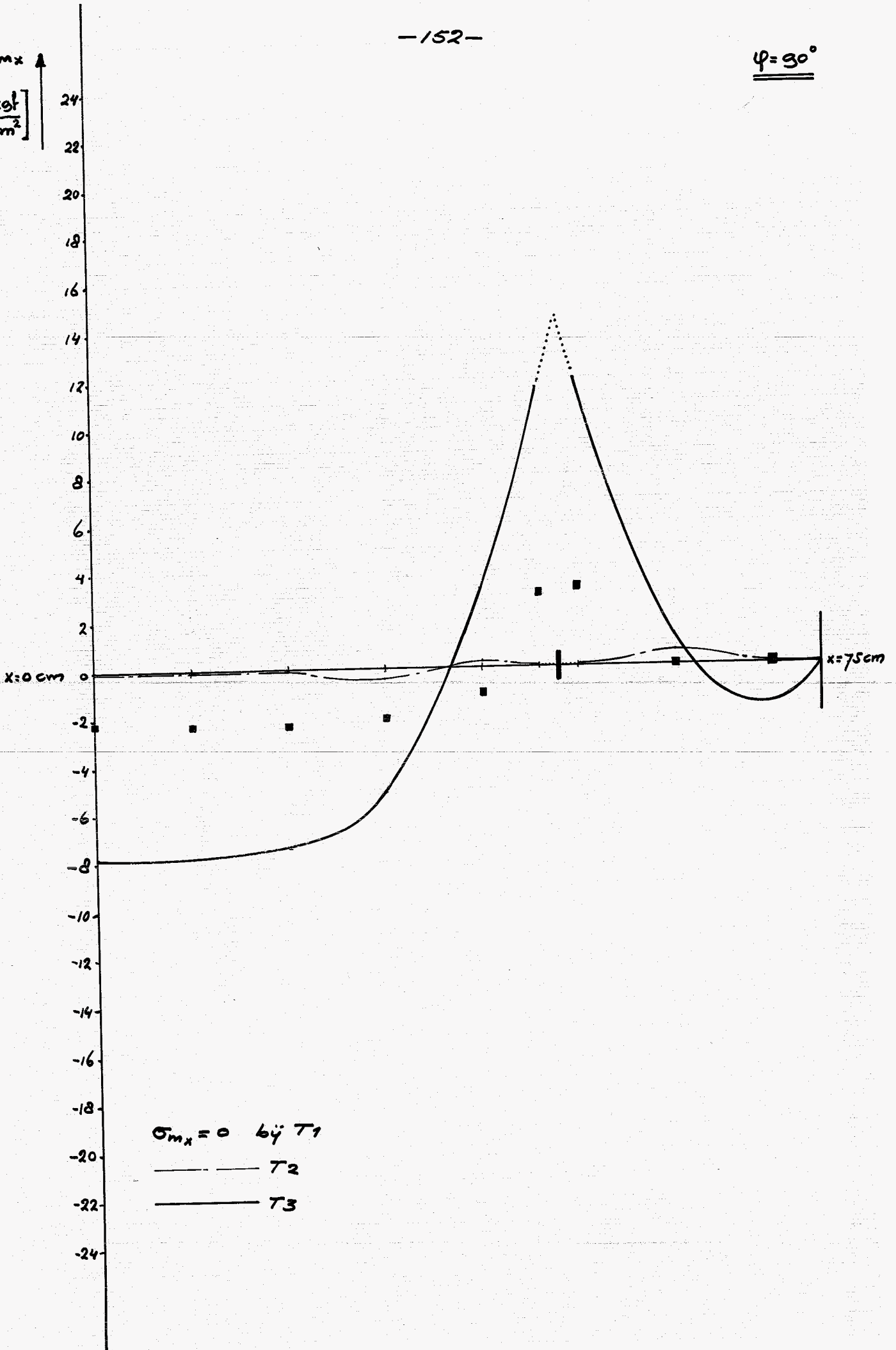


$\varphi = 60^\circ$



$\varphi = 90^\circ$

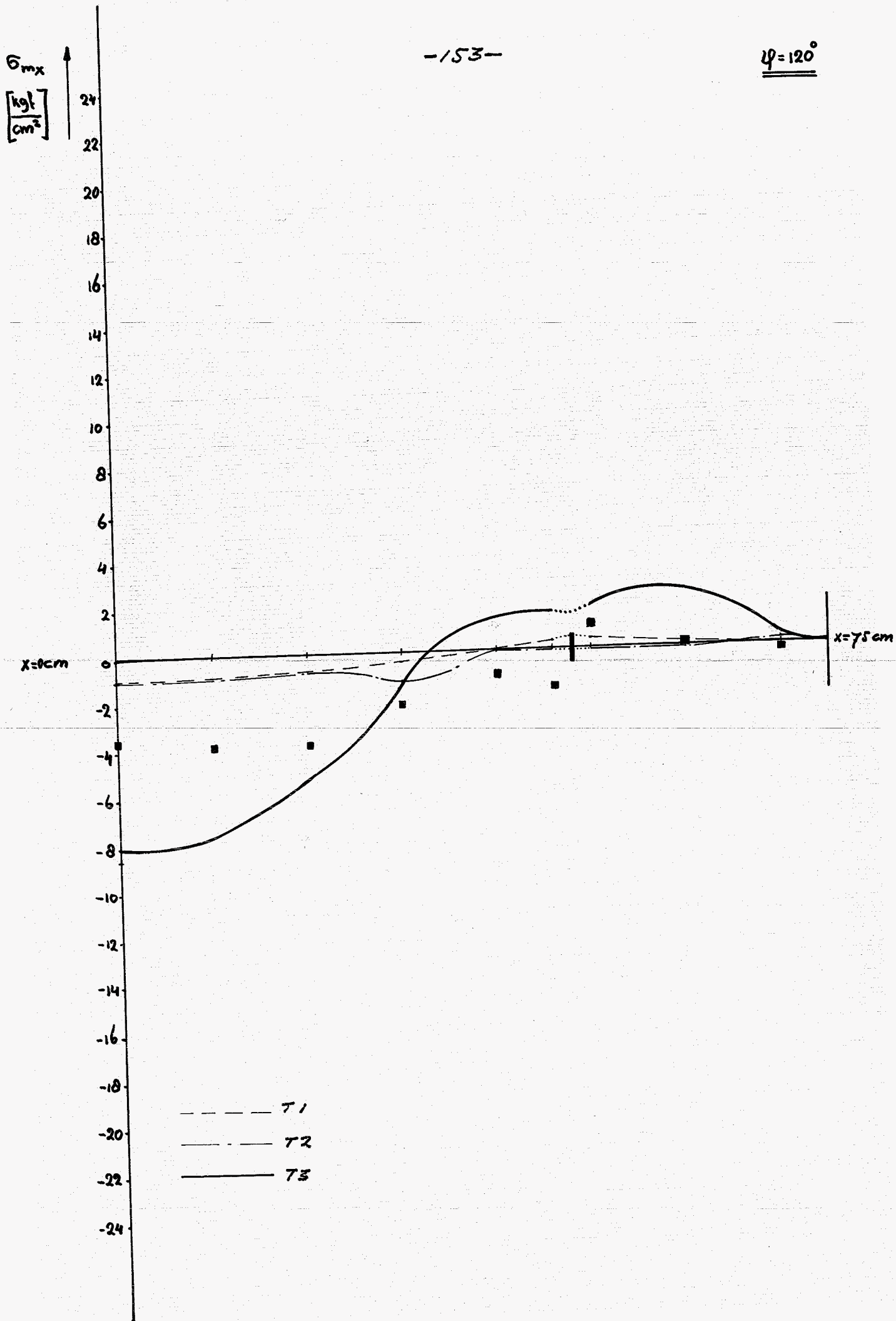
$\sigma_{mx}$  ↑  
[ $\frac{\text{kgf}}{\text{cm}^2}$ ]



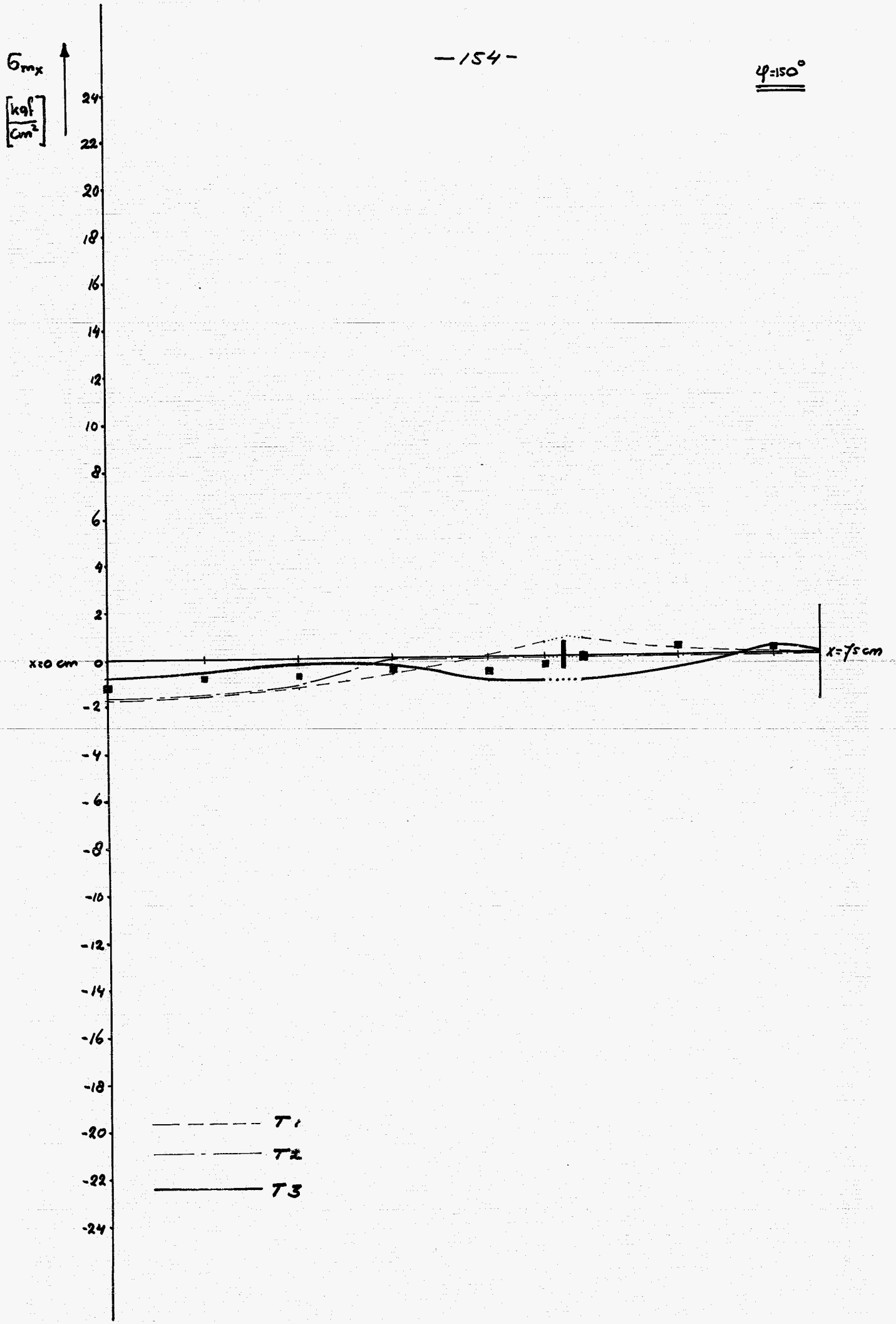
$\sigma_{mx} = 0$  by  $T_1$

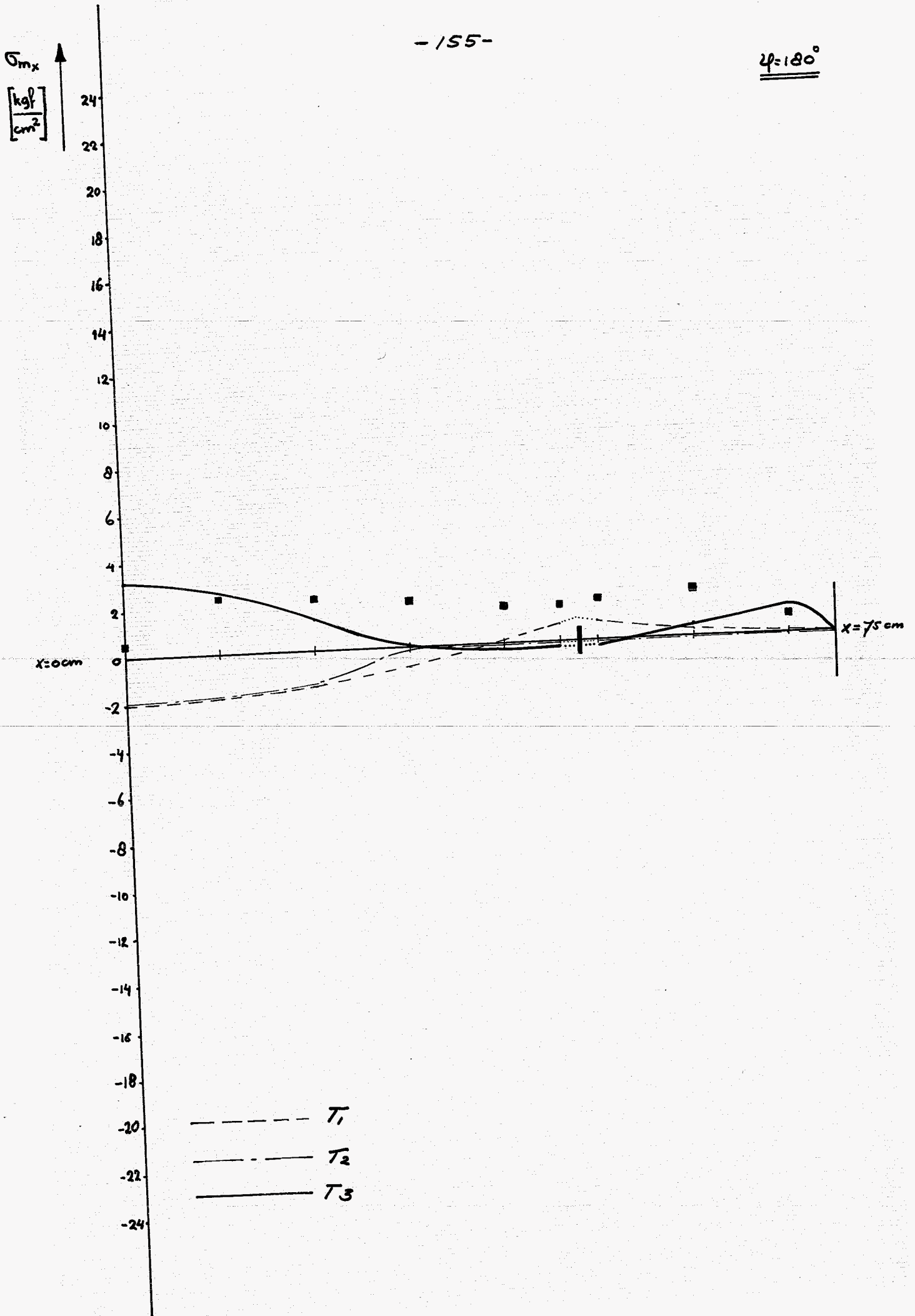
— · —  $T_2$

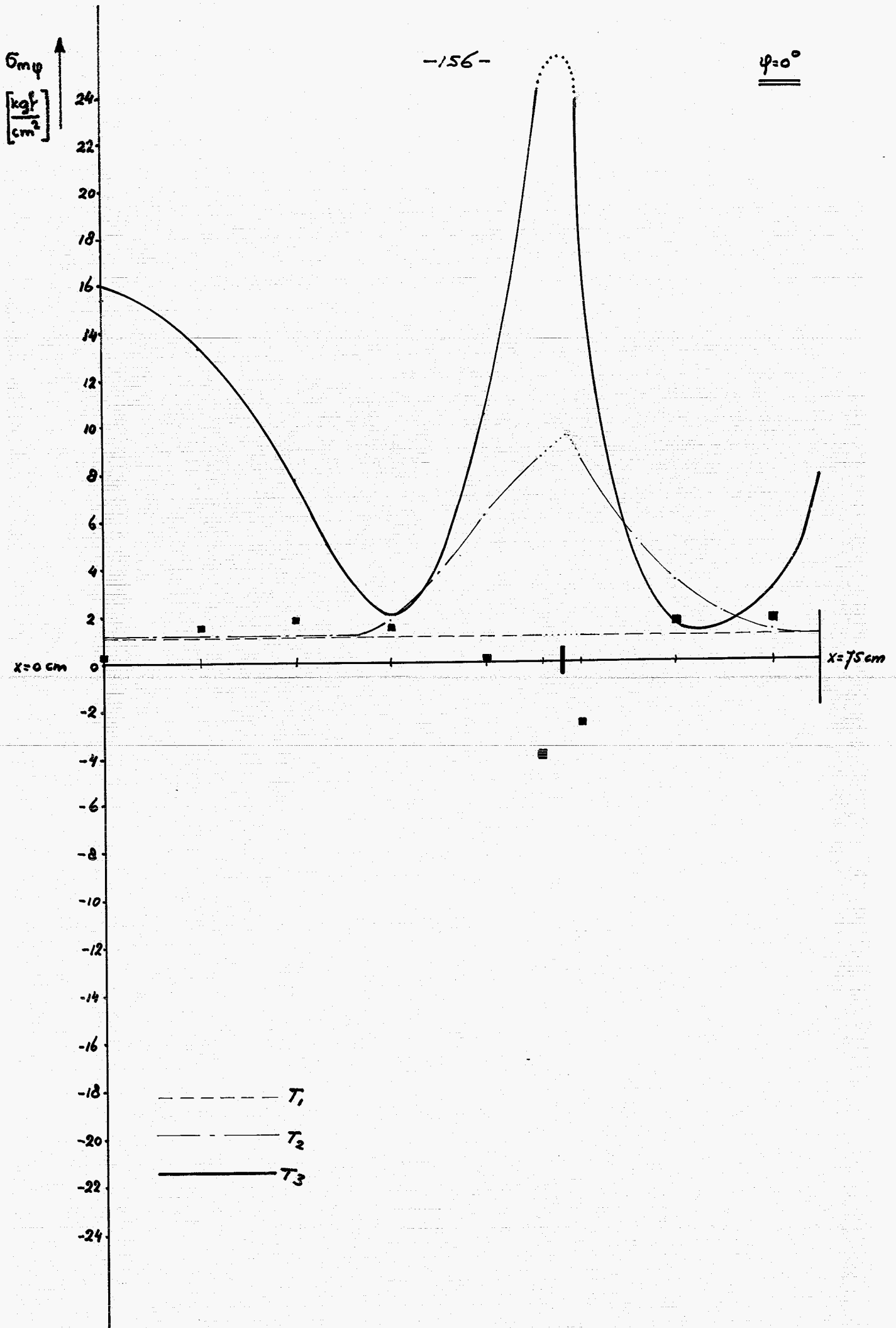
—  $T_3$

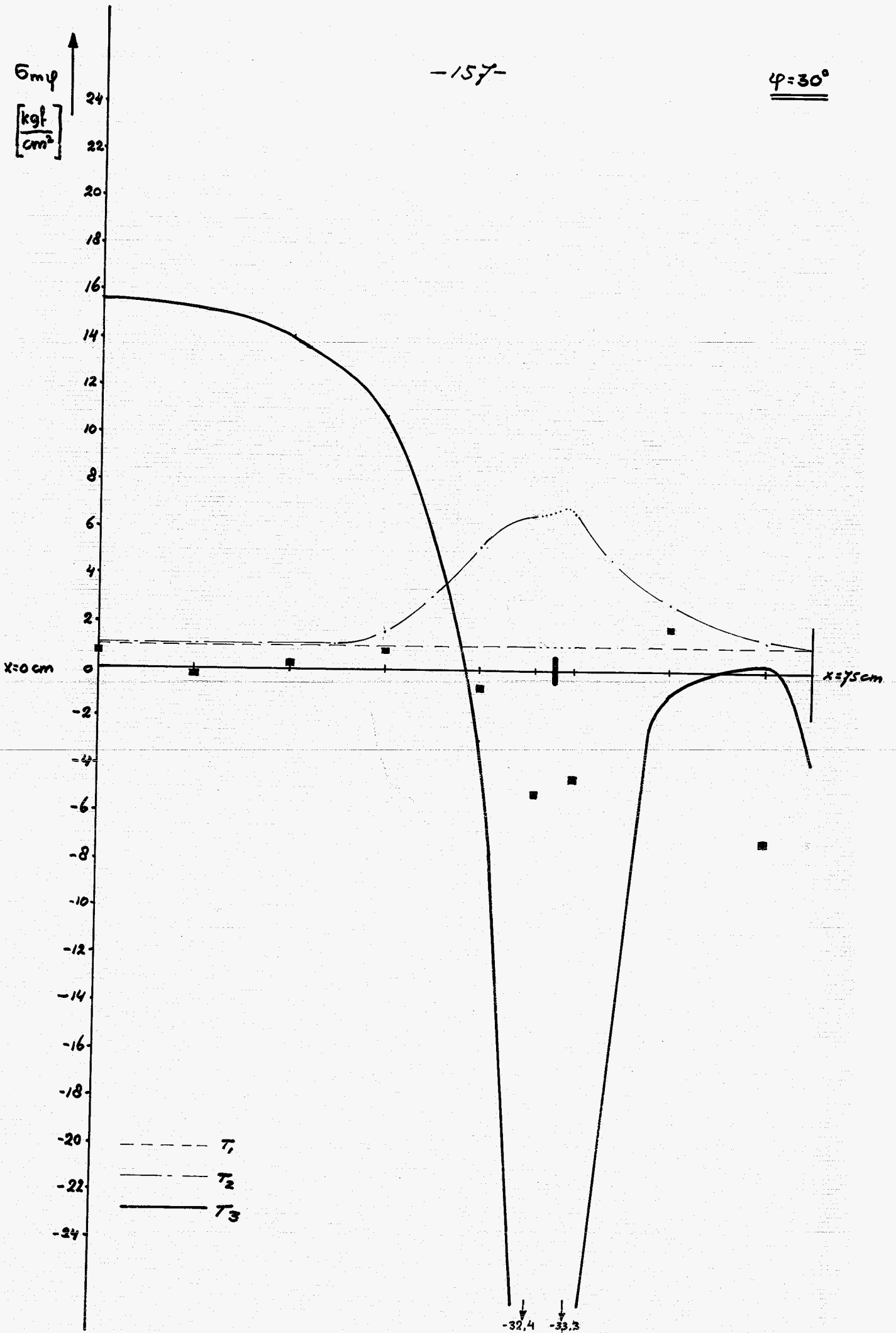


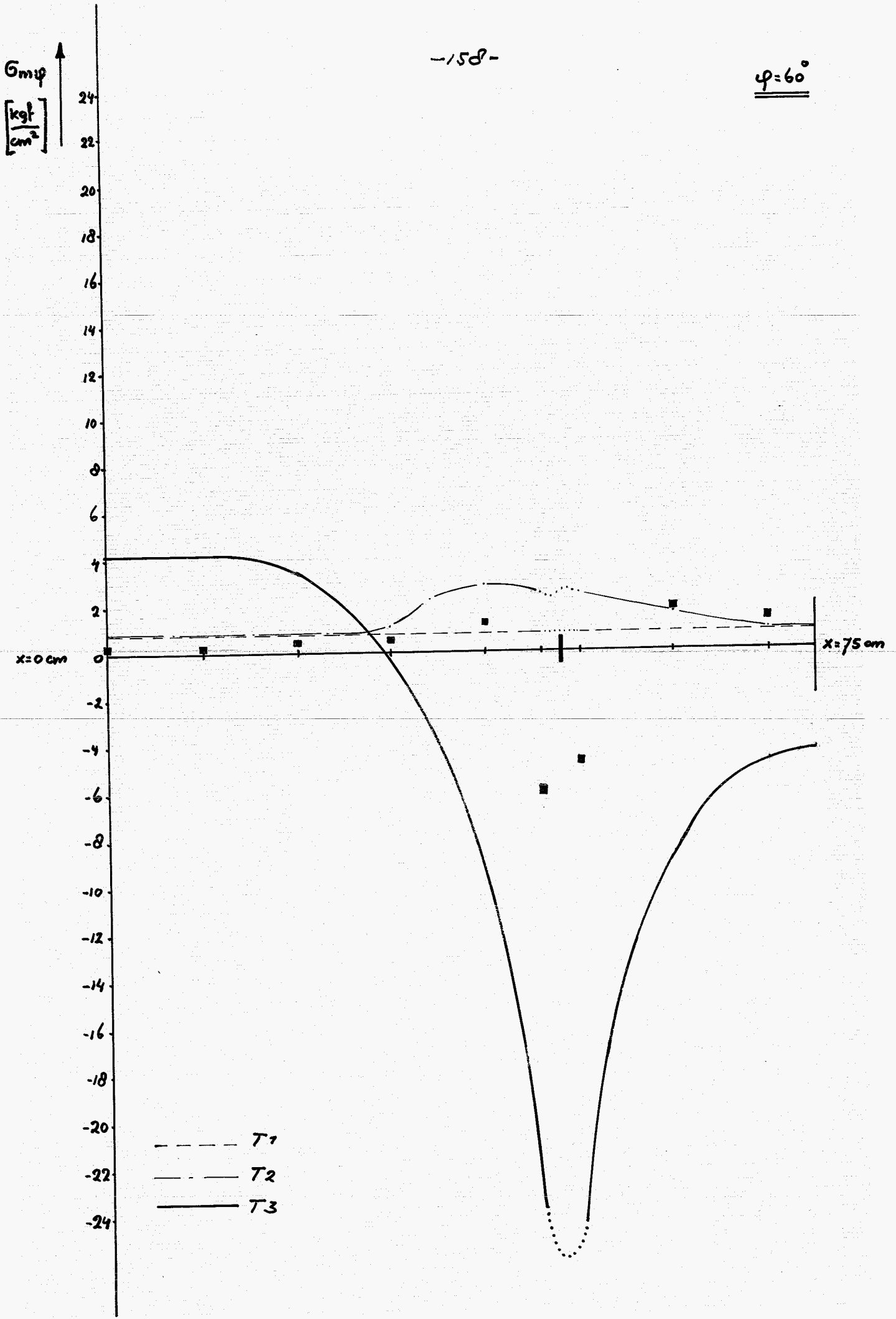


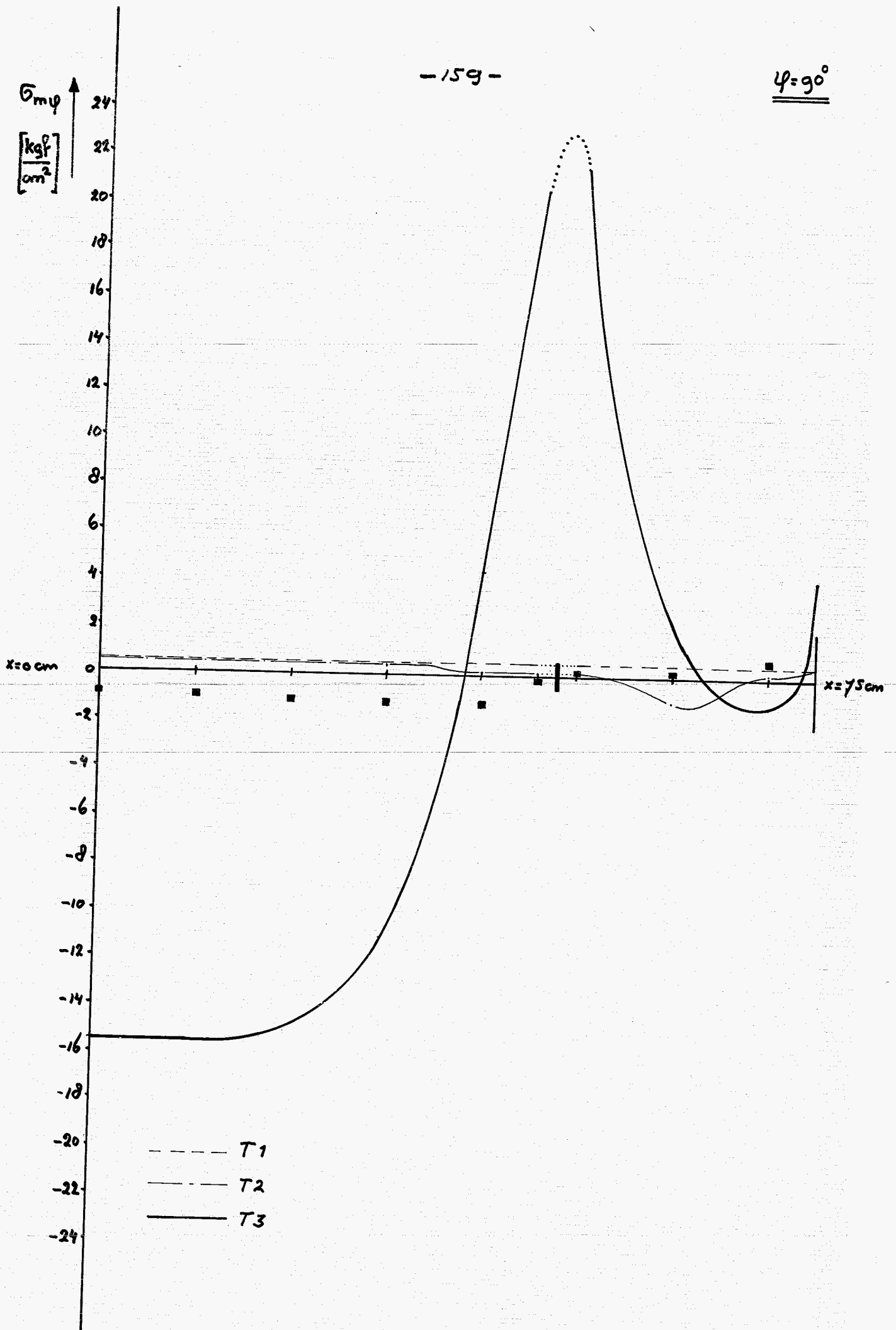


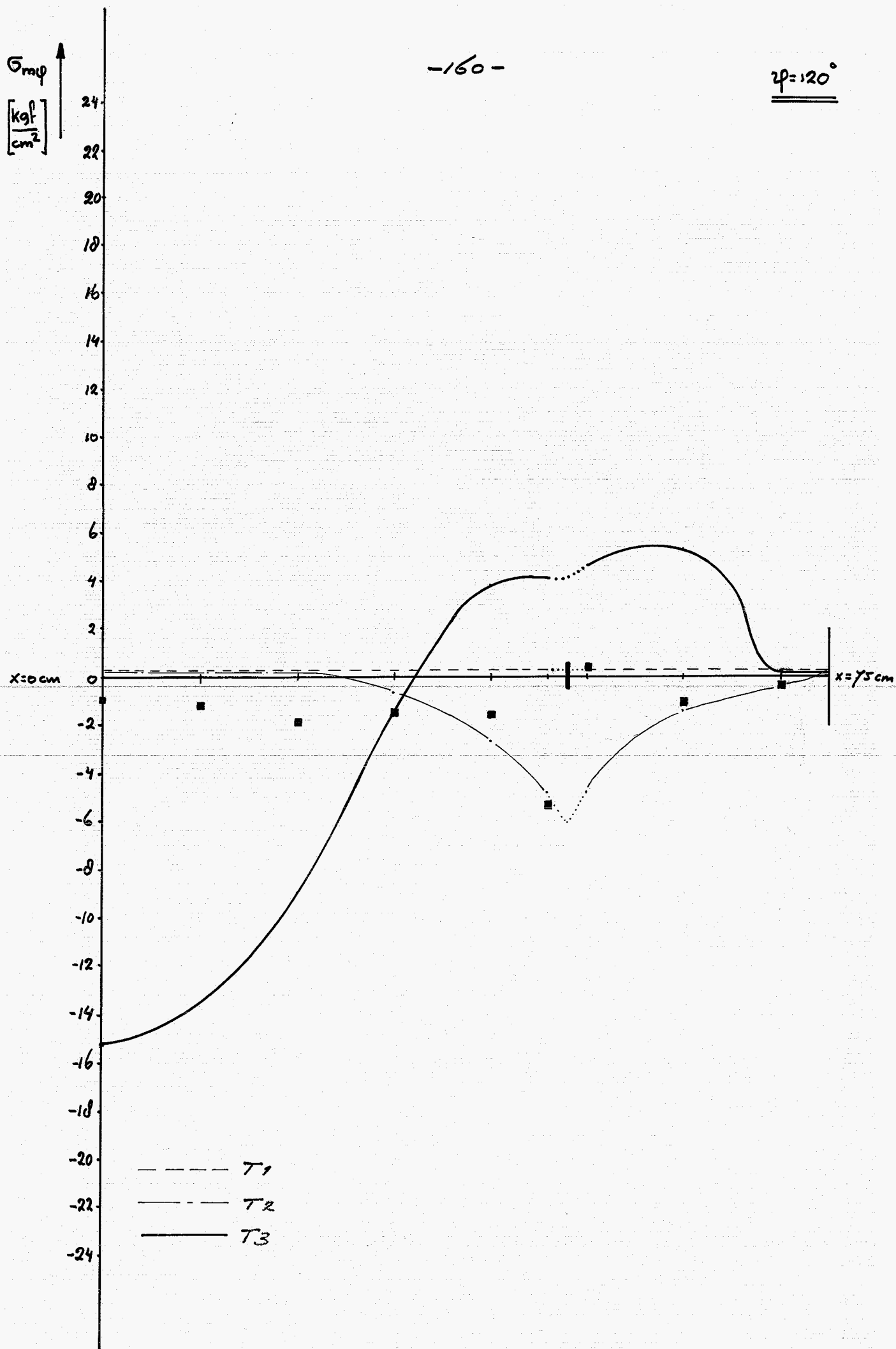


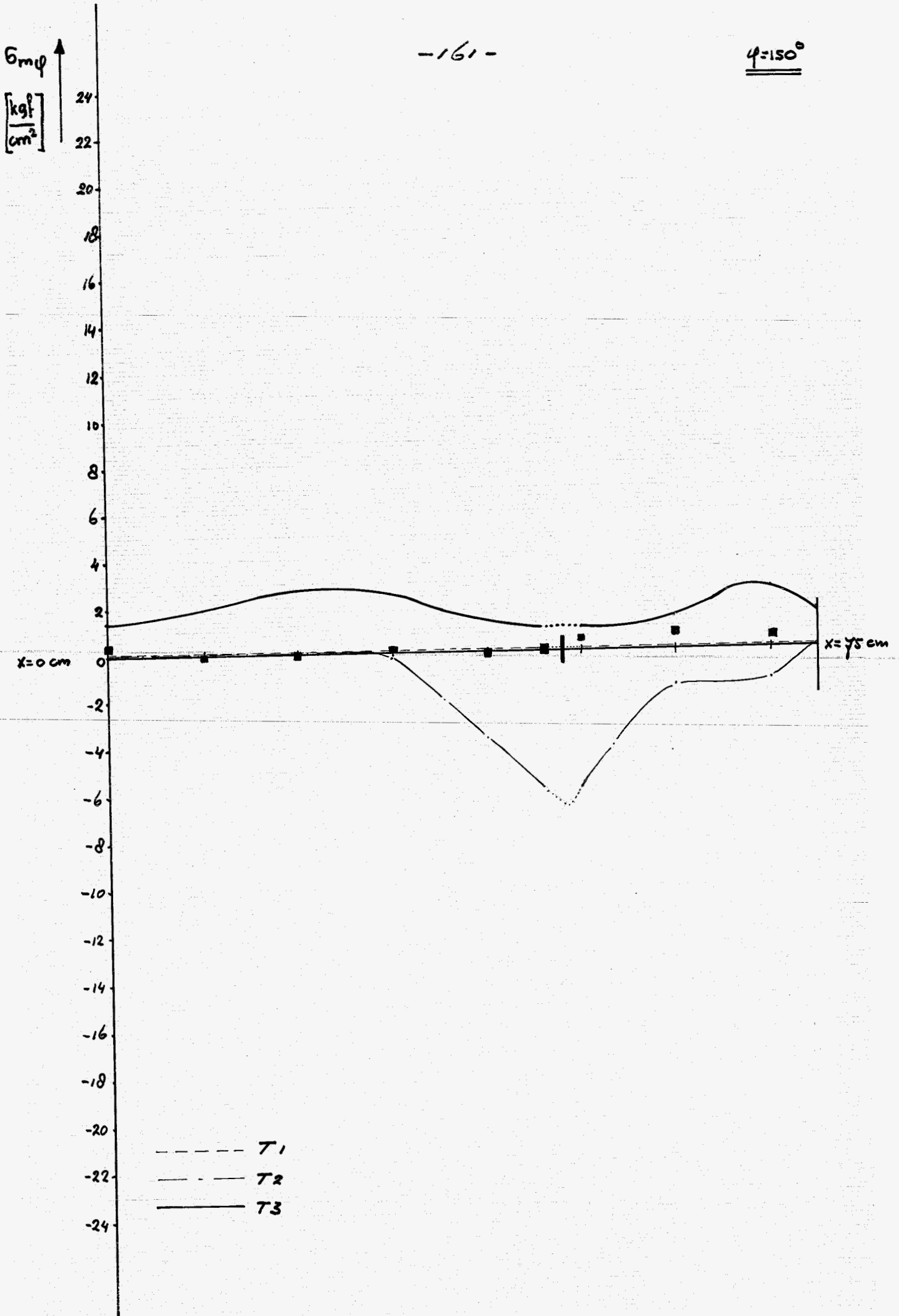




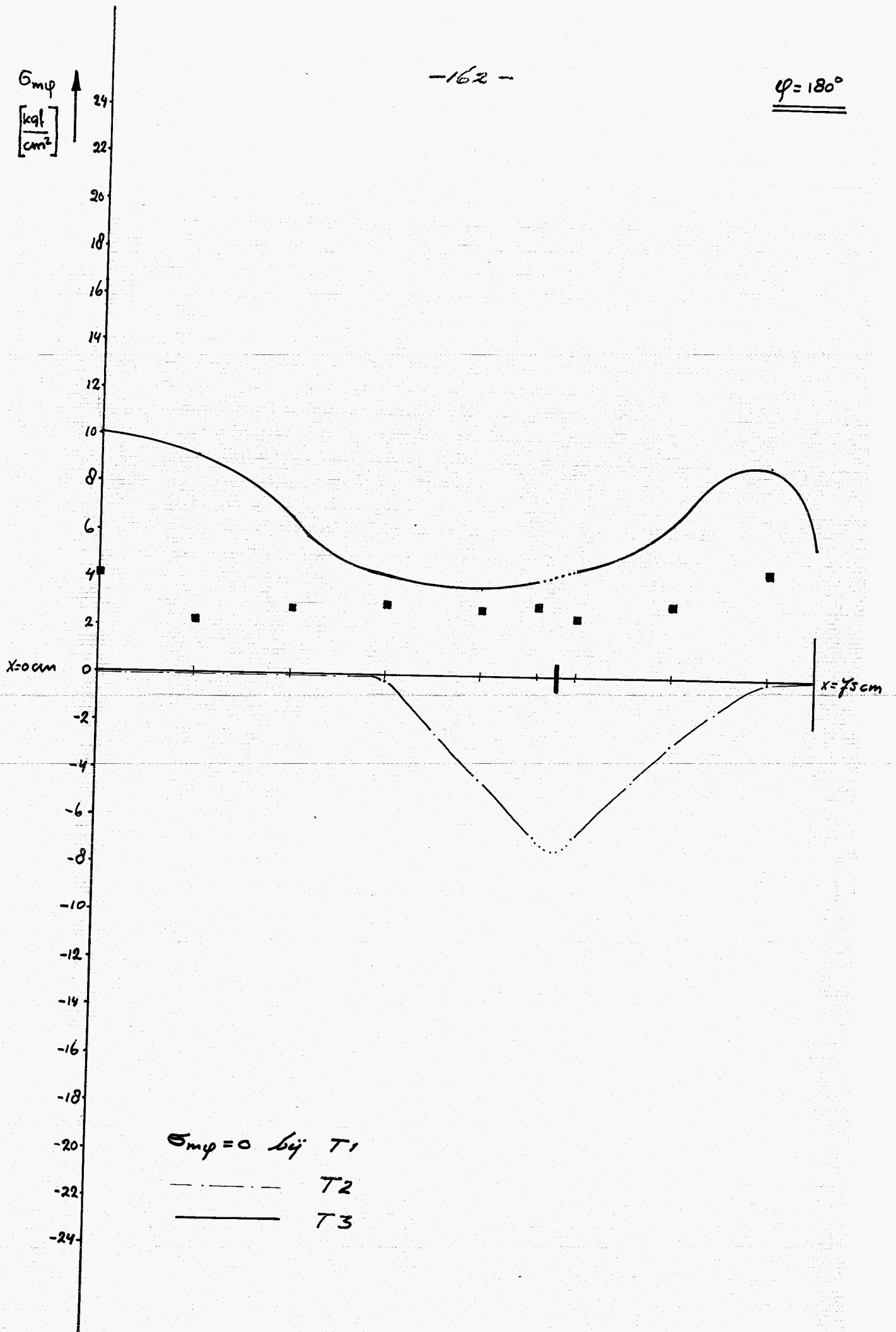


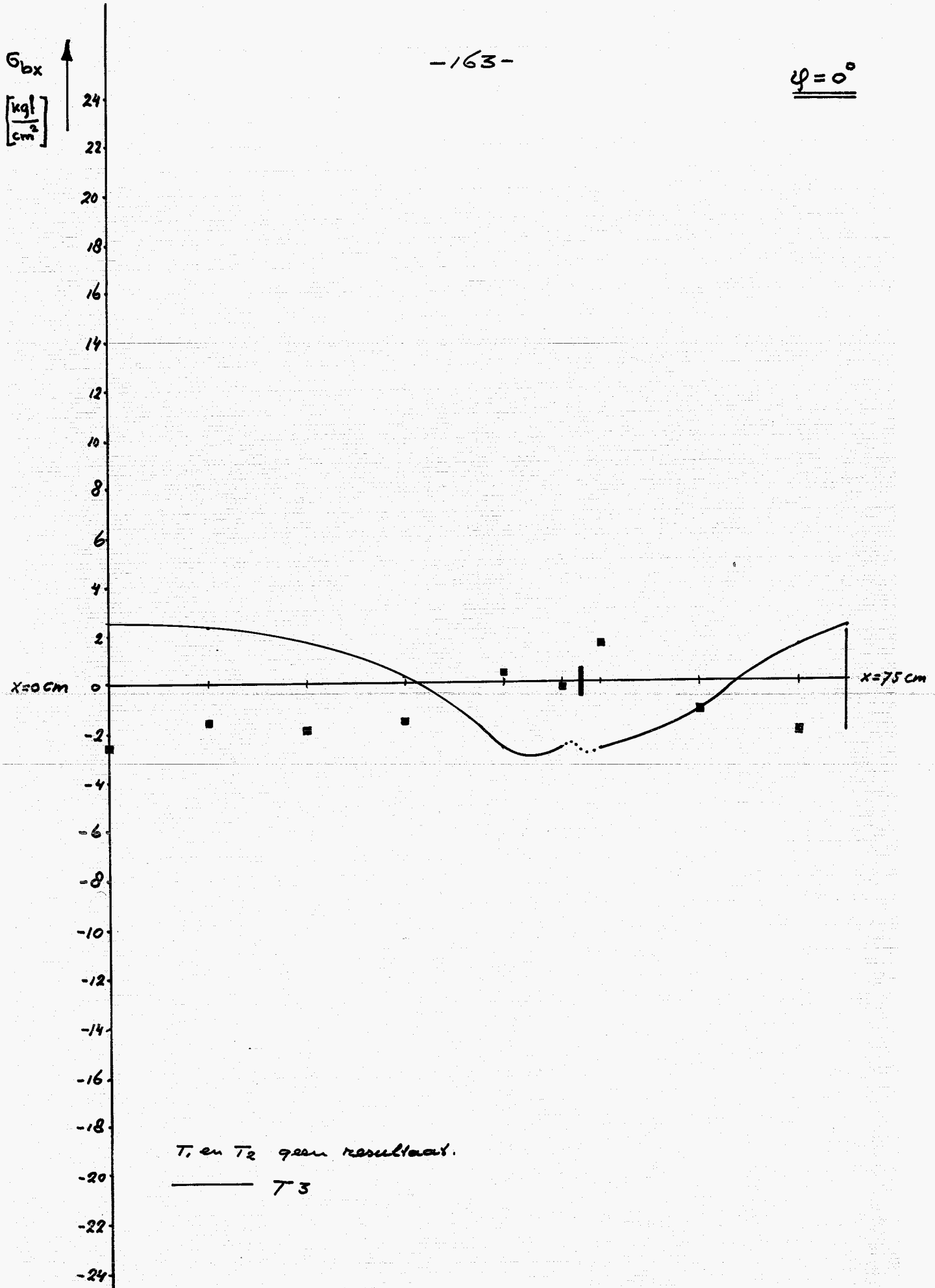


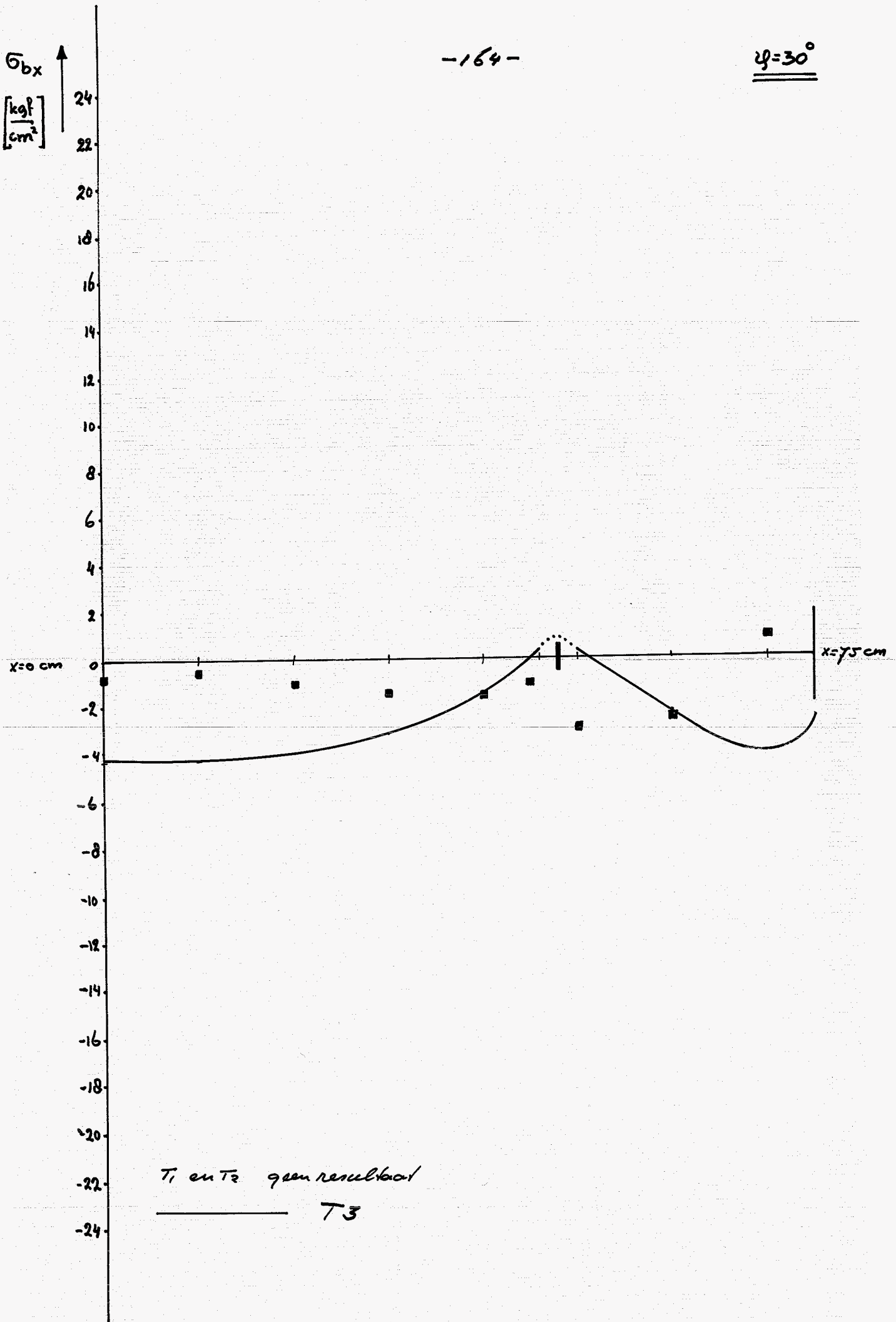


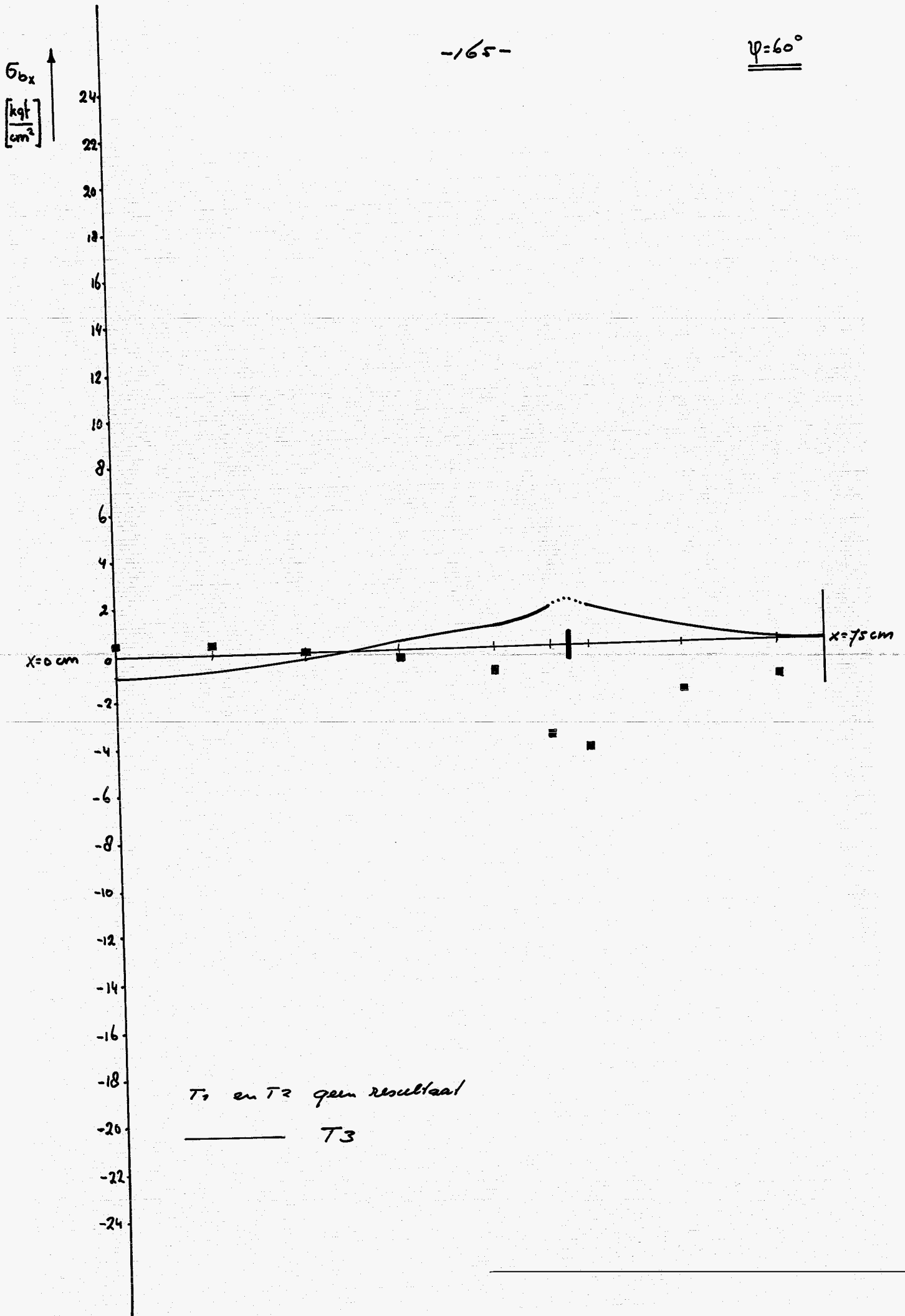


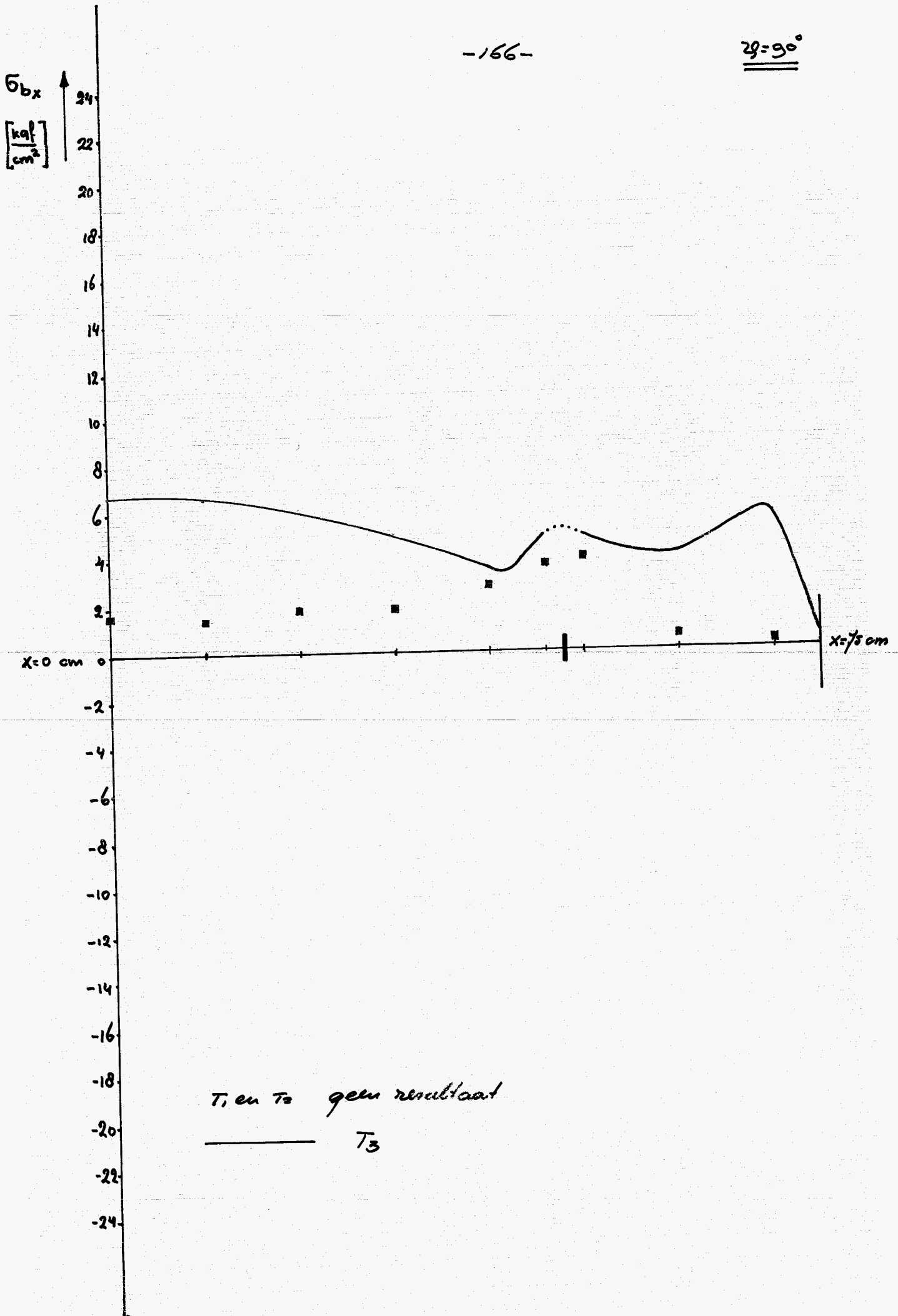






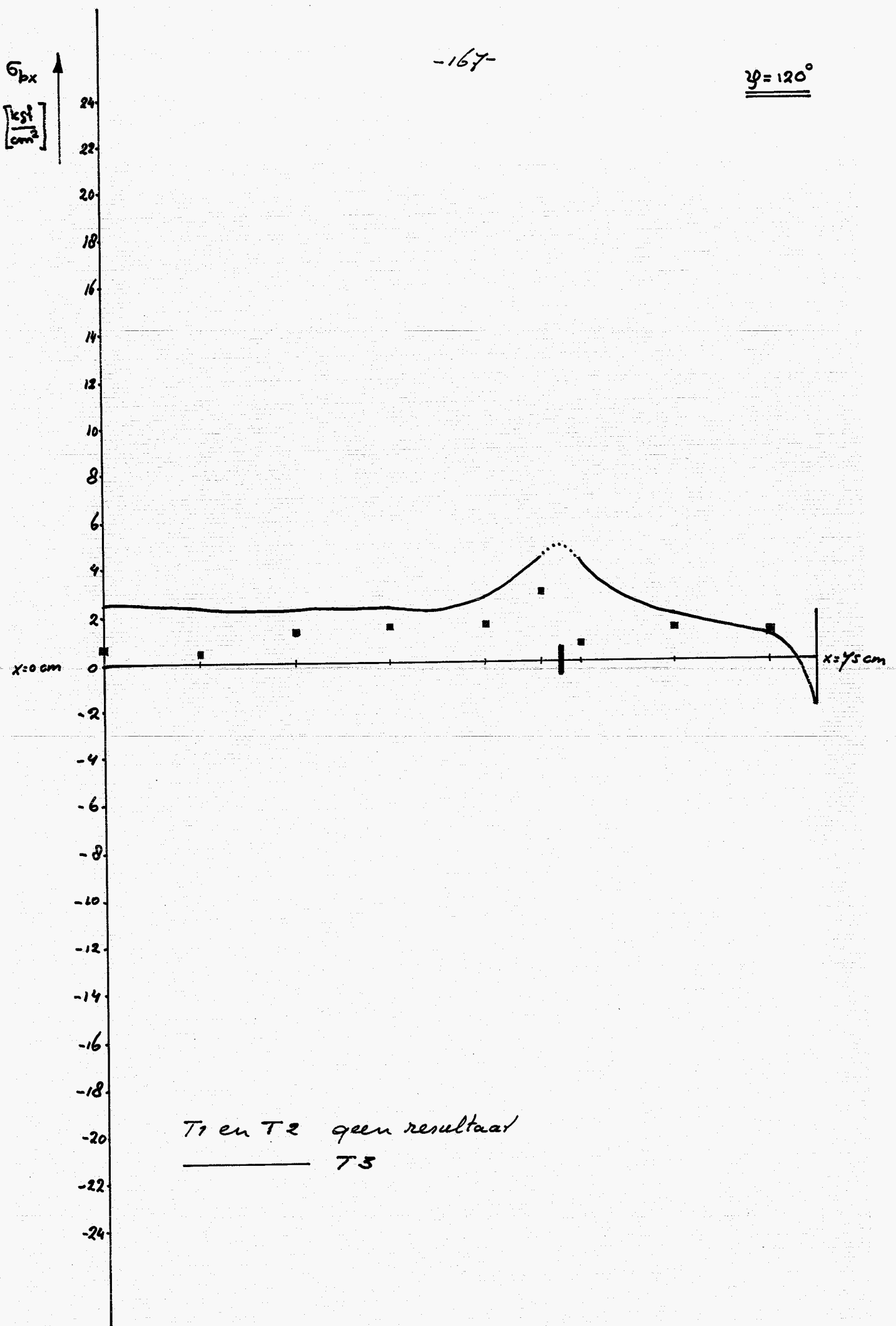




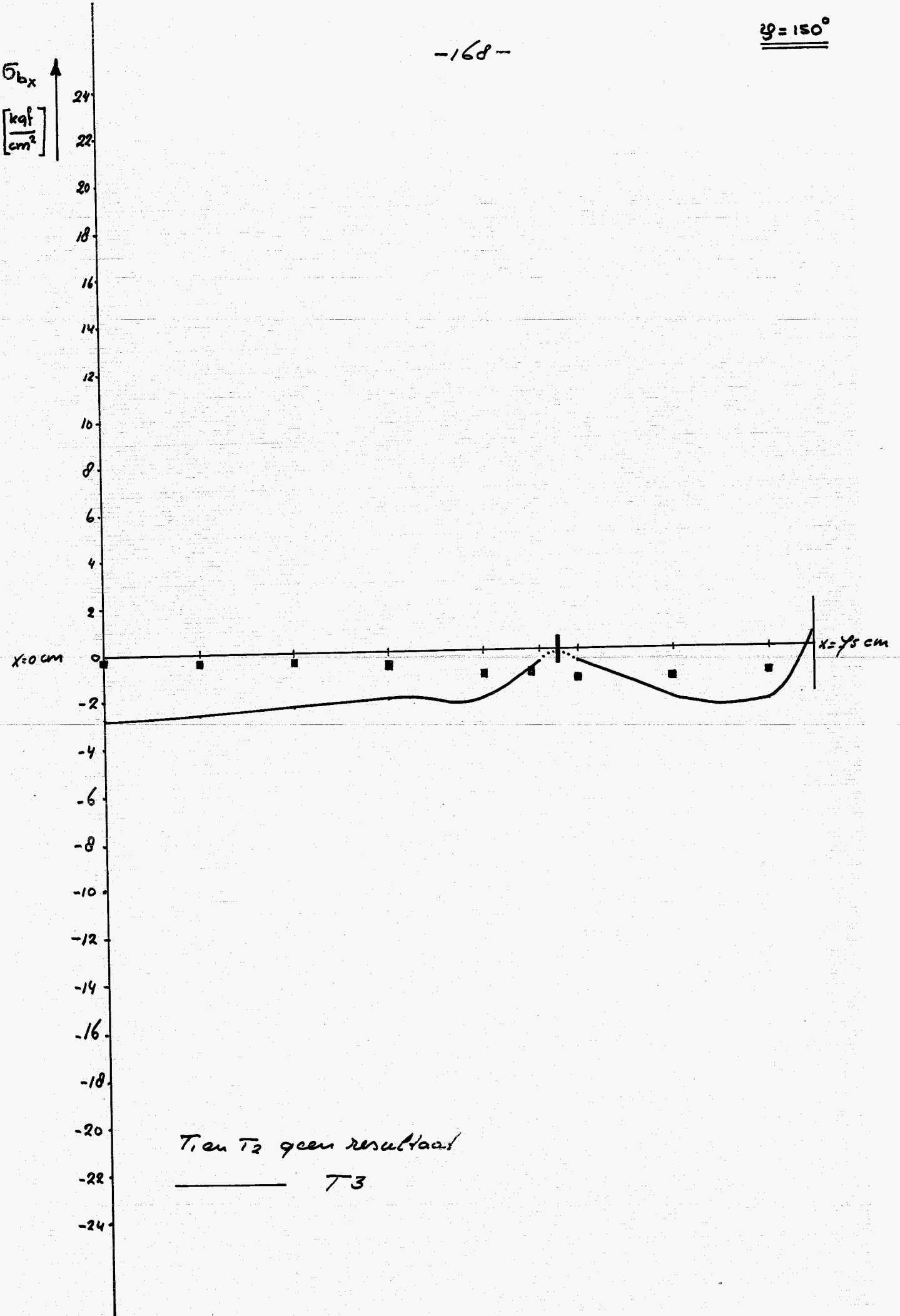


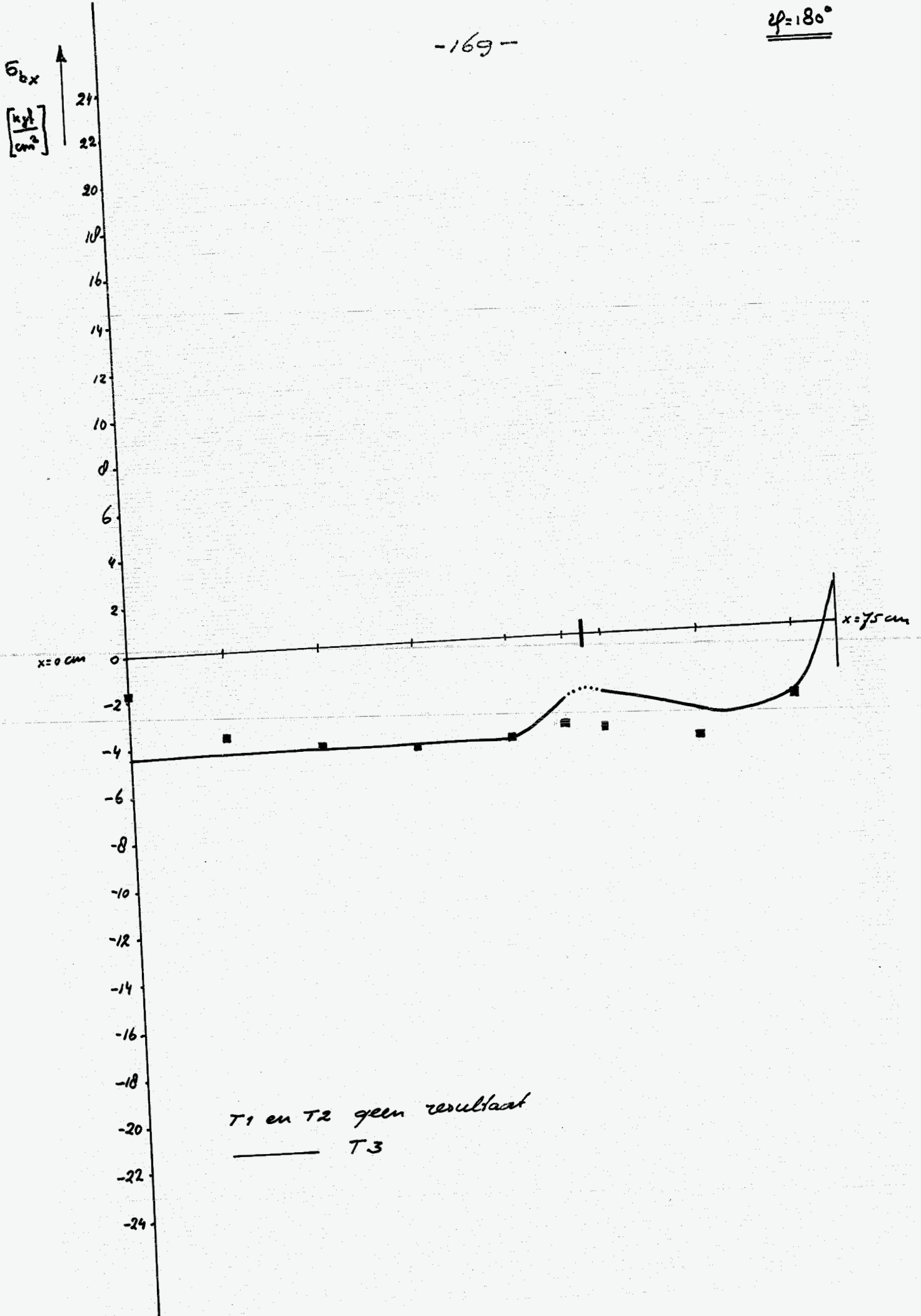
-167-

$\psi = 120^\circ$

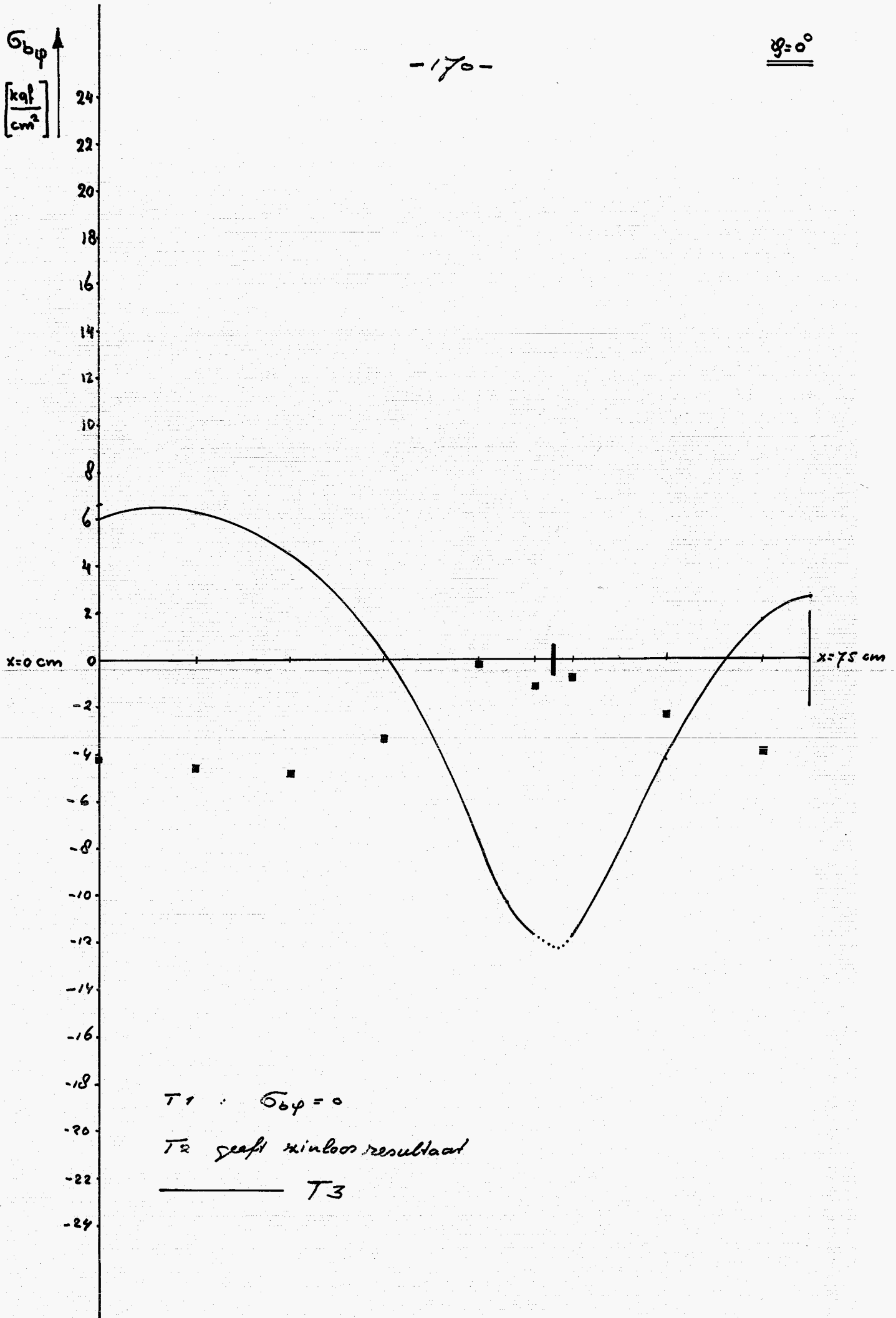


T1 en T2 geen resultaat  
————— T3







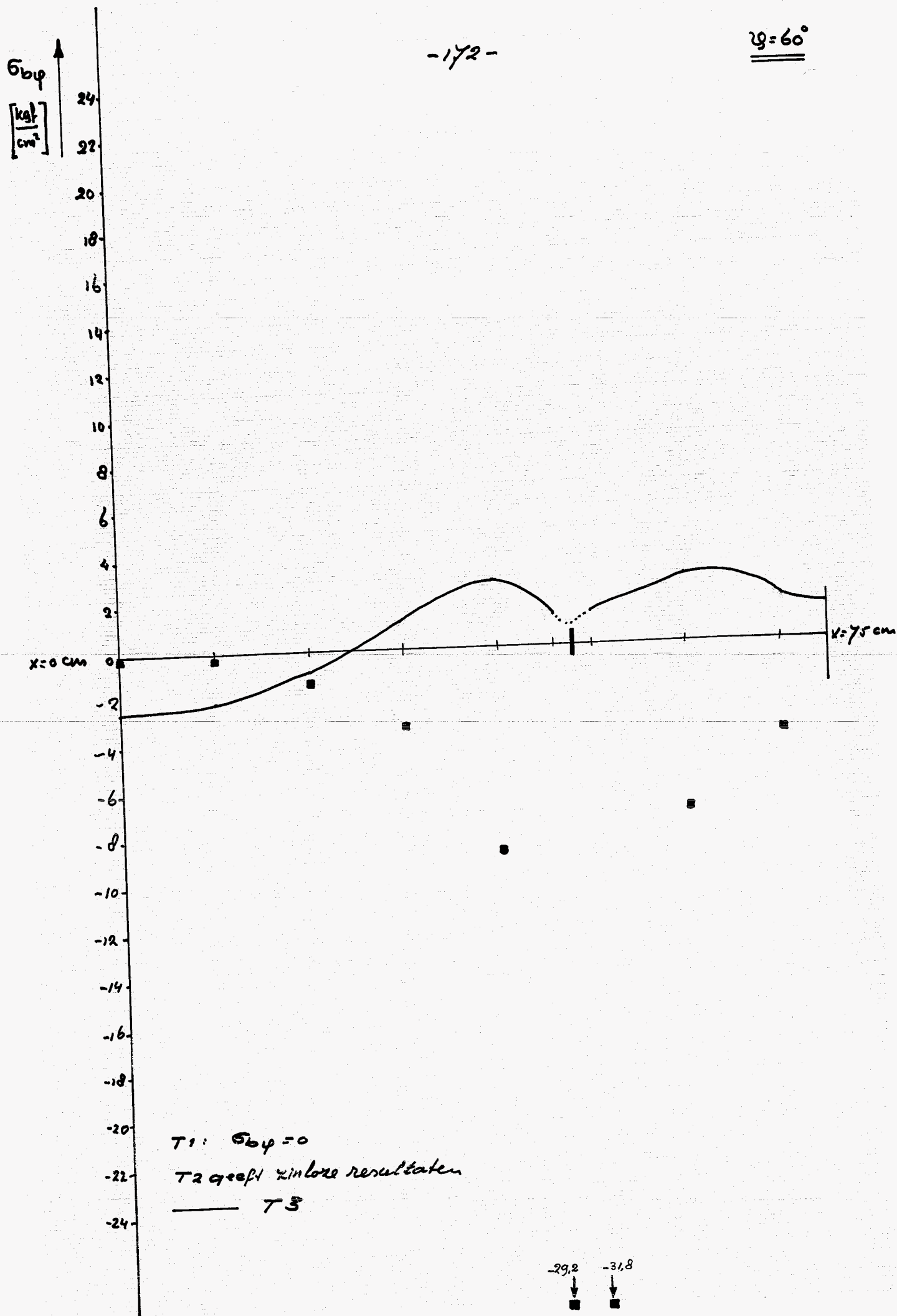


T1 :  $\sigma_{b\varphi} = 0$

T2 geeft minloop resultaat

———— T3

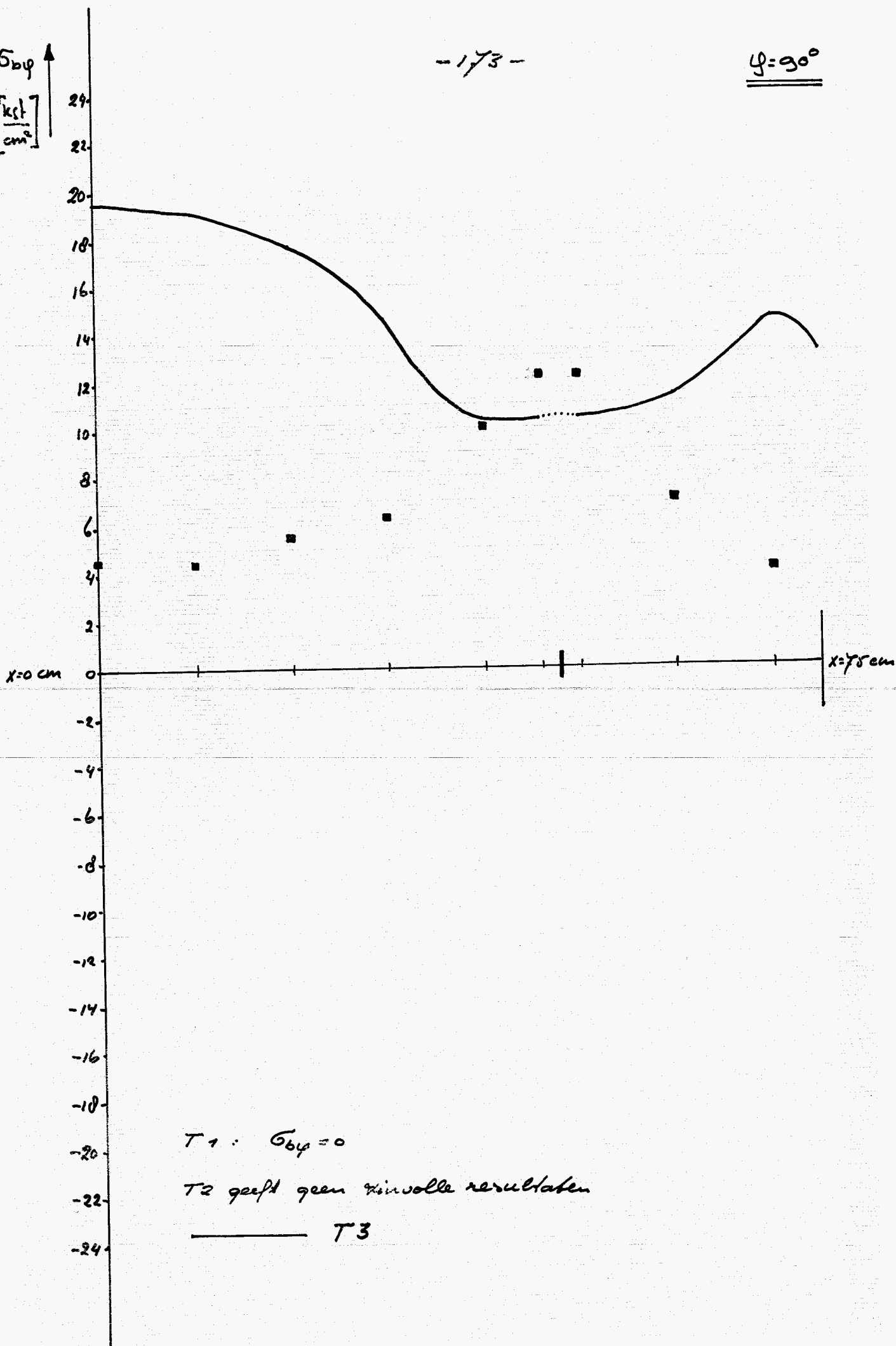


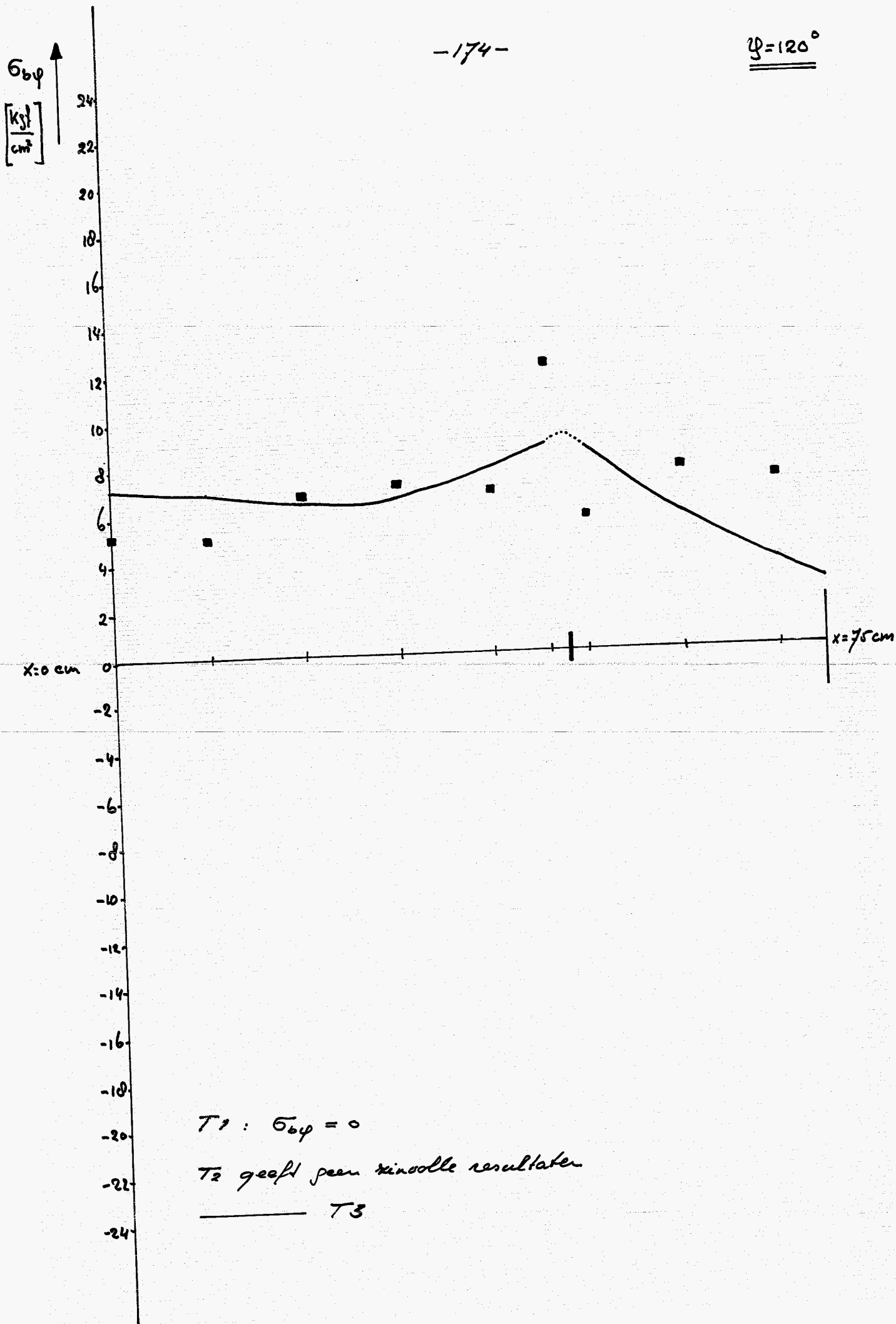


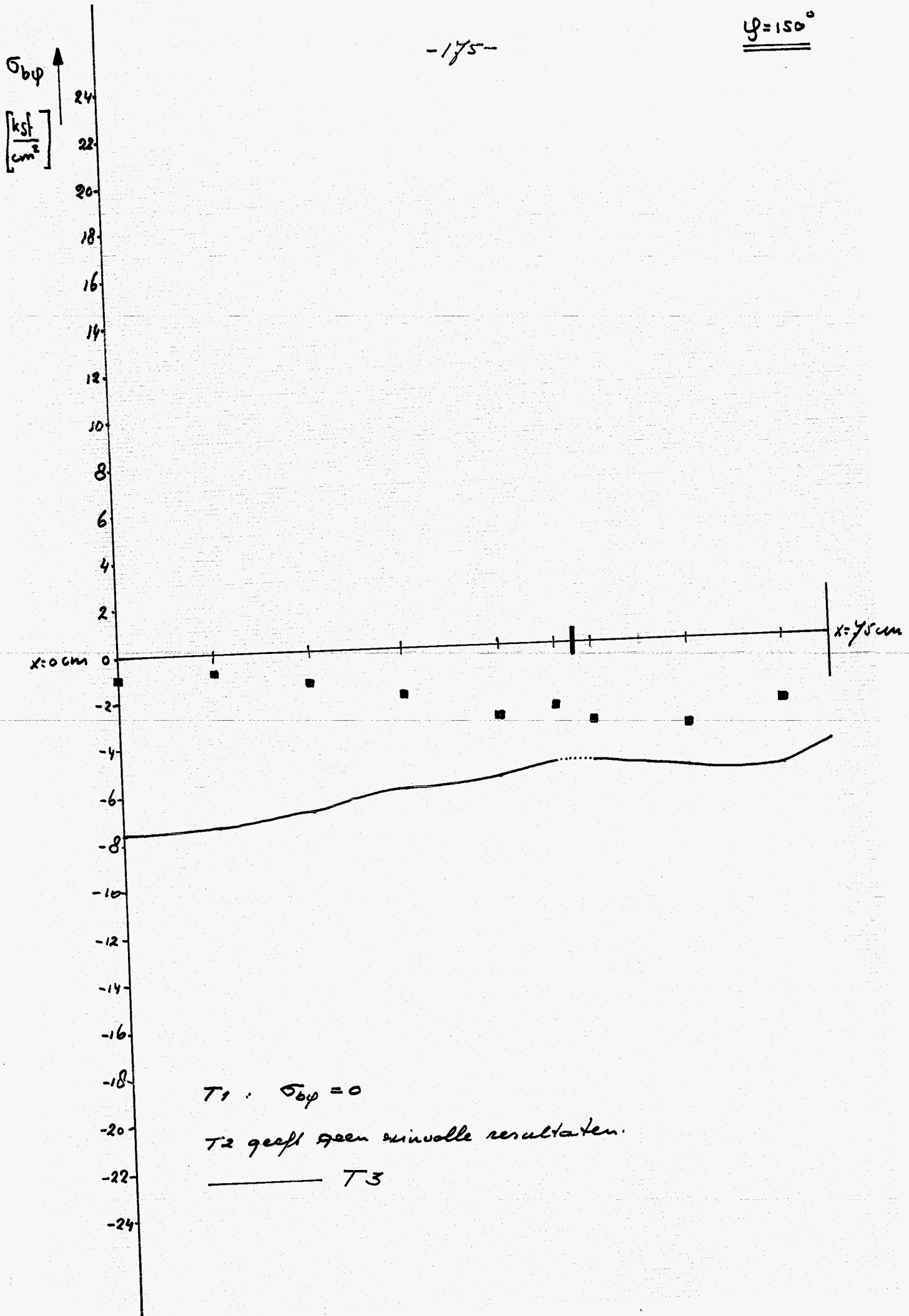
T1:  $\sigma_{b4} = 0$   
 T2 geeft zinloze resultaten  
 ——— T3

-29.2  
 ↓  
 -31.8  
 ↓

$\sigma_{by}$  ↑  
[ $\frac{kgf}{cm^2}$ ]



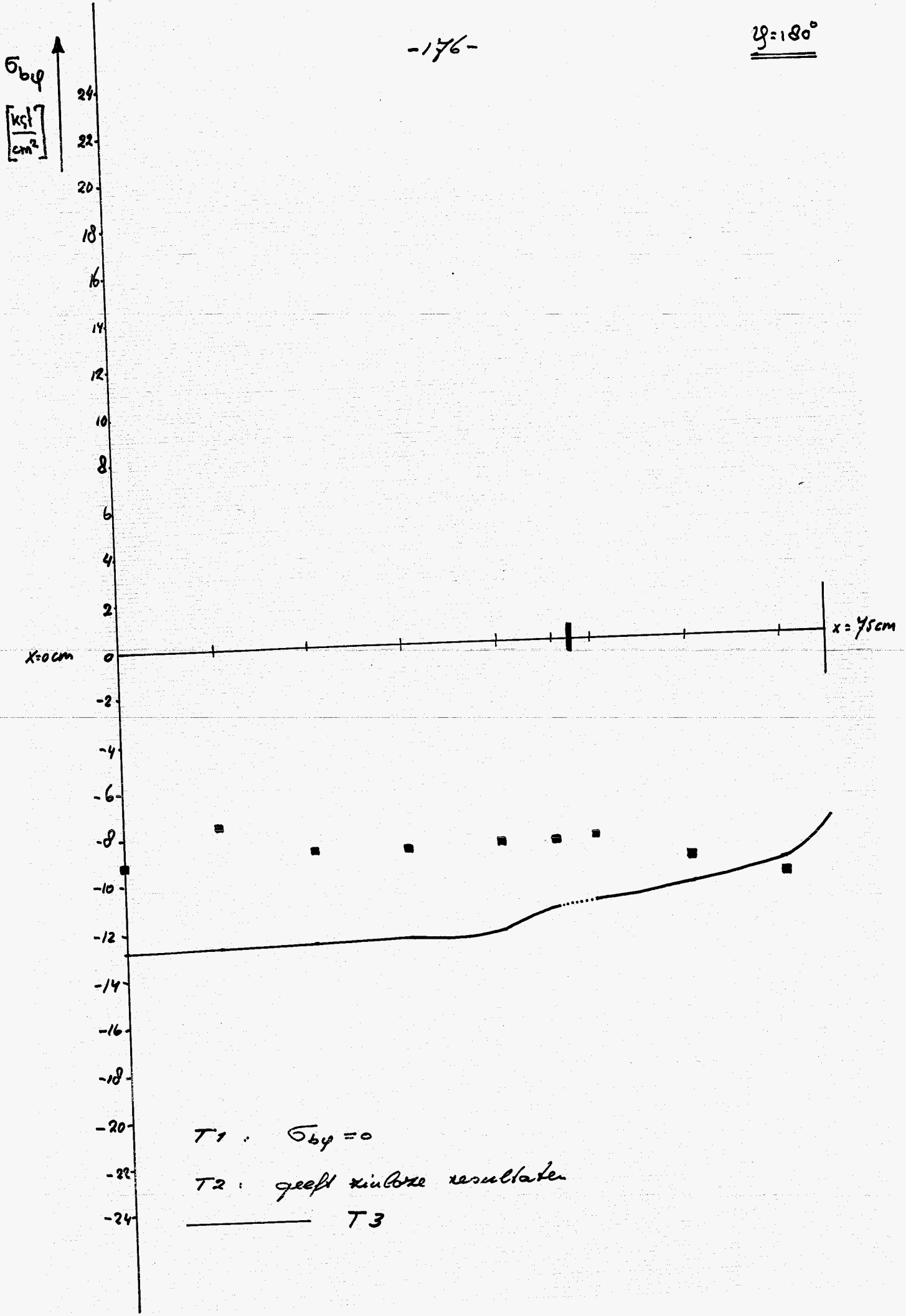




T1 :  $\sigma_{b\varphi} = 0$

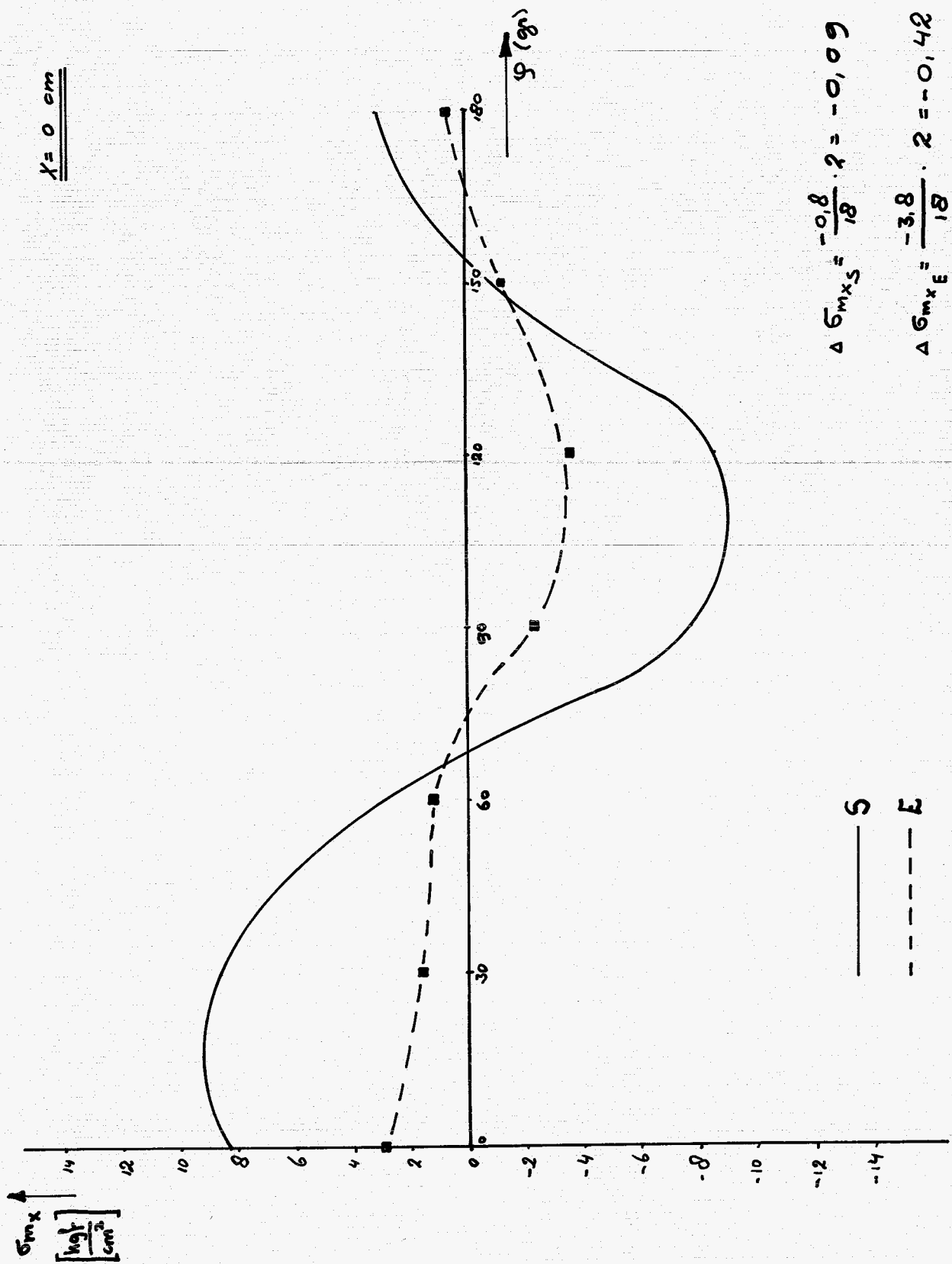
T2 geeft geen zinvolle resultaten.

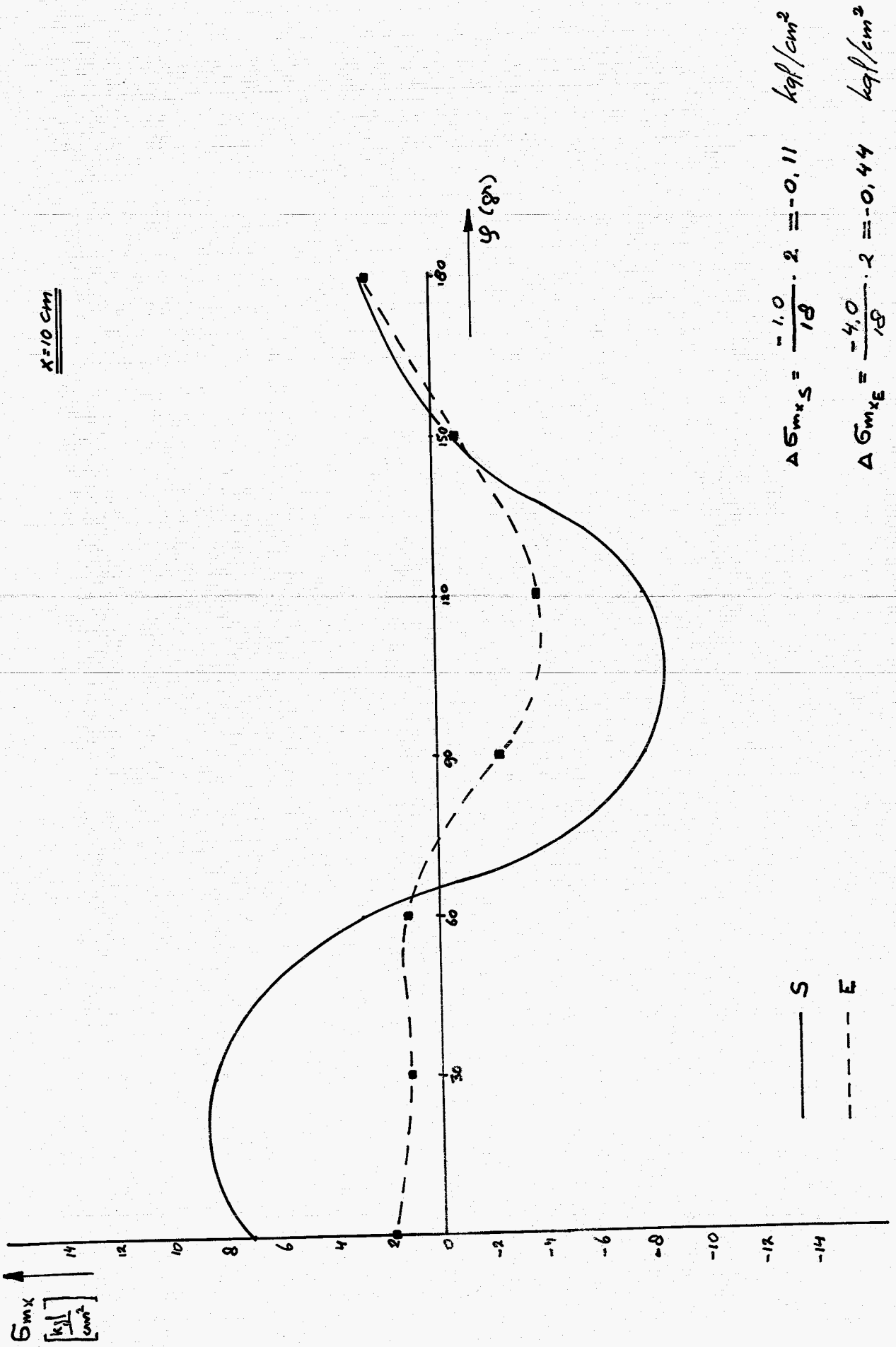
———— T3

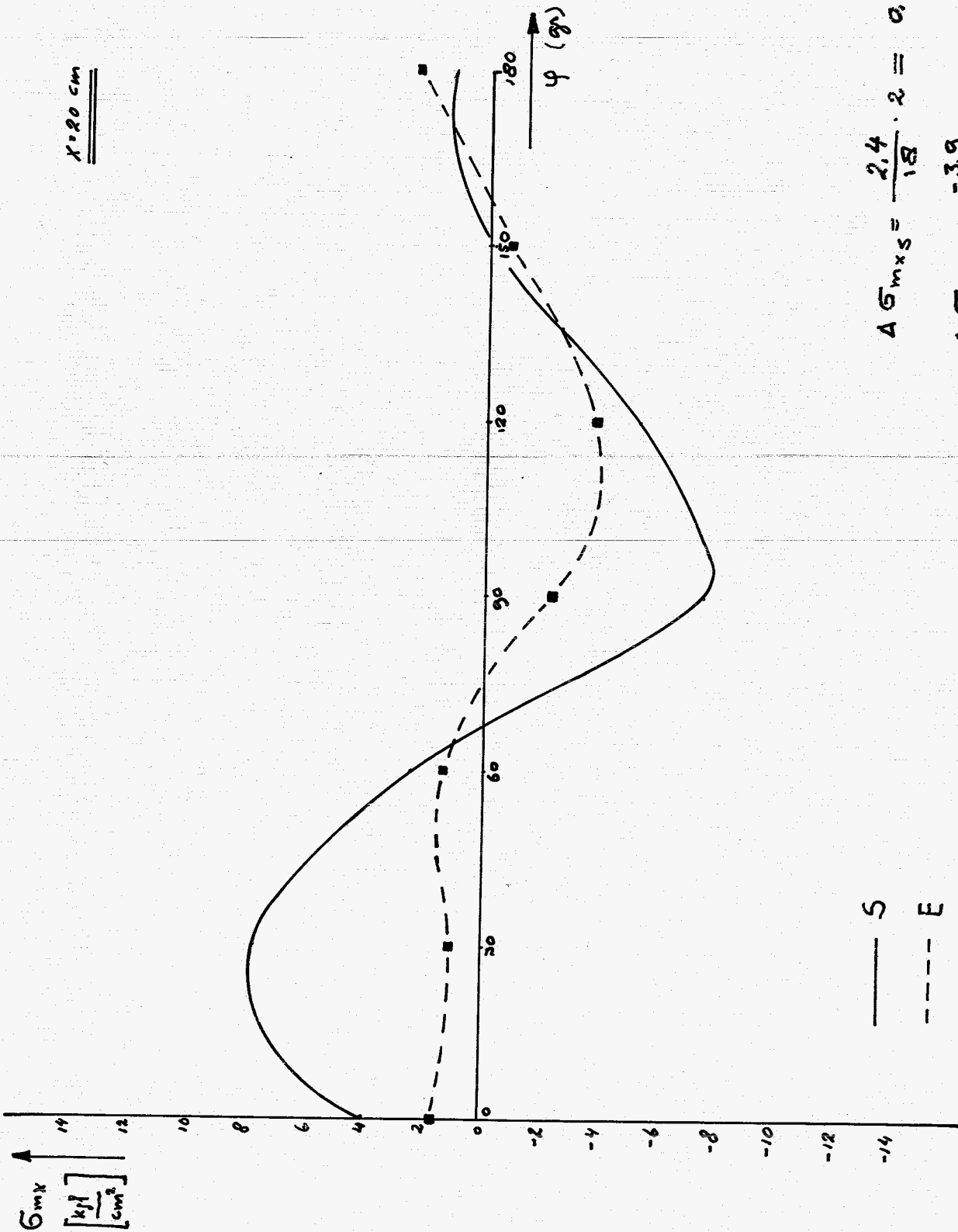






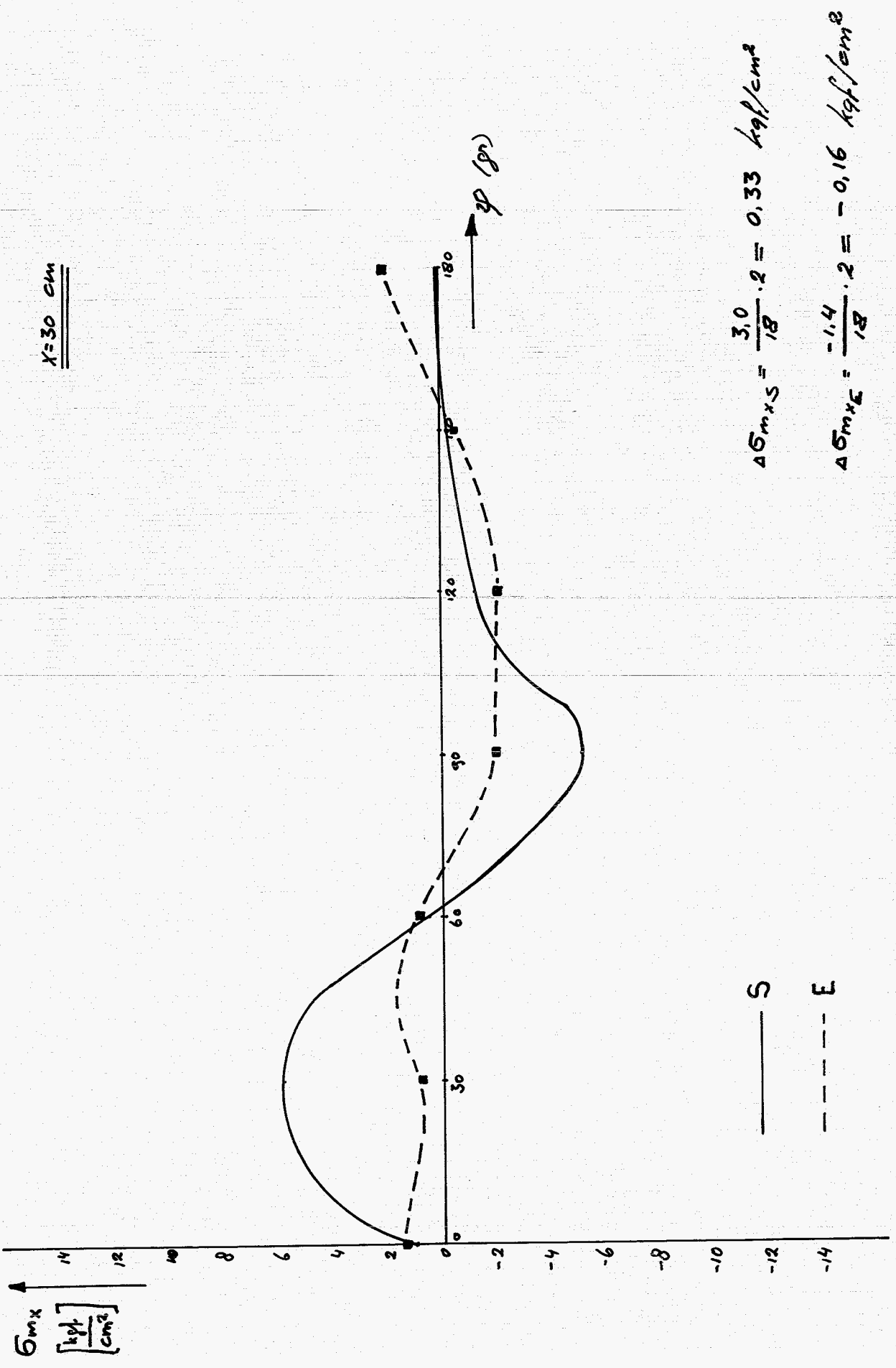






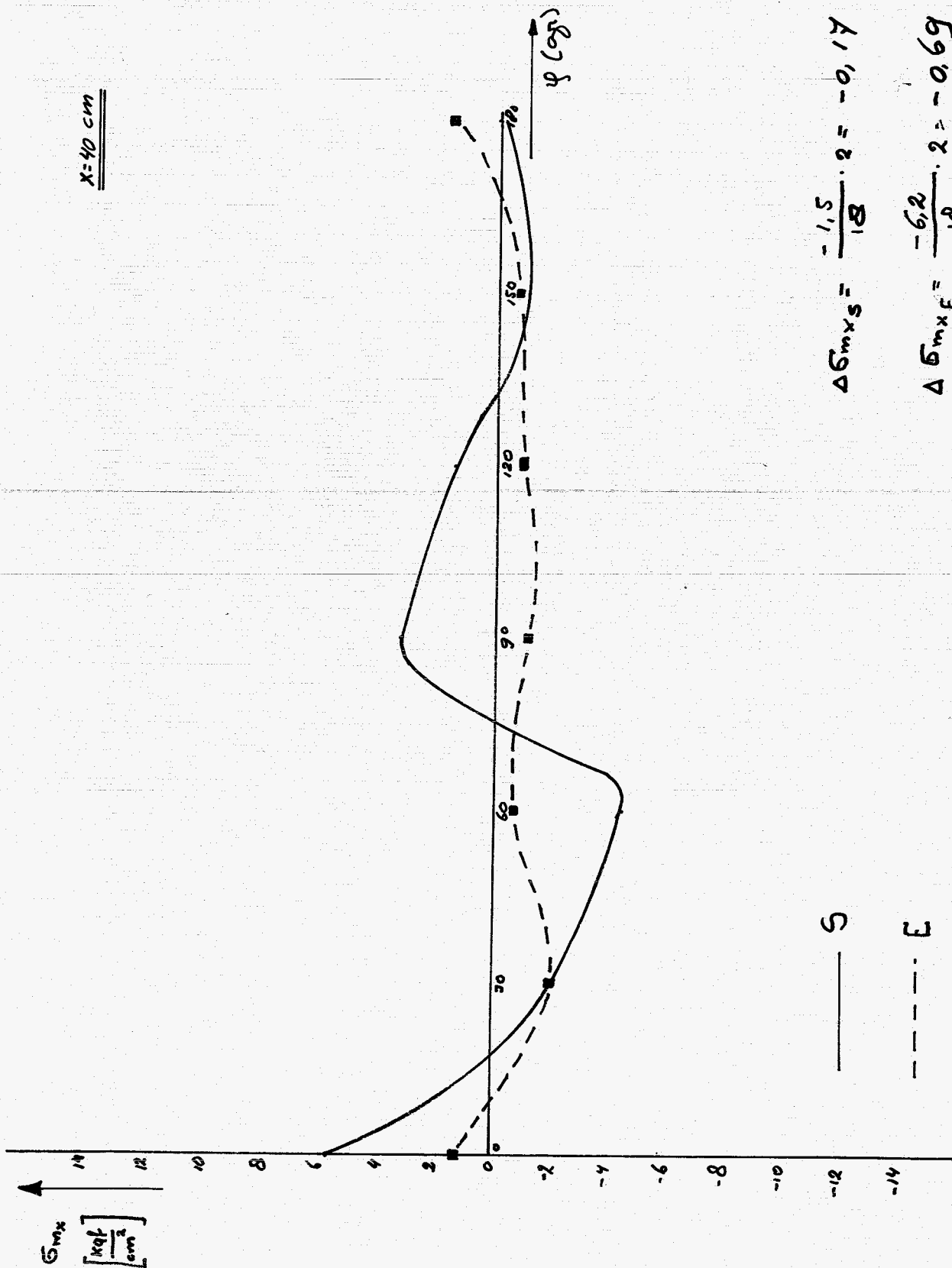
$$\Delta \sigma_{maxS} = \frac{2.4}{18} \cdot 2 = 0.27 \text{ kgf/cm}^2$$

$$\Delta \sigma_{maxE} = \frac{-3.9}{18} \cdot 2 = -0.43 \text{ kgf/cm}^2$$



$$\Delta \sigma_{m_x S} = \frac{3.0}{18} \cdot 2 = 0.33 \text{ kgf/cm}^2$$

$$\Delta \sigma_{m_x E} = \frac{-1.4}{18} \cdot 2 = -0.16 \text{ kgf/cm}^2$$

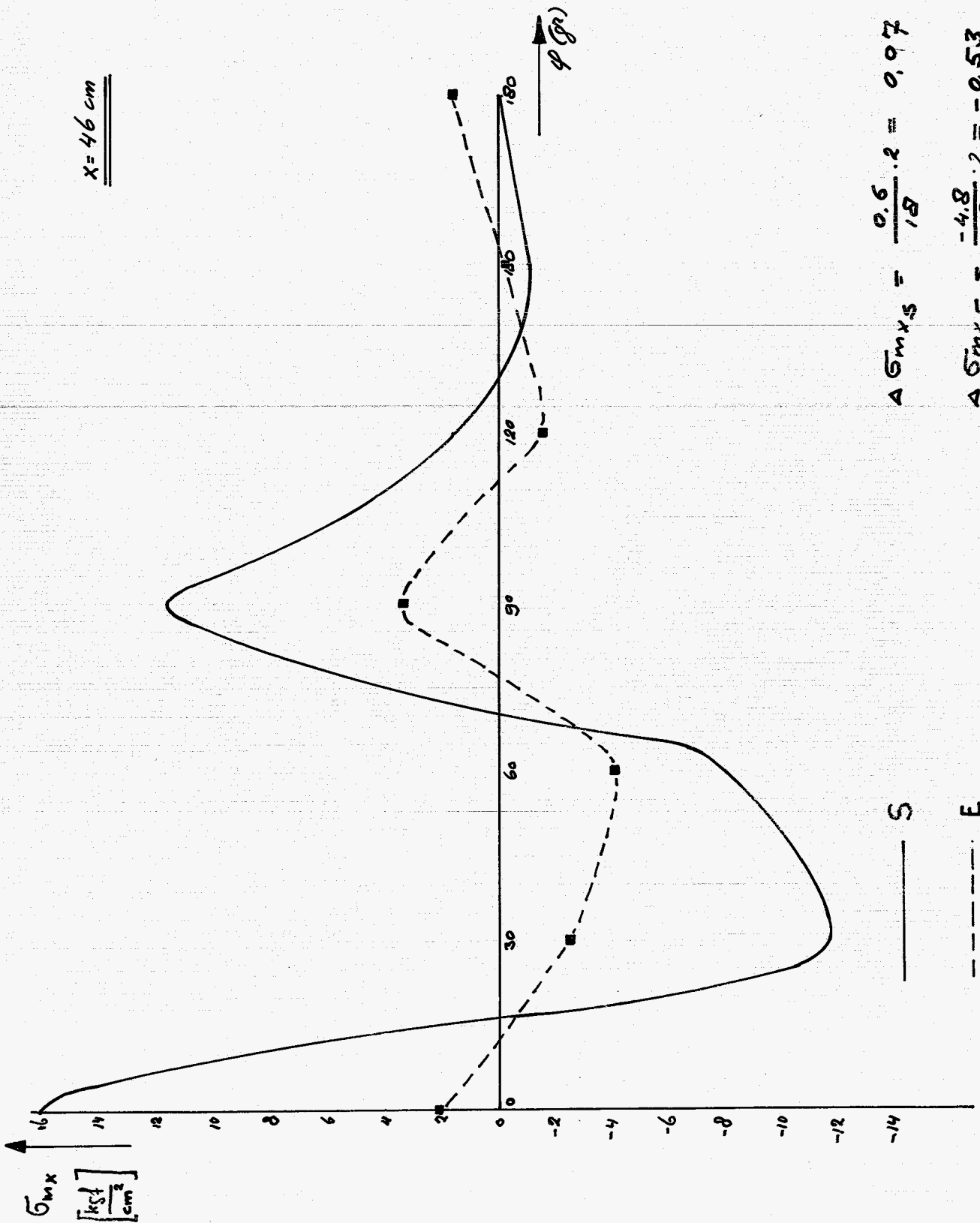


$$\Delta \sigma_{max S} = \frac{-1,5}{1,8} \cdot 2 = -0,17 \text{ kgf/cm}^2$$

$$\Delta \sigma_{max E} = \frac{-6,2}{1,8} \cdot 2 = -0,69 \text{ kgf/cm}^2$$



x = 46 cm

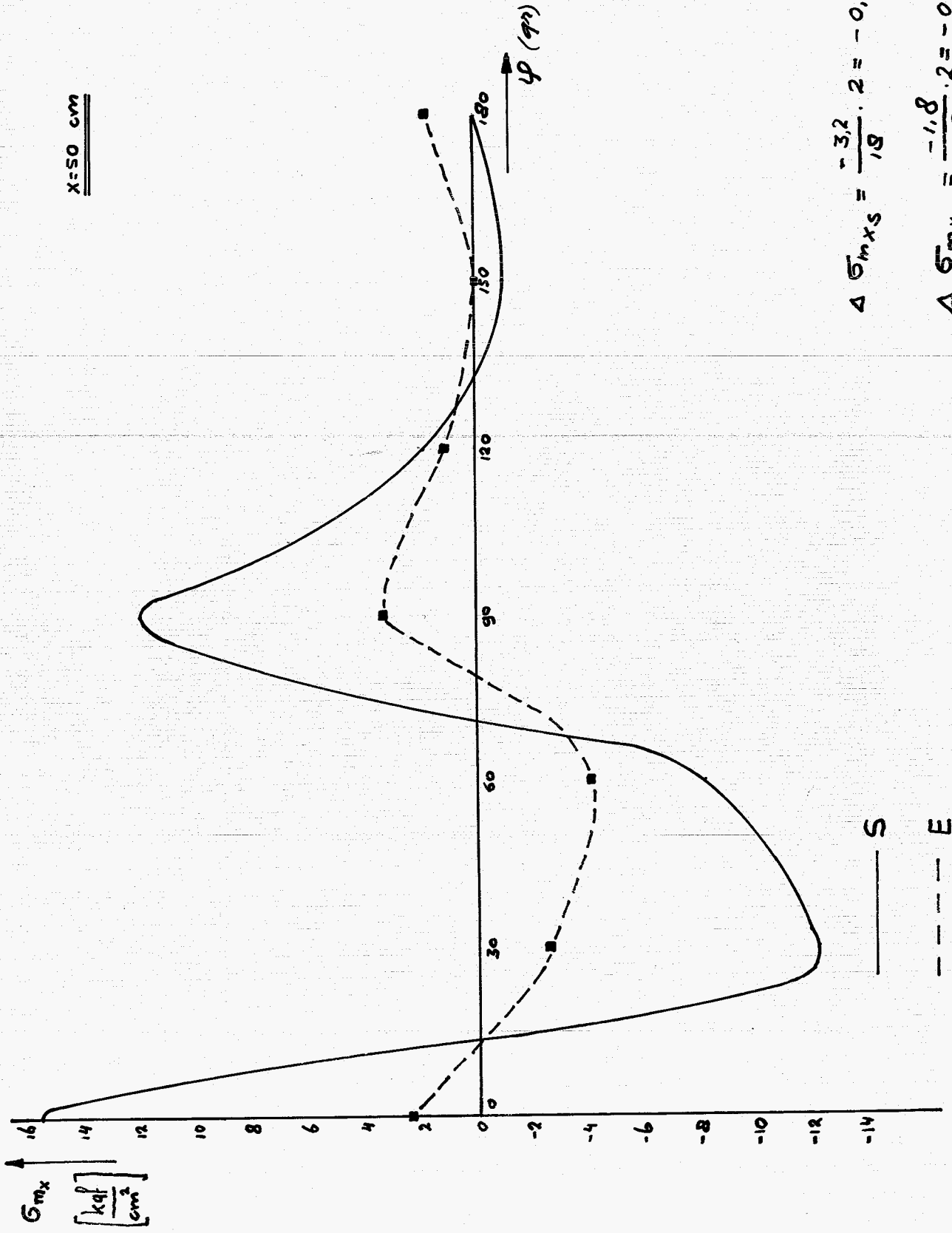


$$\Delta \sigma_{mxS} = \frac{0.6}{18} \cdot 2 = 0.07 \text{ kgf/cm}^2$$

$$\Delta \sigma_{mx E} = \frac{-4.8}{18} \cdot 2 = -0.53 \text{ kgf/cm}^2$$

— S  
- - - E

X=50 cm

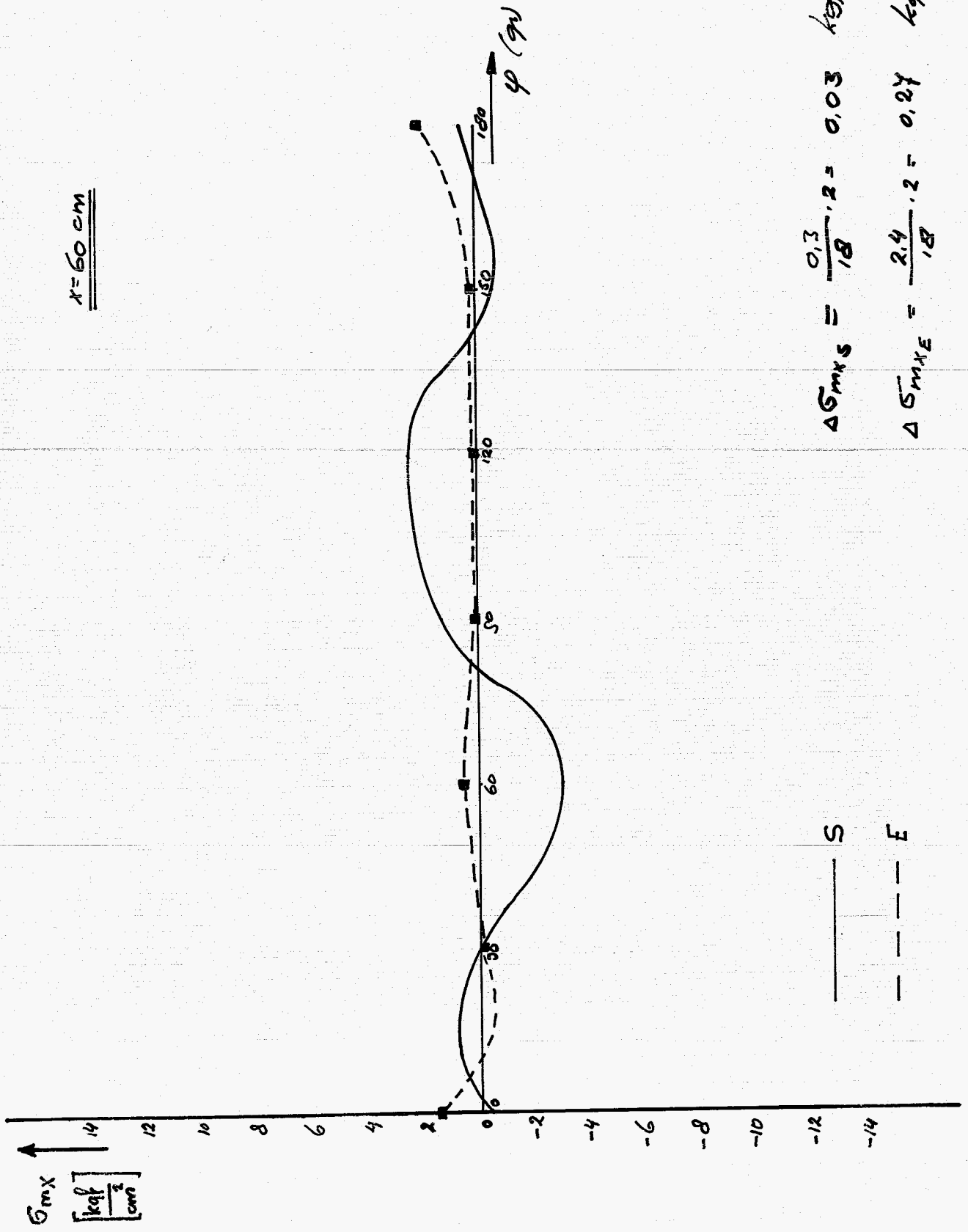


$$\Delta \sigma_{mxS} = \frac{-3,2}{1,8} \cdot 2 = -0,36 \text{ kgf/cm}^2$$

$$\Delta \sigma_{mxE} = \frac{-1,8}{1,8} \cdot 2 = -0,20 \text{ kgf/cm}^2$$

— S  
- - - E

$r = 60 \text{ cm}$

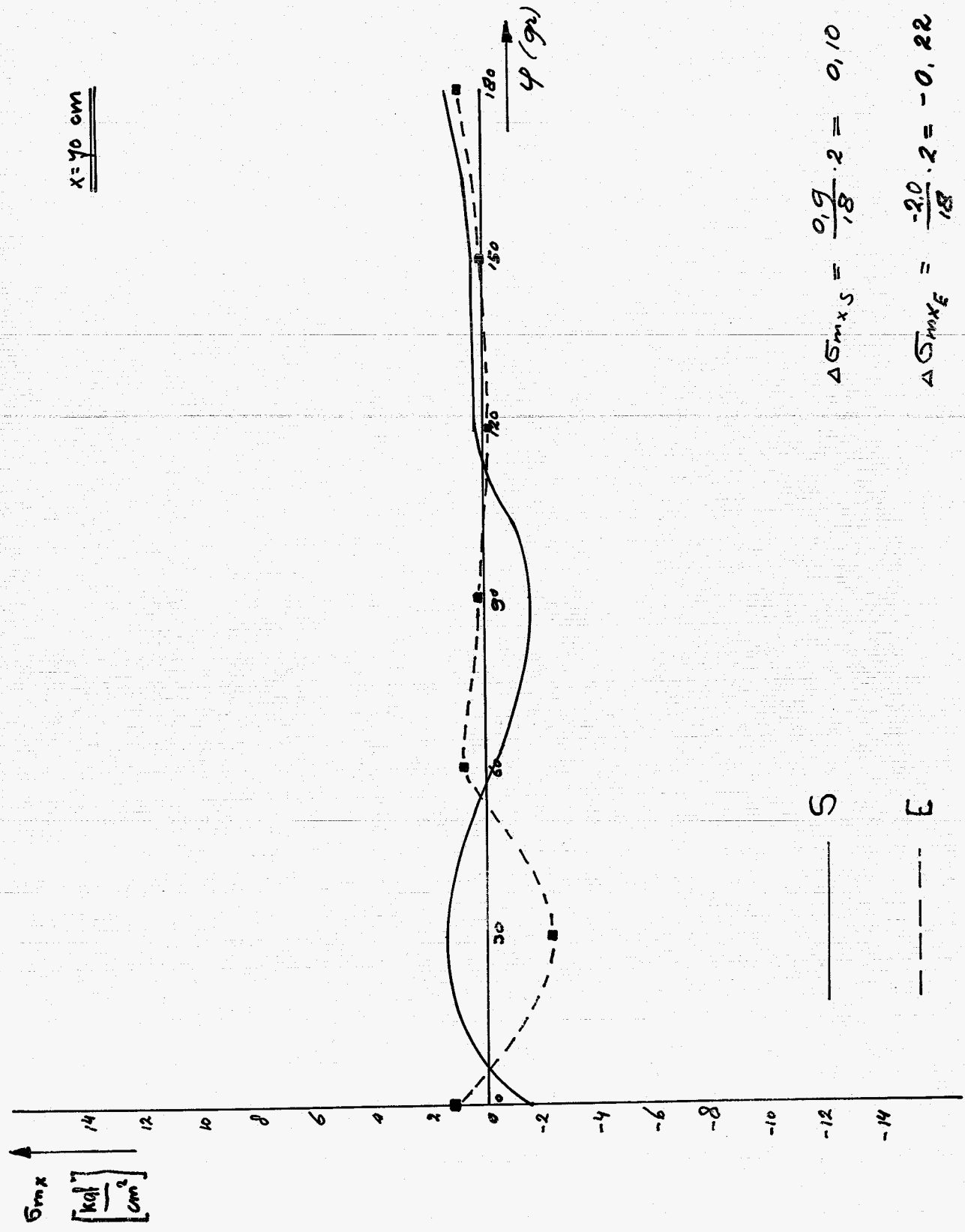


$\Delta \sigma_{max S} = \frac{0.3}{18} \cdot 2 = 0.03 \text{ kgf/cm}^2$

$\Delta \sigma_{max E} = \frac{2.4}{18} \cdot 2 = 0.27 \text{ kgf/cm}^2$



x = 40 cm



$$\Delta \sigma_{mxS} = \frac{0,9}{1,8} \cdot 2 = 0,10 \text{ kgf/cm}^2$$

$$\Delta \sigma_{mxE} = \frac{-2,0}{1,8} \cdot 2 = -0,22 \text{ kgf/cm}^2$$

— S

- - - E

## 15. Conclusies en Slotopmerking.

In het vorige hoofdstuk werd reeds opgemerkt dat zowel tussen de theorieën onderling als bij de vergelijking ervan met de meetresultaten, enige overeenstemming niet gezocht moet worden.

Het is niet zo verwonderlijk dat de gewone balkentheorie resultaten levert, die in het geheel niet lijken op de meetresultaten. De kolker kan niet als balk worden beschouwd. Dit alles ondanks wat wordt gemogeniseerd in het afsluiterverrap van J. W. H. Leers: "Analyse van de spanningsverdeling in een dunwandige cilinder onder lijnbelasting", waar de balkentheorie de meest gunstige resultaten gaf. Het is niet duidelijk onder welke omstandigheden de gewone balkentheorie zulke goede resultaten kan geven.

De uitbreidingen van de gewone balkentheorie, die door L. P. Kich werden voorgesteld en die berusten op praktijleewaring bleken in het onderhavige geval geen enkele waarde te hebben. Voor deze uitbreidingen bestaat geen enkele theoretische achtergrond zodat we kunnen concluderen dat we in deze theorie geheel geen vertrouwen meer mogen hebben.

Het verbaast ons dat de hier toegepaste schalen theorie, waaraan in de literatuur de naam: "Donnell" is verbonden, zulke afwijkende uitkomsten voortbrengt. In een artikel van R. S. D. Morley: "An improvement on Donnell's approximation" wordt dieper ingegaan op moeilijkheden die zich voor kunnen doen, bij het gebruik van deze theorie. Hierop zullen we terugkomen nadat enige opmerkingen zijn gemaakt, die op het experiment betrekking hebben.

De betrouwbaarheid van het experiment laat enigszins te wensen over.

Evenrijds hebben we gewerkt met een niet-ideaal proefstuk en een niet-ideale proefopstelling. Wat betreft het proefstuk zijn voornamelijk de variabele wanddikte en de temperatuurafhankelijkheid van de elasticiteitsmodulus, factoren, die hun invloed wel hebben doen gelden. Wat de proefopstelling betreft moeten we onderscheid maken tussen de randen en de ondersteuning. In feite zijn de randen niet vrij, maar elastisch ingeklemd. Glet is niet na te gaan in hoeverre er verschil is tussen de krachten, die op de randen worden uitgeoefend in het geval van een lege of van een gevulde koker.

Op de belasting, die door de ondersteuning op de koker wordt uitgeoefend ook inderdaad voldoet aan de gestelde eisen blijft eveneens een open vraag.

Het is tevens mogelijk dat of door de ondersteuning of bij de uiteinden krachten op de koker in horizontale richting worden geïntroduceerd. De controle, die in het vorige hoofdstuk werd uitgevoerd, op de aanwezigheid van een dergelijke belasting, gaf inderdaad aan dat er tussen de raden op een dwarsdoorsnede  $x = \text{constant}$ , een resulterende drukkracht kan werken.

Opgeniet het horizontale evenwicht in het echter onmogelijk dat deze van doorsnede tot doorsnede een andere waarde heeft en aangezien dit wel werd waargenomen moet de wijze waarop de controle is uitgevoerd in twijfel worden getrokken, aannemende dat bij de meetwaarden geen fouten zijn gemaakt.

Het kan dan ook beter zijn geweest wanneer het experiment voor een groter aantal waarden van  $\varphi$  kan zijn uitgevoerd. Om toch een idee te verkrijgen van de grootte van zo'n horizontaal gericht krachten als resultante op een dwarsdoorsnede geven we dat een  $\Delta 5m_x$  van  $1 \text{ kgf/cm}^2$  overeenkomt met een horizontale kracht ter grootte van  $37 \text{ kgf}$ .

andernzijds verliepen de metingen zelf ook alles behalve naar wens. Dikwijls waren de meetwaarden nimmer slecht reproduceerbaar en waren de toleranties niet acceptabel. De oorzaak hiervan was van tweerlei aard. Niet alleen de geringe temperatuurvariaties zorgden voor narigheid maar in ernstigere mate de geleiding van stroom door het water. Na een betere isolering van de reëlelektroden en de bechdrading werden de toleranties wel veel kleiner, maar ze bleven niet gering, waarmede ten slotte toch maar geroeagen is genomen. Waarschijnlijk zouden we van dit effect geen last hebben gehad, wanneer we als vullstof een niet geleidend vloeistof hadden genomen (b.v. petroleum). De voor het experiment beschikbare tijd liet dit echter niet toe.

Opmerkingen bij de benaderingsmethode van Donnell

De originele differentiaalvergelijkingen XXIV, XXV en XXVI, die in hoofdstuk 5 zijn afgeleid kunnen naar W. Flügge: "Statik und Dynamik der Schalen" (Berlin 1934) na slechts geringe verwaarlozingen en met de veronderstelling  $P_x = P_\varphi = 0$ , geschreven worden in de volgende vorm:

$$k \nabla^2 \bar{w} + (1-\nu^2) \frac{\partial^4 \bar{w}}{\partial \bar{x}^4} + 2k\nu \frac{\partial^2 \bar{w}}{\partial \bar{x}^2} + 6k \frac{\partial^5 \bar{w}}{\partial \bar{x}^4 \partial \bar{\varphi}^2} + 2k(4-\nu) \frac{\partial^5 \bar{w}}{\partial \bar{x}^2 \partial \bar{\varphi}^4} + 2k(2-\nu) \frac{\partial^4 \bar{w}}{\partial \bar{x}^2 \partial \bar{\varphi}^2} + 2k \frac{\partial^5 \bar{w}}{\partial \bar{\varphi}^5} + k \frac{\partial^4 \bar{w}}{\partial \bar{\varphi}^4} = \nabla^4 \bar{P}_r$$

$$\nabla^4 \bar{u} = -\nu \frac{\partial^3 \bar{w}}{\partial \bar{x}^3} + \frac{\partial^3 \bar{w}}{\partial \bar{x} \partial \bar{\varphi}^2} + k \left\{ -\frac{\partial^5 \bar{w}}{\partial \bar{x} \partial \bar{\varphi}^4} + \frac{\partial^5 \bar{w}}{\partial \bar{x}^5} - \frac{3(1-\nu)}{2} k \frac{\partial^5 \bar{w}}{\partial \bar{x}^3 \partial \bar{\varphi}^2} \right\}$$

$$\nabla^4 \bar{v} = -(2+\nu) \frac{\partial^3 \bar{w}}{\partial \bar{x}^2 \partial \bar{\varphi}} - \frac{\partial^3 \bar{w}}{\partial \bar{\varphi}^3} + k \left( 2 \frac{\partial^5 \bar{w}}{\partial \bar{x}^4 \partial \bar{\varphi}} + 2 \frac{\partial^5 \bar{w}}{\partial \bar{x}^2 \partial \bar{\varphi}^3} \right)$$

met:  $\nabla^2 = \frac{\partial^2}{\partial \bar{x}^2} + \frac{\partial^2}{\partial \bar{\varphi}^2}$

De vergelijkingen van Donnell, die zijn toegepast op het onderhavige probleem: XXVII, XXVIII en XXIX, kunnen vrij eenvoudig in een gelijksoortige vorm worden gegoten, die hieronder is weergegeven:

$$k \nabla^2 \bar{w} + (1-\nu^2) \frac{\partial^4 \bar{w}}{\partial x^4} = \nabla^4 \bar{p}_r$$

$$\nabla^4 \bar{u} = -\nu \frac{\partial^3 \bar{w}}{\partial x^3} + \frac{\partial^3 \bar{w}}{\partial x \partial \varphi^2}$$

$$\nabla^4 \bar{v} = -(2+\nu) \frac{\partial^3 \bar{w}}{\partial x^2 \partial \varphi} - \frac{\partial^3 \bar{w}}{\partial \varphi^3}$$

Door L.S.D. Morley wordt nu echter voorgesteld om de volgende vorm te gebruiken, die iets minder ver is vereenvoudigd dan de Donnell vergelijkingen.

$$k \nabla^4 (\nabla^2 + 1)^2 \bar{w} + (1-\nu^2) \frac{\partial^4 \bar{w}}{\partial x^4} = \nabla^4 \bar{p}_r$$

$$\nabla^4 \bar{u} = -\nu \frac{\partial^3 \bar{w}}{\partial x^3} + \frac{\partial^3 \bar{w}}{\partial x \partial \varphi^2}$$

$$\nabla^4 \bar{v} = -(2+\nu) \frac{\partial^3 \bar{w}}{\partial x^2 \partial \varphi} - \frac{\partial^3 \bar{w}}{\partial \varphi^3}$$

Wanneer we de eerste vergelijking van dit stel vergelijken met de eerste vergelijking van het meer exactere stel op de vorige bladzijde dan zien we dat alleen de term:

$$-2k(1-\nu) \left( \frac{\partial^6 \bar{w}}{\partial x^6} - \frac{\partial^6 \bar{w}}{\partial x^2 \partial \varphi^4} - \frac{\partial^4 \bar{w}}{\partial x^2 \partial \varphi^2} \right)$$

waart verwaarloosd. De afzonderlijke termen hierin zijn van dezelfde orde als die, welke we bij de afleiding van de Donnell vergelijkingen hebben verwaarloosd.

Door Morley werden beide benaderingsmethoden vergeleken met de meer exacte theorie van Flügge, waarbij uiteindelijk de door Morley afgeleide vergelijkingen de beste resultaten gaven.

We zullen nu nagaan wat de verschillen zijn in sommige tussenresultaten van de beide benaderingsmethoden.

De verschillen komen het best tot uiting in de wortels  $\lambda$  van de karakteristische vergelijking bij substitutie van

$$\bar{w}_m = \text{constante} \cdot e^{\lambda \bar{x}} \cos m\bar{\varphi}$$

in het homogene gedeelte van de eerste differentiaalvergelijking van beide stelsels. Vooral voor lage waarden van  $m$  blijken de discrepanties aansienlijk te zijn.

Op blz 44 zijn de wortels  $\lambda_{mi}$  berekend in formule vorm, voor de gebruikte methode. Uitwerking hiervan geeft de volgende resultaten:

	$m=1$	$m=2$	$m=3$	$m=4$
$\lambda_{m1}$	$7,8131 + 7,6840 \cdot i$	$8,0142 + 7,4990 \cdot i$	$8,3650 + 7,2159 \cdot i$	$8,8748 + 6,8752 \cdot i$
$\lambda_{m2}$	$7,8131 - 7,6840 \cdot i$	$8,0142 - 7,4990 \cdot i$	$8,3650 - 7,2159 \cdot i$	$8,8748 - 6,8752 \cdot i$
$\lambda_{m3}$	$-7,8131 + 7,6840 \cdot i$	$-8,0142 + 7,4990 \cdot i$	$-8,3650 + 7,2159 \cdot i$	$-8,8748 + 6,8752 \cdot i$
$\lambda_{m4}$	$-7,8131 - 7,6840 \cdot i$	$-8,0142 - 7,4990 \cdot i$	$-8,3650 - 7,2159 \cdot i$	$-8,8748 - 6,8752 \cdot i$
$\lambda_{m5}$	$-0,0651 + 0,0640 \cdot i$	$-0,2661 + 0,2490 \cdot i$	$-0,6169 + 0,5322 \cdot i$	$-1,1267 + 0,8728 \cdot i$
$\lambda_{m6}$	$-0,0651 - 0,0640 \cdot i$	$-0,2661 - 0,2490 \cdot i$	$-0,6169 - 0,5322 \cdot i$	$-1,1267 - 0,8728 \cdot i$
$\lambda_{m7}$	$0,0651 + 0,0640 \cdot i$	$0,2661 + 0,2490 \cdot i$	$0,6169 + 0,5322 \cdot i$	$1,1267 + 0,8728 \cdot i$
$\lambda_{m8}$	$0,0651 - 0,0640 \cdot i$	$0,2661 - 0,2490 \cdot i$	$0,6169 - 0,5322 \cdot i$	$1,1267 - 0,8728 \cdot i$

Hierbij geldt:  $k = \frac{1}{2} \cdot \left(\frac{t}{R}\right)^2 = 0,00006087$

We gaan nu hetzelfde doen voor de theorie van Morley, alhoewel dit meer moeilijkheden met zich meebrengt.

De uit de formules van Morley volgende karakteristische vergelijking luidt:

$$k (\lambda_m^2 - m^2)^2 (\lambda_m^2 - m^2 + 1)^2 + (1 - \nu^2) \lambda_m^4 = 0$$

De acht wortels  $\lambda_m$  van deze vergelijking moeten nu worden bepaald.

We definiëren:  $\Omega^2 = \frac{1 - \nu^2}{k}$  met  $\Omega$  positief.

$$\rightarrow (\lambda_m^2 - m^2)^2 (\lambda_m^2 - m^2 + 1)^2 + \Omega^2 \lambda_m^4 = 0$$

$$\text{Stel } \Lambda = \lambda_m^2 - m^2 \rightarrow$$

$$\Lambda^2 (\Lambda + 1)^2 + \Omega^2 (\Lambda^2 + 2m^2 \Lambda + m^4) = 0$$

$$\text{ofwel: } \Lambda^2 (\Lambda + 1)^2 + \Omega^2 (\Lambda + m^2)^2 = 0$$

$$\rightarrow \Lambda (\Lambda + 1) = \pm i \Omega (\Lambda + m^2)$$

$$\Lambda^2 + (1 \pm i \Omega) \Lambda \pm i \Omega m^2 = 0$$

$$\Lambda_{1,2} = \frac{-(1 + i \Omega) \pm \sqrt{1 - \Omega^2 + 2i \Omega - 4i \Omega m^2}}{2} =$$

$$= -\frac{1}{2} - \frac{i \Omega}{2} \left( 1 \pm \sqrt{1 - \frac{\Omega^2}{2} + \frac{i(2m^2 - 1)}{\Omega/2}} \right)$$

Onder het worteltrekken verwaarlozen we  $1/\Omega^2$  ten opzichte van 1

We krijgen dan:

$$\Lambda_{1,2} = -\frac{1}{2} - \frac{i \Omega}{2} \left( 1 \pm \sqrt{1 + \frac{i(2m^2 - 1)}{\Omega/2}} \right)$$

en analoog:

$$\Lambda_{3,4} = -\frac{1}{2} + \frac{i \Omega}{2} \left( 1 \pm \sqrt{1 - \frac{i(2m^2 - 1)}{\Omega/2}} \right)$$

Men zijn ook de wortels van de karakteristieke vergelijking bekend:

$$\lambda_{m,234} = \pm \sqrt{m^2 - \frac{1}{2} - \frac{i\Omega}{2} \left( 1 \pm \sqrt{1 + \frac{i(2m^2-1)}{\Omega/2}} \right)}$$

$$\lambda_{m,678} = \pm \sqrt{m^2 - \frac{1}{2} + \frac{i\Omega}{2} \left( 1 \pm \sqrt{1 - \frac{i(2m^2-1)}{\Omega/2}} \right)}$$

We gaan nu over tot de numerieke berekening van deze wortels

Bij het samenstellen van de onderstaande tabel werden de indices der  $\lambda_m$ 's zodanig gewijzigd dat ze overeenkwamen met die uit de tabel op blz 191

	$m=1$	$m=2$	$m=3$	$m=4$
$\lambda_{m1}$	$7,7800 + 7,7165 \cdot i$	$7,9782 + 7,5306 \cdot i$	$8,3292 + 7,2430 \cdot i$	$8,8373 + 6,8979 \cdot i$
$\lambda_{m2}$	$7,7800 - 7,7165 \cdot i$	$7,9782 - 7,5306 \cdot i$	$8,3292 - 7,2430 \cdot i$	$8,8373 - 6,8979 \cdot i$
$\lambda_{m3}$	$-7,7800 + 7,7165 \cdot i$	$-7,9782 + 7,5306 \cdot i$	$-8,3292 + 7,2430 \cdot i$	$-8,8373 + 6,8979 \cdot i$
$\lambda_{m4}$	$-7,7800 - 7,7165 \cdot i$	$-7,9782 - 7,5306 \cdot i$	$-8,3292 - 7,2430 \cdot i$	$-8,8373 - 6,8979 \cdot i$
$\lambda_{m5}$	$-0,0325 + 0,0320 \cdot i$	$-0,2352 + 0,2133 \cdot i$	$-0,5824 + 0,5044 \cdot i$	$-1,0892 + 0,8502 \cdot i$
$\lambda_{m6}$	$-0,0325 - 0,0320 \cdot i$	$-0,2352 - 0,2133 \cdot i$	$-0,5824 - 0,5044 \cdot i$	$-1,0892 - 0,8502 \cdot i$
$\lambda_{m7}$	$0,0325 + 0,0320 \cdot i$	$0,2352 + 0,2133 \cdot i$	$0,5824 + 0,5044 \cdot i$	$1,0892 + 0,8502 \cdot i$
$\lambda_{m8}$	$0,0325 - 0,0320 \cdot i$	$0,2352 - 0,2133 \cdot i$	$0,5824 - 0,5044 \cdot i$	$1,0892 - 0,8502 \cdot i$

De betreffende waarde van  $\Omega$  bedraagt hier: 120,066517.



Door Morley werd aangetoond dat de wortels van de karakteristische vergelijking bij de in zijn artikel voorgestelde methode de exacte wortels beter benaderen, dan die voortkomen uit de benaderingsmethode van Donnell. De verschillen tussen de wortels van de exacte vergelijkingen en die van Donnell zijn dan ook bij benadering even groot als de verschillen tussen de wortels bij de methode van Donnell en die van Morley.

Wanneer we de tabel op blz 191 (Donnell) vergelijken met die op blz 193 (Morley) dan zien we slechts geringe verschillen in de wortels, die echter een vrij aanzienlijke invloed kunnen hebben.

Deze wortels komen namelijk voor in de exponent van  $e$ -machten, die op hun beurt weer voorkomen in de vergelijkingen waaruit de nog onbekende integratieconstanten met behulp van de randvoorwaarden worden bepaald: het stelsel:  $a_{mj} = S_{mij} \cdot T_{mi}$  dat op blz 74 is vermeld.

Reeds was medegedeeld dat dit stelsel slechts was geconditioneerd, waardoor een kleine variatie in de  $S_{mij}$  reeds grote gevolgen in  $a_{mj}$  kan hebben.

Het is niet onwaarschijnlijk dat dit er de oorzaak van is, dat de theorie niet aansluit bij het experiment.

Bij het zoeken naar een particuliere oplossing is in dit verslag een overbodige fout geïntroduceerd. Hierbij werden namelijk eveneens de vereenvoudigde vergelijkingen van Donnell toegepast, terwijl het vrijwel even eenvoudig was geweest om hiervoor de exacte vergelijkingen te gebruiken zoals die staan vermeld op blz 35/36. In "The accuracy of Donnell's equations" door N. J. Hoff, wordt aangetoond dat de Donnell vergelijkingen beter niet voor de particuliere oplossing kunnen worden gebruikt in het geval dat de lengte van de kolon groter is dan de diameter.

In het artikel van Morley wordt aangetoond dat de particuliere oplossing van het door Morley voorgestelde stelsel, vrijwel identiek is met de exacte particuliere oplossing. We zullen trachten dat hier eveneens te verifiëren.

We gaan substitueren:

$$\bar{P} = \bar{P}_{mn} \cos m\bar{\varphi} \cos \frac{2\pi R}{L} n\bar{x}$$

en we berekenen  $A_{mn}$  uit:

$$\begin{aligned} \bar{W} &= \bar{W}_{mnp} \cos m\bar{\varphi} \cos \frac{2\pi R}{L} n\bar{x} = \\ &= A_{mn} \bar{P}_{mn} \cos m\bar{\varphi} \cos \frac{2\pi R}{L} n\bar{x} \end{aligned}$$

Bij de exacte vergelijking van Flugge geldt:

$$A_{mnF} = \frac{\left\{m^2 + \left(\frac{2\pi R n}{L}\right)^2\right\}^2}{k \left\{m^2 + \left(\frac{2\pi R n}{L}\right)^2\right\}^2 \left\{m^2 + \left(\frac{2\pi R n}{L}\right)^2 - 1\right\}^2 + (1-\nu^2) \left(\frac{2\pi R n}{L}\right)^4 + k \cdot 2(1-\nu) \left\{\left(\frac{2\pi R n}{L}\right)^6 - \left(\frac{2\pi R n}{L}\right)^2 m^4 + \left(\frac{2\pi R n}{L}\right)^2 m^2\right\}}$$

Bij de benaderingsmethode van Dornell vinden we:

$$A_{mnD} = \frac{\left\{m^2 + \left(\frac{2\pi R n}{L}\right)^2\right\}^2}{k \left\{m^2 + \left(\frac{2\pi R n}{L}\right)^2\right\}^4 + (1-\nu^2) \left(\frac{2\pi R n}{L}\right)^4}$$

Bij de methode van Morley komt er:

$$A_{mnM} = \frac{\left\{m^2 + \left(\frac{2\pi R n}{L}\right)^2\right\}^2}{k \left\{m^2 + \left(\frac{2\pi R n}{L}\right)^2\right\}^2 \left\{m^2 + \left(\frac{2\pi R n}{L}\right)^2 - 1\right\}^2 + (1-\nu^2) \left(\frac{2\pi R n}{L}\right)^4}$$

We gaan nu tabellen maken voor  $\frac{A_{m n D}}{A_{m n F}}$  en  $\frac{A_{m n M}}{A_{m n F}}$ ,  
 voor verschillende combinaties van m en n.

$$\frac{A_{m n D}}{A_{m n F}} :$$

		m			
		1	2	3	4
n	1	0,1732	0,7622	0,9377	0,9773
	2	0,5630	0,5684	0,5904	0,6373
	3	0,7902	0,7904	0,7909	0,7923
	4	0,8789	0,8790	0,8790	0,8792

$$\frac{A_{m n M}}{A_{m n F}} :$$

		m			
		1	2	3	4
n	1	1,0000	1,0000	1,0000	1,0000
	2	0,9996	0,9984	0,9968	0,9954
	3	0,9999	0,9997	0,9994	0,9989
	4	1,0000	0,9999	0,9998	0,9994

Mit de beide op de vorige pagina (196) gegeven tabellen blijkt heel duidelijk dat de fouten, die zijn geïntroduceerd door het gebruik van de vergelijkingen van Danneil bij de particuliere oplossing der differentiaalvergelijkingen, ontoelaatbaar zijn, terwijl de door Morley voorgestelde vergelijkingen vrijwel dezelfde resultaten geven als het exacte stelsel.

Wanneer de tijd dit toegelaten had, zou inderdaad zijn nagegaan in hoeverre de resultaten, die worden verkregen na gebruik van de formules van Morley voor zowel de homogene als de particuliere oplossing, in overeenstemming zouden zijn met de meetresultaten.

Binnen het kader van deze opdracht kunnen we dit echter alleen maar suggereren voor een eventuele voortzetting van het verrichte onderzoek, evenals de verbeteringen aan het experiment, die eerder zijn genoemd, maar niet zijn uitgevoerd.

### Slotopmerking

Dit verslag wil ik beëindigen met het bedanken van alle leden van de groep "Technische Mechanica" voor de medewerking, die ik van hen bij mijn onderzoekingen heb mogen ontvangen.

Eindhoven 7 Juni 1968



W.A.M. BREKELMANS